

524 /
1987 /



ISSN—0132—1447

საქართველოს სსრ
აკადემიკურათა აკადემიის

ათაგენ

СООБЩЕНИЯ

АКАДЕМИИ НАУК
ГРУЗИНСКОЙ ССР

BULLETIN

OF THE ACADEMY OF SCIENCES
OF THE GEORGIAN SSR

ტომი 127 თომ

№ 3

სექტემბერი 1987 სენტემბრЬ

№ 23

(ყ 127 № 3)

II-11-125

524
1587/2
საქართველოს სსრ
აკადემიის განაცხადი
აკადემიუმი

საქართველოს სსრ
აკადემიის განაცხადი
აკადემიუმი

ამჟამანა

СООБЩЕНИЯ

АКАДЕМИИ НАУК
ГРУЗИНСКОЙ ССР

BULLETIN

OF THE ACADEMY OF SCIENCES
OF THE GEORGIAN SSR

№ 23

ტომ 127 თომ

(ყ 127 № 3)

№ 3

II-1/25

სექტემბერი 1987 СЕНТЯБРЬ

ს ა რ ა დ ა გ ც ი თ ა თ ლ ე ბ ი თ :

- ქ. ანდრიაშვილი, ა. აფაშიძე, ბ. ბალავაძე, ა. ბერიძე, ლ. გაბუნია (მთავარი რედაქტორის
მოადგილე), თ. გმირელიძე, ვ. გომელაური, ა. გუნია (მთავარი რედაქტორის
მოადგილე), ს. ლურმაშიძე, ა. თავეულიძე, ჭ. ლომინიძე (მთავარი რედაქტორის
მოადგილე), გ. მელიქიშვილი, თ. ონიანი, გ. სეხნიაშვილი, ა. ურანგიშვილი,
ი. ფრანგიშვილი, ა. ცაგარელი, გ. ციციშვილი, ა. ძიძეგური,
შ. ძიძეგური, გ. ხარაბეგიშვილი, გ. ხარაძე (მთავარი
რედაქტორი), ნ. ჯავახიშვილი, გ. ჯიბლაძე

РЕДАКЦИОННАЯ КОЛЛЕГИЯ

ე. ლ. ანდრიაშვილი, ა. მ. აპაკიძე, ბ. კ. ბალავაძე, ა. ვ. ბიცაძე,
ლ. კ. გაბუნია (заместитель главного редактора), თ. ვ. გამკრელიძე,
ვ. ი. გომელიძე, ა. ლ. გუნია (заместитель главного редактора),
ნ. ა. ჯავახიშვილი, გ. ნ. ჯიბლაძე, ა. ა. ძიძეგური,
შ. ვ. ძიძეგური, ს. ვ. დურმიშვილი, დ. გ. ლომინაძე (заместитель главного редактора),
გ. ა. მელიქიშვილი, თ. ნ. ონიანი, ა. ცაგარელი, გ. ციციშვილი,
თ. ხ. ონიანი, ა. ს. პრანგიშვილი, ი. ვ. პრანგიშვილი.
ე. ა. სეხნიაშვილი, ა. ნ. თავხელიძე, ე. კ. ხარაძე
(главный редактор), გ. ვ. ხარაბეგიშვილი,
ა. ლ. ჟავახიშვილი, გ. ვ. ჟიბლაძე

პასუხისმგებელი მდივანი ა. იაკობაშვილი
Ответственный секретарь А. Б. Якобашвили

გ-დ ეს ასაქუთად 29.7.1987; ხელმოწერილია დასაბეჭდად 1.10.1987; შევ.
№ 2669; 6 ჭურბის ზომა $7 \times 12\frac{3}{4}$; ქაღალდის ზომა 70×108 ; ფიზ. კური ფურცელი
ლი 14; ხადროვ კო-ს ა მოწყობილ დურცვა 18.5, ნაბეჭდი დურცვა 19.6;
უ 14248 ტირაჟი 1450 ფასი 1 ან. 90 გაბ.

Сдано в набор 29.7.1987; подписано к печати 1-10.1987; зак. № 2669; размер
набора $7 \times 12\frac{3}{4}$; размер бумаги 70×108 , физический лист 14; уч. издатель-
ский лист 18.5; печатный лист 19.6; УЭ 14248; тираж 1450;
цена 1 руб. 90 коп

* * *

საქართველოს სსრ მეცნ. აკადემიის სტამბა, თბილისი, 380060, კუტუზოვის ქ., 19
Типография АН Грузинской ССР, Тбилиси 380060, ул. Кутузова, 19

გმირმცემლობა „მეცნიერება“, თბილისი, 380060, კუტუზოვის ქ., 19
Издательство «Мецнериба», Тбилиси 380060, ул. Кутузова, 19

୪୦୬୧୧୯୬୦

ପାଠୀରାଜିକା

ପ୍ରକାଶକା

*^९. शुक्रीय रोग, १. ८०० रु. र. अर्कास्त्रियूपर्टुलिंग्गमूला P-घराण्यास भर्वान्वेष्याता कुमिल्लायैस्क्यास शुरुवाते शुरूमालदग्द्यास 491

*^{१०}. ग्राह्य लांडा, स्ट्रीलिंग्लैश्डलॉन्डास सोशिरलूला प्रिंटर्ट्रैक्यूमूला शुरुवाते अंतिमान्विष्युर्क्षण बास्त्रियूला इन्ट्रोक्लैश्यून्ड 496

*^{११}. खंडवे रोगी, इन्फ्रारेमाप्रोस ग्राह्यमूल्यायैस श्वर्क्लैश्डास श्वेतास्क्याता शेसाक्षेत्र 499

*^{१२}. व्यांग्नशुरुवातीन, स्क्रीच्यैर्डास शुर्क्लैश्डास व्हिलास्क्यून्डास एल्गोन्डैरिटैश्यून्ड ग्रामिष्युग्मायैस 502

*^{१३}. शुरुवातीला, १. शेन्सीक्लैश्ड, श्वेतावाला ग्राह्याल्लैस्ट्रिंग्ग्लैश्ड अंतिमान्विष्युर्क्षण 507

୩୦୯୮୫

- | | |
|--|-----|
| *ს. იუ ფირნი, ვ. ტიტკოვი, თ. ბერძენიშვილი. სასრულ ელემენტთა შე-
თოდის გამოთვლითი ალგორითმების ოპტიმიზაცია ელემენტთა რიგის გაზრდისა | 523 |
| ანალიზრი კიბია | |
| *ი. შათირიშვილი, ჭ. იორდანიშვილი. წინასწორული ორთქელისა და თხე-
ვაღ ფაზათა ქრომატოგრაფიული ანალიზის სქემა | 528 |
| ორგანიზრი კიბია | |
| *რ. კერესელიძე, ლ. მელიქაძე (საქ. სსრ მეცნ. ეკადემიის აკადემიკოსი),
დ. რაზმაძე, თ. შატავაშვილი. ტერმოელექტოლენის მაღალტემპერა-
ტურული კონდენსაცია ნატურალნან, 1- და 2-მეთოლნაფტალინებთან | 531 |
| *ჭ. ლალიძე, თ. რევაზიშვილი, ლ. თალაკვაძე, ნ. სანიკიძე. ახალი
სულფონმიდური ნაერთების სინთეზი 3-(3-სულფოქლორიდფენილ)-1-ბრომბუ-
რანის, 3-(3-სულფოქლორიდ-4-ეთოლფენილ)-1-ბრომბურანის და მინომეავების
საფუძვლზე | 535 |
| *თ. კოვზირიძე, ღ. ჭავჭავანიძე, ა. დვალიშვილი, ს. ბერმანი,
რ. ლალიძე (საქ. სსრ მეცნ. ეკადემიის წევრ-კორესპონდენტი). დისპირო
[5, 1', 10, 1"-დიცილონებრან-4b, 5, 9b, 10-ტეტრაპირონინდენ [1,1-a] ინდენის]
და დისპირო[5, 1', 10, 11"-დიცილონებრან-4b, 5, 9b, 10-ტეტრაპირონინდენ (2,
1-a) ინდენის] პერბიდილიურების სტერეოიზომერების თერმოდინამიკური მდგრა-
დობის გამოკვლევა | 539 |
| *გ. გვერდიშვილი, ლ. მელიქაძე (საქ. სსრ მეცნ. ეკადემიის აკადემიკოსი),
ე. უშარაული. ნორიოს ნეითობის მაღალმდური არმატული ნახშირწყალ-
ბადების აქტივობა ფოტოქიმიური უანგენის თვალსაზრისით | 544 |
| ფიზიკური კიბია | |
| *ე. ბენაშვილი, თ. ბაიდოშვილი. მოლიფიცირებულ კლინოპტილოლიტ- და
მორდენიტშემცველი ტუფების კატალიზური აქტივობა ორთო- და მეტა-სილი-
ლების გარდენის რეაქციაში | 548 |
| *გ. გოჩალიშვილი, ზ. ძოშენიძე, ვ. სობოლევი, თ. კოკოჩაშვილი,
ღ. ფერვანიშვილი. ამონტაჟული ორთოფოსფატის ზედაპირზე პეტ-
როგნენული რეკომბინაციის მეცნიერების შესახებ | 551 |
| *გ. ციციშვილი (საქ. სსრ მეცნ. ეკადემიის აკადემიკოსი), ლ. კვარცალიანი,
დ. ჭიბაშვილი, ჭ. მიქელაშვილი, მ. ქანთარია. ფილიპსტის
რეზმული თეისტები | 556 |
| მიმუშრი ტენილოგია | |
| *ვ. გაფტინდაშვილი, ლ. გოგიჩაძე, თ. განმანვი, რ. ჩაგელი-
შვილი, მ. ტაბატაძე. ქალკოპირიტის კონცენტრატის ჩაინის სულფა-
ტით (III) დაშლა | 560 |
| *ა. დალაქებაშვილი. სილიკატურ მინაში სფეროლიტის წარმოქმნის შესახებ | 562 |
| *ჭ. გაფარიძე, ბ. მაისურაძე, ნ. გამყრელიძე, ნ. ქელბაგიანი,
ე. არლიკი, მ. გამანაძე. მყარი თბომატარებლით ნახშირის გაზურება უწ-
ყველი დაკავშირის პირველ საფეხურზე და მისი შემდგომი კაზმეა სულფიტური
თუტებით | 567 |
| ციზიკური გარგალია | |
| *ზ. ტინტილონივა, რ. რეზვანი, ვ. დუბლიანისკი, ა. კლიმიშვი-
ლი. შემთხვევის მასივის სპელეოლოგიური და პიროლოგიური თავისებურებანი | 572 |

პიდროლოგია

*6. მაჭავარი იანი, ლ. ინასარიძე. კოლხეთის დაბლობის მდინარეების შეარი
ჩამონაღენი და მისი შიდაწყლიური განაწილება 575

გიოლოგია

*6. სალუქვაძე, ე. ცაგარელი, თ. ლავთაძე. ახალი მონაცემები მდ.
ერისწყლის აუზის ზედა ეოცენის და ოლგოცენის შესახებ 579

*8. მახარაძე. ხრეითის ამაღლების მანგანუმიანი ნალექების შესახებ 583

პალიონტოლოგია

*3. გოცაძე. ჩრდილო-დასავლეთ კავკასიის მაიკონის სერიის შუა ნაწილში ღინო-
ცისტების განაწილება 587

*6. ლებანიძე. ახალი გვარი *Etallonieopsis (hexacorallia)* დასავლეთ საქართველოს
ზედაოქსფორდული ნალექებიდან 591

პიტოლოგია

*2. კურიავა, ვ. ლემკე, რ. კინგოლცი. ზოგიერთი შენიშვნა ტერმინ „კვარცი-
ტის“ შესახებ 594

მინერალოგია

*8. ნასიძე, რ. ახვლედიანი. ეჭარა-თრიალეთის უცლკანოგენური ქანების პი-
როქსენებისა და ამფიბოლების კრისტალიზაციის შესახებ 600

მინერალურია

*8. ცხადიანი, ჭ. ბალდავაძე, გ. გველესიანი (საქ. სსრ მეცნ. აკადემიის
წევრ-კორესპონდენტი). ურთიერთქმედების შესწავლა Mn-Si-Ca-O-C სისტემაში 603

*8. ჭაბუა, თ. დადიანი, ლ. გლურჯიძე, ე. ღოკაძე, ვ. სანაძე. სა-
მარიუმის მონოანთიმონიდს თხელი ფირების მიღება 606

*3. ერემენკო, ლ. გლურჯიანი, ღ. ნოზაძე. პლასტიკური მატრიცის მქონე
კომპონიტიური მასალაში მყიფე დარღვეული ბოჭკოს გარშემო გრძივი ძაბვების
კონცენტრაცია 612

მანქანისტოლოგია

*8. კობიაშვილი. ციფრულ გამოთვლით მაქნეანზე ღინამურად არამდგრადი გლინ-
ვის პროცესის მათემატიკური მოდელირება ასრალების ღროს 616

*3. პროზოროვანი, ვ. ბაბკაშვილი. კოლექტორული კომპონიტიური მასალების
მექანიკური ქმედების მათემატიკური მოდელი 620

პიდროლოგიკია

*8. კიკაჩევიშვილი, ა. ზილბერტებინი. წყალმომარაგების რგოლისებური
ქსელების ტენინიურ-ეკონომიკური განვარისება მშენებლობის რიგოთობის გათ-
ვალისწინებთ 623

ପଣ୍ଡିତନାଥପାତ୍ରକାରୀ

*୧. ଏହି ଖାଦ୍ୟକାଣଙ୍କୁ, ତ. ମ୍ତ୍ସ ସେ ଲ୍ଲୋଡିଂ, ନ. ନୋକ୍ଟ ଲ୍ଲୋଡିଂ ଶ୍ଵେତାଲ୍ଲା. ଅରମାଗି କ୍ରିକ୆ଟ୍‌ଫାର୍ମର୍
ମାର୍ଟିନ୍‌ରୁଲ୍ଲା ଗାମିନ୍‌ମି ବନ୍‌ଗାରିଳିଲ୍ ବିନାସିଟିକାରିକାରିବିଲ୍ ପାଇନକ୍‌ବେଦିଂ

627

ପରିଚୟ ଓ ଉପରେକାରୀ

*୨. ବ୍ୟାଲିକ୍‌ସେରିଯାନ୍‌କୁ, ଗାମିନ୍‌ଫଲ୍‌କ୍‌ଲ୍ରୋବିଲ୍ ହୈଲ୍‌ରୁଲ୍ଲା ଗାମିନ୍‌ଫଲ୍‌କା ରୁକ୍ଷନାର୍କ୍‌
ରୋକ୍‌କୁଲ୍ଲା କାର୍ଲେବିଲ୍ ଏବଂ ପାଇନକ୍‌ବେଦିଂ ପାଇନକ୍‌ବେଦିଂ ପାଇନକ୍‌ବେଦିଂ ପାଇନକ୍‌ବେଦିଂ

631

ଅଧ୍ୟାଧିକାରୀଙ୍କ ଓ ପ୍ରକାଶକାରୀ

*୩. କାନ୍ଦାର୍‌ଗ୍ରା, ପ. ମନ୍ଦିରାବା, ପ. ପ୍ରମାଦାବା, ପ. ଶ୍ରୀ ପକ୍ଷିକ୍‌ପାଦାବା, ପ. କାର୍ତ୍ତିକାବା
ପିଲାନିକୁ ଲାଇକ ନାଶପାତ୍ରକାରୀଗର୍ଭାବିଲ୍ ପିଲାନିକୁ ପିଲାନିକୁ ପିଲାନିକୁ ପିଲାନିକୁ ପିଲାନିକୁ
ଲାଇକିଂ-ଦାନିକାରୀବିଲ୍ ଲାଇକିଂ-ଦାନିକାରୀବିଲ୍ ଲାଇକିଂ-ଦାନିକାରୀବିଲ୍ ଲାଇକିଂ-ଦାନିକାରୀବିଲ୍

633

ପିଲାନିକୁ

*୪. ବ୍ୟାଲିକ୍‌କ୍ଲେବିଲ୍‌କୁ, ଗ. ମୋହାର୍‌କୁ, ଗ. ପାଇନକ୍‌ବେଦିଂ, ଗ. ଶ୍ଵେତାଲ୍ଲା ଶ୍ଵେତାଲ୍ଲା, ଗ.
(ଶାର୍ଜ. ସିର ମେହର୍). ଏବଂ ପାଇନକ୍‌ବେଦିଂ ପିଲାନିକୁ ପିଲାନିକୁ ପିଲାନିକୁ ପିଲାନିକୁ
ପିଲାନିକୁ ପିଲାନିକୁ ପିଲାନିକୁ ପିଲାନିକୁ ପିଲାନିକୁ ପିଲାନିକୁ ପିଲାନିକୁ ପିଲାନିକୁ

640

ପିଲାନିକୁ

*୫. ପାଇନକ୍‌ବେଦିଂ ପିଲାନିକୁ, ସିର ମେହର୍. ଏବଂ ପିଲାନିକୁ ପିଲାନିକୁ ପିଲାନିକୁ
(ଶାର୍ଜ. ସିର ମେହର୍). ଏବଂ ପିଲାନିକୁ ପିଲାନିକୁ ପିଲାନିକୁ ପିଲାନିକୁ ପିଲାନିକୁ
ପିଲାନିକୁ ପିଲାନିକୁ ପିଲାନିକୁ ପିଲାନିକୁ ପିଲାନିକୁ ପିଲାନିକୁ ପିଲାନିକୁ ପିଲାନିକୁ ପିଲାନିକୁ
ପିଲାନିକୁ ପିଲାନିକୁ ପିଲାନିକୁ ପିଲାନିକୁ ପିଲାନିକୁ ପିଲାନିକୁ ପିଲାନିକୁ ପିଲାନିକୁ

643

ପିଲାନିକୁ

*୬. ପିଲାନିକୁ ପିଲାନିକୁ, Anopheles maculipenn's I ଗାଲିକାନ୍‌ବାଲକା ଲାମ୍‌ବିଶ୍ଵାର୍‌ବ୍ୟାଲ
ଲାମ୍‌ବିଶ୍ଵାର୍‌ବ୍ୟାଲ ପିଲାନିକୁ ପିଲାନିକୁ ପିଲାନିକୁ ପିଲାନିକୁ ପିଲାନିକୁ

647

ପିଲାନିକୁ

୧. କାନ୍ଦାର୍‌ଗ୍ରା. ପିଲାନିକୁ ପିଲାନିକୁ ପିଲାନିକୁ ପିଲାନିକୁ ପିଲାନିକୁ ପିଲାନିକୁ ପିଲାନିକୁ
ପିଲାନିକୁ ପିଲାନିକୁ ପିଲାନିକୁ ପିଲାନିକୁ ପିଲାନିକୁ ପିଲାନିକୁ ପିଲାନିକୁ

649

୨. କାନ୍ଦାର୍‌ଗ୍ରା. ପିଲାନିକୁ ପିଲାନିକୁ ପିଲାନିକୁ ପିଲାନିକୁ ପିଲାନିକୁ ପିଲାନିକୁ ପିଲାନିକୁ
ପିଲାନିକୁ ପିଲାନିକୁ ପିଲାନିକୁ ପିଲାନିକୁ ପିଲାନିକୁ ପିଲାନିକୁ

653

ପିଲାନିକୁ

୩. ପିଲାନିକୁ ପିଲାନିକୁ, "ପିଲାନିକୁ ପିଲାନିକୁ ପିଲାନିକୁ ପିଲାନିକୁ ପିଲାନିକୁ

657

СОДЕРЖАНИЕ

МАТЕМАТИКА

Г. Н. Химшиашвили. О связи фредгольмовского индекса с аналитической геометрией	465
В. В. Болтянский. О плотных вложениях топологических векторных пространств	469
В. А. Пааташвили, Г. А. Хускивадзе. О производной конформного отображения	473
Н. Ш. Пилаури. О классах насыщения для методов Чезаро двойных тригонометрических рядов Фурье	477
В. В. Шевчик. Действие оператора с незамкнутой областью значений на ортогональных базисах в гильбертовом пространстве	481
А. Б. Харазишвили. О борелевских отображениях метрических пространств	485

КИБЕРНЕТИКА

З. Ш. Путурдзе, Ю. А. Ниаури. Линейное представление неструктурных комплексов команд Р-графов	489
А. Г. Габелая. Частотный критерий стабилизируемости линейных автономных систем с неполной информацией	493
Р. Л. Хомерики. Об оценках процессов переработки информации	497
Ю. Б. Вайнштейн. Учет ориентации выводов компонентов в алгоритме планаризации графов схем	501
С. А. Шавгуладзе, М. Г. Шанидзе. Асимптотические характеристики сверточных каскадных кодов в системах с q -позиционными сигналами	505

ФИЗИКА

А. А. Бурчуладзе, Г. И. Тогонидзе, С. В. Пагава, М. В. Автандилашвили, Н. Е. Кирикашвили, К. Г. Хулордава, Д. В. Чалаташвили. Радиоуглеродное датирование археологических образцов органического происхождения	509
Р. В. Кантария, Н. П. Кекелидзе, А. А. Мирцхулава, Г. И. Годердзишвили, И. В. Папидзе, А. Н. Иванишвили. Эффективность поглощения в солнечных элементах на основе $GaAs_{1-x}P_x - Cu_{2-y}S$	513

* Заглавие, отмеченное звездочкой, относится к резюме статьи.



- И. Г. Гвердцители (академик АН ГССР), А. Б. Герасимов, З. Гогуа, З. В. Джебути, М. Г. Пхакадзе. Электронно-дырочный механизм образования точечных дефектов в ковалентных кристаллах 517

ГЕОФИЗИКА

- С. А. Юфин, В. И. Титков, Т. Л. Бердзенишвили. Оптимизация расчетных алгоритмов МКЭ при повышении порядка используемых элементов 521

АНАЛИТИЧЕСКАЯ ХИМИЯ

- И. Ш. Шатиришвили, З. А. Иорданишвили. Схема хроматографического анализа равновесной паровой и жидкой фаз 525

ОРГАНИЧЕСКАЯ ХИМИЯ

- Р. В. Кереселидзе, Л. Д. Меликадзе (академик АН ГССР), Д. Б. Размадзе, Т. Н. Шатакишвили. Высокотемпературная конденсация тетрахлорэтилена с нафталином, 1- и 2-метилнафталинами 529

- Д. Р. Лагидзе, Т. Н. Ревазишвили, Л. Я. Талаквадзе, Н. С. Саникидзе. Синтез новых сульфонамидных соединений на основе 3-(п-сульфохлоридфенил)-1-бромбутана, 3-(3-сульфохлорид-4-этилфенил)-1-бромбутана и аминокислот 533

- Т. А. Ковзиридзе, Д. Г. Чавчанидзе, А. И. Двалишвили, С. С. Берман, Р. М. Лагидзе (член-корреспондент АН ГССР). Изучение стереохимического состава пергидров диспиро[5,1',10,1"-дицикло-пентан-4b,5,9b, 10-тетрагидроиндано(2,1-а)индена] и диспиро-[5,1',10,1"-дицикло-гексан-4b,5,9b,10-тетрагидроиндано(2,1-а)индена] 537

- И. Д. Мchedлишвили, Л. Д. Меликадзе (академик АН ГССР), Э. А. Ушараули. Активность высококипящих ароматических углеводородов норийской нефти в отношении фотохимического окисления 541

ФИЗИЧЕСКАЯ ХИМИЯ

- Е. М. Бенашвили, О. С. Бандошвили. Каталическая активность модифицированных клиноптиолит- и морденитсодержащих туфов в реакции превращения *o*- и *m*-ксилолов 545

- М. И. Гозалишвили, З. Г. Дзоценидзе, В. А. Соболев, Т. В. Кокочавили, Д. И. Петвиашвили. О механизме гетерогенной рекомбинации на поверхности аморфного ортофосфата 549

- Г. В. Цицишвили (академик АН ГССР), Л. К. Қванталиани, Д. С. Чипашвили, З. В. Микелашвили, М. Л. Кантария. Термические свойства филлипсита 553

ХИМИЧЕСКАЯ ТЕХНОЛОГИЯ

- В. Н. Гапринашвили, Л. Д. Гогичадзе, Т. Б. Джаниманов,
Р. Д. Чагелишвили, М. Ш. Табатадзе. Вскрытие халькопиритно-
го концентратса сульфатом железа (III) 557

- А. И. Далакишвили. Об образовании сферолитов в силикатном стекле 561

- П. Н. Джапаридзе, Б. Г. Майсурадзе, Н. Б. Гамкрелидзе, Н. В.
Келбакиани, Е. В. Орлик, М. Г. Капанадзе. Нагрев угля в
первой ступени непрерывного коксования твердым теплоносителем с по-
следующим шихтованием его с сульфитной бардой 565

ФИЗИЧЕСКАЯ ГЕОГРАФИЯ

- З. К. Тинтилов, В. Д. Резван, В. Н. Дублянский, А. Б. Клим-
чук. Спелеологические и гидрологические особенности Бзыбского массива 569

ГИДРОЛОГИЯ

- Н. Г. Мачавариани, Л. Т. Инасадзе. Сток взвешенных наносов рек
Колхидской низменности и его внутригодовое распределение 573

ГЕОЛОГИЯ

- Н. Ш. Салуквадзе, Е. А. Цагарели, Т. Т. Гавтадзе. Новые данные
о верхнем эоцене и олигоцене бассейна р. Эрисцкали 577

- А. И. Махарадзе. О марганцевосных отложениях Хрентской возвышенности 581

ПАЛЕОНТОЛОГИЯ

- В. И. Гоцадзе. Распределение диноцист в средней части Майкопской серии
Северо-Западного Кавказа 585

- З. М. Лебанидзе. Новый род *Etallonopsis* (*Hexacorallia*) из верхне-
оксфордских отложений Западной Грузии 589

ПЕТРОЛОГИЯ

- М. Курце, В. Лемке, Р. Винхольц. Некоторые замечания к термину
«кварцит» 593

МИНЕРАЛОГИЯ

- Г. И. Насидзе, Р. А. Ахвледiani. О ходе кристаллизации пироксенов
и амфиболов из вулканогенных пород Аджаро-Триалетии 597

МЕТАЛЛУРГИЯ

- Р. А. Цхадая, Д. И. Багдадзе, Г. Г. Гвелесиани (член-корреспондент АН ГССР). Исследование взаимодействия в системе Mn—Si—Ca—O—C 601
- З. У. Джабуа, Т. О. Дадиани, Л. Н. Глурджидзе, Э. В. Докадзе, В. В. Санадзе. Приготовление тонких пленок мноантимонида самария 605
- В. И. Еременко, Л. Е. Гукасян, Д. А. Нозадзе. Концентрация продольных напряжений вокруг хрупкого разрушенного волокна композиционного материала с пластичной матрицей 609

МАШИНОВЕДЕНИЕ

- Р. Р. Кобиашвили. Математическое моделирование на ЦВМ динамически неустойчивого процесса прокатки при буксовании 613
- В. Г. Прозоров, В. С. Баакашвили. Математическая модель механического поведения коллекторных композиционных материалов 617

ГИДРОТЕХНИКА

- Г. Е. Кикачейшвили, А. М. Зильберштейн. Технико-экономический расчет кольцевых водопроводных сетей с учетом очередности строительства 621

ЭЛЕКТРОТЕХНИКА

- А. Н. Абурджания, Т. Г. Муселнани, Н. С. Николайшвили. Условия равновесия двойного трансформаторного измерительного моста 625

ФИЗИОЛОГИЯ РАСТЕНИЙ

- Н. А. Меликсетян. Пороговая устойчивость к обезвоживанию как показатель адаптации североамериканских орехов в Тбилисском ботаническом саду 629

ФИЗИОЛОГИЯ ЧЕЛОВЕКА И ЖИВОТНЫХ

- З. С. Ханаева, Э. С. Мониава, И. А. Цомайя, М. П. Буцхрикиձ. Изменения электрической активности коры больших полушарий головного мозга кошки через бровентрикулярное введение лизин-вазопрессина 633

БИОФИЗИКА

- М. Ш. Меликишвили, Г. В. Микадзе, Г. И. Павлашвили, М. М. Заалишвили (член-корреспондент АН ГССР). Суперпреципитация и аденоцитрифосфатазная активность протеин М-актомиозинового комплекса 637

БИОХИМИЯ

- Г. В. Цицишвили (академик АН ГССР), О. Ю. Зардалишвили,
Т. Г. Андроникашвили (член-корреспондент АН ГССР), К. О. Қи-
кодзе, И. Ш. Шатиришвили. Некоторые биохимические показа-
тели перца, выращенного на клиноптиолитсодержащей почве 641

ЭНТОМОЛОГИЯ

- Г. К. Гугушвили. Раздражимость *Anopheles maculipennis* Meig. в обработанных
и необработанных помещениях поселков Грузинской ССР 645

ЯЗЫКОЗНАНИЕ

- * М. У. Хоперия. Общелингвистическое понятие субъекта и семантические
функции подлежащего в современном французском языке 650
* Р. Ч. Чхенкели. Антропоморфная лексика, использованная в грузинском
народном зодческом деле 655

ИСТОРИЯ ЛИТЕРАТУРЫ

- * З. К. Гамсахурдиа. Символическая ономатология «Витязя в барсовой
шкуре» 657

C O N T E N T S

MATHEMATICS

G. N. Khimshiashvili. On the connection of the Fredholm index with analytical geometry	468
V. V. Boltyansky. On dense imbeddings of topological vector spaces	472
V. A. Paatashvili, G. A. Khuskivadze. On a derivative function of conformal mapping	475
N. Sh. Pilauri. Saturation classes of Cesaro methods of double trigonometric Fourier series	480
V. V. Shevchik. The action of an operator with non-closed range of the orthogonal bases in Hilbert spaces	482
A. B. Kharazishvili. On the Borel mappings of metric spaces	488

CYBERNETICS

Z. Sh. Puturidze, Yu. A. Niauri. Linear representation of no-structured complexes of R-graph commands	491
A. G. Gabelaya. The frequency stabilizability criterion of linear autonomous systems with incomplete information	496
R. L. Khomeriki. On the estimation of data handling processes	499
Yu. B. Weinstein. Consideration of component pin orientations in the algorithm of planarization of circuit graphs	503
S. A. Shavgulidze, M. G. Shanidze. Asymptotic characteristics of convolutional concatenated codes in the systems with q-positional signals	508

PHYSICS

A. A. Burchuladze, G. I. Togonidze, S. V. Pagava, M. V. Avtandilashvili, N. E. Kirikashvili, K. P. Khulordava, D. V. Chalatashvili. Radiocarbon dating of archaeological samples of organic origin	512
R. V. Kantaria, N. P. Kekelidze, A. A. Mirtskhulava, G. I. Goberdzhishvili, I. V. Papidze, A. N. Ivanishvili. Absorption effectiveness in solar cells based on $GaAs_{1-x}P_x - Cu_{2-y}S$	516
I. G. Gverdtsiteli, A. B. Gerasimov, Z. G. Gogua, Z. V. Jibuti, M. G. Pkhakadze. Electron-hole mechanism of stoichiometric defect formation in covalent crystals	520

GEOPHYSICS

S. A. Yufin, V. I. Titkov, T. L. Berdzenishvili. Finite element method algorithms optimization on increasing the order of elements used	524
---	-----

ANALYTICAL CHEMISTRY



- I. Sh. Shatirishvili, Z. A. Iordanishvili. Chromatographic analysis procedure for balanced vapour and liquid phase 528

ORGANIC CHEMISTRY

- R. V. Kereselidze, L. D. Melikadze, D. B. Razmadze, T. N. Shatikishvili. High-temperature condensation of tetrachloroethylene with naphthalene and 1-and 2-methylnaphthalenes 532
- J. R. Lagidze, T. N. Revazishvili, L. I. Talakvadze, N. S. Sanikidze. Synthesis of new sulphuryl amide compounds based on 3-(sulphonylchloridephenyl)-1-bromobutane, 3-(3-sulphonylchloride-4-ethylphenyl)-1-bromobutane 536
- T. A. Kovziridze, D. G. Chavchadze, A. I. Dvalishvili, S. S. Berman, R. M. Lagidze. Investigation of thermodynamical stability of stereoisomers of the perhydrides of dispiro-[5, 1', 10, 1'']-dicyclopentane-4b, 5, 9b, 10-tetrahydroindeno (2,1-a) indene] and dispiro [5, 1', 10, 1'']-dicyclohexane-4b, 5, 9b, 10, tetrahydroindeno (2, 1-a) indene] 540
- I. J. Mcchedlishvili, L. D. Melikadze, E. A. Usharauli. Photochemical oxidation intensity of high-boiling aromatic hydrocarbons of Norio crude oil 544

PHYSICAL CHEMISTRY

- E. M. Benashvili, O. S. Baidoshvili. Catalytic activity of modified clinoptilolite-and mordenite-containing tuffs in the transformation reaction of ortho and metaxylenes 548
- M. I. Gozalishvili, Z. G. Dzotsenidze, V. A. Sobolev, T. V. Kochashvili, D. I. Petviashvili. The mechanism of heterogeneous recombination on the surface of amorphous orthophosphate 552
- G. V. Tsitsishvili, L. K. Kvantaliani, D. S. Chipashvili, Z. V. Mikelashvili, M. L. Kantaria. Thermal properties of phillipsite 556

CHEMICAL TECHNOLOGY

- V. N. Gaprindashvili, L. D. Gogichadze, T. B. Janimanov, R. D. Chagelishvili, M. Sh. Tabatadze. Chalcopyrite concentrate break-down by iron (III) sulphate 560
- A. I. Dalakishvili. On the formation of spherulites in soda-lime glass 563
- P. N. Japaridze, B. G. Maisuradze, N. V. Gamkrelidze, N. V. Kelbakiani, E. V. Orlik, M. G. Kapanadze. Coal heating at the first step of uninterrupted carbonization by heat-transfer agent followed by blending with sulphite malt-residue 567

PHYSICAL GEOGRAPHY

- Z. K. Tintilozov, V. D. Rezvan, V. N. Dublyansky, A. B. Klimchuk. Speleological and hydrological peculiarities of the Bzybi massif 572

HYDROLOGY

- N. G. Machavariani, L. T. Inasaridze. The solid run-off of the Kolkheti lowland rivers and its annual distribution 575

- I. Sh. Shatirishvili, Z. A. Iordanishvili. Chromatographic analysis procedure for balanced vapour and liquid phase 528

ORGANIC CHEMISTRY

- R. V. Kereselidze, L. D. Melikadze, D. B. Razmadze, T. N. Shatakishvili. High-temperature condensation of tetrachloroethylene with naphthalene and 1-and 2-methylnaphthalenes 532
- J. R. Lagidze, T. N. Revazishvili, L. I. Talakvadze, N. S. Sanikidze. Synthesis of new sulphuryl amide compounds based on 3-(sulphonylchloridephenyl)-1-bromobutane, 3-(3-sulphonylchloride-4-ethylphenyl)-1-bromobutane 536
- T. A. Kovziridze, D. G. Chavchianidze, A. I. Dvalishvili, S. S. Berman, R. M. Lagidze. Investigation of thermodynamical stability of stereoisomers of the perhydrides of dispiro-[5, 1', 10, 1'''-dicyclopentane-4b, 5, 9b, 10-tetrahydroindeno (2,1-a) indene] and dispiro [5, 1', 10, 1'''-dicyclohexane-4b, 5, 9b, 10, tetrahydroindeno (2, 1-a) indene] 540
- I. J. Mchedlishvili, L. D. Melikadze, E. A. Usharauli. Photochemical oxidation intensity of high-boiling aromatic hydrocarbons of Norio crude oil 544

PHYSICAL CHEMISTRY

- E. M. Benashvili, O. S. Baidoshvili. Catalytic activity of modified clinoptilolite-and mordenite-containing tuffs in the transformation reaction of ortho and metaxylenes 548
- M. I. Gozalishvili, Z. G. Dzotsenidze, V. A. Sobolev, T. V. Kochashvili, D. I. Petviashvili. The mechanism of heterogeneous recombination on the surface of amorphous orthophosphate 552
- G. V. Tsitsishvili, L. K. Kvartialiani, D. S. Chipashvili, Z. V. Mikkelashvili, M. L. Kantaria. Thermal properties of phillipsite 556

CHEMICAL TECHNOLOGY

- V. N. Gaprindashvili, L. D. Gogichadze, T. B. Janimanov, R. D. Chagelishvili, M. Sh. Tabatadze. Chalcopyrite concentrate break-down by iron (III) sulphate 560
- A. I. Dalakishvili. On the formation of spherulites in soda-lime glass 563
- P. N. Japaridze, B. G. Maisuradze, N. V. Gamkrelidze, N. V. Kelbakiani, E. V. Orlik, M. G. Kapanadze. Coal heating at the first step of uninterrupted carbonization by heat-transfer agent followed by blending with sulphite malt-residue 567

PHYSICAL GEOGRAPHY

- Z. K. Tintilozov, V. D. Rezvan, V. N. Dublyansky, A. B. Klimchuk. Speleological and hydrological peculiarities of the Bzybi massif 572

HYDROLOGY

- N. G. Machavariani, L. T. Inasaridze. The solid run-off of the Kolkheti lowland rivers and its annual distribution 575



GEOLOGY

- N. Sh. Salukvadze, E. A. Tsagareli, T. T. Gavtadze. New data on the Upper Eocene and Lower Oligocene of the Eristsqali basin 579
 A. I. Makharadze. On manganese-bearing deposits of the Khereiti upland 584

PALAEONTOLOGY

- V. I. Gotsadze. Distribution of dirccysts in the Middle Maikopian series of the north-western Caucasus 587
 Z. M. Lebanidze. A new genus *Etaillonopsis* (*Hexacorallia*) from the Upper Oxfordian deposits of western Georgia 591

PETROLOGY

- M. Kurze, W. Lemke, R. Wincholz. Some remarks on the term "quartzite" 595

MINERALOGY

- G. I. Nasidze, R. A. Akhvlediani. On crystallization of pyroxenes and amphiboles from the Adjaro-Trialeti volcanic rocks 600

METALLURGY

- R. A. Tskhadaya, D. I. Bagdavadze, G. G. Gvelesiani. Investigation of interaction in *Mn-Si-Ca-O-C* systems 603
 Z. U. Jabua, T. O. Dadiani, L. N. Glurjidze, E. V. Dokadze, V. V. Sanadze. Preparation of thin samarium monoantimonide films 606
 V. I. Eremenko, L. E. Gukasyan, D. A. Nezadze. Concentration of longitudinal stresses around brittle restricted composite material fibre with elastic matrix 612

MACHINE BUILDING SCIENCE

- R. R. Kobbiashvili. Mathematical simulation of unstable milling process dynamics at skidding on digital computer 616
 V. G. Prozorov, V. S. Baakashvili. Mathematical model of mechanical behaviour of collector composite materials 620

HYDRAULIC ENGINEERING

- G. E. Kikacheishvili, A. M. Zilbershtein. Technical and economical calculation of circular water-supply line with regard to construction order 623

ELECTROTECHNICS

- N. A. Aburjania, T. G. Museliani, N. S. Nikolaishvili. Balance conditions for double transformer bridge 628

PLANT PHYSIOLOGY

- N. A. Meliksetyan. Border tolerance to dehydration as indicator of American walnuts adaptation in Tbilisi botanical garden 632

HUMAN AND ANIMAL PHYSIOLOGY

- Z. S. Khanaeva, E. S. Moniava, I. A. Tsomaya, M. P. Butskhrikidze. Changes of the cerebral cortex electrical activity in cats following cerebroventricular administration of vasopressin 636

BIOPHYSICS

- M. Sh. Melikishvili, G. V. Mikadze, G. I. Pavliashvili, M. M. Zaalistvili. Superprecipitation and ATP-ase activity of protein M-actomyosin complex 640

BIOCHEMISTRY

- G. V. Tsitsishvili, O. Yu. Zardalishvili, T. G. Andronikashvili, K. O. Kikodze, I. Sh. Shatirishvili. Some biochemical indices of pepper grown on clinoptilolite-containing soil 644

ENTOMOLOGY

- G. K. Gugushvili. Irritability of *Anopheles maculipennis* Meig. in treated and untreated buildings in the Georgian SSR 647

LINGUISTICS

- M. V. Khoperia. Linguistic notion of subject and semantic functions of syntactic subject in modern French 651

- R. Ch. Chkhenkeli. Anthropomorphic lexis used in Georgian folk dwelling construction 656

HISTORY OF LITERATURE

- Z. K. Gamsakhurdia. The symbolic onomatology of "The Knight in the Panther's Skin" 660



Г. Н. ХИМШИАШВИЛИ

О СВЯЗИ ФРЕДГОЛЬМОВСКОГО ИНДЕКСА С АНАЛИТИЧЕСКОЙ ГЕОМЕТРИЕЙ

(Представлено академиком Г. С. Чогошвили 11.4.1986)

1. Естественным подходом к решению хорошо известной задачи о вычислении фредгольмовского индекса линейного оператора, заданного как функция от системы образующих, является использование комплексно-аналитических методов. Именно на этом пути указанная задача была решена в концептуально наиболее простом, но важном частном случае [1], причем из полученной формулы явствует наличие связи между фредгольмовским индексом и кратностью голоморфного отображения. Учитывая, что оба эти понятия обладают сходными функциональными свойствами в комплексно-аналитической категории, можно было рассчитывать на углубление установленной связи. В настоящей заметке делаются еще два шага в этом направлении: обращается связь между индексом и кратностью, что позволяет придать кратности операторный смысл, и для специальных систем операторов указывается способ вычисления фредгольмовского индекса в терминах пересечений аналитических многообразий.

Основным техническим средством является голоморфное функциональное исчисление в смысле Дж. Тейлора в форме, например, работы [2], и мы будем свободно пользоваться соответствующими понятиями и результатами.

2.Упомянутое обращение связи между индексом и кратностью из [1] достигается путем введения многомерных аналогов теплицевых операторов, ранее уже исследованных по другому поводу [3]. Ввиду тесной связи свойств теплицева оператора и его символа, не удивительно, что именно для них возможен перевод с языка голоморфных ростков на язык операторных алгебр.

Пусть U — строго псевдоположительная область в C^n , а f_1, \dots, f_n — набор голоморфных функций в C^n с единственным общим нулем w . Введем операторы T_i , действующие в пространстве Харди $H^2(\bar{U})$ [3] умножением на функцию f_i , $i = 1, \dots, n$, и обозначим через T_f полученный коммутирующий набор операторов. Для него определены спектр $\text{sp}(T_f)$, существенный спектр $\text{sp}_e(T_f)$ и фредгольмовский индекс (см. [1, 2]). Для их описания удобнее всего ввести коммутирующий набор Z , отвечающий координатным функциям z_i , и заметить, что в этой ситуации функциональное исчисление trivialизируется: $T_f = f(T_Z)$. Легко проверить, что $\text{sp}(T_Z) = \bar{U}$ и $\text{sp}_e(T_Z) = \partial U$, откуда сразу следует критерий фредгольмовости набора f , а именно, функции f_i не должны иметь общих нулей на границе ∂U . Поскольку это обеспечено сделанными предположениями, остается подсчитать индекс на-



бора T_z в какой-нибудь точке из U , который, как легко видеть, не зависит от точки и равен -1 . Поэтому, применяя формулу из [1], заключаем, что индекс T_f равен $-m_w(f)$, где $m_w(f)$ — кратность голоморфного отображения f в его изолированном прообразе w .

Предложение 1. Если U — строго псевдовыпуклая область в \mathbb{C}^n , то при наших обозначениях имеем равенство

$$\text{ind } T_f = -m_w(f).$$

Важно отметить, что можно получить прямое доказательство простым подсчетом коядер (ядра тривиальны) операторов умножения на ростки \tilde{f}_i в соответствующем пространстве ростков в точке w . При этом становится ясна роль локального кольца отображения f в точке w и структуры умножения в нем, связанной, как известно [4], с символом вычета Гrotендика и локальной степенью, которая имеет смысл и для любых непрерывных функций. Чтобы обобщить полученное равенство, нужно ввести уже настоящие теплицевые операторы: для $f \in C(\bar{U})$ оператор $T_f : H^2(\bar{U}) \rightarrow H^2(\bar{U})$ определяется как $P \hat{f}_i$, где $P : L^2(U) \rightarrow H^2(\bar{U})$ — аналог проектора Сере [3], а \hat{f}_i — оператор умножения на функцию в пространстве $L^2(\bar{U})$, суженный на $H^2(\bar{U})$. Заметим, что теперь уже операторы вида T_f коммутируют только по модулю компактных операторов из $L(H^2)$, то есть для набора f_1, \dots, f_n набор T_f является существенно коммутирующим [1]. Поэтому для него определены существенный спектр и фредгольмовский индекс [1]. В частности, критерием фредгольмовости по-прежнему будет отсутствие общих нулей на ∂U , и можно сформулировать обобщение предложения 1.

Теорема 1. Пусть U — строго псевдовыпуклая область в \mathbb{C}^n и f_1, \dots, f_n — непрерывные функции в \bar{U} , не имеющие общих нулей на ∂U . Тогда набор теплицевых операторов T_f фредгольмов и имеет место равенство:

$$\text{ind } T_f = -\deg(f, 0),$$

где $\deg(f, 0)$ — степень отображения f в области \bar{U} относительно начала координат.

Для доказательства приходится воспользоваться аддитивностью индекса и степени отображения и свести рассмотрение к случаю, когда у функций f_i есть единственный общий нуль в \bar{U} , а тогда все решается следующим утверждением.

Предложение 2. Пусть в условиях теоремы 1 функции $f_i \in C^\infty$ имеют единственный общий нуль w в \bar{U} . Тогда

$$\text{ind } T_f = -\deg_w f,$$

где $\deg_w f$ — локальная степень отображения f в точке w .

Для доказательства последнего можно вновь свести дело к операторам в пространстве ростков C_w^∞ , где наличие символа Гrotендика позволяет выразить в терминах соответствующей квадратичной формы на локальном кольце [1] и локальную степень, и гомологии комплекса Кошуля построенного набора операторов. Переход к произвольным непрерывным функциям не составляет труда в силу свойств устойчивости индекса и степени.

Отметим, что из теоремы 2 легко следует результат Венгура и Алкришны [3] об индексе матричных теплицевых операторов, установленный им только для шара. Кроме того, интересным представляется сам тот факт, что инвариант нульмерной особенности, какой является изолированный прообраз кратности, большей единицы, допускает интерпретацию в терминах индекса системы операторов. Поскольку естественно рассматривать всю алгебру теплицевых операторов, а такие алгебры обладают более сложными гомологическими инвариантами — высшими индексами, то можно надеяться, что и для более сложных особенностей возможен перевод с одного языка на другой. В этом свете содержание следующего пункта можно рассматривать как подтверждение сказанного в случае особенностей типа полных пересечений.

3. Мы переходим к рассмотрению операторов, совместный спектр которых устроен как полные пересечения. При этом естественно возникают операторы, связанные функциональными соотношениями, которые, к тому же, в последнее время играют заметную роль при изучении дифференциальных уравнений, описывающих периодические структуры, например, операторы метода обратной задачи теории рассеяния в теории солитонов. Поскольку совместный спектр является аналитическим подмножеством, наличие соотношений позволяет уточнить его расположение, в частности, при одномерном спектре можно описать его ветви и получить формулу для индекса функции от системы таких операторов.

Пусть A_1, \dots, A_n — коммутирующие линейные операторы в гильбертовом пространстве H , удовлетворяющие $n-k$ функционально независимым аналитическим соотношениям $F_i(A_1, \dots, A_n)=0$, $i=1, \dots, n-k$. В этом случае их спектр $\text{sp}(A)$ не более чем k -мерен. Из свойств комплекса Кошуля системы A вытекает, что ни в одной точке не может быть обратимых подсистем из менее чем k данных операторов. Мы предположим, что всюду можно найти ровно k операторов, образующих обратимую подсистему. Пусть, кроме того, заданы k функций f_i , не имеющих общих нулей на существенном спектре системы A .

Теорема 2. *Пусть при сделанных предположениях система соотношений $F_i=0$ униформизуема, то есть локально всюду можно выразить операторы системы A через k функционально независимых операторов. Тогда система $f(A)$ фредгольмова и*

$$\text{ind } f(A) = (f^{-1}(0), \text{sp}(A)),$$

где (\cdot, \cdot) обозначает индекс пересечения аналитических подмножеств $f^{-1}(0)$ и $\text{sp}(A)$.

Особенно часто встречаются коммутирующие пары операторов, для которых, к тому же, предшествующий результат упрощается, поскольку неприводимую кривую всегда можно униформизовать.

Теорема 3. *Пусть коммутирующие операторы A_1 и A_2 связаны неприводимым полиномиальным соотношением $F(A_1, A_2)=0$. Тогда для аналитической функции f , заданной в окрестности спектра $\text{sp}(A)$, и не равной нулю на $\text{sp}_e(A)$ оператор $f(A_1, A_2)$ фредгольмов и имеет место равенство:*

$$\text{ind } f(A_1, A_2) = (f^{-1}(0), \text{sp}(A)).$$

Для доказательства этих теорем необходимо использовать аддитивность индекса пересечения и фредгольмовского индекса, что позволяет локализовать рассмотрения и считать, что все операторы A_1, A_2 и $f(A_1, A_2)$ как функции от k независимых. К последним применима формула



из [1] для индекса системы из k операторов, правая часть которой по теореме о неявной функции для голоморфного функционального исчисления легко преобразуется в локальный индекс пересечения спектра и поверхности уровня.

В заключение отметим, что, комбинируя результаты обоих пунктов, можно получить аналог теоремы 1 для теплицевых операторов на аналитических подмногообразиях в C^n .

Академия наук ГССР
Тбилисский математический институт
им. А. М. Размадзе

(Поступило 11.4.1986)

გათხმილა

8. ხიმშიაშვილი

ურედიოლოგის ინდიქსის პავილის ზესახებ ანალიზურ გეომეტრიასთან

რეზიუმე

მოყვანილია ონიშნული კავშირის ზოგიერთი გამოყენება ანალიზურად მოცემული ოპერატორის ინდექსის გამოთვლის მიმცავაში ოპერატორებისათვის, რომლებიც აქმაყოფილებენ ანალიზურ თანაფარდობებს. დამტკიცებულია, რომ ამ ოპერატორების პოლომორფულ ფუნქციათა სისტემის ინდექსი უდრის შესაბამისი ღონის ზედაპირის სპექტრთან თანაკვეთის ინდექსს. მოცემულია აგრეთვე პოლომორფული ასახვის ჯერადობის ოპერატორული ინტერპრეტაცია.

MATHEMATICS

G. N. KHIMSHIASHVILI

ON THE CONNECTION OF THE FREDHOLM INDEX WITH ANALYTICAL GEOMETRY

Summary

The paper presents some applications of the mentioned connection to the problem of computing the Fredholm index for an operator expressed in analytical terms. It is shown that the Fredholm index of a set of functions of analytically dependent operators is equal to the intersection index of their spectrum with the level surface of the corresponding holomorphic mapping. An operatorial interpretation of the multiplicity of a holomorphic mapping is obtained, which provides an example of reversing the specified connection with the aim of studying the analytic singularities in terms of the corresponding algebras of Toeplitz operators.

ლიტერატურა — ЛИТЕРАТУРА — REFERENCES

- Г. Н. Химшиашвили. Сообщения АН ГССР, 120, № 1, 1985, 25—28.
- А. Я. Хелемский. Успехи матем. наук, 36, вып. I, 1981, 127—172.
- R. Venugopalkrishna. J. Func. Analysis, v. 5, № 1, 1970.
- Г. Н. Химшиашвили. Сообщения АН ГССР, 85, № 2, 1977, 309—312.

МАТЕМАТИКА

В. В. БОЛТЯНСКИЙ

О ПЛОТНЫХ ВЛОЖЕНИЯХ ТОПОЛОГИЧЕСКИХ ВЕКТОРНЫХ ПРОСТРАНСТВ

(Представлено академиком Г. С. Чогошвили 30.11.1985)

В [1] рассматриваются плотные вложения банахова пространства X в банахово пространство Y и вопрос об эквивалентности норм $\|\cdot\|_X$ и $\|\cdot\|_Y$ на X связывается с наличием в X собственных замкнутых подпространств, плотных в Y . Здесь этот вопрос решается для топологических векторных пространств.

Теорема 1. Пусть Y — отдельное локально выпуклое топологическое векторное пространство и X — его векторное подпространство, плотное в Y . Пусть, далее, в X введена своя топология τ_X , превращающая X в отдельное локально выпуклое топологическое векторное пространство, причем тождественное вложение $i: X \rightarrow Y$ непрерывно. Если X не содержит собственных замкнутых подпространств, плотных в Y , то любой непрерывный линейный функционал $x' \in X'$ однозначно продолжается до непрерывного линейного функционала на всем пространстве Y (и потому сопряженные пространства X' и Y' естественно изоморфны).

Доказательство. Пусть $x': X \rightarrow R$ — нетривиальный непрерывный линейный функционал и L — его ядро. Согласно условию, L не является плотным в Y . Следовательно, существует непрерывный линейный функционал $y': Y \rightarrow R$, обращающийся в нуль на L . Композиция $y' \circ i$ отображений $X \xrightarrow{i} Y \xrightarrow{y'} R$ представляет собой непрерывный (в топологии τ_X) линейный функционал на X , который обращается в нуль на L . Следовательно, $y' \circ i = \lambda x'$. Здесь $\lambda \neq 0$ (иначе функционал y' был бы тривиальным, что противоречит его выбору). Функционал $\frac{1}{\lambda} y'$ и является продолжением функционала x' на все Y .

Теорема 2. Если при выполнении условий теоремы 1 пространство Y метризуемо (т. е. [1] топология τ_Y имеет счетный базис окрестностей начала), то топология τ_X совпадает с индуцированной топологией (т. е. с топологией τ_Y , рассматриваемой на подпространстве X).

Доказательство. Предположим, напротив, что эти топологии не совпадают, т. е. существует такая окрестность нуля $U \subset X$ в топологии τ_X , что какую бы окрестность нуля $V \subset Y$ мы ни взяли, $V \cap X$ не содержится в U . Выберем счетный базис $V_1 \supset V_2 \supset \dots$ выпуклых окрестностей нуля в Y и построим индуктивно последовательность $\{x_n\}$ в X и последовательность $\{x'_n\}$ в X' , для которых выполняются следующие свойства:

1. $3 \cdot 4^n x_n \in V_n \cap X$ и $x_n \in \overline{U}$ (замыкание в топологии τ_X);

2. $x'_n(x_n) = 1$, $|x'_n(x)| \leq 1$ при $x \in U$;

$$3. \quad \left| \sum_{k=1}^{n-1} \frac{1}{4^k} x'_k(x_n) \right| < \frac{1}{3 \cdot 4^n} \text{ при } n > 1.$$

Пусть при некотором $n \geq 1$ уже построены x_1, \dots, x_{n-1} , x'_1, \dots, x'_{n-1} , удовлетворяющие этим условиям; построим x_n , x'_n . Так как функционал

$$f_n = \sum_{k=1}^{n-1} \frac{1}{4^k} x'_k$$

непрерывен в топологии τ_X (при $n=1$ принимаем $f_n \equiv 0$), то по теореме 1 он имеет непрерывное продолжение (также обозначаемое через f_n) на Y .

Пусть V_n^* — такая окрестность нуля в Y , что в ней непрерывный функционал f_n принимает значения, меньшие по модулю, чем $\frac{1}{3 \cdot 4^n}$. Так как $\left(\frac{1}{3 \cdot 4^n} V_n \right) \cap V_n^* \cap X$ не содержится в U , то существует такой элемент $x_n \in X$, что $x_n \in \left(\frac{1}{3 \cdot 4^n} V_n \right) \cap V_n^*$ и $x_n \notin U$. При этом можно предполагать, что $x_n \in \overline{U}$. Тогда $|f_n(x_n)| < \frac{1}{3 \cdot 4^n}$ (поскольку $x_n \in V_n^*$), т. е. выполнено условие 3. Выполнено и условие 1 (поскольку $x_n \in \frac{1}{3 \cdot 4^n} V_n$, $x_n \in \overline{U}$).

Наконец, так как $x_n \notin U$, $x_n \in \overline{U}$, то по теореме Хана—Банаха существует такой непрерывный линейный функционал $x'_n \in X'$, что $x'_n(x_n) = 1$ и $|x'_n(x)| < 1$ при $x \in U$. Следовательно, $|x'_n(x)| \leq 1$ при $x \in \overline{U}$, т. е. выполнено и условие 2.

Итак, $\{x_n\}$, $\{x'_n\}$ построены. Положим

$$f(x) = \sum_{k=1}^{\infty} \frac{1}{4^k} x'_k(x), \quad x \in X.$$

Этот ряд сходится для любого $x \in X$ и является непрерывным линейным функционалом. Далее, в силу условий 1, 2 имеем $x_p \in \overline{U}$ и потому $|x'_n(x_p)| \leq 1$ при любых n, p . Теперь находим (учитывая условия 1, 2, 3)

$$\begin{aligned} f(x_n) &\geq - \left| \sum_{k=1}^{n-1} \frac{1}{4^k} x'_k(x_n) \right| + \frac{1}{4^n} x'_n(x_n) - \left| \sum_{k=n+1}^{\infty} \frac{1}{4^k} x'_k(x_n) \right| > \\ &> - \frac{1}{3 \cdot 4^n} + \frac{1}{4^n} - \sum_{k=n+1}^{\infty} \frac{1}{4^k} = \frac{1}{3 \cdot 4^n}, \end{aligned}$$

т. е. $f(3 \cdot 4^n x_n) > 1$.

По теореме 1 функционал f имеет непрерывное продолжение (также обозначаемое через f) на Y . В силу доказанного f принимает в точке $3 \cdot 4^n x_n \in V_n$ значение, большее 1, что противоречит его непрерывности. Полученное противоречие доказывает, что τ_X совпадает с индуцированной топологией.

Теорема 3. Пусть X, Y — банаховы пространства и X вложено в Y , т. е. $X \subset Y$ и существует такая константа m , что $\|x\|_Y \leq m \|x\|_X$ для любого $x \in X$. Предположим, что это вложение плотно, т. е. $\overline{X} = Y$. Если X не содержит собственных замкнутых (в X) подпространств, плотных в Y , то нормы $\|\cdot\|_X$ и $\|\cdot\|_Y$ эквивалентны на X (т. е. $\|x\|_X \leq M \|x\|_Y$ для любого $x \in X$), а сопряженные пространства X^* и Y^* естественно изоморфны.

Это непосредственно следует из теорем 1 и 2.

Пример 1. Пусть $X = Y$ — гильбертово пространство, τ_X — топология, определяемая нормой, а τ_Y — слабая топология. Теорема 1 применима (любой непрерывный в топологии τ_X линейный функционал непрерывен и в топологии τ_Y). В то же время топологии τ_X и τ_Y не эквивалентны, т. е. теорема 2 неприменима. Это связано с тем, что топология τ_Y неметризуема.

Пример 2. Пусть Y — пространство всех действительных непрерывных функций $x(t)$ на R в топологии τ_Y , определяемой системой преднорм $p_n(x) = \sup_{|t| \leq n} |x(t)|$, $n = 1, 2, \dots$. Оно метризуемо, но не нормируемо [1].

Через $X \subset Y$ обозначим подпространство всех ограниченных непрерывных функций в топологии τ_X , определяемой нормой $\|x\| = \sup_{t \in R} |x(t)|$.

Эти топологии не эквивалентны на X . Неприменимость теоремы 2 связана с тем, что, например, ядро K непрерывного линейного функцио-

нала $I(x) = \int_{-\infty}^{\infty} e^{-|t|} x(t) dt$, определенного на X , представляет собой соб-

ственное замкнутое подпространство пространства X , плотное в Y .

Пример 3. Положим $Y = l_2$, $X = l_1$. Тогда $X \subset Y$, причем $\|x\|_Y \leq \|x\|_X$ для любого $x \in X$. Кроме того, вложение $X \subset Y$ плотно. Однако нормы $\|\cdot\|_X$ и $\|\cdot\|_Y$ не эквивалентны на X .

Неприменимость теоремы 3 связана здесь с тем, что X содержит собственные замкнутые подпространства, плотные в Y . Например, ядро K

непрерывного линейного функционала $I(x) = \sum_{k=1}^{\infty} x_k$ представляет собой собственное замкнутое подпространство пространства X , плотное в Y .

Новгородский политехнический институт

(Поступило 31.1.1986)

БАСОВАНИЯ

3. გოლობიანები

ტომოლოგიური ვექტორული სივრცეების გავრცელა ჩადგმათა უნივერსი

რეზიუმე

განიხილება უწყვეტი i ჩადგმა ტომოლოგიური ვექტორული $X \subseteq Y$ სივრცის ტომოლოგიურ ვექტორულ Y სივრცეში (ყველა სივრცეები განცალებადი და ლოკალურად ამოზნექილია). პირველი თეორემით, თუ X ჰკვრივია

Y -ში, მაგრამ X არ შეიცავს Y -ში მკვრივ ჩაკეტილ ვექტორულ სივრცეს, მაშინ შეუღლებული X' და Y' სივრცეები ბუნებრივად იზომორფულია. მეორე თეორემით, თუ Y მეტრიზებადია, მაშინ X -ის ტოპოლოგია ემთხვევა ინდუცირებულ ტოპოლოგიას. მოცემულია გამოყენებანი ბანაზის სივრცეთა შემთხვევაში.

MATHEMATICS

V. V. BOLTYANSKY

ON DENSE IMBEDDINGS OF TOPOLOGICAL VECTOR SPACES

Summary

Continuous imbedding I of a topological vector space $X \subset Y$ into a topological vector space Y is considered, the spaces being separable and locally convex. The first theorem states that if X is dense in Y but X contains no closed vector space which is dense in Y , then conjugate spaces X' and Y' are naturally isomorphic. If Y is metrizable, then (Theorem 2) the topology of X coincides with the induced topology. Applications in the case of Banach spaces are given.

ЛІТЕРАТУРА — REFERENCES

1. В. О. Яндаров. ДАН СССР, 276, № 6, 1984, 576—578.
2. Н. Бурбаки. Топологические векторные пространства. М., 1959.

В. А. ПААТАШВИЛИ, Г. А. ХУСКИВАДЗЕ

О ПРОИЗВОДНОЙ КОНФОРМНОГО ОТОБРАЖЕНИЯ

(Представлено академиком Б. В. Хведелидзе 17.4.1986)

Пусть Γ — простая, спрямляемая, замкнутая кривая, ограничивающая конечную область D , а $z = \omega(\zeta)$ — функция, конформно отображающая единичный круг на D .

В работе рассматриваются вопросы принадлежности к классам Харди функции $\omega'(\zeta)$ и к весовым классам Макенхаупта функции $\omega'(e^{i\theta})$.

1. Пусть $t = t(s)$, $0 \leq s \leq l$ — уравнение кривой Γ относительно дуговой абсциссы. Будем говорить, что кривая Γ принадлежит классу $T(\mu)$, $\mu \in (0, \pi]$, если для каждой точки $s \in [0, l]$ найдется окрестность, на которой значения функции $t'(s)$ лежат внутри угла с вершиной в начале координат и раствора μ .

Если $\Gamma \in T(\pi)$, то ее можно покрыть конечным числом дуг $\Gamma_k = [t_k, t_{k+1}]$, $k = \overline{1, n}$ так, что при $t \in \Gamma_k$ значения $t'(s)$ расположены в некоторой полуплоскости. Предположим, что в точке $t_0 = \omega(1)$ кривая Γ имеет касательную и существует предел $\lim_{\zeta \rightarrow 1} \arg \omega'(\zeta) = \beta_0$.

Определим на $[0, 2\pi]$ функцию $\alpha(\vartheta)$ следующим образом. За значение $\alpha(0)$ примем число $\beta_0 + \frac{\pi}{2}$, а в стальных точках $\alpha(\vartheta)$ определим так, чтобы $\exp i\alpha(\vartheta) = t'(s(\vartheta))$ и на каждом отрезке $[\vartheta_k, \vartheta_{k+1}]$, соответствующем дуге Γ_k , $k = \overline{1, n}$, она удовлетворяла условию $|\alpha(\vartheta) - \alpha(\vartheta')| < \pi$.

2. Лемма 1. Если $\Gamma \in T(\pi)$, то почти для всех $\vartheta \in [0, 2\pi]$

$$\lim_{\zeta \rightarrow e^{i\vartheta}} \arg \omega'(\zeta) = \alpha(\vartheta) - \vartheta - \frac{\pi}{2}. \quad (1)$$

Это утверждение является распространением теоремы Линделефа для кривых класса $T(\pi)$ (см., напр., [1, стр. 409—410]), где приведено доказательство в случае гладких кривых.

Лемма 2. Если $\Gamma \in T(\pi)$, то

$$\omega'(\zeta) = \overline{\omega'(0)} \exp \left\{ \frac{1}{\pi} \int_0^{2\pi} \frac{\alpha(\vartheta) - \vartheta - \frac{\pi}{2}}{e^{i\vartheta} - \zeta} d e^{i\vartheta} \right\}. \quad (2)$$

3. Пусть H_p — класс Харди, аналитических в круге функций (см., напр., [1, с. 388]), а A_p — множество измеримых 2π -периодических функций ρ , удовлетворяющих условию



$$\sup_{I, |I| < 2\pi} \left(\frac{1}{|I|} \int_I \rho^p(\vartheta) d\vartheta \right)^{1/p} \left(\frac{1}{|I|} \int_I \rho^{-p'}(\vartheta) d\vartheta \right)^{1/p'} < \infty.$$

С помощью леммы 2 и некоторых результатов из работы [2] доказывается

Теорема 1. Если $\Gamma \in T \left(\frac{\pi}{\lambda} \right)$, $\lambda > 1$, то

$$[\omega'(\zeta)]^{\pm 1} \in H_\lambda, \quad [\omega'(e^{i\vartheta})]^{\pm 1} \in A_\lambda. \quad (3)$$

Представление (2) и привлечение результатов из [3, 4] дают возможность единственным способом установить утверждения, обобщающие некоторые результаты из [5–7]. Так, например:

Если Γ — кривая с ограниченным вращением (т. е. $t'(s)$ — функция с конечной вариацией) без точек возврата, $\{c_k\}$ — множество точек разрыва $t'(s)$, $\delta_k \pi$ — угол, составленный правой касательной в c_k с левой, то

$$\omega'(\zeta) = \prod_{\delta_i > 0} (\zeta - c_i)^{\delta_i} \prod_{\delta_k < 0} (\zeta - c_k)^{-\delta_k} \omega_0(\zeta), \quad (4)$$

где

$$\omega_0^{\pm 1}(\zeta) \in \bigcap_{p > 1} H_p, \quad \omega_0^{\pm 1}(e^{i\vartheta}) \in \bigcap_{p > 1} A_p.$$

В частности, отсюда следует результат работы [5] о том, что в рассматриваемом случае $\omega' \in H_\nu$ для любого $\nu < \inf_{\delta_k < 0} \left\{ \frac{1}{|\delta_k|} \right\}$, а $[\omega']^{-1} \in H_\mu$ для любого $\mu < \inf_{\delta_i > 0} \left\{ \frac{1}{\delta_i} \right\}$.

Если Γ — кусочно-гладкая кривая без точек заострения, а c — ее угловая точка, то

$$\omega'(\zeta) = (\zeta - c)^\nu \omega_0(\zeta), \quad (5)$$

где $\nu \pi$ — угол, составленный правой касательной с левой, а $\omega_0^{\pm 1} \in \bigcap_{p > 1} H_p$.

Когда же в точке c сходятся ляпуновские дуги, то $\omega_0^{\pm 1}$ непрерывны в окрестности c .

Случай кусочно-ляпуновских кривых рассмотрен в [5], случай кусочно-гладких и кривых с ограниченным вращением — в [6, 7].

Академия наук Грузинской ССР
Тбилисский математический институт
им. А. М. Рамадзе

(Поступило 22.5.1986)

გათივაბისა

3. პაათაშვილი, გ. ხუსკვადე

ტონისორმული ასახვის ფარმოებულის გესახებ

რეზიუმე

განხილულია ერთეულოვანი წრის ცალადბმულ არეზე კონფორმულად ამ-სახველ ფუნქციის წარმოებულისა და მისი სასაზღვრო ფუნქციის, შესაბამისად, ჰარდისა და მაკენაუნტის კლასებისადმი მიკუთვნების საკითხები.

V. A. PAATASHVILI, G. A. KHUSKIVADZE

ON A DERIVATIVE FUNCTION OF CONFORMAL MAPPING

Summary

Questions are considered concerning the belonging of a derivative function, conformally mapping a unit circle onto a simply-connected domain and its boundary function to the Hardy and Muckenhoupt weighted classes, respectively.

ლიტერატურა — REFERENCES

1. Г. М. Голузин. Геометрическая теория функций комплексного переменного. М., 1966.
2. И. Б. Симоненко. Изв. АН СССР, сер. мат., 28, № 2, 1964, 277—306.
3. И. И. Данилюк. Нерегулярные граничные задачи на плоскости. М., 1975.
4. В. М. Кокилашвили, В. А. Пааташвили. Диф. ур-я, XVI, № 9, 1989, 1650—59.
5. S. E. Warschawski. Math. Zeitschr., 35 № 3-4, 1932, 321-456.
6. S. E. Warshawski, G. E. Schobert. Archive for Rational Mechanics and Analysis, vol. 22, № 3, 1966, 201-209.
7. А. А. Соловьев. Сиб. мат. ж., XXVI, № 3, 1985, 168—191.

V. A. PAATASHVILI, G. A. KHUSKIVADZE

ON A DERIVATIVE FUNCTION OF CONFORMAL MAPPING

Summary

Questions are considered concerning the belonging of a derivative function, conformally mapping a unit circle onto a simply-connected domain and its boundary function to the Hardy and Muckenhoupt weighted classes, respectively.

СПОДОБОВО—ЛИТЕРАТУРА—REFERENCES

1. Г. М. Голузин. Геометрическая теория функций комплексного переменного. М., 1966.
2. И. Б. Симоненко. Изв. АН СССР, сер. мат., 28, № 2, 1964, 277—306.
3. И. И. Данилюк. Нерегулярные граничные задачи на плоскости. М., 1975.
4. В. М. Кокилашвили, В. А. Пааташвили. Диф. ур-я, XVI, № 9, 1989, 1650—59.
5. S. E. Warschawski. Math. Zeitschr., 35 № 3-4, 1932, 321-456.
6. S. E. Warshawski, G. E. Schobert. Archive for Rational Mechanics and Analysis, vol. 22, № 3, 1966, 201-209.
7. А. А. Соловьев. Сб. мат. ж., XXVI, № 3, 1985, 168—191.

МАТЕМАТИКА

Н. Ш. ПИЛАУРИ

О КЛАССАХ НАСЫЩЕНИЯ ДЛЯ МЕТОДОВ ЧЕЗАРО ДВОЙНЫХ ТРИГОНОМЕТРИЧЕСКИХ РЯДОВ ФУРЬЕ

(Представлено членом-корреспондентом Академии Л. В. Жижиашвили 27.5.1986)

Пусть $f \in C(T^2)$, $T = [-\pi, \pi]$. Функции (см. [1, с. 124])

$$\omega_1(f, \delta) = \sup_{|h| < \delta} \|f(x_1 + h, x_2) - f(x_1, x_2)\|_C,$$

$$\omega_2(f, \delta) = \sup_{|\eta| < \delta} \|f(x_1, x_2 + \eta) - f(x_1, x_2)\|_C,$$

называются частными модулями непрерывности функции f .

Как обычно, через $\sigma_{n_1, n_2}^{\alpha_1, \alpha_2}(f, x_1, x_2)$, $\alpha_1, \alpha_2 > -1$, обозначаются средние Чезаро, определенные следующим образом:

$$\sigma_{n_1, n_2}^{\alpha_1, \alpha_2}(f, x_1, x_2) = \frac{1}{\pi^2} \int_{T^2} f(x_1 + t_1, x_2 + t_2) K_{n_1}^{\alpha_1}(t_1) K_{n_2}^{\alpha_2}(t_2) dt_1 dt_2,$$

где $K_v^\alpha(\tau)$ — ядро Чезаро порядка α , т. е.

$$K_v^\alpha(\tau) = \frac{1}{A_\alpha} \sum_{j=0}^v A_{v-j}^{\alpha-1} D_f(\tau),$$

$$D_f(\tau) = \frac{\sin \left(j + \frac{1}{2} \right) \tau}{2 \sin \frac{\tau}{2}},$$

$$A_v^\alpha = \frac{(\alpha+1)(\alpha+2) \cdots (\alpha+v)}{v!}.$$

Через $\tilde{f}_1(x_1, x_2)$ и $\tilde{f}_2(x_1, x_2)$ обозначаются соответственно (см. [2, с. 123]) сопряженные функции по переменному x_1 и по переменному x_2 , определенные следующим образом:

$$\tilde{f}_1(x_1, x_2) = -\frac{1}{2\pi} \int_{-\pi}^{\pi} f(x_1 + t_1, x_2) \operatorname{ctg} \frac{t_1}{2} dt_1,$$

и

$$\tilde{f}_2(x_1, x_2) = -\frac{1}{2\pi} \int_{-\pi}^{\pi} f(x_1, x_2 + t_2) \operatorname{ctg} \frac{t_2}{2} dt_2.$$

Пусть даны треугольные матрицы

$$\Lambda_i = (\lambda_{n_i, k_i}^{(i)}), \quad i = 1, 2$$

и

$$K_{n_i}(\Lambda_i, t_i) = \frac{1}{2} \lambda_{n_i, 0}^{(i)} + \sum_{k_i=1}^{n_i} \lambda_{n_i, k_i}^{(i)} \cos k_i t_i, \quad i = 1, 2.$$

Рассмотрим следующие линейные средние:

$$L_{n_1, n_2}(f, x_1, x_2, \Lambda_1, \Lambda_2) = \frac{1}{\pi^2} \int_{T^2} f(x_1 + t_1, x_2 + t_2) \prod_{i=1}^2 K_{n_i}(\Lambda_i, t_i) dt_i.$$

Пусть $B \subset \{1, 2\}$.

Определение 1. Линейный метод суммирования назовем сильно насыщенным по переменным x_i , $i \in B$, если существует стремящаяся к нулю при $n_1, n_2 \rightarrow \infty$ положительная функция $\varphi(n_1, n_2)$ такая, что

a) если

$$\|f - L_{n_1, n_2}(f, \Lambda_1, \Lambda_2)\|_C = o(\varphi(n_1, n_2)),$$

то

$$\omega_i(f, \delta) = 0, \quad \forall i \in B,$$

б) существует функция $f \in C(T^2)$, для которой

$$\omega_1(f, \delta) \neq 0, \quad \omega_2(f, \delta) \neq 0$$

и

$$\|f - L_{n_1, n_2}(f, \Lambda_1, \Lambda_2)\|_C = O(\varphi(n_1, n_2)). \quad (1)$$

Множество всех функций, удовлетворяющих условию (1), назовем классом сильного насыщения данного метода по переменным x_i , $i \in B$, а функцию $\varphi(n_1, n_2)$ — порядком его сильного насыщения по переменным x_i , $i \in B$.

Определение 2. Линейный метод суммирования назовем слабо насыщенным по переменным x_i , $i \in B$, если существует стремящаяся к нулю при $n_1, n_2 \rightarrow \infty$ положительная функция $\varphi(n_1, n_2)$ такая, что

a) если

$$\|f - L_{n_1, n_2}(f, \Lambda_1, \Lambda_2)\|_C = o(\varphi(n_1, n_2)),$$

то

$$\omega_i(f, \delta) = 0, \quad \forall i \in B,$$

б) существует функция $f \in C(T^2)$, для которой

$$\omega_i(f, \delta) \neq 0 \quad (\forall i \in B)$$

и

$$\|f - L_{n_1, n_2}(f, \Lambda_1, \Lambda_2)\|_C = O(\varphi(n_1, n_2)). \quad (2)$$

Множество всех функций, удовлетворяющих условию (2), назовем классом слабого насыщения данного метода по переменным x_i , $i \in B$, а функцию $\varphi(n_1, n_2)$ — порядком его слабого насыщения по переменным x_i , $i \in B$.

Из приведенных определений видно, что если линейный метод сильно насыщен по переменной x_i , ($i=1$ или $i=2$), то он и слабо насыщен по переменной x_i . Кроме того, слабое и сильное насыщение линейного метода по переменным x_j , $j \in \{1, 2\}$ совпадает.

Пусть $\xi_1, \xi_2 \in [0, 1]$. Определим классы функций

$$\tilde{H}(\xi_1, \xi_2) = \{f : f \in C(T^2), \omega_i(\tilde{f}_i, \delta) = O(\delta^{\xi_i}), i=1, 2\}$$

$$\tilde{h}(1) = \{f : f \in C(T^2), \omega_1(\tilde{f}_1, \delta) = O(\delta), \omega_2(f_2, \delta) = 0\}$$

и

$$\tilde{h}(2) = \{f : f \in C(T^2), \omega_2(\tilde{f}_2, \delta) = O(\delta), \omega_1(f_1, \delta) = 0\}.$$

Справедливы следующие теоремы:

Теорема 1. Метод Чезаро, (c, α_1, α_2) , $\alpha_1, \alpha_2 > 0$ является сильно насыщенным по переменным x_i , $i \in \{1, 2\}$, причем классом сильного насыщения по переменным x_i , $i \in \{1, 2\}$ является $\tilde{H}(1, 1)$, а порядком сильного насыщения $\frac{1}{n_1} + \frac{1}{n_2}$.

Теорема 2. а) Метод Чезаро (c, α_1, α_2) , $\alpha_1, \alpha_2 > 0$ является сильно насыщенным по переменной x_2 . Классами сильного насыщения по переменной x_2 являются $\tilde{H}(\xi_1, 1)$ ($0 < \xi_1 < 1$), а порядками сильного насыщения $\frac{1}{n_1^{\xi_1}} + \frac{1}{n_2}$.

б) Метод Чезаро (c, α_1, α_2) , $\alpha_1, \alpha_2 > 0$, является сильно насыщенным по переменной x_1 . Классами сильного насыщения по переменной x_1 являются $\tilde{H}(1, \xi_2)$, $0 < \xi_2 < 1$, а порядками сильного насыщения $\frac{1}{n_1} + \frac{1}{n_2^{\xi_2}}$.

Из теоремы 2 видно, что классы сильного (стало быть, и слабого) насыщения по переменной x_i ($i=1$ или $i=2$) и соответствующие порядки насыщения определяются не единственным образом. В следующей теореме найден еще один класс слабого насыщения.

Теорема 3. а) Метод Чезаро (c, α_1, α_2) , $\alpha_1, \alpha_2 > 0$ является слабо насыщенным по переменной x_1 . Классом слабого насыщения по переменной x_1 является $\tilde{h}(1)$, и порядком слабого насыщения $\frac{1}{n_1}$.

б) Метод Чезаро (c, α_1, α_2) , $\alpha_1, \alpha_2 > 0$ является слабо насыщенным по переменной x_2 . Классом слабого насыщения по переменной x_2 является $\tilde{h}(2)$, а порядком слабого насыщения $\frac{1}{n_2}$.

Грузинский политехнический институт
им. В. И. Ленина

(Поступило 30.5.1986)

გათიახვის

5. ფინანსები

გავარების პლასტი ფურის მრჯერადი ტრიგონომეტრიული მუკრივების ჩეზაროს მეთოდები-
სათვის ნაპოვნია გაფერების კლასები და რიგები.

რეზიუმე

ფურიეს ორგერადი ტრიგონომეტრიული მუკრივების ჩეზაროს მეთოდები-
სათვის ნაპოვნია გაფერების კლასები და რიგები.

N. Sh. PILAURI

SATURATION CLASSES FOR CESARO METHODS OF DOUBLE TRIGONOMETRIC FOURIER SERIES

Summary

For the Cesaro methods of double trigonometric Fourier series classes and orders of saturation are given.

ЛІТЕРАТУРА — REFERENCES

1. А. Ф. Тиман. Теория приближения функций действительного переменного. М., 1960.
2. Л. В. Жижишвили. Сопряженные функции и тригонометрические ряды. Тбилиси, 1969.

МАТЕМАТИКА

В. В. ШЕВЧИК

ДЕЙСТВИЕ ОПЕРАТОРА С НЕЗАМКНУТОЙ ОБЛАСТЬЮ
ЗНАЧЕНИЙ НА ОРТОГОНАЛЬНЫХ БАЗИСАХ
В ГИЛЬБЕРТОВОМ ПРОСТРАНСТВЕ

(Представлено академиком Б. В. Хведелидзе 3.6.1987)

Пусть A — линейный ограниченный оператор, действующий в сепарационном гильбертовом пространстве H , такой, что $\text{Кер } A = 0$, область значений $R(A)$ оператора A незамкнута в H и $\overline{R(A)} = H$. Если $\{x_n\}$ — ортонормированный базис пространства H , то через $\{y_n\}$ обозначим последовательность, полученную в результате действия A на $\{x_n\}$, т. е. $y_n = Ax_n$ ($n=1, 2, \dots$).

Нас будет интересовать вопрос о существовании ортонормированного базиса $\{x_n\}$, для которого $\{y_n\}$ — базис H , обладающий теми или иными свойствами. Различные понятия теории базисов в гильбертовом пространстве, которые будут использованы нами, можно найти в [1].

Теорема 1. Существует ортонормированный базис $\{x_n\}$ пространства H , для которого $\{y_n\}$ — безусловный базис в H .

Как показывает пример оператора умножения на независимую переменную t в $H=L_2[0,1]$, замена в утверждении теоремы 1 „безусловный” базис на „ортогональный” невозможна. Однако имеет место

Предложение 2. В H существует ортонормированный базис $\{x_n\}$ такой, что $\{y_n\}$ — ортогональный базис тогда и только тогда, когда спектр оператора $B=A^*A$ чисто точечный.

Легко видеть, что если $\{y_n\} = \{Ax_n\}$ — безусловный базис в H , то $\inf_n \|y_n\| = 0$. Отказавшись от требования, что $\{y_n\}$ — безусловный базис в H , естественно поставить вопрос о существовании такого ортонормированного базиса $\{x_n\}$, для которого $\{y_n\}$ — последовательность, ограниченная от 31. „მომცემები”, გ. 127, № 3, 1987



нуля, т. е. $\inf_n \|y_n\| > 0$. В соответствии с определением в случае банахового пространства [2] полная минимальная последовательность $\{l_n\}$ в H называется M -базисом, если последовательность $\{f_n\}$ биортогональная к $\{l_n\}$, полная в H .

Теорема 2. В H существует ортонормированный базис $\{x_n\}$ такой, что $\{y_n\}$ — M -базис, обладающий свойством $\inf_n \|y_n\| > 0$ тогда и только тогда, когда оператор A некомпактный.

Метод доказательства анонсированных нами утверждений основывается на использовании спектральной теоремы и примыкает к методу работы [3], где исследовался вопрос о существовании ортонормированного базиса $\{x_n\}$ такого, что $\{y_n\}$ — базис (условный) пространства H , ограниченный от нуля.

Запорожский государственный университет

(Поступило 12.6.1987)

.8800880808

3. ЗАВЕДОВО

АКАДЕМІЧНИЙ ВІДДІЛ АБОЦІАЛІСТИЧНОГО ПОДІЛУ
ОДИНАКОВОГО РІВНЯННЯ
І МАТЕМАТИЧНОГО АНАЛІЗУ
ДАЧІСЬЩІ
ІІІ

69707 89

Задача A є лінійним оператором з евклідового простору H в евклідовий простор L_2 . $\text{Ker } A = 0$, $R(A)$ є розривним ідеалом і $\overline{R(A)} = H$. Гамільтоніан H є неперервним відповідно до $\{x_n\}$ та $\{Ax_n\}$ є неперервним відповідно до $\{x_n\}$. Доведіть, що $\{Ax_n\}$ є неперервним відповідно до $\{x_n\}$.

MATHEMATICS

V. V. SHEVCHIK

THE ACTION OF AN OPERATOR WITH NON-CLOSED RANGE OF THE ORTHOGONAL BASES IN HILBERT SPACES

Summary

Let A be a linear bounded operator in separable Hilbert space H , such that $\ker A = 0$ and $R(A)$ is non-closed and $\overline{R(A)} = H$. Some problems are

considered concerning the existence in H space of an orthogonal basis $\{x_n\}$, such that $\{y_n\} = \{Ax_n\}$ is the basis with special properties.

ЛІТЕРАТУРА — REFERENCES

1. И. Ц. Гохберг, М. Г. Крейн. Введение в теорию несамосопряженных операторов. М., 1965.
2. I. Singer. Bases in Banach Spaces II, Springer-Verlag, 1981.
3. А. М. Олевский. Математические заметки, 12, № 1, 1972, 73.

МАТЕМАТИКА

А. Б. ХАРАЗИШВИЛИ

О БОРЕЛЕВСКИХ ОТОБРАЖЕНИЯХ МЕТРИЧЕСКИХ
ПРОСТРАНСТВ

(Представлено академиком В. В. Чавчанидзе 3.10.1986)

В настоящей статье приводятся некоторые результаты о борелевских отображениях множеств, лежащих в метризуемых топологических пространствах.

Теорема 1. Пусть E — полное метрическое пространство, имеющее мощность континуума и содержащее несчетное множество точек, плотное в себе. Тогда в пространстве E найдется подмножество X , обладающее следующими свойствами:

- 1) множество X несчетно;
- 2) пространство E не является образом множества X при каком-либо борелевском отображении.

Замечание. Требование, чтобы пространство E содержало несчетное множество точек, плотное в себе, существенно в формулировке приведенной теоремы, поскольку (в предположении справедливости гипотезы континуума) для всякого другого полного метрического пространства мощности континуума утверждение этой теоремы перестает быть верным (что доказывается с помощью операции Монтгомери [1]).

Доказательство сформулированной теоремы основывается на ряде вспомогательных предложений.

Лемма 1. Каждое несчетное полное метрическое пространство без изолированных точек содержит в себе некоторое подмножество, гомеоморфное канторову дисконтинууму.

Эта лемма хорошо известна (см., например, [1]).

Лемма 2. Пусть ω_0 — первое бесконечное кардинальное число, ω_1 — первое несчетное кардинальное число и пусть выполняется соотношение $2^{\omega_0} < 2^{\omega_1}$, которое, в частности, вытекает из гипотезы континуума. Далее, предположим, что E — произвольное топологическое пространство, удовлетворяющее второй аксиоме счетности, а f — произвольное борелевское отображение пространства E на некоторое метризуемое топологическое пространство E' . Тогда можно утверждать, что и пространство E' удовлетворяет второй аксиоме счетности.

Замечание. Требование метризуемости пространства E' является существенным в формулировке леммы 2. Действительно, пусть R — вещественная прямая, наделенная обычной евклидовой топологией T . Определим в R другую топологию T^* , строго мажорирующую топологию T . Пусть класс T^* состоит из всевозможных множеств вида $U \setminus Z$, где U — любое открытое подмножество в R (относительно евклидовой топологии

T), а Z — любое не более чем счетное подмножество в R . Легко проверяется, что класс T^* на самом деле представляет собой топологию в R , строго мажорирующую исходную топологию T . С другой стороны, очевидно, что класс всех борелевских множеств пространства (R, T^*) совпадает с классом всех борелевских множеств пространства (R, T) . Рассмотрим отображение

$$\varphi : (R, T) \rightarrow (R, T^*),$$

задаваемое с помощью равенства

$$\varphi(x) = x \quad (x \in R).$$

Ясно, что отображение φ является борелевским изоморфизмом пространства (R, T) на пространство (R, T^*) . В то же время пространство (R, T) метризуемо и сепарабельно, а пространство (R, T^*) неметризуемо и несепарабельно.

Лемму 2 можно в значительной степени обобщить. Имеет место следующая

Теорема 2. Пусть ω_α — начальное порядковое число, для которого выполняется соотношение

$$2^{\omega_\alpha} < 2^{\omega_{\alpha+1}},$$

и пусть E — произвольное топологическое пространство, топологический вес которого не превосходит ω_α , а f — произвольное борелевское отображение пространства E на метризуемое топологическое пространство E' . Тогда топологический вес пространства E' также не превосходит ω_α .

Лемма 3. Пусть E — несчетное полное сепарабельное метрическое пространство и пусть в этом пространстве задано двойное семейство множеств

$$(E_\xi, \zeta)_{\xi < \omega_1, \zeta < \omega_1},$$

удовлетворяющее приводимым ниже соотношениям:

1) каждое множество E_ξ, ζ обладает свойством Бэра в E ;

2) каков бы ни был индекс $\xi < \omega_1$ и каковы бы ни были отличные друг от друга индексы $\zeta < \omega_1$ и $\eta < \omega_1$, пересечение $E_{\xi, \zeta} \cap E_{\xi, \eta}$ является пустым.

Тогда существует ω_1 -последовательность $(\gamma(\xi))_{\xi < \omega_1}$, которая состоит из ординальных чисел, строго меньших ω_1 , и для которой справедливо неравенство

$$\text{card}(E \setminus \bigcup_{\xi < \omega_1} E_{\xi, \gamma(\xi)}) \geq \omega_1.$$

Доказательство этой леммы имеется в работе [1].

Лемма 4. Пусть E — произвольное метрическое пространство, Z — некоторое подмножество этого пространства, наделенное индуцированной метрикой, и пусть задано борелевское отображение

$$f : Z \rightarrow [0, 1]^{\omega_0},$$

где $[0, 1]^{\omega_0}$ — бесконечномерный гильбертов куб, снабженный тихоновской топологией произведения. Тогда найдутся множество $Z^* \subset E$ и отображение

$$f^* : Z^* \rightarrow [0, 1]^{\omega_0},$$

для которых будут выполняться следующие соотношения:

1) $Z \subset Z^*$;

2) множество Z^* является борелевским в пространстве E ;

3) f^* представляет собой борелевское отображение множества Z^* в гильбертов куб $[0, 1]^{\omega_0}$;

4) f^* служит продолжением данного отображения f .

Доказательство сформулированной леммы осуществляется с помощью метода трансфинитной индукции (до порядкового числа ω_1).

Лемма 5. Пусть E — произвольное несчетное полное сепарабельное метрическое пространство, в котором выделено семейство L подмножеств этого пространства, удовлетворяющее приводимым ниже соотношениям:

1) $\text{card}(L) \leq \omega_1$;

2) $(\forall Y)(Y \in L \Rightarrow \text{card}(Y) \geq \omega_1)$.

Если справедлива гипотеза континуума, то в пространстве E существует несчетное множество X , обладающее тем свойством, что никакой элемент из семейства L не является образом множества X при борелевском отображении. Более того, можно утверждать, что

$$\text{card}(Y \setminus g(X)) = \omega_1$$

для любого множества $Y \in L$ и для любого борелевского отображения g множества X в пространство E .

Отметим, что в процессе доказательства леммы 5 основную роль играет известная теорема Урысона о топологической вложимости сепарабельного метрического пространства E в гильбертов куб $[0, 1]^{\omega_0}$.

С помощью сформулированных выше вспомогательных утверждений уже легко получается и доказательство самой теоремы 1. Аналогично доказывается

Теорема 3. Пусть E — полное метрическое пространство, имеющее мощность континуума и содержащее несчетное множество точек, плотное в себе. Далее, пусть $(Y_j)_{j \in J}$ — какое-нибудь семейство континуальных подмножеств пространства E , где $\text{card}(J) \leq 2^{\omega_0}$. Тогда в пространстве E найдется множество X , обладающее следующими свойствами:

1) $\text{card}(X) \geq \omega_1$;

2) для всякого индекса $j \in J$ множество Y_j не является образом множества X относительно борелевского отображения.

Теорема 3 обобщает один результат Серпинского (см. [1]).

В формулировке теоремы 1 требование полноты пространства E весьма существенно, в чем можно убедиться, рассмотрев следующий пример.

Пример. Пусть I — континуальное множество индексов и пусть для каждого индекса $i \in I$ символ E_i обозначает метрическое пространство, изоморфное множеству всех рациональных точек промежутка $[0, 1]$. Далее, обозначим символом E метрическое пространство, являющееся суммой семейства пространств $(E_i)_{i \in I}$. Тогда пространство E несепарабельно, имеет мощность континуума и не содержит изолированных точек. Кроме того, выполняются соотношения:

1) пространство E локально сепарабельно;

2) всякое сепарабельное подмножество в E не более чем счетно;

3) любое подмножество в E есть множество типа F_σ .
 Следовательно, если справедлива гипотеза континуума, то можно утверждать, что каждое несчетное подмножество в E борелевски изоморфно пространству E .

Тбилисский государственный университет
 Институт прикладной математики
 им. И. Н. Векуа

(Поступило 30.10.1986)

გათიაზვისა

ა. ხარაზიშვილი

მითრიკული სივრცეების ბორელისა გადასახვების უსახი
 რეზიუმე

ნაშრომში განხილულია მეტრიკული სივრცეების ქვესიმრავლეთა ბორელისეული გადასახვების ზოგიერთი თვისება.

MATHEMATICS

A. B. KHARAZISHVILI

ON THE BOREL MAPPINGS OF METRIC SPACES

Summary

Some properties of the Borel mappings of the subsets of metric spaces are considered in the paper.

ლიტერატურა — ЛИТЕРАТУРА — REFERENCES

1. К. Куратовский. Топология, т. I, M., 1966.

КИБЕРНЕТИКА

З. Ш. ПУТУРИДЗЕ, Ю. А. НИАУРИ

ЛИНЕЙНОЕ ПРЕДСТАВЛЕНИЕ НЕСТРУКТУРНЫХ
КОМПЛЕКСОВ КОМАНД Р-ГРАФОВ

(Представлено академиком В. К. Чичинадзе 24.4.1986)

В статье [1] было описано, как представить в памяти ЭВМ в сжатой форме информацию о нагрузке и структуре комплексов команд Р-графа. Эта структура в своем внутреннем представлении содержит коды, которые не имеют символьного аналога при пробивке на перфокартах или с клавиатуры дисплея. Естественно, это требует разработки специального текстового редактора. Но, как показала практика, ввод исходного текста программы самым высококвалифицированным программистом не всегда оправдан. Поэтому необходимо иметь возможность представлять структуры Р-графа в линейной форме, чтобы готовить исходный текст программы на линейных носителях, таких как перфокарты, файлы с прямой организацией доступа и т. д. Решению этой задачи и посвящена данная статья.

Целью разработки является создание входного языка, который имел бы линейную форму, но позволил бы представлять исходный текст программы, написанный на графическом языке. Естественно, язык должен был быть прост в освоении, иметь свободный формат ввода и однозначно описывать как структуры исходного модуля, так и структуру отдельных комплексов команд.

Основная схема представления исходного модуля. Подготовленный пакет исходного модуля имеет следующую структуру на линейных носителях информации:

1. Код базового языка программирования;
2. Описательная часть (совокупность описательных операторов базового языка программирования);
3. Исполнительная часть модуля, представленная в форме последовательности комплексов команд, нагруженных операторами базового языка программирования;
4. Признак конца.

Рассмотрим в отдельности синтаксис записи частей основной схемы.

1. Код базового языка программирования представляет собой название базового языка программирования в латынском алфавите и пробивается на отдельной перфокарте с первой позиции. Допустимо сокращение названия языка до четырех первых букв. Например:

Полное название	Сокращенное название
FORTRAN	FORT
PL/I	PL/1
RTRAN	RTRA
STASSEMBLER	STAS
BASIC	BASI
ALGOL-6	ALGO
PASCAL	PASC

2. Описательная часть состоит из последовательности описательных операторов базового языка. Формат пробивки свободный.

Признаки продолжения для конкретных базовых языков зависят от реализации этого языка программирования. Конец описательной части отмечается специальным символом \diamond (конец структуры), который пробивается на отдельной перфокарте.

3. Исполнительная часть состоит из последовательности комплексов команд, нагруженных операторами базового языка. Порядок следования комплексов во входном пакете несуществен. Конец каждого комплекса команд отмечается признаком конец структуры (\diamond). Линейный аналог комплекса команд имеет следующий синтаксис записи:

НМ	предикат 1	МП1
группа	линейных	операторов 1
!		
предикат 2	МП 2	
группа	линейных	операторов 2
!		
⋮		
предикат n	МП n	
группа	линейных	операторов n
\diamond		

где НМ — начальная метка или имя комплекса команд, предикат i — условный оператор, или текст, или признак отсутствия *; МПi — метка перехода; группа линейных операторов i — это группа линейных операторов базового языка, группа может быть пустой, т. е. не содержать никаких операторов; ! — признак конца составного ребра, пробивается в любой позиции перфокарты.

Формат пробивки предикатов и линейный оператор базового языка свободный.

Если предикат не помещается на одной перфокарте, то его можно перенести. Тогда его представление имеет следующий вид:

[НМ]	предикат i_1	МП ₁
	предикат i_2	
	⋮	
	предикат i_m	МП _m

где # — признак конца предиката, тоже пробивается в любой позиции перфокарты.



Конец модуля отмечаем признаком конца, который следует сразу же за последним комплексом команд.

Разработана программа, которая переводит исходную информацию о модуле, представленную в вышеописанной форме, в сжатую запись Р-графа и в внешнюю память ЭВМ. Программа универсальна, не зависит от базового языка нагрузки Р-графа.

Программа диагностирует все синтаксические ошибки, допущенные в представлении исходного модуля в вышеописанной форме. Она производит корректирующие действия так, чтобы восстановить синтаксически верную конструкцию каждой структурной части. Диагностические сведения об этих действиях тоже печатаются.

Академия наук Грузинской ССР
Институт вычислительной математики
им. Н. И. Мусхелишвили

(Поступило 4.4.1986)

გრაფიკის მიზანი

ზ. შურურიძე, ი. ნიაური

არასტრუქტურირებული Р-გრაფის გრძელებათა პომპლექსების წრფივი წარმოდგენა

ნებისმიერებები

მოყვანილია ბაზური პროგრამირების ენით დატვირთული Р-გრაფის სტრუქტურების წრფივი წარმოდგენის ენა, რომელიც ადვილებს საწყისი მოდულის შესახებ ინფორმაციის მომზადების პროცესს.

CYBERNETICS

Z. Sh. PUTURIDZE, Yu. A. NIAURI

LINIEAR REPRESENTATION OF NO-STRUCTURED COMPLEXES OF R-GRAF COMMANDS

Summary

The language of the linear representation of R-graph structures loaded by basic programming language is presented, which facilitates the process of data preparation on the initial module.

ლიტერატურა — REFERENCES

1. И. В. Вельбицкий, В. Н. Ходаковский, Л. И. Шолмов. Технологический комплекс производства программ на машинах ЕС ЭВМ и БЭСМ-6. М., 1980.
2. В. М. Глушков, И. В. Вельбицкий. Управляющие системы и машины, № 6, 1976.
3. Ш. Путуридзе. Р-технология программирования. Тез. докл. I Всесоюз. конф. II. Опыт применения. Киев, 1983.

КИБЕРНЕТИКА

А. Г. ГАБЕЛАЯ

ЧАСТОТНЫЙ КРИТЕРИЙ СТАБИЛИЗИРУЕМОСТИ ЛИНЕЙНЫХ
АВТОНОМНЫХ СИСТЕМ С НЕПОЛНОЙ ИНФОРМАЦИЕЙ

(Представлено академиком В. К. Чичинадзе 22.4.1986)

Будем изучать задачу стабилизации [1] систем вида

$$\begin{aligned} \dot{x} &= Ax + Bu, \\ y &= Hx, \end{aligned} \quad (1)$$

где $x \in R^n$, $u \in R^m$, $y \in R^l$; ($m < n$; $l < n$) — соответственно вектора состояния, управления и наблюдения системы; A , B , H — постоянные матрицы соответствующих размерностей, в классе управлений по выходу

$$u = Cy = CHx. \quad (2)$$

Здесь C — постоянная $m \times l$ -матрица.

Мы будем рассматривать случай, когда характеристическое уравнение замкнутой системы (1) — (2) зависит лишь от одного скалярного управляющего параметра.

Начнем с наиболее простого варианта этого случая $m = l = 1$, т. е.

$$B = \vec{b}; \quad H = \vec{h}^T; \quad (\vec{b} \neq 0; \quad \vec{h}^T \neq 0), \quad (3)$$

где \vec{b} и \vec{h} — вектор столбца, а c — скалярный управляющий параметр. Характеристическое уравнение замкнутой системы в этом случае примет вид (см. [2])

$$|A - pE + c\vec{b}\vec{h}^T| = |A - pE| + d(p)c = 0, \quad (4)$$

где $d(p) = \vec{h}^T |\vec{\Delta}(p)|$, а $|\vec{\Delta}(p)|$ — вектор столбец размерности n , i -й элемент которого $|\vec{\Delta}_i(p)|$ представляет собой определитель матрицы, получаемой из матрицы $A - pE$ заменой i -го столбца на столбец \vec{b} .

Перепишем уравнение (4) в виде

$$\frac{1}{dc} = \bar{W}_c(p), \quad (5)$$

где ϑ — некоторая постоянная; $\bar{W}_c(p) = \frac{P^{s/c} \bar{P}(p)}{p^{s/a} \bar{Q}(p)}$, $\bar{P}(p)$ и $\bar{Q}(p)$ — полиномы

от p , притом $\bar{P}(0) = 1$; $\bar{Q}(0) = 1$, а s_c и s_a одновременно не могут быть отличными от нуля.

Более того, мы будем предполагать, что числитель и знаменатель $\bar{W}_c(p)$ (т. е. $d(p)$ и $|A - pE|$) не имеют общих делителей.

Действительно, если это не так и числитель и знаменатель $\bar{W}_c(p)$ делятся на некоторый полином от p , $K(p)$, то характеристическое уравнение замкнутой системы будет фактически состоять из двух уравнений

$$K(p) = 0$$

и

$$\frac{1}{dc} = \bar{W}'_c(p),$$

где $\bar{W}'_c(p)$ — уже несократимая дробно-рациональная функция.

Так что мы опять получим уравнение вида (5), с несократимой $\bar{W}'_c(p)$ только уже для подсистемы исходной системы (при том лишь эта подсистема будет содержать управляющий параметр c).

Подставив в уравнение (5) чисто мнимое значение комплексного параметра $p=j\omega$, получим частотное уравнение вида

$$\frac{1}{dc} = \bar{W}_c(j\omega) \quad (6)$$

В дальнейшем $\eta = \bar{W}_c(j\omega)$; ($-\infty \leq \omega \leq +\infty$) будем называть нормированной частотной характеристикой, обратной связи по выходу.

Заметим, что уравнение (6) совершенно аналогично уравнению

$$-\frac{1}{k} = \bar{W}(j\omega),$$

на котором основывается частотный критерий устойчивости Найквиста (см. [3]). Разница лишь в том, что у нас dc , в отличие от k ($k \geq 0$), может принимать как положительные, так и отрицательные значения.

Из этого очевидно, что для решения вопроса о стабилизируемости системы с неполной информацией (в рассматриваемом случае) могут быть использованы те же соображения, которые лежат в основе применения частотного критерия устойчивости.

Введем предварительно следующее определение. Будем называть индексом неустойчивости замкнутой системы вблизи нулевого значения управляющего параметра c величину $s_{He}^c(\text{sign } \eta_0)$, определяемую следующим образом: $s_{He}^c(-) = s_{He}^c(+) = s_H$, где s_H — индекс неустойчивости матрицы A (т. е. число собственных значений A в правой полуплоскости [3]), если A не имеет собственных значений на мнимой оси. В противном случае $s_{He}^c(\text{sign } \eta_0)$ равняется индексу неустойчивости матрицы $A + c\bar{b}\bar{h}^T$ для значения $c = \text{sign}(\alpha\eta_0) \cdot \epsilon$, где $\epsilon > 0$ — достаточно малое число, которое может быть выбрано из условий

$$\eta = \frac{1}{dc} < \eta_*^{\min}, \text{ если } \eta_0 < 0,$$

или

$$\eta = \frac{1}{dc} > \eta_*^{\max}, \text{ если } \eta_0 > 0,$$

где η_*^{\min} и η_*^{\max} обозначают минимальные и максимальные значения абсциссы точек пересечения графика $\bar{W}_c(j\omega)$ с вещественной осью комплексной плоскости η . (В тех случаях, когда $\eta_*^{\min} = -\infty$ и (или) $\eta_*^{\max} = +\infty$, соответствующее значение $s_{He}^c(\text{sign } \eta_0)$ будем приравнивать s_H .)

Перейдем сейчас к формулировке основного результата работы.

Теорема. Система с неполной информацией, характеристическое уравнение которой приводимо к виду (4), стабилизируется тогда и только тогда, когда существует вещественное значение $\eta = \eta_0$ (притом такое, что точка $(\eta_0; 0)$ не является точкой пересечения графика нормированной частотной характеристики по выходу $\eta = \bar{W}_c(j\omega)$ с вещественной осью), и



при движении на вещественной оси комплексной плоскости η от $(\text{sign } \eta_0)$ до η_0 разность числа пересечений графика $\bar{W}_c(jw)$ с незаштрихованной и заштрихованной сторонами равняется $s_{He}^c(\text{sign } \eta_0)$.

Притом в случае стабилизируемости, управление вида

$$u = c_0 y = \frac{1}{\partial \eta_0} \quad y = \frac{1}{\partial \eta_0} \bar{h}^T x$$

будет стабилизировать систему.

Таким образом, для выяснения стабилизируемости системы с неполной информацией по параметру необходимо проверять выполнение условий теоремы (с помощью графика $\bar{W}_c(jw)$) как при изменении η от $-\infty$ до 0, так и при изменении η от $+\infty$ до $\eta=0$ значения (т. е. при движении к нулю на действительной оси как слева, так и справа).

Замечание 1. В формулировке теоремы предполагается, что $\bar{W}_c(p)$ — несократимаядробно-рациональная функция. Если же это не так, теорема остается в силе лишь для подсистемы, соответствующей $\bar{W}_c(p)$, получаемой из $\bar{W}_c(p)$ в результате сокращений. Притом корни общего множителя $K(p)$ оказываются инвариантными [2] собственными значениями исходной системы, так что задача стабилизации сводится к задаче стабилизации указанной выше подсистемы.

Замечание 2. Результаты теоремы могут быть применены и в более общем случае, важно только, чтобы характеристическое уравнение замкнутой системы содержало единственный скалярный управляющий параметр. Так, например, характеристическое уравнение замкнутой системы вида (1) ($n=3; m=1; l=2$), где

$$A = \begin{pmatrix} 2 & 1 & 0 \\ 0 & 2 & 0 \\ 0 & 0 & -1 \end{pmatrix}; \quad \bar{b} = \begin{pmatrix} 1 \\ 0 \\ 1 \end{pmatrix};$$

$$H = \begin{pmatrix} 0 & 1 & 0 \\ 1 & 1 & 1 \end{pmatrix}; \quad c = \bar{c}^T = (c_1, c_2) \text{ имеет вид}$$

$$-p^3 + 3p^2 - 4 + (2p^2 - 5p + 2)c_2 = 0,$$

т. е. для нее могут быть использованы результаты теоремы.

Замечание 3. Абсциссы точек пересечения $(\eta_*; 0)$ графика $\eta = W_c(jw)$ с действительной осью (кроме начала координат) определяют значения $c_* = \frac{1}{\partial \eta_*}$, для которых замкнутая система будет иметь собственные значения на мнимой оси.

Замечание 4. Необходимость введения индексов $s_{He}^c(\text{sign } \eta_0)$ связана с тем, что индекс неустойчивости матрицы замкнутой системы $A + c\bar{b}\bar{h}^T$ может претерпевать разрыв в точке $c=0$ (т. е. в точках $\eta = -\infty$ и $\eta = +\infty$) в случае, когда матрица A имеет собственные значения на мнимой оси.

Институт управления
народным хозяйством
при ГКНТ ГССР

(Поступило 24.4.1986)

ა. გაბელაია

სტაბილიზაციის სიხშირული პრიტერიული ფრეკვენციის ავტომატიკის
 სისტემებისათვის არასრული ინფორმაციით

რეზიუმე

შემოთავაზებულია სტაბილიზაციის ამოცანის ამოხსნის სიხშირული მეთოდი წრფივი ავტონომიური სისტემებისათვის არასრული ინფორმაციით იმ შემთხვევაში, როცა ჩაკეტილი სისტემის მახასიათებელი განტოლება შეიცავს ერთადერთ მმართველ პარამეტრს.

CYBERNETICS

A. G. GABELAYA

THE FREQUENCY STABILIZABILITY CRITERION OF LINEAR AUTONOMOUS SYSTEMS WITH INCOMPLETE INFORMATION

Summary

A method of frequency stabilization of linear autonomous systems with incomplete information is proposed in the case when a closed-loop characteristic equation depends on a single control parameter.

ლიტერატურა — REFERENCES

1. Е. И. Гальцерин, Е. И. Дергачева. Автоматика и телемеханика, № 8, 1968.
2. А. Г. Габелая. Сообщения АН ГССР, 99, № 2, 1980.
3. Я. З. Цыпкин. Основы теории автоматических систем. М., 1977.

КИБЕРНЕТИКА

Р. Л. ХОМЕРИКИ

ОБ ОЦЕНКАХ ПРОЦЕССОВ ПЕРЕРАБОТКИ ИНФОРМАЦИИ

(Представлено академиком В. В. Чавчанидзе 14.5.1986)

Регрессионный анализ часто используется для аппроксимации экспериментальных данных и определения значений параметров математической модели, для статистического предсказывания. Чтобы вывести способ оценивания объекта по одной переменной Y на основе другой X , должны знать как связаны между собой X и Y . Оцениваемая переменная Y называется откликом, а переменная, используемая для ее оценки, X -фактором.

В проведенном исследовании предварительно изучалась связь двух типов интеллектуальных способностей при обучении математике: способность к запоминанию математических теорем (X) и способность к решению математических задач (Y). Для определения этих склонностей были разработаны два теста.

Эксперимент проводился над слушателями подготовительной группы из 20 человек в возрасте 18—20 лет. Для определения переменной X им было предложено запомнить 15 теорем, предусмотренных учебной программой. С частотой 3—4 раза в месяц испытуемые подвергались письменным опросам. Оценки в психологических тестах часто получаются в результате подсчета количества правильных (или неправильных) ответов, которые дает испытуемый. В эксперименте предпочтение было отдано оценке памяти по среднему числу незапоминаний до полного запоминания. Как показал анализ, эта простая статистика не уступает другим более сложным характеристикам с точки зрения информативности. Таким образом, каждый i -й индивид по X оценивался баллом X_i , равным среднему количеству незапоминаний до полного запоминания.

i	1	2	3	4	5	6	7	8	9	10
X_i	1,80	0,93	4,47	0,93	3,27	1,20	1,47	1,00	1,33	1,13
Y_i	1,50	0,75	2,00	1,00	2,25	1,50	0,75	0,25	1,50	0,50
i	11	12	13	14	15	16	17	18	19	20
X_i	3,20	1,20	2,13	0,66	1,00	3,07	1,27	1,13	3,20	1,66
Y_i	1,25	1,25	1,75	1,25	1,25	2,00	1,50	1,25	1,50	0,75

Для определения переменной Y фиксировались показатели испытуемых на контрольных работах, где решались задачи, предусмотренные программой. Оценкой служило среднее число оценок контроль-

ных работ при следующей системе баллов: отличная работа — 5 балла, хорошая — 1 балл, удовлетворительная — 2 балла, неудовлетворительная — 3 балла. Средняя оценка для каждого i -го испытуемого Y_i являлась характеристикой переменной Y .

Из этой таблицы было выведено уравнение линейной регрессии, связывающее X и Y в группе. В дальнейшем уравнение использовалось для прогнозирования значения Y по известным значениям X . В общем случае уравнение имеет вид $\widehat{Y}_i = b_1 X_i + b_0$, где X_i — известное значение, а \widehat{Y}_i — предсказанное значение Y для i -го объекта. Коэффициенты b_0 , b_1 определяются по критерию наименьших квадратов

$$b_1 = \frac{n \cdot A - B \cdot C}{n \cdot D - B^2}, \quad b_0 = \frac{1}{n} (C - b_1 \cdot B),$$

где $A = \Sigma X \cdot Y$, $B = \Sigma X$, $C = \Sigma Y$, $D = \Sigma X^2$, n — количество наблюдаемых объектов.

Проведенные исследования [1] позволяют предполагать, что случайные величины X и Y имеют двумерное нормальное распределение, и допускать следующее: 1) выборочные средние \bar{Y} для каждого значения X лежат на прямой, 2) для любого значения X соответствующие значения Y распределены нормально, 3) для каждого значения X соответствующие значения Y имеют равные дисперсии (гомоскедастичность для больших совокупностей). В этом случае измерение точности предсказывания можно произвести посредством дисперсии ошибки оценивания

$$S_e^2 = \frac{\sum e_i^2}{n-1}, \quad e_i = Y - \widehat{Y}.$$

Соответствующими преобразованиями можно получить стандартную ошибку оценки

$$S_e = S_y \sqrt{1 - r_{xy}^2},$$

где S_y — среднее квадратическое отклонение Y .

Проведенные вычисления (на ЭВМ) дали значения

$$b_0 \approx 0,72, \quad b_1 \approx 0,32, \quad S_y \approx 0,26, \quad r_{xy} \approx 0,65.$$

При уровне значимости $\alpha = 0,05$ и точечной оценке $r_{xy} = 0,65$ получаем

$$Z_r = 0,77 \pm 0,48 \text{ и } z = Z_r \sqrt{n-3} = 0,77 \cdot 4,1 = 3,157.$$

С применением преобразования Фишера статистическая гипотеза о существовании линейной связи принимается и доверительный интервал для r_{xy} является $(0,28; 0,85)$.

Следует отметить, что выборочная корреляция была определена и по ранговому коэффициенту Спирмена r_s , но его значение мало отличалось от r_{xy} и в дальнейшем не рассматривалось.

Согласно данным $\widehat{Y} = 0,72 + 0,32 \cdot X$, $S_e = 0,37$.

Стандартную ошибку оценки можно применить для определения пределов в окрестности предсказанного значения \widehat{Y} , в которые, вероятно, попадает фактическое значение для объекта. В большой группе объектов, для которых используется уравнение предсказания, 69%

объектов будут иметь фактические значения, лежащие в пределах 0,37 от предсказанного \bar{Y} . Соответственно, 95% отклоняются на 0,74 и 99% на I, II.

Единство естественного и искусственного в деятельности человека подводит нас к проблеме сопоставления двух предметов: психологии и кибернетики. Общность предметов двух наук послужила основой определенного влияния кибернетических и математических методов на психологические концепции [2]. Сущность проведенного исследования состоит в реализации на ЭВМ алгоритма, который воспроизводит процесс прогнозирования успеваемости человека. Построение уравнения предсказания имеет практическое значение в управлении процессом обучения и представляет интерес с точки зрения педагогической психологии, задач оценки эффективности переработки информации, оказывая влияние на построение моделей обработки информации.

Тбилисский государственный университет

(Поступило 23.5.1986)

გიგანტის

რ. ხომერიკი

თემორებაცის გადამუშავების პროცედურის შეფასებათა შესახებ

რეზიუმე

შრომაში აღწერილია ექსპერიმენტი, სადაც რეგრესიის წირის გამოყენებით წარმოქმნა მათემატიკის სწავლების პროცესში მოსწრების პროგნოზირება.

CYBERNETICS

R. L. KHOMERIKI

ON THE ESTIMATION OF DATA HANDLING PROCESSES

Summary

The paper describes an experiment in which prediction for successful learning of mathematics is carried out using the regression curve.

ლიტერატურა — REFERENCES

1. Р. Л. Хомерики. Труды Тбилисского гос. университета, 248. 1984.
2. Г. Е. Журавлев. Вопросы кибернетики, вып. 50, 1979.

КИБЕРНЕТИКА

Ю. Б. ВАЙНШТЕИН

УЧЕТ ОРИЕНТАЦИИ ВЫВОДОВ КОМПОНЕНТОВ В АЛГОРИТМЕ ПЛАНАРИЗАЦИИ ГРАФОВ СХЕМ

(Представлено академиком В. К. Чичинадзе 2.6.1986)

В работе [1] разработан алгоритм полной укладки графов схем на плоскость (сокращенно—АП). В АП предполагалось, что ориентации выводов компонентов схем не фиксированы заранее. Такой алгоритм подходит для проектирования топологий биполярных интегральных схем, однако в гибридных интегральных схемах часть элементов дана с фиксированными или с частично фиксированными ориентациями выводов. Известные алгоритмы учета ориентаций [2] сложны, и результат их работы состоит лишь в получении максимальной планарной части графа схемы. Покажем, как АП позволяет решить задачу полной планаризации графов схем с заданными ориентациями выводов некоторых компонентов.

Пусть $G=(X, Y, E)$ — двудольный граф схемы. Множество вершин X соответствует компонентам схемы, множество вершин — Y -цепям схемы. Ориентацию всех или некоторых выводов элемента $x_i \in X$ можно задать циклически упорядоченным множеством $OR(x_i) = \{y_{i1}, y_{i2}, \dots, y_{in(i)}\}$, где y_{ij} — вершины, смежные с x_i , а $n(i)$ — число ориентированных выводов компонента x_i . Пусть X_{OR} — это множество вершин с фиксированными ориентациями. Мы предполагаем, что для $I = \{i | x_i \in X_{OR}\}$ выполняется условие

$$\bigcap_{i \in I} OR(x_i) = \emptyset. \quad (1)$$

Выполнения (1) можно всегда достичь следующим методом. Пусть $y \in OR(x_i) \cap OR(x_j)$. Тогда введем две дополнительные фиктивные вершины x^* и y^* . В списке смежности x_i и в $OR(x_i)$ заменим y на y^* , в списке



смежности вершины y заменим x_i на x^* , смежными с x^* будут y^* и y , смежными с y^* будут x_i и x^* . Теперь $OR(x_i) \cap OR(x_j) = \emptyset$.

Пусть условие (1) выполнено. Опишем ISM — начальное множество граней, учитывющее все ориентации:

$$\begin{aligned} & |y_{i1}, x_i, y_{i2}|, |y_{i2}, x_i, y_{i3}| \dots |y_{in(i)}, x_i, y_{i1}| \quad i = \overline{1, m} \\ & |y_{11}, y_{12}, \dots, y_{1n}, y_{12}, \dots, y_{m1}, y_{m2}| \\ & |y_{m2}, y_{m3}, \dots, y_{mn(m)}, y_{m1}, \dots, y_{12}, y_{13}, \dots, y_{ln(i)}, \\ & \quad y_{11}, \dots, y_{12}, y_{13}, \dots, y_{1n(1)}, y_{11}|. \end{aligned} \quad (2)$$

В (2) вертикальной чертой разделены различные грани, а $m = |I|$. Связи в гранях между последовательно расположеннымми элементами y_{il} в действительности отсутствуют и информацию об этом необходимо сохранять при последующей укладке графа G .

Алгоритм АП в [1] начинал работу с выделения цикла из графа G . Если выделение цикла заменить на выделение ISM из G , то в результате работы АП получим полностью планаризованное представление графа G с заранее заданными ориентациями компонентов.

Академия наук Грузинской ССР
Институт вычислительной математики
им. Н. И. Мусхелишвили

(Поступило 30.5.1986)

გიგარენის

ი. ვაინშტეინი

სეიმბის გრაფების პლანარიზაციის ალგორითმით გოვარდნების გამოყენების ორინტირების გათვალისწინება

რეზიუმე

ალგორითმის სქემების გრაფების მთლიანად პლანარიზებული წარმოდგენის მიღების მეთოდი კომპონენტების გამომყვანების მოწესრიგებულობის ვათვალისწინებით.

Yu. B. WEINSTEIN

CONSIDERATION OF COMPONENT PIN ORIENTATIONS IN THE ALGORITHM OF PLANARIZATION OF CIRCUIT GRAPHS

S u m m a r y

A method is described for obtaining a complete planar representation of circuit graphs, with regard to the order of component pins.

ЛИТЕРАТУРА — REFERENCES

1. Ю. Б. Вайнштейн. Сообщения АН ГССР, 122, № 1, 1986.
2. В. А. Селютин. Автоматизированное проектирование топологий БИС. М., 1983.

С. А. ШАВГУЛИДЗЕ, М. Г. ШАНИЛДЗЕ

АСИМПТОТИЧЕСКИЕ ХАРАКТЕРИСТИКИ СВЕРТОЧНЫХ КАСКАДНЫХ КОДОВ В СИСТЕМАХ С q -ПОЗИЦИОННЫМИ СИГНАЛАМИ

(Представлено академиком В. В. Чавчанидзе 26.6.1987)

Обобщенные сверточные каскадные коды с единичной памятью порядка m (сокращенно СКЕП(m)-коды) были предложены и исследованы в [1]. Однако в указанной работе рассматривались только двоичные коды и их корректирующие свойства изучались для дискретных каналов, образованных с помощью двухпозиционных сигналов. Целью настоящей работы является исследование асимптотических характеристик q -ичных СКЕП(m)-кодов в системах с q -позиционными сигналами, где $q \geq 2$ —целое число. Причем, учитывая, что среди систем с простыми сигналами и постоянной огибающей наиболее эффективными и распространенными на практике являются системы q -позиционной фазовой модуляции (ΦM_q), ограничимся их рассмотрением.

Опишем кратко q -ичные СКЕП (m)-коды. Они построены на базе внешних кодов Рида—Соломона (РС) $B_i[n_b, r_{b,i}, q^a]$, $i = \overline{1, m}$, над полем $GF(q^a)$ длины n_b и со скоростью передачи (безразмерной) $r_{b,i}$ и внутренних сверточных кодов с единичной памятью (СЕП-кодов) $A_{1,j}[n_a, R_{a,1}, q]$, $j = \overline{1, n_b}$, над полем $GF(q)$ с длиной кодового ограничения n_a и со скоростью передачи (измеряется в натах) $R_{a,1}$. Ограничимся случаем, когда все коды $A_{1,j}$, $j = \overline{1, n_b}$, одинаковы и опустим индекс j . Код A_1 разбивается на вложенную систему внутренних кодов

где $R_{a,1} > R_{a,2} > \dots > R_{a,m}$ — скорости передачи кодов.

Построенный на базе приведенных внешних и внутренних кодов q -ичный СКЕП (m)-код имеет длину кодового ограничения

$$n_{ab} = n_a \, n_b$$

и скорость передачи в натах

$$R_{ab} = \sum_{i=1}^m (R_{a,i} - R_{a,i+1}) r_{b,i},$$

где $R_{a,m+1}=0$.

Будем изучать асимптотический случай, т. е. $n_a \rightarrow \infty$, $n_b \rightarrow \infty$ и, следовательно $n_{ab} \rightarrow \infty$. При этом представляют интерес случаи $m=\text{const}$ и $m \rightarrow \infty$. В последнем случае СКЕП (∞) будем называть кодами бесконечного порядка и считать, что $\lim_{m \rightarrow \infty} a_i = \infty$, $\lim_{m \rightarrow \infty} \frac{a_i}{n_a} = 0$, $i = \overline{1, m}$. Исследуем ситуацию, когда все величины a_i , $i = \overline{1, m}$, равны.

В дальнейшем будем считать, что все последовательности СКЕП(m)-кода передаются с одной и той же вероятностью и что q -ичные символы передаются по q -ичному симметричному дискретному каналу без памяти (ДКБП). В качестве непрерывного канала связи между модулятором и демодулятором используем канал с аддитивным белым гауссовским шумом (АБГШ) [2]. Пусть демодулятор устроен так, что может принимать только «жесткое» решение о переданном сигнале по полученному из канала связи зашумленному сигналу. Очевидно, что назначением системы модуляции является создание наиболее эффективного ДКБП для данной системы кодирования, а назначением системы кодирования — передача символов через этот ДКБП при фиксированной скорости передачи R_{ab} с наименьшей вероятностью ошибочного декодирования. Будем считать, что модулятор ΦM_q вырабатывает все сигналы (независимо от q) с одинаковым отношением энергии сигнала к спектральной плотности мощности шума, $h = \frac{E_c}{N_0}$. Тогда, учитывая, что с увеличением числа сигналов ΦM_q и, следовательно, алфавита кода — q , с одной стороны, увеличивается количество передаваемой одним сигналом информации, но, с другой стороны, возрастает вероятность ошибки при демодуляции, возникает проблема выбора оптимального q при заданном R для того или иного кода.

Исследуем эту проблему для СКЕП(m)-кодов. Для этого воспользуемся алгоритмом каскадного декодирования, описанным и проанализированным в [1]. Аналогичными рассуждениями можно показать, что вероятность неправильного декодирования ограничена сверху выражением

$$P_{\text{н.д.}} \leq \exp \{-n_{ab} E(R_{ab}, m)\}, \quad 0 \leq R_{ab} < C, \quad (1)$$

где $E(R_{ab}, m)$ — показатель экспоненты вероятности неправильного каскадного декодирования СКЕП(m)-кодов [1], а C — пропускная способность q -ичного симметричного ДКБП [2].

Можно также установить, что автоматная сложность реализации каскадного декодирования СКЕП(m)-кодов оценивается выражением

$$W \leq cn_{ab}^{2m+1}/n_a^{2n}, \quad (2)$$

где c — постоянное число.

Для проведения вычислений по формуле (1) необходимо определить $E(\cdot)$, которая является однозначной функцией матрицы переходных вероятностей ДКБП, образованного с помощью ΦM_q . Расчетные формулы указанных переходных вероятностей были получены для наиболее распространенных на практике систем сигналов ΦM_2 , ΦM_4 , ΦM_8 , ΦM_{16} .

На рис. 1, 2 представлены графические зависимости показателей экспонент вероятности неправильного декодирования q -ичных СКЕП(m)-кодов ($m=1, 5, \infty$) и q -ичных СЕП-кодов (алгоритмом Витерби [2]) в ДКБП, образованных с помощью ΦM_q , от скорости передачи при $h=64$. Кривые 1¹, 1², 1³, 1⁴ соответствуют коду СКЕП (1), кривые 2¹, 2², 2³, 2⁴ — коду СКЕП (5), кривые 3¹, 3², 3³, 3⁴ — коду СКЕП (∞), а кривые 4¹, 4², 4³, 4⁴ —

СЕП-коду соответственно для $q=2, 4, 8, 16$. Результаты расчетов показывают, что среди идентичных систем кодирования, ведущие при малых скоростях наилучшими являются системы с $q=4$, при средних скоростях — с $q=8$, а при больших скоростях — с $q=16$.

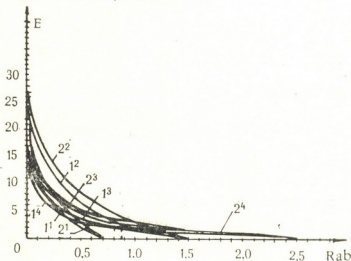


Рис. 1

Следует особо отметить, что не существует такой скорости передачи, при которой система с $q=2$ была бы оптимальной. С ростом порядка СКЕП(m)-кода улучшаются его корректирующие возможности

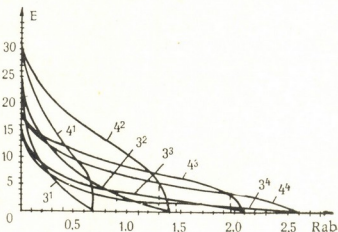


Рис. 2

при незначительном повышении сложности декодирования (2), которая является существенно малой по сравнению со сложностью алгоритма Виттерби декодирования СЕР-кодов [2].

Грузинский политехнический институт
им. В. И. Ленина

(Поступило 26.6.1987)

ପ୍ରକାଶକା

6. ՇԱՏՔԱՂՈՓ, 8. ՇԱԽՈՓ

ხელისუფალი კანკორდი კოდების ასეთი მომსახური განვითარებულ არა

സിസ്റ്റേമുകളുടെ g-അനുഭവങ്ങളുടെ കുറവാലും പുനരുപയോഗം

ၬ၇

გამოკვლეულია სწავლისხევა კასპადური სიგნალურ-კოდური კონსტრუქციები, რომლებიც იგებულია q -პოზიციურ ფაზას - მოლულირებული სიგნალების,

ერთეულოვანი მეხსიერების მქონე ხვევადი კოდების და რიც — სოლომონის ბლოკური კოდების ბაზაზე. მოყვანილია არასწორი დეკოდირების ალბათობის ექსპონენტის მახასიათებლისა და დეკოდირების სიძნელის შეფასებები.

CYBERNETICS

S. A. SHAVGULIDZE, M. G. SHANIDZE

**ASYMPTOTIC CHARACTERISTICS OF CONVOLUTIONAL
CONCATENATED CODES IN THE SYSTEMS WITH
 q -POSITIONAL SIGNALS**

Summary

Various concatenated signal-code constructions are investigated. They are formed on the basis of q -positional phase-shift keying signals, unit memory convolutional codes, and Reed—Solomon block codes. Incorrect decoding probability exponent and code decoding complexity are estimated.

ლიტერატურა — ЛИТЕРАТУРА — REFERENCES

1. В. В. Зяблов, С. А. Шавгулидзе. Проблемы передачи и информации, т. 22, вып. 4, 1986, 9—28.
2. А. Д. Витерби, Дж. К. Омурда. Принципы цифровой связи и кодирования. М., 1982.

ФИЗИКА

А. А. БУРЧУЛАДЗЕ, Г. И. ТОГОНИДЗЕ, С. В. ПАГАВА,
М. В. АВТАНДИЛАШВИЛИ, Н. Е. КИРИКАШВИЛИ,
К. Г. ХУЛОРДАВА, Д. В. ЧАЛАТАШВИЛИ

РАДИОУГЛЕРОДНОЕ ДАТИРОВАНИЕ АРХЕОЛОГИЧЕСКИХ
ОБРАЗЦОВ ОРГАНИЧЕСКОГО ПРОИСХОЖДЕНИЯ

(Представлено членом-корреспондентом Академии Т. И. Санадзе 4.3.1986)

Представленные ниже результаты радиоуглеродной лаборатории Тбилисского государственного университета получены за 1976—1985 гг.

Для датировок радиоуглеродным методом образцов органического происхождения в лаборатории используется жидкостной сцинтилляционный метод регистрации радиоактивности ^{14}C с помощью трехканального жидкостного сцинтилляционного спектрометра типа SL-30 фирмы «Интертехник». Определяемый максимальный абсолютный возраст — до 45000 лет. Конечные данные приводятся в таблице.

№ обр. и лаб. шифр	Местоположение образца, кем представлен	Возраст		
		1	2	в годах
ТБ-89	«Арахло I», 0,7 м, р-н Болниси, Т. Чубинишвили			2030 ± 40
ТБ-92	«Арахло I», 0,9 м, Т. Чубинишвили			6720 ± 60
ТБ-277	«Арахло I», 1,6 м, Т. Чубинишвили			6970 ± 60
ТБ-300	«Арахло I», 5,6 м, Д. Гогелия			7350 ± 70
ТБ-309	«Арахло I», 4,85 м, Д. Гогелия			6975 ± 65
ТБ-331	«Арахло I», 1,85 м, Д. Гогелия			6555 ± 140
ТБ-90	Гона, 1 м, дер. Геби, Т. Муджири и др.			2880 ± 40
ТБ-91	Гона, 1 м, дер. Геби, Т. Муджири и др.			2905 ± 45
ТБ-255	Зопхито, дер. Геби, Т. Муджири и др.			2950 ± 40
ТБ-302	Зопхито, дер. Геби, Т. Муджири и др.			3180 ± 170
ТБ-304	Твибашери, 20 м, Т. Муджири и др.			3100 ± 70
ТБ-310	Сагеби, дер. Геби, Т. Муджири и др.			3625 ± 50
ТБ-333	Урави, 0,7 м, дер. Урави, Т. Муджири и др.			1470 ± 45
ТБ-334	Сагеби, 1 м, дер. Геби, Т. Муджири и др.			3590 ± 55
ТБ-335	Хирхи, дер. Геби, Т. Муджири и др.			3115 ± 50
ТБ-244	«Самтавро I», 1 м, г. Мцхета, А. Апакидзе			3005 ± 45
ТБ-245	«Самтавро I», 2 м, г. Мцхета, А. Апакидзе			2950 ± 45
ТБ-258	«Самтавро I», 1,5 м, г. Мцхета, А. Апакидзе			3025 ± 45
ТБ-259	«Самтавро I», 2,5 м, г. Мцхета, А. Апакидзе			2555 ± 45
ТБ-271	«Самтавро I», 2 м, г. Мцхета, А. Апакидзе			2565 ± 40
ТБ-290	«Самтавро I», 0,6 м, г. Мцхета, А. Апакидзе			2610 ± 60
ТБ-278	«Гаррискари», 1,8 м, г. Мцхета, А. Апакидзе			2425 ± 40
ТБ-327	«Гаррискари», 2 м, г. Мцхета, А. Апакидзе			2230 ± 50
ТБ-418	«Гаррискари», 2 м, г. Мцхета, А. Апакидзе			2590 ± 50
ТБ-224	«Нарекави», 1,7 м, г. Мцхета, А. Апакидзе			2425 ± 40
ТБ-339	«Нарекави-10», 1,3 м, г. Мцхета, А. Апакидзе			2450 ± 50
ТБ-94	«Самадло I», 3 м, дер. Дзегви, А. Апакидзе			2300 ± 40
ТБ-95	«Самадло I», 1 м, дер. Дзегви, А. Апакидзе			2280 ± 40

1	2	3
ТБ-196	«Самадло III», 0,7 м, дер. Дзегви, А. Апакидзе	2390 ± 40
ТБ-305	«Цилкани», 2,2 м, дер. Цилкани, А. Апакидзе	1890 ± 50
ТБ-221	Шенако, 0,8 м, Тушети, Р. Долаберидзе	1675 ± 50
ТБ-222	Шенако, 0,6 м, Тушети, Р. Долаберидзе	1635 ± 50
ТБ-229	Шенако, 1,3 м, Тушети, Р. Долаберидзе	1965 ± 40
ТБ-267	Шенако, 1,7 м, Тушети, Р. Долаберидзе	2140 ± 40
ТБ-268	Шенако, 2 м, Тушети, Р. Долаберидзе	1985 ± 45
ТБ-269	Шенако, 1,4 м, Тушети, Р. Долаберидзе	2085 ± 45
ТБ-270	Шенако, 2 м, Тушети, Р. Долаберидзе	2030 ± 40
ТБ-311	Шенако, 1,3 м, Тушети, Р. Долаберидзе	1710 ± 40
ТБ-312	Шенако, 0,3 м, Тушети, Р. Долаберидзе	760 ± 40
ТБ-313	Шенако, 0,3 м, Тушети, Р. Долаберидзе	830 ± 40
ТБ-314	Шенако, 1,5 м, Тушети Р. Долаберидзе	995 ± 45
ТБ-231	«Испанн», 1,3 м, г. Кобулети, Д. Хахутайшвили	3380 ± 45
ТБ-232	«Испанн», 2,4 м, г. Кобулети, Д. Хахутайшвили	4130 ± 50
ТБ-233	«Испанн», 2,8 м, г. Кобулети, Д. Хахутайшвили	4585 ± 60
ТБ-230	«Намчедури», 4,5 м, г. Кобулети, Д. Хахутайшвили	3130 ± 45
ТБ-306	«Намчедури», Д. Хахутайшвили	3440 ± 60
ТБ-307	«Намчедури», Д. Хахутайшвили	2960 ± 60
ТБ-319	«Намчедури», 2,5 м, Д. Хахутайшвили	2710 ± 40
ТБ-320	«Намчедури», 3,5 м, Д. Хахутайшвили	2960 ± 45
ТБ-321	«Намчедури», 4 м, Д. Хахутайшвили	2890 ± 50
ТБ-323	«Намчедури», 7 м, Д. Хахутайшвили	3345 ± 50
ТБ-324	«Намчедури», 8 м, Д. Хахутайшвили	3000 ± 60
ТБ-332	«Намчедури», 5 м, Д. Хахутайшвили	2915 ± 50
ТБ-234	«Аскана II», 0,5 м, Д. Хахутайшвили	3175 ± 45
ТБ-235	«Аскана II», 0,5 м, Д. Хахутайшвили	3080 ± 45
ТБ-401	«Мзиани II», 0,3 м, Д. Хахутайшвили	2525 ± 50
ТБ-402	«Мзиани II», 0,5 м, Д. Хахутайшвили	2890 ± 50
ТБ-403	«Мзиани II», 1,2 м, Д. Хахутайшвили	3230 ± 50
ТБ-404	«Мзиани III», 0,8 м, Д. Хахутайшвили	2535 ± 50
ТБ-405	«Мзиани III», 0,9 м, Д. Хахутайшвили	2850 ± 50
ТБ-406	«Мзиани III», 0,3 м, Д. Хахутайшвили	250 ± 45
ТБ-407	«Мзиани IV», 0,5 м, Д. Хахутайшвили	2510 ± 50
ТБ-408	«Мзиани IV», 0,3 м, Д. Хахутайшвили	3170 ± 45
ТБ-286	«Чарнали II», 1,5 м, Д. Хахутайшвили	2670 ± 50
ТБ-287	«Чарнали II», 1,4 м, Д. Хахутайшвили	2720 ± 50
ТБ-288	«Чарнали III», 1,4 м, Д. Хахутайшвили	2750 ± 50
ТБ-242	«Храмебис», 3 м, дер. Нуクリани, Ш. Дедабришвили	4150 ± 50
ТБ-243	«Гора-1», 2,5 м, р-н Циори, Ш. Дедабришвили	4105 ± 50
ТБ-247	«Певреби», 2 м, дер. Мелаани, К. Пицхелаури	3230 ± 45
ТБ-248	«Певреби», 1 м, К. Пицхелаури	3250 ± 45
ТБ-249	«Певреби», 1,7 м, К. Пицхелаури	3195 ± 40
ТБ-250	«Певреби», 1,7 м, К. Пицхелаури	2875 ± 40
ТБ-251	«Певреби», 1,5 м, К. Пицхелаури	2885 ± 40
ТБ-252	«Певреби», 1 м, К. Пицхелаури	2910 ± 40
ТБ-253	«Певреби», 1, 5 м, К. Пицхелаури	2950 ± 40
ТБ-254	«Певреби», 1, 5 м, К. Пицхелаури	3175 ± 45
ТБ-256	«Певреби», 1, 5 м, К. Пицхелаури	3120 ± 45
ТБ-293	«Певреби», 0,3 м, К. Пицхелаури	2540 ± 60
ТБ-294	«Певреби», 1 м, К. Пицхелаури	3050 ± 80
ТБ-296	«Певреби», 0,4 м, К. Пицхелаури	3270 ± 110
ТБ-297	«Певреби», 2 м, К. Пицхелаури	3160 ± 60
ТБ-298	«Певреби», дер. Мелаани, К. Пицхелаури	3080 ± 90
ТБ-308	«Удабно», 2 м, дер. Удабно, К. Пицхелаури	3030 ± 50
ТБ-328	«Зениани», 4 м, дер. Манави, К. Пицхелаури	3940 ± 80

Продолжение таблицы

1	2	3
ТБ-329	«Зенани», 3,5 м, К. Пишхелаури	4740±75
ТБ-261	«Накалакеви», 1 м, П. Закарая	1770±35
ТБ-280	«Накалакеви», 1 м, П. Закарая	1630±40
ТБ-424	«Накалакеви», 3,2 м, П. Закарая	1500±45
ТБ-425	«Накалакеви», 2,8 м, П. Закарая	1855±45
ТБ-426	«Накалакеви», 3,5 м, П. Закарая	1885±40
ТБ-279	«Шхепи», 0,5 м, р-н Цхакая, П. Закарая	90±40
ТБ-284	«Шхепи», 1 м, р-н Цхакая, П. Закарая	120±40
ТБ-262	«Ноджихеви», 1 м, дер. Ноджихеви, П. Закарая	1100±30
ТБ-263	«Ноджихеви», 1 м, П. Закарая	1100±30
ТБ-264	«Ноджихеви», 0,5—1,5 м, П. Закарая	975±30
ТБ-265	«Ноджихеви», 0,5—1,5 м, П. Закарая	990±30
ТБ-281	«Ноджихеви», 0,6 м, П. Закарая	195±40
ТБ-282	«Ноджихеви», 0,5—0,7 м, П. Закарая	825±40
ТБ-283	«Ноджихеви», 1 м, П. Закарая	900±40
ТБ-272	«Трелигореми», 5 м, Р. Абрамишвили	2890±40
ТБ-273	«Трелигореми», 3,5 м, Р. Абрамишвили	2710±40
ТБ-410	«Трелигореми», 0,8 м, Р. Абрамишвили	2505±45
ТБ-274	«Диха-гудзуба II», 8 м, Д. Мусхелишвили	3870±50
ТБ-275	«Диха-гудзуба II», 7,5 м, Д. Мусхелишвили	3940±50
ТБ-276	«Диха-гудзуба II», 7,7 м, Д. Мусхелишвили	3755±50
ТБ-93	«Дедоплис мифори», 2 м, И. Гагошидзе	2220±40
ТБ-223	Тетри-Цкаро, И. Сивсивадзе	110±30
ТБ-227	Бани, 0,45 м, О. Лорткипанидзе	2305±40
ТБ-246	«Бамбеби», 4 м, Д. Хахутайшвили	2635±45
ТБ-266	«Цалка», дер. Цалка, Д. Амиранишвили	615±40
ТБ-285	«Хорши», 0,5—0,6 м, Г. Григориа	3650±50
ТБ-289	«Жинвали», 3 м, Р. Рамишвили	3740±70
ТБ-326	«Жинвали», 3,2 м, Р. Рамишвили	6250±130
ТБ-291	«Кобулети», 3—4 м, И. Микеладзе	480±40
ТБ-292	«Джисти», 2,5 м, Дж. Надирадзе	2700±50
ТБ-299	«Уреки», дер. Уреки, Т. Микеладзе	2595±200
ТБ-301	«Храмис диди гора», 4,2 м, Д. Гогелиа	6630±60
ТБ-322	Качагани, 5,4 м, Т. Кигурадзе	6700±60
ТБ-315	«Дзудзуани мтвиме», Л. Жоржикашвили	5680±130
ТБ-316	«Дзудзуани мтвиме», Л. Жоржикашвили	4605±130
ТБ-317	«Марткопи», 0,8 м, О. Джапаридзе	3890±50
ТБ-325	«Марткопи», 1,2 м, О. Джапаридзе	4130±80
ТБ-318	Чалагантене, 1 м, Азерб. ССР, И. Нариманов	6580±60
ТБ-330	«Намашеви-цихе», 1 м, В. Джапаридзе	1650±90
ТБ-336	«Цихна-гора», 1,2 м, Г. Цкитишвили	2220±80
ТБ-337	«Цихна-гора», 1,2 м, Г. Цкитишвили	2175±60
ТБ-411	«Хриоки мицеби», 1,5 м, К. Кахиани	1000±45
ТБ-412	«Хриоки мицеби», 1,6 м, К. Кахиани	1525±45
ТБ-413	«Сацхурис гора», дер. Цагвли, А. Рамишвили	3310±50
ТБ-414	Квинцихис гора В. Джапаридзе	2520±50
ТБ-415	Квинцихис гора В. Джапаридзе	2510±50
ТБ-416	Сахчере, 1,1 м, дер. Аргвети, Г. Пхакадзе	4340±60
ТБ-417	Сахчере, 2 м, Г. Пхакадзе	4060±40
ТБ-420	«Сацхурис гора», дер. Цагвли, Г. Барабидзе	3380±50
ТБ-421	Гали, 0,6 м, дер. Пичори, Г. Барабидзе	2910±50
ТБ-422	«Ортвала», 1,5 м, дер. Годовани, М. Ниорадзе	15740±120
ТБ-423	Патардзеули, р-н Сагареджо, Р. Ахаладзе	340±40
ТБ-427	Наакаргаму, 0,8 м, дер. Ергета, Т. Микеладзе	2520±50
ТБ-428	дер. Габчикого, 30 м, ЧССР, П. Повинец	8420±55
ТБ-429	дер. Габчикого, 30 м, ЧССР, П. Повинец	7990±45



1	2	3
ТБ-430	дер. Габчикого, 30 м, ЧССР, П. Повинец	8230±55
ТБ-433	«Мшвидобаури II», дер. Аскана, Д. Хахутайшвили	3270±50
ТБ-436	«Мшвидобаури IV», 0,8 м, Д. Хахутайшвили	3190±45
ТБ-437	«Нагомари I», 0,2 м, Д. Хахутайшвили	2780±35
ТБ-438	«Нагомари I», 0,4 м, Д. Хахутайшвили	3410±50
ТБ-439	«Нагомари I», 0,6 м, Д. Хахутайшвили	3450±50
ТБ-441	Квнцихис гора дер. Сахана, В. Джапаридзе	2570±50
ТБ-442	Квнцихис гора дер. Сахана, В. Джапаридзе	1630±50
ТБ-443	«Нацар-гора», 2,5 м, А. Рамишвили	5280±55
ТБ-444	«Цихна гора», дер. Кавтисхеви, Г. Цкитишвили	2310±50
ТБ-445	«Цихна гора», Г. Цкитишвили	2350±50
ТБ-446	Кетилари, 2 м, р-и Абаша, Т. Микеладзе	2290±50
ТБ-447	Ергета, 1 м, р-и Зугдиди, Т. Микеладзе	2870±55
ТБ-448	Ергета, 6 м, р-и Зугдиди, Т. Микеладзе	3380±55
ТБ-449	Гали, 1 м, дер. Пичори, М. Барамидзе	3380±50
ТБ-450	Гали, дер. Пичори, М. Барамидзе	3545±59
ТБ-451	«Накалакари», 0,6 м, П. Закарая	425±45
ТБ-452	«Накалакари», 3,4 м, П. Закарая	2640±45

В настоящих расчетах абсолютного возраста для периода полу-распада ^{14}C применялось значение $T = (5730 \pm 40)$ лет.

Радиоуглеродные даты, приведенные в таблице, дают возможность повысить достоверность релятивной хронологии памятников археологических культур Грузии и по-новому осветить ряд этногенетических, культурно-исторических и социально-экономических явлений в истории Грузии.

Тбилисский государственный университет

(Поступило 10.4.1986)

Фото 11

ა. გურეაშვილი, ბ. ტომაშვილი, ს. ფაღავა, მ. ავთანდილავალი,
ნ. გირიძავალი, ქ. ხულონიძეავა, ღ. ჩალათავალი

ორბანული ფარმაცევტიკის არქივობის პიმზალობის ნიმუშების დათარიღება
რაციონალური გეორგიაში

რეზიუმე

1976—1985 წწ. რადიონანაშირბადის აქტივობის რეგისტრაციის სცინტი-ლაციური მეთოდის გამოყენებით განვსაზღვრეთ ორგანული წარმოშობის გან-მარტებული ნიმუშების აბსოლუტური ასკი არქეოლოგიაში სხვადასხვა პრობ-ლემის გადაჭრის მიზნით.

PHYSICS

A. A. BURCHULADZE, G. I. TOGONIDZE, S. V. PAGAVA,
M. V. AVTANDILASHVILI, N. E. KIRIKASHVILI, K. G. KHULORDAVA,
D. V. CHALATASHVILI

RADIOCARBON DATING OF ARCHAEOLOGICAL SAMPLES OF ORGANIC ORIGIN

Summary

In 1976-1985, using the method of liquid scintillation for the registration of radiocarbon activity, the absolute ages of the buried samples were determined with a view to solving various archaeological problems.

ФИЗИКА

Р. В. КАНТАРИЯ, Н. П. ქეკელიძე, А. А. МИРЦХУЛАВА,
Г. И. ГОДЕРДЗИШВИЛИ, И. В. ПАПИДЗЕ, А. Н. ИВАНИШВИЛИ

ЭФФЕКТИВНОСТЬ ПОГЛОЩЕНИЯ В СОЛНЕЧНЫХ ЭЛЕМЕНТАХ
НА ОСНОВЕ $GaAs_{1-x}P_x - Cu_{2-y}S$

(Представлено членом-корреспондентом Академии Т. И. Санадзе 4.4.1986)

Ранее [1] мы предложили простой и технологически хорошо воспроизводимый прием изготовления солнечных элементов (СЭ) на основе сильно вырожденных поликристаллических (П) пленок сульфида меди и монокристаллических (М) полупроводниковых соединений A^3B^5 с шириной запрещенной зоны $1,0 \leq E_g \leq 2,0$ эВ. В статье изложены новые экспериментальные результаты исследований системы ПМ на основе гетеропереходов $GaAs_{1-x}P_x - Cu_{2-y}S$ ($X \leq 0,4$; $Y = 0,2 \pm 0,03$). В частности, проанализирована и оценена эффективность поглощения СЭ, знание которой необходимо при выборе просветляющих покрытий, а также при определении вклада отдельных участков в общую токовую чувствительность системы.

В целях решения поставленной задачи обратимся к зонной энергетической диаграмме ГП $GaAs_{1-x}P_x - Cu_{2-y}S$, представленной на рис. 1. Введем понятие эффективности поглощения H_λ и определим ее как отношение носителей в единице объема за единицу времени к числу падающих фотонов с длиной волны в диапазоне $(\lambda; \lambda + \Delta\lambda)$:

$$H_\lambda = \frac{I_d(\lambda) + I_w(\lambda) + I_{d+w}(\lambda)}{eN_\lambda} = \frac{I_\Phi(\lambda)}{eN_\lambda}. \quad (1)$$

Здесь $I_d(\lambda)$, $I_w(\lambda)$, $I_{d+w}(\lambda)$ и $I_\Phi(\lambda)$ — фототоки, генерируемые в $p^+Cu_{2-y}S$ -слое, ОПЗ, толще полупроводника и в системе; N_λ — число падающих перпендикулярно поверхности ГП квантov в диапазоне волн $(\lambda; \lambda + \Delta\lambda)$ на 1 см² площади; R_λ — полный рефлекс отражения $p^+Cu_{2-y}S$ -слоев ГП.

Таким образом, задача нахождения H_λ , согласно уравнению (1), включает в себя обязательное определение трех составляющих фототока системы: $I_d(\lambda)$, $I_w(\lambda)$ и $I_{d+w}(\lambda)$. Поскольку барьер ΔE_c для электронов, генерируемых в $p^+Cu_{2-y}S$ -полупроводнике, резко ограничивает возможность диффузии в n -составляющем ГП: $\Delta E_c = \Theta_n - \Theta_p = 4,07 - 4,35^{[2]} = -0,3$ эВ, из уравнения (1) при $X=d^-$ сразу выпадает член

$$I_d(\lambda) = eD_n \frac{d\Delta n}{dx}, \quad (2)$$

из которого может быть определен фототок, генерируемый в сульфиде меди Δn неосновными носителями (D_n — коэффициент диффузии электронов). Таким образом, световой поток, частично ослабленный поглощением в сульфиде меди с энергией $\hbar\omega \geq E_g$ ($GaAs_{1-x}P_x$ с $X \leq 0,4$) генерирует

электронно-дырочные пары в n -составляющем ГП согласно функции возбуждения

$$G(x) = \alpha e^{-\beta d} N_0 e^{-\alpha x}, \quad (3)$$

в которой β и α — коэффициенты поглощения сульфида меди и $nGaAs_{1-x}P_x$ -полупроводников; d — толщина тонких пленок $p^+Cu_{2-y}S$.

Уравнение неразрывности для дырок в $nGaAs_{1-x}P_x$ может быть представлено как

$$D_p \frac{d^2 \Delta p}{dx^2} + G(X) - \frac{\Delta p}{\tau_p} = 0, \quad (4)$$

где Δp — неравновесные неосновные носители заряда с временем жизни τ_p ; D_p — коэффициент диффузии.

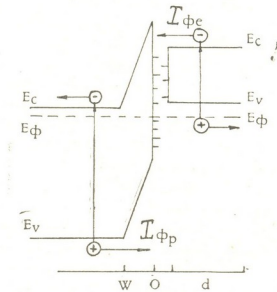


Рис. 1. Зонная энергетическая диаграмма ГП $GaAs_{1-x}P_x - Cu_{2-y}S$ в равновесии

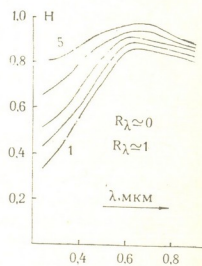


Рис. 2. Расчетная эффективность поглощения ГП $GaAs_{1-x}P_x - Cu_{2-y}S$ в зависимости от толщины пленок $p^+Cu_{2-y}S$: 1— $d=500$ Å; 2— $d=400$ Å; 3— $d=300$ Å; 4— $d=200$ Å; 5— $d=100$ Å

Теперь предположим [3], что фотогенерируемые в толще n -полупроводника дырки не успевают рекомбинировать в обедненном слое (т. е. $\tau_p \gg \tau_{\text{онс}}$), поскольку выносятся оттуда сильным электрическим полем $E_{\text{опз}} \approx 2V_d/W \gtrsim 10^5$ В·см⁻¹. В таком случае в пренебрежении в кинетическом уравнении дырок диффузионным составляющим тока ($E_{\text{дифф}} \approx KT/e L_p \approx 800 \ll E_{\text{опз}} \approx 10^5$ В·см⁻¹) решение уравнения (4) можно привести к следующим приближениям для фототока:

$$I_w(\lambda) = eN_d \cdot e^{-\beta d} \cdot (1 - e^{-\alpha w}), \quad (5)$$

$$I_{w+d}(\lambda) = eN_d \alpha L_p \frac{e^{-\beta d - \alpha w}}{\alpha L_p + 1}, \quad (6)$$

что позволяет с учетом (1) и (2), (4), (5) и (6) определить H_λ :

$$H_\lambda = e^{-\beta d} \left(1 - \frac{e^{-\alpha w}}{\alpha L_p + 1} \right), \quad (7)$$

где w — толщина ОПЗ; L_p — длина диффузии дырок.

В уравнении эффективности поглощения H_λ члены, стоящие в скобках, представляют квантовую эффективность n -фотоактивных составляющих системы h_λ , так что при реализации в высококачественных эпитаксиальных слоях $GaAs_{1-x}P_x$ ($X \leq 0,4$) условий $aL_p \gg 1$ [4] эффективность поглощения исследуемых СЭ окажется ограниченной только пропускательной способностью пленок сульфида меди, т. е. в любом случае, согласно уравнению (7), $H_\lambda < e^{-\beta d}$.

На рис. 2 представлены расчетные кривые эффективности поглощения H_λ ГП $GaAs_{1-x}P_x - Cu_{2-y}S$ для различных толщин сульфида меди¹. Закономерно, что по мере утончения пленок $p+Cu_{2-y}S$ растет пропускательная способность последних (т. е. квантовая эффективность ГП).

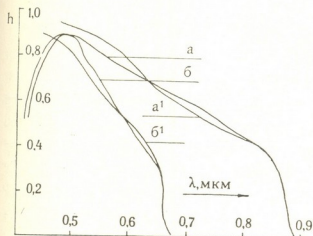


Рис. 3. Зависимость квантовой эффективности n -фотоактивных составляющих ГП $GaAs_{1-x}P_x - Cu_{2-y}S$ от длины волны падающего излучения: а, б—экспериментальные результаты; а', б'—расчетные кривые для случая $L_d = 0,30$ мкм; $W = 0,15$ мкм (уравнение (5))

В уравнении (1) в линейном приближении фототок СЭ может быть заменен экспериментально измеряемой величиной тока короткого замыкания $I_{K3} \approx -|I_\Phi|$ [3]. Такое приближение дает возможность в неявном виде учитывать все присущие системе и замаскированные в уравнении (1) характерные рекомбинационные потери и одновременно сравнивать расчетные экспериментальные результаты исследований (рис. 3). Хорошее совпадение кривых H_λ СЭ (кривые а, б и а', б' соответственно), несомненно, указывает на удовлетворительность вышесделанных допущений.

Таким образом, согласно полученным экспериментальным результатам, фотоактивная поглощающая способность ГП $GaAs_{1-x}P_x - Cu_{2-y}S$, даже для идеальных случаев $h_\lambda = 1$, оказывается ограниченной поглощением в сульфиде меди. Ограничение накладывается и на плотность I_Φ фототока системы ГП согласно уравнениям (1) и (7) в функции от длины волны

$$I_\Phi(\lambda) = eN_\lambda \cdot e^{-\beta d} \cdot h_\lambda, \quad (8)$$

а также на КПД СЭ. Так что, только принимая во внимание сказанное, а также учитывая роль слоевого сопротивления $R_c = p/d$ [Ω/\square] в формировании последовательного сопротивления системы и возможные просветляющие способности пленки сульфида меди (т. е. правильный подбор d), можно оптимизировать $p+Cu_{2-y}S$ -составляющую СЭ. В частности, при

¹ В настоящей работе впервые рассчитан коэффициент поглощения [оптимальных ($d \approx 500 \text{ \AA}$, $p_p \approx 10^{21} \text{ см}^{-3}$) $p+Cu_{2-y}S$ -составляющих ГП $GaAs_{1-x}P_x - Cu_{2-y}S$ со стехиометрией $Y = 0,21 \div 0,25$].

просветлении СЭ на длине волны $\lambda_0 = 0,5$ мкм были определены следующие параметры $p^+Cu_{2-y}S : d \simeq 550 \text{ \AA}$, $R_c \simeq 130 \cdot \Omega/\square$ при $n_\lambda \simeq 2,2$ и $N_a \simeq 5 \cdot 10^{21} \text{ см}^{-3}$.

Тбилисский государственный университет

(Поступило 16.4.1986)

შესრულება

6. ჩანთარია, ნ. კეკელიძე, ა. მირცხულავა, გ. გოდერძიშვილი,
ი. პაპიძე, ა. ივანიშვილი

შესრულების ეფექტურობა მზის ელემენტებში $GaAs_{1-x}P_x - Cu_{2-y}S$ საფუძვლზე

რეზიუმე

პირველადაა შესწავლითი 10 % მეტი მ. კ. მქონე ჰეტეროგადულს $GaAs_{1-x}P_x - Cu_{2-y}S$ ($x \leqslant 0,4$; $y = 0,2 \pm 0,03$) აგებული მზის ელემენტის შთანთქმის ეფექტურობა. მიღებული ექსპერიმენტული შედეგები შედარებულია შესაბამისი თეორიიდან გამომდინარე გათვლებით. ნაჩვენებია შე $GaAs_{1-x}P_x - Cu_{2-y}S$ კვანტური ეფექტურობის შემოსაზღვრულობა, ე. ი. მზის ელემენტის მ. კ. კ. დამოკიდებულობა სპილენის სულფიდის თხელი ფირების სისქეზე.

PHYSICS

R. V. KANTARIA, N. P. KEKELIDZE, A. A. MIRTSKHULAVA,
G. I. GODERDZISHVILI, I. V. PAPIDZE, A. N. IVANISHVILI

ABSORPTION EFFECTIVENESS IN SOLAR CELLS BASED ON $GaAs_{1-x}P_x - Cu_{2-y}S$

Summary

A study has been made of the absorption effectiveness of solar cells based on $GaAs_{1-x}P_x - Cu_{2-y}S$ heterojunction with more than 10% efficiency.

ლიტერატურა — REFERENCES

1. Р. В. Кантария, С. Ю. Павелец, А. А. Мирцхулава, Г. В. Сигуа, И. В. Чхартишвили, Д. Ш. Заридзе. Сообщения АН ГССР, 124, № 3, 1986.
2. Р. В. Кантария, С. Ю. Павелец. ФТП, 12, 1978, 1214—1217.
3. А. Фаренбрух, Дж. Араинович. Преобразование солнечной энергии. М., 1982, 227—233.
4. Н. С. Gasey, B. I. Miller, E. Pinkas. J. Appl. Phys. 44, 827, 1973.
5. М. М. Колтун. Селективные оптические поверхности преобразователей энергии. М., 1979, 48.

ФИЗИКА

И. Г. ГВЕРДЦИТЕЛИ (академик АН ГССР), А. Б. ГЕРАСИМОВ,
З. Г. ГОГУА, З. В. ДЖИБУТИ, М. Г. ПХАКАДЗЕ

ЭЛЕКТРОННО-ДЫРОЧНЫЙ МЕХАНИЗМ ОБРАЗОВАНИЯ ТОЧЕЧНЫХ ДЕФЕКТОВ В КОВАЛЕНТНЫХ КРИСТАЛЛАХ

Предлагаемый механизм дефектообразования базируется на концепции, объясняющей фазовый переход первого рода, в основе которой лежит факт изменения квантовых состояний связывающих электронов, которое может достигаться разными способами (теплом, светом, инжекцией и т. д.).

Переход электрона из валентной зоны в зону проводимости означает изменение его квантового состояния со связывающим на антисвязывающее, т. е. появление двух антисвязывающих частиц: свободного электрона и дырки [1]. Поскольку свободные электроны и дырки двигаются хаотически по кристаллу со скоростью, обусловленной температурой, то около данного атома с определенной вероятностью может находиться разное число антисвязывающих электронов и дырок (дырка около атома означает отсутствие одного связывающего электрона) и сила связи этого атома с окружающими атомами будет зависеть от соотношения числа связывающих электронов и антисвязывающих квазичастиц около него. Максимальная сила связи у данного атома с соседями будет при наличии около него четырех связывающих электронов. В том случае, когда около данного атома это отношение антисвязывающих квазичастиц к числу связывающих электронов будет равно половине, остаются только две связи и вследствие перераспределения электронной плотности атом сдвигается в ту сторону, в которой плотность отрицательного заряда больше [2] и образуется междуузельный атом и вакансия. Но образованная пара точечных дефектов не будет стабильной, т. к. находящийся на ближайшем расстоянии от вакансии междуузельный атом при захвате связывающих электронов будет втягиваться в узел из-за восстановления плотности связывающих электронов. Следовательно, для некоторой стабилизации образованной пары необходим перескок соседнего атома за время τ в вакантный узел. Для перескока соседнего атома в вакансию необходимо, чтобы связь данного атома с атомами следующей координационной сферы, которая увеличена из-за перераспределения связывающего заряда [2], должна быть ослаблена минимум до значения нормальной связи, чтобы с помощью фононов осуществился перескок. При этом необходимо наличие фононов с максимальной энергией в количестве, равном их среднему числу при температуре плавления, поскольку наибольшее изменение структуры происходит при температуре плавления [3, 4].

Выход атома в междуузле и перескок соседнего атома в вакансию являются последовательными событиями и вероятность W образования дефекта по Френкелю будет произведение их вероятностей

$$W = W_{\text{вых}} W_{\text{пер}}, \quad (1)$$

где $W_{\text{вых}}$ — вероятность выхода атома из узла, а $W_{\text{пер}}$ — вероятность перескока. $W_{\text{вых}}$ обуславливается одновременным наличием у данного атома



двух антисвязывающих квазичастиц в объеме $V_A = 1/N_A$, где N_A – число атомов в единице объема.

Для определения вероятности $W_{\text{вых}}$ необходимо отметить, что условием независимости попадания антисвязывающего электрона и дырки в объем V_A является $\frac{2\hbar\varepsilon}{e^2} \frac{V_T}{r_D} e^{r/r_D} \gg 1$ [5]. Здесь $\hbar = \frac{h}{2\pi}$, h – постоянная Планка; ε – диэлектрическая постоянная; e – заряд; $v_T = \sqrt{\frac{3KT}{m^*}}$ – средняя тепловая скорость; m^* – эффективная масса проводимости носителей заряда; K – постоянная Больцмана; T – абсолютная температура; $r < r_A = \left(\frac{3V_A}{4\pi}\right)^{1/3}$ и $r_D = \left(\frac{\varepsilon KT}{4\pi e^2 n_{kp}}\right)^{1/2}$ – радиус Дебая. Значение критической концентрации n_{kp} дается в работе [3]. Подставляя значения параметров из [6], получаем $\frac{2\hbar\varepsilon v_T}{e^2} e^{r/r_D} \gg 1$. Исходя из вышесказанного, вероятность попадания квазичастиц можно считать независимыми событиями, если их последовательность такова, что не происходит накопления заряда (например, электрон-дырка – благоприятное, а электрон-электрон – неблагоприятное событие).

Вероятность попадания одной квазичастицы в объем V_A , приходящейся на один атом, будет $\frac{2n_i}{N_A}$, при этом $n_e = n_h = n_i$, где $n_{e,h}$ – концентрация электронов и дырок соответственно, а вероятность одновременного попадания квазичастицы в V_A за время τ получается умножением этой вероятности на число атомов, у которых побывает эта квазичастица за время τ , т. е. на величину $n_{ob} = \frac{\tau}{t}$. Здесь $t = \frac{t_e + t_h}{2}$ – среднее время пребывания квазичастицы в объеме V_A ; $t_{e,h} = \frac{2r_A}{v_{e,h}}$ и $v_{e,h} = \sqrt{\frac{3KT}{m_{e,h}^*}}$; $m_{e,h}^*$ – эффективная масса проводимости электронов и дырок соответственно. Вероятность одновременного попадания за время τ двух квазичастиц в V_A при условии, что одна квазичастица ждет в V_A другую в течение среднего времени t , будет

$$W_{\text{вых}} = \frac{1}{4} n_{ob}^2 \left(\frac{2n_i}{N_A} \right)^2 p(t), \quad (2)$$

где $p(t) = 1 - \frac{(\tau - t)^2}{\tau^2}$ [7].

В выражении (2) учтено, что квазичастицы могут иметь противоположные заряды.

Если учесть малость параметра t/τ , что вытекает из $v_T \gg v_A$, где v_T – скорость квазичастицы, а $v_A = \sqrt{\frac{KT}{M_A}}$ – скорость атома, окончательно получаем

$$W_{\text{вых}} = \frac{1}{2} n_{ob} \left(\frac{2n_i}{N_A} \right)^2. \quad (3)$$

Корректный расчет $W_{\text{вых}}$ более трудоемкий, и его не воспроизводим, а ко-
нечный результат при $m_e^* = m_h^*$ совпадает с (3).

Вероятность $W_{\text{пер}}$ определяется, как указано выше, приходом антисвязывающей квазичастицы за время τ в объем V_A при наличии у атома фононов максимальной энергии, в количестве, равном их среднему числу при $T=T_{\text{пл}}$. Эти события считаем независимыми.

В условиях высоких температур $T \gg T_D$, где T_D — температура Дебая, вероятность наличия n_Φ числа фононов у каждого атома дается формулой Пуассона

$$W_\Phi = \frac{(\bar{n}_\Phi)^{n_\Phi}}{n_\Phi!} e^{-\bar{n}_\Phi}, \quad (4)$$

где $n_\Phi = \frac{3T_{\text{пл}}}{T_D}$ — число фононов, приходящихся на атом при $T=T_{\text{пл}}$; $\bar{n}_\Phi =$

среднее число фононов, приходящихся на атом, $\bar{n}_\Phi = \frac{3T}{T_D}$. В интересующей нас области температур ($T_{\text{пл}} \geq T \gg T_D$) $n_\Phi, \bar{n}_\Phi \gg 1$, и, воспользовавшись формулой Стирлинга, можно записать вероятность (4) в виде

$$W_\Phi = \left(2\pi \frac{3T_{\text{пл}}}{T_D}\right)^{-1/2} \exp \frac{3T_{\text{пл}}}{T_D} \left(1 - \frac{T}{T_{\text{пл}}} - \ln \frac{T_{\text{пл}}}{T}\right), \quad (5)$$

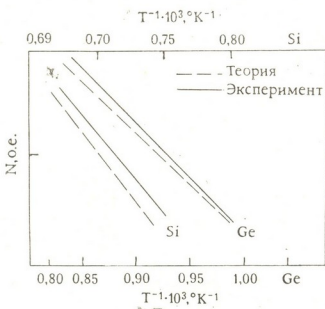
а вероятность прихода одной квазичастицы равна $\frac{2n_i}{N_A} n_{\text{об}}$. Учитывая формулу (5), для $W_{\text{пер}}$ получаем

$$W_{\text{пер}} = \frac{3}{2} \frac{n_i}{N_A} n_{\text{об}} W_\Phi. \quad (6)$$

Подставляя (3) и (6) в (1) и принимая во внимание, что $N_{\text{деф}} = \frac{N_A W}{\tau} \tau_{\text{ж}}$, получаем

$$N_{\text{деф}} = 3 \left(6\pi \frac{T_{\text{пл}}}{T_D}\right)^{-1/2} n_{\text{об}} N_A \frac{\tau_{\text{ж}}}{t} \left(\frac{n_i}{N_A}\right)^3 \exp \frac{3T_{\text{пл}}}{T_D} \left(1 - \frac{T}{T_{\text{пл}}} - \ln \frac{T_{\text{пл}}}{T}\right). \quad (7)$$

Здесь $\tau_{\text{ж}}$ — время жизни междуузельного атома и вакансии, которая сильно зависит от исходного дефектного состава кристалла, и ее опре-



деление является сложной проблемой, поэтому равновесная концентрация точечных дефектов по величине может меняться в зависимости от



исходного дефектного состава полупроводника, однако ее температурная зависимость меняется слабо [8].

На рис. 1 приведены температурные зависимости концентраций точечных дефектов в относительных единицах, измеренных на опыте и рассчитанных по формуле (7), где все параметры взяты из [6].

Тбилисский государственный университет

(Поступило 5.12.1986)

701625

ი. გვერდცითელი (საქ. სსრ მეცნ. კალემის კადემიკოსი), ა. გერასიმოვი,
ზ. გოგუა, ზ. ჯიბუთი, მ. ფხაკაძე

ტბილისის ტექნიკური კრისტალური სტანდარტული დეფექტების გაჩვენების
მიღების მიზანი მისანიშვილი

რეზიუმე

შრომაში მოცემულია Ge და Si ტიპის კრისტალურ კრისტალებში წერტილოვანი დეფექტების წარმოშობის მექანიზმი, რომელიც ემყარება მშენებელი ელექტრონების კვანტური მდგომარეობის ცვლილებას. წონასწორული მდგომარეობიდან ატომის ვამსვლის ელექტრულური ძეტი წარმოდგენილია როგორც ბმის შემცირებისა და იზოტროპიზაციის ერთდროული მოქმედების შედეგი. მიღებულია ფორმულა, რომელიც აღწერს წერტილოვანი დეფექტების კონცენტრაციის ტემპერატურაზე დამკიდებულებას.

PHYSICS

I. G. GVERDTSITELI, A. B. GERASIMOV, Z. G. GOGUA, Z. V. JIBUTI,
M. G. PKHAKADZE

ELECTRON-HOLE MECHANISM OF STOICHIOMETRIC DEFECT FORMATION IN COVALENT CRYSTALS

Summary

A point defect formation mechanism based on the variation of bonding electron quantum state is described for Ge and Si-type covalent crystals, and the elementary act of disturbing an atom from the equilibrium state is presented as a result of simultaneous action of bond weakening and isotropism. The formula is obtained describing temperature dependence of point defect concentration.

ლიტერატურა — REFERENCES

1. У. Харрисон. Электронная структура и свойства твердых тел. И. М., 1983.
2. U. Lindfelt. Forces around defects; M. Tcheffer, C. B. Bachelet, J. P. Vigneron. Electronic structure and lattice distributions around simple defects in Si and Ge. Fourth "Lund" International Conference on deep level impurities in semiconductors. Eger, Hungary, 1983.
3. И. Г. Гвердцители, А. Б. Герасимов, М. Г. Пхакадзе, А. А. Церцвадзе. Сообщения АН ГССР, 115, № 3, 1984, 315.
4. А. Р. Регель, В. М. Глазов. ФТП, 17, 10, 1983, 1729.
5. Л. Д. Ландау, Е. М. Лифшиц. Квантовая механика. М., 1963.
6. С. З. Физика полупроводниковых приборов. 1, 2. М., 1984.
7. В. С. Королюк, Н. И. Поргенко, А. В. Скорогод, А. Ф. Турбин. Справочник по теории вероятностей и математической статистике. М., 1985.
8. Б. И. Болтакс, С. И. Бударина. ФТП, II, 2, 1969, 418.

ГЕОФИЗИКА

С. А. ЮФИН, В. И. ТИТКОВ, Т. Л. БЕРДЗЕНИШВИЛИ

ОПТИМИЗАЦИЯ РАСЧЕТНЫХ АЛГОРИТМОВ МКЭ ПРИ
ПОВЫШЕНИИ ПОРЯДКА ИСПОЛЬЗУЕМЫХ ЭЛЕМЕНТОВ

(Представлено членом-корреспондентом Академии М. А. Алексидзе 4.12.1985)

Метод конечных элементов (МКЭ) за 30 лет своего развития и широкого применения достиг определенного уровня разработки и в настоящее время является основным численным методом в решении обширного класса теоретических и прикладных задач. Корректная постановка многих задач геофизики, механики скальных пород, практических расчетов сложных подземных сооружений требует в расчетных схемах МКЭ подробного представления обширных областей массивов горных пород со сложным неоднородным геологическим строением, при этом, как правило, требуется детальный учет рельефа поверхности, очертания выработок и конструкций их крепления, что приводит к необходимости решения трехмерной (объемной) задачи, часто при динамических воздействиях на расчетную область. Ресурсы представляющей вычислительной системы (память, быстродействие, время счета) ограничены. Совмещение решения МКЭ с решением на границах рассматриваемой области, полученным методом граничных элементов (МГЭ) [1], снижает уровень задачи при корректной постановке граничных условий, но в условиях сложного геологического строения изучаемых массивов существенной экономии требуемых ресурсов ЭВМ не дает.

Существенно снизить число неизвестных в решении МКЭ без потери качества результатов можно за счет использования в расчетных схемах элементов высоких порядков. В соответствии с общепринятой терминологией под порядком элемента понимается степень многочленов, используемых в качестве функций формы и аппроксимации распределения неизвестных в пределах элемента [2]. Элементы второго порядка, используемые совместно с элементами первого порядка и симплекс-элементами, обеспечивают требуемую подробность решения при относительно небольшом их количестве в расчетной схеме. Стыковка элементов разных порядков осуществляется за счет переходных элементов [3]. В некоторых случаях целесообразно использование элементов третьего порядка. Уровень разработки программного комплекса в этой части определяется набором («библиотекой») элементов, использование которого возможно в пределах одной расчетной области.

Многоцелевой программный комплекс «STATAS» [4] в своей двумерной версии «STATAS-2D» содержит 24 типа элементов от одномерных (стержневых) до плоских четырехугольных элементов третьего порядка. «Бесконечные» элементы [5] используются на границах расчетных схем для корректного представления граничных условий, особенно в расчетах на динамические воздействия в волновой постановке. Обобщение всех этих элементов до их трехмерных аналогов не представляет формальных затруднений.

Оптимизация решения по затратам ресурсов может быть выполнена на трех уровнях — при подготовке исходной информации, ее редактировании, анализе и вводе; на уровне элементов, т. е. при формировании зависимостей для каждого элемента схемы — матриц жестко-

сти и матриц напряжений; на уровне системы элементов, т. е. при сборке и решении основной системы уравнений.

Оптимизация подготовительного этапа [4] в настоящей работе не рассматривается. Расчетный алгоритм оптимизируется следующим образом:

а) на элементном уровне при интегрировании основных зависимостей в численном виде с применением алгоритма Гаусса [2–8] используется тот факт, что в выбранных локальных координатах для элемента данного типа при выбранном порядке численного интегрирования функции формы и их производные — константы могут быть вычислены однократно, при этом за счет более подробного программирования исключаются операции над нулевыми или симметричными членами матриц;

б) оптимизация на уровне системы элементов рассматривается на одном из вариантов реализации версии комплекса «STATAС»; конкретные условия предполагают решение задач с размерами до 2000 узловых точек и 2000 элементов МКЭ при доступной оперативной памяти 0,5 мгб; на основе анализа статистических данных с учетом указанного ограничения производится и выбор максимальной «узловой ширины» приведенной матрицы жесткости, т. е.

$$M = \operatorname{Sup}_{1 \leq K \leq N} \operatorname{Sup}_{I, J \in K} |I - J| + 1 \leq 120$$

(I, J — номера узлов, принадлежащих элементу K; N — количество элементов модели). Кроме того, предполагалось, что получаемая матрица жесткости в общем случае несимметрична, а решение основной системы уравнений осуществляется методом Гаусса.

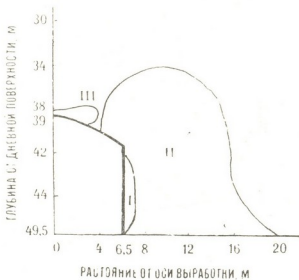


Рис. 1

Если конкретизировать поставленные цели, то кратко они могут быть сформулированы следующим образом: 1) свести к минимуму число обращений к внешним носителям, полностью исключив многочленность и итеративность процессов записи и считывания информации; 2) минимизировать количество вычислений в оперативной памяти.

Для успешного решения этих двух задач необходимо выделение $L = 4 \times (M+1) \times (M+K)$ слов дополнительной памяти ($K > 0$ и определяется соображениями удобства блокирования). Особо следует отметить, что данная часть программы реализована на FORTRANe. Язык низкого уровня не мог быть использован не только при причине трудоемкости программирования, но и в силу того, что эксплуатация проводится на ЭВМ с различными ассемблерами и организациями оперативной памяти. Значительная часть вычислений, особенно касаю-

щихся процессов приведения, осуществляется над числами, расположеными в последовательных ячейках.

До начала процесса сборки в добавление к основным информационным массивам создается и вспомогательный, содержащий номера элементов, матрицы жесткостей которых должны находиться в оперативной памяти в момент получения строк коэффициентов соответствующих узлов. В первые $4M$ ($M+1$) слова матрицы системы заносятся нули. Под диагональные элементы отводятся следующие места: $1, 2M+2, 4M+3, 6M+6, 8M+7, 10M+10, 12M+11, 14M+14, \dots$. И вообще индексация элементов массива производится по модулю L .

Алгоритм исполняется последовательно относительно узлов, начиная с первого. При рассмотрении i -го узла к основному массиву добавляются элементы матриц жесткостей (номера матриц берутся из вспомогательного массива). Затем производится приведение последующих строк относительно двух текущих ($2(i-1) + i, 2i$). Как только полностью обработаны $2(K+1)$ строки, они записываются на внешний носитель. Вслед за каждым приведением (и записью) «обнуляются» элементы массива с индексами от $4M(M+i-1)+1$ до $4M(M+i)$. Легко заметить, что адреса конца предыдущей и начала последующей строк непрерывно «приближаются» к диагональному элементу второй из указанных. При вспомогательном рассмотрении описанного алгоритма можно доказать, что «наползание» строк друг на друга исключается. Правая часть матричного уравнения обрабатывается отдельно как столбец размерностью $2 \times P$ (P — количество узлов схемы модели).

На рис. 1 представлены результаты расчета с использованием описанной методики зон разрушения и пластических деформаций тектонически-напряженного горного массива, вмещающего выработку подземного сооружения (I — зона растягивающих напряжений в массиве, II — зона возможных разрушений по плоскостям трещин в массиве, III — зона пластических деформаций в кровле выработки). Описанные алгоритмы позволяют решать и другие более сложные задачи с минимальными затратами ресурсов ЭВМ при высоком уровне и точности результатов.

Академия наук Грузинской ССР
 Институт геофизики

(Поступило 10.4.1986)

ЗАМЕЧАНИЯ

Л. Ошенидзе, В. Тицквадзе, Т. Чакрадарашвили

სასრულ ელემენტთა მთოლის გამოთვლითი ალგორითმების
 ოპტიმიზაცია ელემენტთა რიცს გაზრდისას

რეზიუმე

განხილულია სასრულ ელემენტთა მთოლის გამოყენებით აგებულ მსხვილ პროგრამული კომპლექსის გამოთვლითი ალგორითმების ოპტიმიზაცია EC-ის ტიპის საშუალო შესაძლებლობის ეგმ-ფის. გამოთვლით სქემებში, მაღალი რიგის ელემენტების გამოყენების დროს, ოპერაციათა შემცირება ხორციელდება როგორც ცალკეულ ელემენტთა, ისე ელემენტთა სრული სისტემის დამკიდებულებების აგების დონეზე.

S. A. YUFIN, V. I. TITKOV, T. L. BERDZENISHVILI

FINITE ELEMENT METHOD ALGORITHMS OPTIMIZATION ON INCREASING THE ORDER OF ELEMENTS USED

Summary

Computer storage and time needed for the realization of computational process using the finite element method are minimized in large multipurpose computer codes. While implementing high-order elements in the FEM meshes, a decrease in the number of operations is achieved both on the element and system levels.

ЛІТЕРАТУРА — REFERENCES

1. C. A. Brebbia. The Boundary Element Method for Engineers, 2-nd., London, 1980.
2. O. C. Zienkiewicz. The Finite Element Method, London, 1977.
3. E. L. Wilson. Finite Elements for Foundations, Joints and Fluids in "Finite Elements in Geomechanics" N. Y., 1979, 319-350.
4. С. А. Юфин, Т. Л. Бердзенишвили. Сообщения АН ГССР, 79, № 3, 1980.
5. R. Bettes. J. Num. Meth. Eng., 11, 1977, 53-64.
6. Т. Л. Бердзенишвили, О. К. Постольская, В. И. Титков, С. А. Юфин. ГФАП СССР, ПОО4559, 1980.
7. Т. Л. Бердзенишвили, Г. М. Гелашвили, О. К. Постольская, С. А. Юфин. Сообщения АН ГССР, 104, № 1, 1981.
8. Т. Л. Бердзенишвили. Автореферат канд. дисс. Л., 1984.

АНАЛИТИЧЕСКАЯ ХИМИЯ

И. Ш. ШАТИРИШВИЛИ, З. А. ИОРДАНИШВИЛИ

СХЕМА ХРОМАТОГРАФИЧЕСКОГО АНАЛИЗА РАВНОВЕСНОЙ ПАРОВОЙ И ЖИДКОЙ ФАЗ

(Представлено членом-корреспондентом Академии Г. В. Цинцадзе 25.10.1986)

Газохроматографический анализ целого ряда объектов природного происхождения (вины, соки, сусло, физиологические жидкости) связан с трудностями ввода проб, содержащих дисперсные частицы или растворенные, но не кипящие в этих условиях вещества (сахара, крахмали, белки и т. д.). Эти вещества забивают колонку и выводят ее из строя.

Для решения вопросов газохроматографического анализа указанных объектов представляет интерес прием полной переконденсации систем в мягких условиях вакуума и прогревания, при которых не происходит разложение твердой фазы и веществ с высокими температурами кипения. При этом традиционные приемы анализа равновесной паровой фазы сохранили свое важное значение и легко реализовались [1].

Для решения этих задач применяли установку из кварцевого стекла с использованием стандартных шлифов. Часть деталей изготовлена из тefлона (рис. 1).

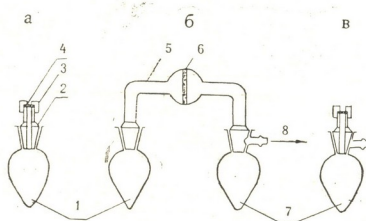


Рис. 1. Схема установки для хроматографического анализа сложных систем из одной пробы: 1—колба для исходного продукта, 2—пробка тефлоновая под шлифт, 3—колпачок, 4—мембрана из силиконовой резины, 5—соединительная трубка, 6—кварцевый фильтр № 4, 7—приемник, 8—к вакуумному насосу: а) для уравновешивания и анализа паровой фазы, б) для перегонки пробы, в) для анализа конденсата, г) для анализа неперегоненного остатка пробы

Схема проведения аналитической операции была следующей. Проба материала (сок, виноматериал, сусло, физиологическая жидкость), отбирающаяся в количестве 2–3 мл (или по весу) в кварцевую колбочку 1, закрывается тефлоновым шлифом сложной конфигурации 2 с силиконовой мембранией в верхней части 4.

Колбочка выдерживается в термостате необходимое время при заданной температуре и затем из нее через мембрану 4 шприцем отбирается из паровой фазы проба для анализа либо напрямую, либо по одному из вариантов, описанных в работе [2]. На газовом хроматографе осуществляется анализ паровой фазы с необходимой идентификацией и получением количественных данных.

Далее колба 1 частично охлаждается и подсоединяется к приборчику согласно рис. 1, б, после чего охлаждается погружением в пары жидкого азота или другого приемлемого охладителя. После охлаждения колба 7 поворачивается в положение к вакуумному насосу и производится откачка системы в течение 5—20 мин. Затем колба 7 поворачивается и погружается в охлаждающую среду. Колба 1 медленно нагревается до температуры 20—40° и летучая часть из нее перемораживается без потерь в колбу 7.

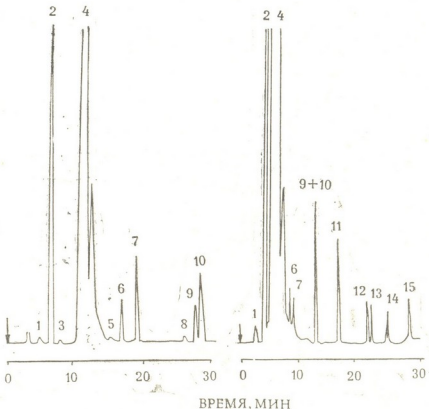


Рис. 2. Хроматограммы анализа типичного кахетинского вина:
а) газовая хроматограмма паровой фазы, б) газовая хроматограмма переконденсированного продукта; обозначения компонентов—в таблице, условия анализа—в тексте

Колба 7 отсоединяется от системы и закрывается колпачком 3 с отборным устройством (рис. 1, в). Далее микрошприцем из жидкой фазы производится отбор необходимого числа проб для анализа переконденсированного продукта методом газовой хроматографии. В необходимых случаях можно повторить анализ равновесной паровой фазы над переконденсированной пробой.

В колбе 1 остаются малолетучие и нелетучие вещества, сконцентрированные по сравнению с исходным образцом. Большей частью получается сухой остаток, отложившийся в кончике колбы 1. Иногда это вязкая капелька смеси не перегоняющихся при этих условиях соединений (менее 1% исходной массы).

Разработанная комплексная схема представляется удобной для анализа полифазных систем или систем, в которых содержатся нелетучие или малолетучие соединения.

Примером исследования предложенной комплексной системы является анализ соков или иных продуктов переработки винограда. Для анализа было взято типичное кахетинское вино домашнего производства, которое содержит достаточно большое количество сахара, белков и красящих веществ.

Результаты анализа паровой и жидкой фаз кахетинского вина
домашнего производства

№	Компоненты	Паровая фаза	Жидкая фаза
1	Ацетальдегид	0,03	0,03
2	Этилацетат	2,72	0,73
3	Метанол	0,01	< 0,01
4	Этанол	96,65	98,76
5	н-Пропанол	0,01	{ 0,08
6	Изоамилацетат	0,02	
7	2-Метилпропанол	0,14	{ 0,11
8	н-Бутанол	0,02	
9	н-Амиловый спирт	0,09	{ 0,19
10	Изоамиловый спирт	0,31	
11	Бутиленгликоль		0,06
12	н-Гексанол		0,15
13	Глицерин		0,005
14	Фенилэтанол		0,005
15	Этиллактат		0,01

Газохроматографический анализ равновесной паровой и жидкой переконденсированной фаз проводили на кварцевых капиллярных колонках длиной 30 м в режиме программирования температуры в первом случае от 40 до 90°, во втором от 40 до 200°C. Неподвижная фаза в первой колонке была привитая ПЭГ 40, во втором ПЭГ 20 м, толщина пленки 0,2 мкм. Детектор — пламенно-ионизационный. Полученные хроматограммы приведены на рис. 2. При проведении экспериментов идентификация осуществлялась методом хромато-масс-спектрометрии на приборе фирмы «ЛКБ». В таблице приведены данные по содержанию различных соединений в кахетинском вине в паровой фазе и переконденсированной жидкой фазе. Расчет концентрации проводили методом внутренней нормализации с выдержанием концентрации в массовых относительных процентах (без учета содержания воды [3]). Оставшийся в колбе 1 после переконденсации концентрат может быть подвергнут анализу на содержание аминокислот, фенолкарбоновых кислот, сахаров и других соединений методами жидкостной хроматографии.

Из описанной комплексной схемы и приведенных результатов видны достоинства предлагаемой схемы, позволяющей провести все виды хроматографических анализов из одной пробы, что существенно упрощает сведение материальных балансов по всем веществам, содержащимся в исходной пробе.

Грузинский сельскохозяйственный институт

(Поступило 13.11.1986)

ი. შატირიშვილი, ზ. იორდანიშვილი

წონასწორული ორთქლისა და თხევად ფაზათა ეროვნულობრივი
ანალიზის სკომა

რეზიუმე

შემუშავებული კომპლექსური სქემა მოსახერხებელია როგორც პოლი-
ფაზური, ისე ისეთი სისტემებისათვის, რომლებიც შეიცავენ არააქროლად და
მცირედ აქროლად ნაერთებს.

ANALYTICAL CHEMISTRY

I. Sh. SHATIRISHVILI, Z. A. IORDANISHVILI

CHROMATOGRAPHIC ANALYSIS PROCEDURE FOR BALANCED VAPOUR AND LIQUID PHASE

Summary

The comprehensive procedure developed is convenient for analysing the polyphase systems or systems containing nonvolatile or low-volatile compounds.

ლიტერატურა — REFERENCES

1. А. Г. Витенберг, Б. В. Иоффе. Газовая экстракция в хроматографическом анализе. Л., 1982.
2. И. Ш. Шатиришвили. Хроматография в энзологии. Тбилиси, 1986.
3. К. И. Сакодынский и др. Приборы для хроматографии. М., 1973.

ОРГАНИЧЕСКАЯ ХИМИЯ

Р. В. КЕРЕСЕЛИДЗЕ, Л. Д. МЕЛИКАДЗЕ (академик АН ГССР),
Д. Б. РАЗМАДЗЕ, Т. Н. ШАТАКИШВИЛИ

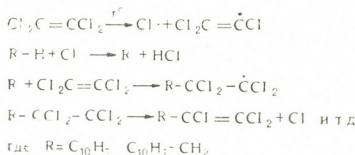
ВЫСОКОТЕМПЕРАТУРНАЯ КОНДЕНСАЦИЯ ТЕТРАХЛОРЭТИЛЕНА С НАФТАЛИНОМ, 1- И 2-МЕТИЛНАФТАЛИНАМИ

Как известно, хлорогранические соединения находят широкое применение во многих областях народного хозяйства. Это промышленность пластических масс, нефтехимическая промышленность, машиностроительная, химико-фармацевтическая, сельское хозяйство и др.

Важное место среди этих соединений занимают хлорпроизводные ароматических углеводородов. Одним из методов их получения являются свободнорадикальные реакции различных ароматических углеводородов с полихлоролефинами, в частности с ди-, три- и тетрахлорэтиленами. Инициаторами этих реакций служат как перекисные соединения, так и высокая температура [1, 2]. Высокотемпературной конденсацией полихлоролефинов с различными углеводородами бензольного ряда синтезирован ряд ценных соединений, характеризующихся биологической активностью [3]. Вместе с тем, представляет интерес использовать в этих реакциях также полициклические ароматические углеводороды, богатым источником которых является нефть. Возможность использования и получения из конденсированных ароматических углеводородов нефти биологически активных веществ, ингибиторов микробиологического заражения топлив, пластификаторов, мономеров и др. представляется актуальной задачей [4]. Актуальным является также использование этих углеводородов и с точки зрения освоения малодебитных нефтеей Грузии, так как все указанные продукты обычно находят мало- и микротоннажное применение [5].

В этом плане нами исследованы реакции высокотемпературной конденсации тетрахлорэтилена с нафталином, 1- и 2-метилнафталином. Получены не описанные в литературе продукты конденсации. Они могут быть рекомендованы для изучения и внедрения в качестве вышеуказанных соединений.

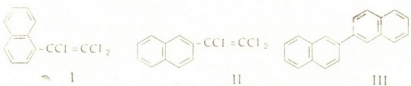
Реакция в общем виде протекает по следующей схеме:



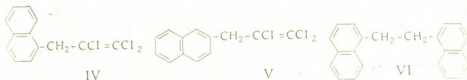
Процесс проводили в пустой кварцевой трубке длиной 700 мм, рабочей зоной 500 мм, диаметром 20 мм, помещенной в трубчатую печь. Температурный режим реакции поддерживали и контролировали термопарой, прикрепленной к трубке в средней части, терморегулятором и милливольтметром. Смесь тетрахлорэтилена и углеводорода в 34. „გთავაზე“, № 3, 1987

виде раствора подавали в трубку с нужной скоростью микротоком. Перед началом реакции систему продували гелием. Конденсат при выходе из трубки охлаждали в водяном холодильнике и собирали в приемнике.

Из нафталина и тетрахлорэтилена при 540° получена смесь двух изомеров (выход 10,6% от теор.): 1,1,2-трихлор-2(нафтил-1)-этен (I), и 1,1,2-трихлор-2(нафтил-2)-этен (II) — продуктов конденсации по α - и β -углеродным атомам нафталина. Соотношение изомеров, по данным ГЖХ, равно 1:5. Препартивной адсорбционной хроматографией на Al_2O_3 из этой смеси выделен в чистом виде находящийся в преобладающем количестве β -изомер (II). Из остатка конденсата в небольшом количестве отогнан также 2,2'-динафтил (III) — один из продуктов пиролиза нафталина.



Из тетрахлорэтилена и 1- и 2-метилнафталинов с выходом 20% от теор. синтезированы соответственно 1,1,2-трихлор-3(нафтил-1)-пропен-I (IV) и 1,1,2-трихлор-3(нафтил-2)-пропен-I (V):



Конденсацию тетрахлорэтилена с 1-метилнафталином провели также в колбе при 150° , где в качестве инициатора вместо высокой температуры брали перекись трет-бутила. Выход соединения IV составил 32% от теор. При разгонке конденсата выделено немного 1,2-динафтитэтана (VI) — продукта рекомбинации нафтилметильных радикалов.

Идентификацию синтезированных соединений проводили определением элементного состава, молекулярной массы эбулиоскопическим методом, УФ- и ИК-спектроскопией, ГЖХ.

УФ-спектры снимали на приборе «Specord», ИК-спектры — на приборе UR-20. ГЖХ выполнена на приборе ЛХМ-8МД с ПИД в токе He , со стальной колонкой $250 \times 0,3$ см, с 10% E-301 на хроматоне.

Реакция тетрахлорэтилена с нафталином. Смесь 99,48 г (0,6 моля) тетрахлорэтилена и 25,6 г (0,2 моля) нафталина пропускали через пустую кварцевую трубку в течение 4,6 часа при -540° . Из полученного конденсата (110 г) после отгонки не вступивших в реакцию исходных реагентов выделено 5,45 г (10,6%) фракции 133—135° (1 мм), кристаллизующейся при стоянии. По данным ГЖХ и ИКС, это смесь соединений I и II. ИК-спектр, cm^{-1} : 1610, 1520, 1480, 1400 ($\text{C}=\text{C}$), 3010 (=CH), 850 (один изолир. —CH), 825 (два соседних —CH), 800 (три соседних —CH), 760 (четыре соседних —CH), 910 ($-\text{ClC}=\text{CCl}_2$). Найдено, %: C 55,8; H 2,64; Cl 40,0. $\text{C}_{12}\text{H}_7\text{Cl}_3$. Вычислено, %: C 55,8; H 2,7; Cl 41,3. Адсорбционной хроматографией из смеси выделен 1,1,2-трихлор-2(нафтил-2)-этен (II); т. кип. 134° (1 мм); т. пл. 58° . УФ-спектр, λ_{max} (в спирте), нм.: 227, 255, 285 (ϵ 60576, 40384, 6200). ИК-спектр, cm^{-1} : 1610, 1530, 1480, 1400 ($\text{C}=\text{C}$), 3000 (=CH), 860 (один изолир. —CH), 830 (два соседних —CH), 760 (четыре соседних —CH), 910



($-\text{ClC}=\text{CCl}_2$). Найдено, %: C 56,20; H 3,07; Cl 40,0. M=251. $\text{C}_{12}\text{H}_7\text{Cl}_3$. Вычислено, %: C 55,80; H 2,7; Cl 41,30. M=257,3. Из остатка отогнано также 2 г 2,2-динафтила (III) при т. кип. 208° (1,5 мм); т. пл. 187° [6]. УФ-спектр, λ_{\max} (в спирте), нм.: 213, 255, 308 (ϵ 2941, 5882, 294). Найдено, %: C 94,36; H 5,58. $\text{C}_{20}\text{H}_{14}$. Вычислено, %: C 94,48; H 5,51.

Реакция с 1-метилнафтилином. Через описанный выше реактор пропускали смесь 33,16 г (0,2 моля) тетрахлорэтилена и 14,2 г (0,1 моля) 1-метилнафтилина при 488° в течение 1,7 часа. При разгонке конденсата (46,6 г) при т. кип. 158° (1,5 мм) выделено 5,5 г (20%) 1,1,2-трихлор-3(нафтил-1)пропена-1 (IV); n_D^{20} 1,6335. УФ-спектр, λ_{\max} (в спирте), нм.: 225, 263, 270, 283, 294, 315 (ϵ 86538, 6730, 8653, 9615, 7692, 1923). ИК-спектр, см $^{-1}$: 1610, 1550 (C=C), 3075 (=CH), 2940, 2875, 1440 ($-\text{CH}_2-$), 1660 ($-\text{C}-\text{C}=\text{C}$), 805 (три соседних—CH), 765 (четыре соседних—CH), 930 ($-\text{ClC}=\text{CCl}_2$). Найдено, %: C 57,61; H 3,39. Cl 39. M=278. $\text{C}_{13}\text{H}_9\text{Cl}_3$. Вычислено, %: C 57,5; H 3,3; Cl 39. M=271,3.

Реакцию с 1-метилнафтилином, инициируемую перекисью трет-бутила, проводили в четырехгорлой колбе, снабженной мешалкой, капельницей, термометром и газоотводной трубкой. К перемешивающейся при $150-155^\circ$ смеси 66,32 г (0,4 моля) тетрахлорэтилена и 227,2 г (1,6 моля) 1-метилнафтилина прикалывали в течение 4 часов смесь 56,8 г (0,4 моля) 1-метилнафтилина и 14,6 г (0,1 моля) перекиси трет-бутила. Далее смесь нагревали еще 1 час. После отгонки не выступившего в реакцию тетрахлорэтилена и избытка 1-метилнафтилина выделено 34,5 г (32%) 1,1,2-трихлор-3(нафтил-1)пропена-1 (IV). Из остатка отогнано также при 205° (1 мм) 2,2 г 1,2-ди-(нафтил-1)этана (VI); т. пл. 160° [6]. УФ-спектр, λ_{\max} (в спирте), нм.: 225, 265, 285, 300 (ϵ 87500, 4350, 5600, 4300). Найдено, %: C 93,4; H 6,24. $\text{C}_{22}\text{H}_{18}$. Вычислено, %: C 93,61; H 6,38.

Реакцию тетрахлорэтилена (0,2 моля) с 2-метилнафтилином (0,1 моля) проводили в кварцевой трубке при $535-540^\circ$ в течение 1,1 часа. При разгонке конденсата (28 г) выделено 5,5 г (20%) 1,1,2-трихлор-3(нафтил-2)пропена-1(V); т. кип. 155° (0,5 мм); т. пл. 43° . УФ-спектр, λ_{\max} (в спирте), нм.: 225, 260, 270, 280, 290 (ϵ 86538, 2939, 4054, 4358, 2331). ИК-спектр, см $^{-1}$: 1610, 1560 (C=C), 3075 (=CH), 2940, 2875, 1440 ($-\text{CH}_2-$), 1660 (C=C в замест.), 865 (один изолир.—CH), 825 (два соседних—CH), 765 (четыре соседних—CH), 920 ($-\text{ClC}=\text{CCl}_2$). Найдено, %: C 56,41; H 3,8; Cl 39,11. M=275. $\text{C}_{13}\text{H}_9\text{Cl}_3$. Вычислено, %: C 57,5; H 3,3; Cl 39. M=271,3.

Академия наук Грузинской ССР

Институт физической
и органической химии
им. Н. Г. Меликишвили

(Поступило 19.4.1986)

ორგანული გემა

6. გირევალიძე, ლ. გლიგები (საქ. სსრ მეცნ. კვალიფიციატის დაწესების, დ. რაზმაძე, თ. უახაკიშვილი

ტეტრაქლოროთილენის გაღალტებერატურული კონდენსაცია
ნაფთალინთან, 1- და 2-გეთილნაფთალინთან

რეზიუმე

შესწავლითი ტეტრაქლოროთილენის მაღალტემპერატურული კონდენსაციის რეაქცია ნაფთალინთან და 1- და 2-გეთილნაფთალინებთან. მიღებულია

ლიტერატურაში უცნობი 1,1,2-ტრიქლორ-2(ნაფტილ-2)ეთენი, 1,1,2-ტრიქლორ-3(ნაფტილ-1)პროპენ-1 და 1,1,2-ტრიქლორ-3(ნაფტილ-2)-პროპენ-1.

ORGANIC CHEMISTRY

R. V. KERESELIIDZE, L. D. MELIKADZE, D. B. RAZMADZE,
T. N. SHATAKISHVILI

HIGH-TEMPERATURE CONDENSATION OF TETRACHLOROETHYLENE WITH NAPHTHALENE AND 1-AND 2-METHYLNAPHTHALENES

Summary

A study has been made of high-temperature condensation reaction of tetrachloroethylene with naphthalene and 1- and 2-methylnaphthalenes. 1, 1, 2-trichloro-2(naphthyl-2)-ethene, previously unknown in the literature of the subject, was obtained in the pure form as well as 1, 1, 2-trichloro-3(naphthyl-1)propene-1 and 1, 1, 2-trichloro-3(naphthyl-2)propene-1.

ლიტერატურა — REFERENCES

1. L. Schmerling, J. P. West. J. Am. Chem. Soc., 75, 1953, 6216.
2. Г. И. Никишин, М. И. Дюсенов. Изв. АН СССР, сер. хим., № 4, 1967, 819.
3. М. И. Дюсенов. Автореферат канд. дисс. М., 1969.
4. В. З. Соколов, Г. Д. Харлампович. Производство и использование ароматических углеводородов. М., 1980.
5. Л. Д. Меликадзе, Г. Ш. Хитри. Сообщения АН ГССР. 114, № 3, 1981, 537—539.
6. Beilsteins Handbuch der Org. Chem. Virte Auflage, Band V, Berlin, 1922, S. 727, 731.

ОРГАНИЧЕСКАЯ ХИМИЯ

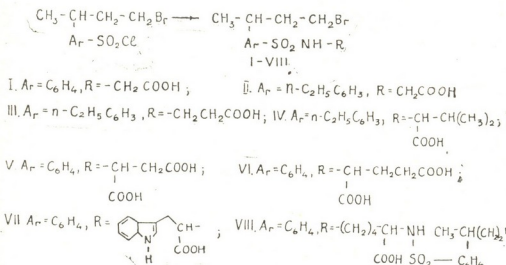
Д. Р. ЛАГИДЗЕ, Т. Н. РЕВАЗИШВИЛИ, Л. Я. ТАЛАКВАДЗЕ,
Н. С. САНИКИДЗЕ

СИНТЕЗ НОВЫХ СУЛЬФОНАМИДНЫХ СОЕДИНЕНИЙ НА
ОСНОВЕ 3-(п-СУЛЬФОХЛОРИДФЕНИЛ)-1-БРОМБУТАНА,
3-(3-СУЛЬФОХЛОРИД-4-ЭТИЛФЕНИЛ)-1-БРОМБУТАНА
И АМИНОКИСЛОТ

(Представлено членом-корреспондентом Академии Р. М. Лагидзе 29.1.1985)

Среди различных подходов, реализуемых в настоящее время в области поиска физиологически активных веществ, по своим результатам с точки зрения выхода в практику, по-видимому, все еще наиболее перспективным является синтез аналогов ряда важнейших биологически активных веществ и лекарственных средств. В этом плане особый интерес представляет привлечение в качестве ключевых продуктов различных витаминов, биогенных аминов, аминокислот и других природных веществ. С этой целью ранее на основе 3-аралкилгалогенидов был осуществлен синтез многих ценных соединений, в том числе антибластоматозных веществ [1].

Продолжая исследования в этом направлении, взаимодействием ранее синтезированных 3-(п-сульфохлоридфенил)-1-бромбутана и 3-(3-сульфохлорид-4-этилфенил)-1-бромбутана [2, 3] с глицином, β -аланином, валином, аспарагиновой и глутаминовой кислотами, триптофаном и лизином, мы получили соответствующие сульфонамидные соединения (I—VIII) по схеме



ИК-спектры сняты на спектрофотометре «DS-301» (прессованные таблетки с KBr и пленки для маслообразных веществ между пластиныками из NaCl), масс-спектры — на масс-спектрометре «MX-1303» при ускоренном напряжении 70 эВ. Контроль за ходом реакции, а также чистотой полученных соединений осуществляли методом TCX на окиси алюминия (II степень активности по Брокману, бензол-акетон 3:1).

Соединение (I). К раствору 5 г глицина в 30 мл воды и 7 г карбоната натрия при перемешивании добавляют по каплям 12 г

3-(*n*-сульфохлоридфенил)-1-бромбутана с т. кип. 148—150°/1 мм. Перемешивание продолжают в течение 5 часов при 30—40°. Затем раствор фильтруют, фильтрат подкисляют соляной кислотой, выпавший осадок промывают водой, растворяют в эфире и сушат над сульфатом натрия. Растворитель удаляют и сырой продукт очищают в хроматографической колонке с окисью алюминия (элюент—эфир). Получают 14 г хроматографически однородного маслообразного соединения (I), $R_f=0,43$. ИК-спектр, см⁻¹: 1320, 1160 (SO_2), 1720 (CO), 3100—2500 (OH), 3290 (NH сульфонамидной группы).

Найдено: С 37,39; Н 4,32; Br 23,1; N 3,7; S 8,82 %. М⁺ 349/351 (наличие дублетных пиков одинаковой интенсивности показывает, что молекула содержит один атом брома); м/е 304/306 (M—COOOH)⁺; м/е 275/277 (M—N HCH₂COOH)⁺; м/е 211/213 (M—SO₂ N HCH₂COOH)⁺; м/е 142 (M—CH₂CH₂Br)⁺. $C_{12}\text{H}_{16}\text{O}_4\text{BrNS}$.

Вычислено: С 37,7; Н 4,5; Br 22,8; N 4,0; S 9,1 %. М 350.

Соединение (II) получают взаимодействием 1,2 г глицина с 3-(3-сульфохлорид-4-этилфенил)-1-бромбутаном в воде в присутствии 1,5 г карбоната натрия с выходом 75%. Продукт представляет собой хроматографически однородное маслообразное вещество, $R_f=0,4$. ИК-спектр, см⁻¹: 1330, 1160 (SO_2), 1720 (CO), 3200—2600 (OH), 3280 (NH). Найдено: С 44,58; Н 5,28; Br 21,30; N 3,59; S 8,36 %. М⁺ 377/379; м/е 332/334 (M—COOH)⁺; м/е 303/305 (M—N HCH₂COOH)⁺; м/е 239/241 (M—SO₂ N HCH₂COOH)⁺; м/е 270 (M—CH₂CH₂B)⁺. $C_{14}\text{H}_{20}\text{O}_4\text{BrNS}$.

Вычислено: С 44,44; Н 5,28; Br 21,17; N 3,70; S 8,42 %. М 378.

Соединения (III—VIII) синтезированы аналогично соединению (I).

Соединение (III) получают путем взаимодействия 3-(3-сульфохлорид-4-этилфенил)-1-бромбутана с β -аланином с выходом 65 %. Оно представляет собой хроматографически однородное маслообразное вещество, $R_f=0,48$. ИК-спектры, см⁻¹: 1340, 1150 (SO_2), 1715 (CO), 3200—2600 (OH), 3300 (NH).

Найдено: С 46,02; Н 6,28; Br 20,55; N 3,71; S 8,26 %. М⁺ 391/393; м/е 346/348 (M—COOH)⁺; м/е 313/315 (M—NHCH₂CH₂COOH)⁺; м/е 239/241 (M—SO₂NHCH₂CH₂COOH)⁺; м/е 284 (M—CH₂CH₂Br)⁺. $C_{15}\text{H}_{22}\text{O}_4\text{BrNS}$.

Вычислено: С 45,91; Н 6,12; Br 20,40; N 3,57; S 8,16 %. М 392.

Соединение (IV), маслообразное вещество с $R_f=0,45$, получают реакцией взаимодействия вышеуказанного сульфохлорида с валином с выходом 60%. ИК-спектры, см⁻¹: 1334, 1168 (SO_2), 1718 (CO), 3200—2600 (OH), 3270 (NH). М⁺ 419/421; м/е 374/376 (M—COOH)⁺; м/е 303/305 (M—NHCH—COOH—CH(CH₃)₂)⁺; м/е 239/241 (M—SO₂NHCH(COOH)—CH(CH₃)₂)⁺; м/е 312 (M—CH₂CH₂Br)⁺. $C_{17}\text{H}_{26}\text{BrO}_4\text{NS}$.

Найдено: С 48,65; Н 6,27; Br 19,24; N 3,41; S 7,53 %.

Вычислено: С 48,58; Н 6,19; Br 19,04; N 3,33; S 7,61 %. М 420.

Соединение (V). К смеси 1,3 г аспарагиновой кислоты и 1 г Na_2CO_3 в 20 мл воды добавляют по каплям 2,2 г 3-(*n*-сульфохлоридфенил)-1-бромбутана. После обработки реакционной массы в вышеописанных условиях выделяют кристаллический продукт с т. пл. 170° (из этанола), $R_f=0,35$, выход 60 %. ИК-спектры, см⁻¹: 1340, 1170 (SO_2), 1718 (CO), 3300—2600 (OH), 3270 (NH).



Найдено: С 45,53; Н 4,70; Br 19,25; N 3,84; S 7,64 %. M⁺ 407/409; m/e 362/364 (M—COOH)⁺; m/e 317/319 (M—(COOH)₂)⁺; m/e 291/293 (M—CH(COOH)—CH₂COOH)⁺; m/e 275/277 (M—NHCH(COOH)—CH₂COOH)⁺; m/e 300 (M—CH₂CH₂B)⁺. C₁₄H₁₈O₆BrNS.

Вычислено: С 45,18; Н 4,41; Br 19,29; N 3,33; S 7,64 %. M 408.

Соединение (VI), маслообразное вещество с R_f=0,36, получается, как и в предыдущем опыте, взаимодействием 3-(п-сульфохлоридфенил)-1-бромбутана с глутаминовой кислотой. ИК-спектр, см⁻¹: 1340, 1165, (SO₂), 1720 (CO), 3200—2500 (OH), 3280 (NH).

Найдено: С 42,41; Н 7,73; N 3,53; S 7,43; Br 19,00 %. M⁺ 421/423; m/e 376/378 (M—COOH)⁺; m/e 331/333 (M—COOH)₂⁺; m/e 291/293 (M—CH(COOH)—CH₂CH₂COOH)⁺; m/e 275/277 (M—HCH(COOH)—CH₂CH₂COOH)⁺; m/e 314 (M—CH₂CH₂Br)⁺. C₁₅H₂₀O₆BrNS.

Вычислено: С 42,65; Н 4,74; Br 18,96; N 3,32; S 7,53 %. M 422.

Соединение (VII) является продуктом взаимодействия 3,67 г триптофана с 4 г 3-(п-сульфохлоридфенил)-1-бромбутаном, выход 55 %, т. пл. 90—95° (из смеси этанола-эфира, 1:1), R_f=0,6. ИК-спектр, см⁻¹: 1330, 1160 (SO₂), 1720 (CO), 3000—2500 (OH), 3280 (NH), 3380 (NH индольного кольца).

Найдено: С 54,90; Н 4,70; Br 16,65; N 5,76; S 6,51 %. M⁺ 478/480; m/e 433/435 (M—COOH)⁺; m/e 291/293 (M—CH(COOH)CH₂—Ind)⁺; m/e 371 (M—CH₂CH₂Br)⁺. C₂₁H₂₃O₄BrN₂S.

Вычислено: С 54,70; Н 4,84; Br 16,70; N 5,8; S 6,60 %. M 479.

Соединение (VIII) с т. пл. 75—80° (из этанола) получают с 50%ным выходом путем взаимодействия лизина с 3-(п-сульфохлоридфенил)-1-бромбутаном, R_f=0,55. ИК-спектр, см⁻¹: 1335, 1170 (SO₂), 1715 (CO), 3270 (NH).

Найдено: С 46,77; Н 5,44; Br 23,90; N 4,51; S 9,52 %. M⁺ 663/655; m/e 618/620 (M—COOH)⁺. C₂₆H₃₈O₄Br₂N₂S₂.

Вычислено: С 46,98; Н 5,42; Br 24,10; N 4,21; S 9,63 %. M 664.

Онкологический научный центр
МЗ ГССР

Грузинский политехнический институт
им. В. И. Ленина

(Поступило 31.1.1986)

ორგანული გიგანტები

ქ. დაღიძი, თ. 6032400300, ლ. თალაკვაძე, 6. სანიტიძე

ახალი სულფონამიდური ნაირთების სინთეზი 3-(3-სულფონდორიდ-4-ეტილო) -1-ბრომბუტანის, 3-(3-სულფონდორიდ-4-ეტილო) -1-ბრომბუტანის და ამინომჟავების საჭურველები

რეზიუმე

3-(3-სულფონდორიდ-4-ეტილო) -1-ბრომბუტანის და 3-(3-სულფონდორიდ-4-ეტილო) -1-ბრომბუტანის ურთიერთქმედებით გლიცინთან, β-ალანინთან, ვალინთან, ასპარაგინისა და გლუტამინის მეაცებთან, ტრიფტოფანთან და ლისინთან სინთეზირებულია შესაბამისი რვა ახალი სულფონამიდური ნაერთი.



ВСЕРОССИЙСКИЙ

Институт органической

ORGANIC CHEMISTRY

J. R. LAGIDZE, T. N. REVAZISHVILI, L. I. TALAKVADZE, N. S. SANIKIDZE

**SYNTHESIS OF NEW SULPHURYL AMIDE COMPOUNDS BASED
ON 3-(SULPHONYLCHLORIDEPHENYL)-1-BROMOBUTANE,
3-(3-SULPHONYLCHLORIDE-4-ETHYLPHENYL)-1-BROMOBUTANE**

Summary

Interaction of 3-(*p*-sulphonylchloridephenyl)-1-bromobutane and 3-(3-sulphonylchloride-4-ethylphenyl)-1-bromobutane with glycine, β -alanine, valine, asparagic and glutaminic acids, lysine and tryptophan has yielded 8 new compounds.

ЛІТЕРАТУРА — REFERENCES

1. Р. М. Лагидзе. Синтез и превращения замещенных дифенопенталанов и эпоксидгалогенидов. Тбилиси, 1984.
2. Д. Р. Лагидзе, Т. Е. Хоштария, Н. С. Санникадзе, Р. М. Лагидзе. Сообщения АН ГССР, 60, № 2, 1970, 105.
3. Р. М. Лагидзе, Д. В. Тавберидзе, А. И. Двалишвили. Сообщения АН ГССР, 53, № 3, 1969, 94.



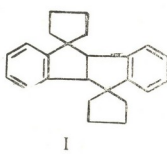
ОРГАНИЧЕСКАЯ ХИМИЯ

Т. А. КОВЗИРИДЗЕ, Д. Г. ЧАВЧАНИДЗЕ, А. И. ДВАЛИШВИЛИ,
 С. С. БЕРМАН, Р. М. ЛАГИДЗЕ (член-корреспондент АН ГССР)

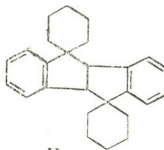
ИЗУЧЕНИЕ СТЕРЕОХИМИЧЕСКОГО СОСТАВА ПЕРГИДРЮРОВ
 ДИСПИРО[5,1',10,1"-ДИЦИКЛОПЕНТАН-4b,5,9b,
 10-ТЕТРАГИДРОИНДЕНО (2,1-а)ИНДЕНА] И ДИСПИРО-
 [5,1'10,1"-ДИЦИКЛОГЕКСАН-4b,5,9b,10-ТЕТРАГИДРОИНДЕНО
 (2,1-а)ИНДЕНА]

В сообщениях [1, 2] рассмотрены результаты изучения стереохимического состава и термодинамическая стабильность эпимеров, продуктов исчерпывающего гидрирования 5,5,10,10-тетраметил-4b,5,9b,10-тетрагидроинденено(2,1-а)индена и 2-фенил-1,1-диэтил-3(3'-пентил)индена, по методике Ал. А. Петрова [3].

В настоящей статье представлены результаты изучения термодинамической устойчивости пергидрюров диспиро[5,1',10,1"-дицикло-пентан-4b,5,9b,10-тетрагидроинденено(2,1-а)индена] (I) и диспиро[5,1',10,1"-дициклогексан-4b,5,9b,10-тетрагидроинденено(2,1-а)индена] (II), описанных в работах [4—6]:

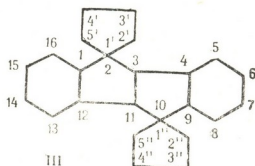


I

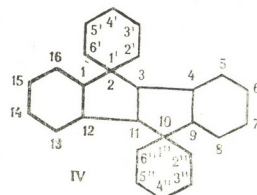


II

Гидрированием соединений (I) и (II) в автоклаве в присутствии Ni-Ренея, при 180°C и 120 ати, H₂ получены соответствующие гексациклические насыщенные углеводороды: диспиро[2,1',10,1"-дицикло-пентантетрацикло (10, 4, 0^{1,12}, 0^{3,11}, 0^{4,9}) гексадекан] (III), т. кип. 170—172° (1—2 мм); n_D²⁰ 1,5290; d₄²⁰ 1,0093. Найдено, %: C 88,22, 87,95; H 11,92; 11,94. (M⁺) 326. C₂₄H₃₈. Вычислено, %: C 88,34; H 11,65; M 326, и диспиро-[2,1', 10,1"-дициклогексантетрацикло (10, 4, 0^{1,12}, 0^{3,11}, 0^{4,9}) гексадекан] (IV), т. кип. 176—178° (1—2 мм); n_D²⁰ 1,5187; d₄²⁰ 0,9934. Найдено, %: C 88,03; 87,94; H 11,88; 11,93. (M⁺) 354. C₂₆H₄₂. Вычислено, %: C 88,19; H 11,80. M 354.



III



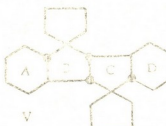
IV

Анализ методом ГЖХ проведен на приборе «Цвет-4» с пламенно-ионизационным детектором. Капиллярная колонка $5000 \times 0,25$ мм, апизон-L, газ-носитель — H_2 , изотермический режим при $300^\circ C$. Изомеризацию до состояния термодинамического равновесия проводили в автоклаве при $570^\circ C$ [3] на Pt/C (15%) при 30 атм, H_2 .

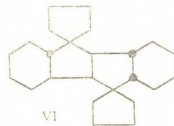
Масс-спектры изученных соединений получены на масс-спектрометре LKB, на стеклянной капиллярной колонке $3000 \times 0,25$ мм, с неподвижной фазой SP-2100, газ-носитель — He, в изотермическом режиме при $250^\circ C$. Энергия ионизирующих электронов 70 эВ, температура сепаратора и камеры ионизации $250^\circ C$.

Идентификация стереоизомеров и определение их термодинамической устойчивости расчетным способом, а также экспериментально проведены по методике, описанной в предыдущей работе для 2,2,10, 10-тетраметилтетрагидро- $(10, 4, 0^{1,12}, 0^{3,11}, 0^{4,9})$ гексадекана [1].

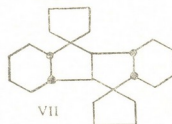
По расчетным данным, равновесное распределение наиболее устойчивых пространственных изомеров соединения (III) для нижеприведенных конфигураций (V), (VI) и (VII) дает следующую картину: 62, 33 и 5% соответственно.



ТРАНС, АНТИ, АНТИ, ТРАНС



ТРАНС, АНТИ, АНТИ, ЦИС.



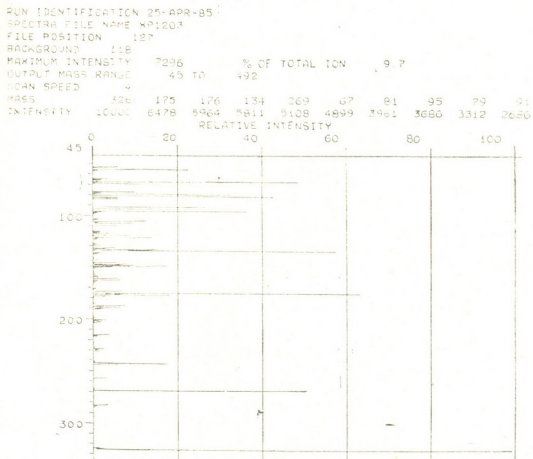
ЦИС, АНТИ, АНТИ, ЦИС.

По литературным данным [7], указанная номенклатура включает порядок сочленения циклов А и В (транс), затем порядок сочленения А и С по отношению к циклу В (анти) и т. д. Порядок сочленения циклов В и С всегда цис, так как система пенталана устойчива только в этой конформации.

Состав	Стереоизомеры			
	транс, анти, анти, транс (V)	транс, анти, анти, цис (VI)	цис, анти, анти, цис (VII)	остальные
Расчетный	62,0	33,0	5,0	—
Равновесный	55,0	37,0	7,0	1,0
Исходный	3,0	26,5	67,5	3,0

Состав смесей, полученных при гидрировании и в результате равновесной изомеризации для углеводорода (III), приведен в таблице.

Дан также спектр наиболее устойчивого изомера (V) — транс, анти, анти, транс. Спектры стереоизомеров близки между собой.



В отличие от соединений (III), диспиро[2,1',10,1"-дициклогексан-тетрацикло (10, 4, 0^{1,12}, 0^{3,11}, 0^{4,9}) тексадекан] (IV) в условиях изомеризации претерпевает частичный распад, и определить термодинамическое равновесие стереоизомеров не удалось.

Академия наук Грузинской ССР
 Институт физической и
 органической химии
 им. П. Г. Меликишвили

Академия наук СССР
 ИГ и РГИ

(Поступило 7.3.1986)

ორგანული გიმის

თ. პოვზიშვილი, დ. შავაბაძე, ა. დავითაშვილი, ს. გარმანი, რ. ლალიძე
 (საქ. სსრ მეცნ. ეკოლ-კორესპონდენტი)

დისპირო [5,1', 10,1"-დიციკლოპენტან-4b, 5,9b,10-ტეტრაჰიდროპინენტო-1,1-a] ინდივიდუალური და დისპირო [5, 1', 10, 11"-დიციკლოპენტან-4b, 5, 9b, 10-ტეტრაჰიდროპინენტო (2,1-a)] ინდივიდუალური გარემონტირებული სტერიომოლინგვის თერმოდინამიკური სტრუქტურული მდგრადობის გამოყენება

რეზიუმე

სათაურში მოხსენებული ნახშირწყალბადების პილრინებით მიღებულია შესაბამისი პერპიდრიურები და შესწავლით მათი სტერიოიზომერების თერმოდინამიკური სტრუქტობა.

 ORGANIC CHEMISTRY

T. A. KOVZIRIDZE, D. G. CHAVCHANIDZE, A. I. DVALISHVILI, S. S. BERMAN,
 R. M. LAGIDZE

INVESTIGATION OF THERMODYNAMICAL STABILITY OF
 STEREOISOMERS OF THE PERHYDRURES OF DISPIRO-[5,1',10,1'']-DICYCLOPENTANE-4b,5,9b,10-TETRAHYDRO-
 INDENO (2,1-a)INDENE] AND DISPIRO[5,1',10,1'']-
 DICYCLOHEXANE-4b,5,9b,10-TETRAHYDROINDENO
 [2,1-a] INDENE]

Summary

By hydrogenation of the title hydrocarbons the corresponding perhydrures were synthesized and thermodynamical stability of their stereoisomers studied.

ФОТОБИБЛІОГРАФІЯ — ЛІТЕРАТУРА — REFERENCES

1. Р. М. Лагидзе, Т. А. Ковзирдзе, Ш. Д. Куправа, С. С. Берман, Ал. А. Петров. Сообщения АН ГССР, 105, № 2, 1982, 313.
2. И. М. Соколова, Т. А. Ковзирдзе, Д. Г. Чавчанидзе, Ш. М. Жваная, Р. М. Лагидзе. Сообщения АН ГССР, 116, № 2, 1984, 317.
3. Ал. А. Петров. Химия нафтенов. М., 1971, гл. I.
4. Р. М. Лагидзе, А. И. Двалишвили. Сообщения АН ГССР, XVI, № 3, 1955, 205.
5. Р. М. Лагидзе, А. И. Двалишвили. Сообщения АН ГССР, XXII, № 6, 1959, 663.
6. Р. Ш. Клдиашвили, Т. А. Ковзирдзе, С. Д. Сихарулидзе, Л. Г. Кандарели, Ш. Д. Куправа, Р. М. Лагидзе. Изв. АН ГССР, сер. хим., т. 9, № 3, 1983, 188.
7. Ал. А. Петров. Стереохимия насыщенных углеводородов. М., 1981, 205.

ОРГАНИЧЕСКАЯ ХИМИЯ

И. Д. МЧЕДЛИШВИЛИ, Л. Д. МЕЛИКАДЗЕ (академик АН ГССР),
Э. А. УШАРАУЛИ

АКТИВНОСТЬ ВЫСОКОКИПЯЩИХ АРОМАТИЧЕСКИХ
УГЛЕВОДОРОДОВ НОРИЙСКОЙ НЕФТИ В ОТНОШЕНИИ
ФОТОХИМИЧЕСКОГО ОКИСЛЕНИЯ

Ранее было установлено, что высококипящие ароматические углеводороды норийской нефти обладают различной активностью в отношении окисления в темновых условиях [1].

Данные о поведении высококипящих ароматических углеводородов нефти, в процессе фотохимического окисления в литературе не встречаются. Вместе с тем, этот вопрос представляет определенный интерес с точки зрения выявления указанных углеводородов при воздействии на них света и кислорода. Цель настоящей работы — выяснение данного вопроса и относительная количественная оценка поглощения кислорода под действием света.

Нами было изучено фотохимическое окисление продуктов хроматографического деления высокомолекулярных ароматических фракций, ранее выделенных из норийской нефти комплексом методов [2, 3].

Образцы исследовали на установке [4], которая позволяет оценивать относительную скорость фотохимического окисления путем непосредственного определения количества поглощенного кислорода при облучении образца дозированным светом в желаемой области спектра. Исследуемые образцы в нашем случае облучали светом лампы ПРК-4.

В камеру окисления установки помещали кружок фильтровальной бумаги определенного диаметра ($\varnothing=42$ мм) с нанесенным образцом. Нанесение проводили следующим образом: взвешенный кружок фильтровальной бумаги опускали в 10%-ный бензольный раствор образца на 5—10 мин, затем удаляли бензол в вакуумном шкафу и снова взвешивали. В результате предварительных опытов было установлено оптимальное, с точки зрения воспроизводимости результатов, количество образца — 20—25 мг. Через указанную камеру и присоединенную к ней микробюретку пропускали кислород, для изоляции системы в микробюретку вводили каплю жидкости (окрашенную дистиллированную воду) — жидкостную пробку и включали циркуляцию термостатирующей воды. Температуру термостатирующей воды брали равной комнатной температуре. При обработке материала производили пересчет объема поглощенного кислорода на $t=20^\circ\text{C}$. Затем к системе подключали маностат, который исключал влияние колебаний атмосферного давления в окружающей среде. Установка приводилась в режим в течение 1,5—2 часов, после чего перекрывали кран на впуске кислорода и одновременно включали счетчик импульсов, дозирующий энергию освещения. В процессе эксперимента периодически регистрировали время освещения образца (электромеханическим счетчиком) и величину перемещения капли жидкости в микробюретке (отсчетным микроскопом). Суммарное время облучения образцов — 1 час, что соответствует 300 импульсам электромеханического счетчика.



Объем поглощенного кислорода, приведенный к нормальным условиям, рассчитывали с учетом барометрического давления, рабочей температуры, внутреннего диаметра микробюретки и величины перемещения в ней капли жидкости при $t=20^\circ\text{C}$.

Результаты фотохимического окисления высококипящих фракций горной нефти

№ фракции	№ элюата	n_D^{20}	V_{O_2} мкл
Фракция I	15	1,5432	16,2
	20	1,5488	58,2
	25	1,5692	11,2
	33	1,5986	41,8
	40	1,6231	61,7
	41	1,6250	58,1
	45	1,6298	29,0
	50	1,6344	26,5
	55	1,6380	25,1
Фракция III	25	1,5602	19,3
	33	1,5697	38,3
	40	1,5677	13,0
	45	1,5825	12,7
	50	1,5892	12,8
	55	1,6100	16,3
	60	1,6343	36,2
	65	1,6493	30,9
	68	1,6530	36,9
	75	1,6568	38,2
	78	1,6598	56,8
	85	1,6620	40,7
	90	1,6632	28,5
	100	1,6648	98,8
	107	1,6603	37,9
Фракция V	4	1,4951	16,9
	20	1,5630	28,4
	48	1,5988	26,3
	53	1,6141	31,6
Фракция VII	5	1,4962	11,2
	30	1,5910	22,8
	54	1,6272	26,7
	92	1,6648	18,2

Результаты исследования представлены в таблице. На основании полученных данных были построены графики зависимости между объемом поглощенного кислорода и временем облучения, выраженным в импульсах (i). В данной работе для примера приведены кривые, характеризующие поглощение кислорода для элюатов I и V фракций (рис. 1, 2). Был построен также график зависимости объема поглощенного кислорода от номера элюата (рис. 3).

Из таблицы и графиков видно, что в пределах одной фракции по мере увеличения номера элюата количество поглощенного кислорода повышается. Так, при облучении образцов в течение одного и того же времени элюат № 15 I фракции ароматических углеводородов поглощает 16,2 мкл кислорода, тогда как элюаты № 20 и 40 той же фракции — 58,2 и 61,7 мкл кислорода соответственно. Также элюат № 25 III фракции ароматических углеводородов поглощает 19,3 мкл, а элю-



ат № 78 — 56,5 мкл кислорода. С переходом на фракции с более высокой температурой кипения различие между элюатами в отношении поглощения кислорода уменьшается. Например, для элюата № 4

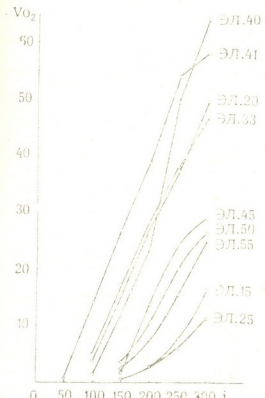


Рис. 1. Кривые зависимости количества поглощенного кислорода от времени облучения для элюатов I фракции высококипящих ароматических углеводородов норийской нефти

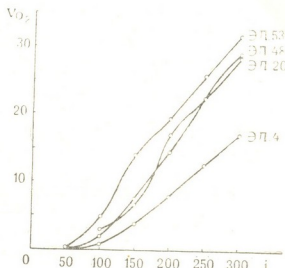


Рис. 2. Кривые зависимости количества поглощенного кислорода от времени облучения для элюатов V фракции высококипящих ароматических углеводородов норийской нефти

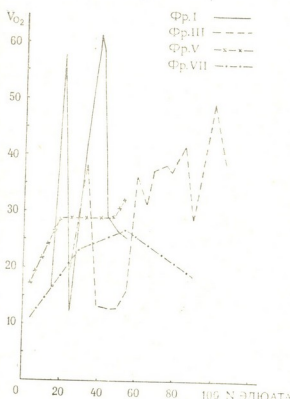


Рис. 3. Графики зависимости объема поглощенного кислорода от номера элюата для I, III, V и VII фракций высококипящих ароматических углеводородов норийской нефти

V фракции ароматических углеводородов объем поглощенного кислорода составляет 16,9 мкл, а для элюата № 48 той же фракции —



26,3 мкл. Также обстоит дело при сравнении объемов поглощенного кислорода элюатами VII фракции ароматических углеводородов: элюат № 5 поглощает 11,2 мкл O_2 , а элюат № 92 — 18,2 мкл O_2 .

При сравнении элюатов различных фракций видно, что по мере увеличения температуры кипения (номера) фракции ее активность в отношении поглощения кислорода падает (рис. 3).

Следует, однако, отметить, что в обоих случаях бывают разбросы и строгая закономерность не всегда наблюдается. Независимо от этого нами были выявлены наиболее фотохимически активные (в отношении поглощения кислорода) хроматографические элюаты высококипящих ароматических фракций норийской нефти, которые в дальнейшем были использованы для выяснения природы компонентов, обусловливающих их относительно высокую фотохимическую активность в отношении окисления.

Академия наук Грузинской ССР

Институт физической
и органической химии
им. П. Г. Меликишвили

(Поступило 28.3.1986)

ორგანული გიმა

მ. მთიანეთი, ლ. მალიგაძი (საქ. სსრ მეცნ. კვალიფიციენტი),
ო. უშარაული

ნორიოს ნავთობის გაღალებულარე არომატული ნაზირულყალბადების
აქტივობა ფოტოძიმიური ზანგის თვალსაზრისით

ჩეჭიძე გვ

შეცვლილია ნორიოს ნავთობის მაღალდუღარე ვიწრო არომატული ფრაქციების ქრომატოგრაფიული გაყოფით მიღებული ელუარების ფოტოძიმიური აქტივობა უანგბადის შთანთქმის მიმართ. ნაჩვენებია, რომ ნათეურით ნიმუშის დასხვების პირობებში გამოკვლეული ელუარები ხასიათდებიან განსხვავებული ფოტოძიმიური აქტივობით უანგბის მიმართ. შერჩეულია ფოტოძიმიურად მეტად აქტიური ელუარები მათი აქტივობის განვაპირობებელი კომპონენტების შესწავლის მიზნით.

ORGANIC CHEMISTRY

I. J. MCCHEDLISHVILI, L. D. MELIKADZE, E. A. USHAROULI
PHOTOCHEMICAL OXIDATION INTENSITY OF HIGH-BOILING
AROMATIC HYDROCARBONS OF NORIO CRUDE OIL

S um m a ry

Photochemical activity of eluates obtained by the chromatographic separation of narrow high-boiling aromatic fractions of Norio crude oil has been studied from the viewpoint of their oxygen absorption. The eluates studied under the PRK-4 lamp irradiation revealed different photochemical activity to oxidation. Photochemically most active eluates were selected with a view to investigating the components conditioning their activity.

ლიტერატურა — REFERENCES

1. Э. А. Ушаруали, Л. Д. Меликадзе. Труды Института химии им. П. Г. Меликишвили, т. XV, 1961.
2. Л. Д. Меликадзе, Т. А. Элиава, Э. А. Ушаруали. К познанию природы флуоресцирующих компонентов нефти. Тбилиси, 1958.
3. Ш. Ш. Барабадзе, Л. Д. Меликадзе, А. Г. Сирюк, Г. Ш. Челидзе. Сообщения АН ГССР, 67, № 3, 1972.
4. Л. Д. Меликадзе, И. Л. Эдилашвили, З. И. Гургенидзе, Р. Я. Кипани. Сообщения АН ГССР, 50, № 2, 1968.

ФИЗИЧЕСКАЯ ХИМИЯ

Е. М. БЕНАШВИЛИ, О. С. БАИДОШВИЛИ

КАТАЛИТИЧЕСКАЯ АКТИВНОСТЬ МОДИФИЦИРОВАННЫХ
КЛИНОПТИЛОЛИТ- И МОРДЕНИТСОДЕРЖАЩИХ ТУФОВ
В РЕАКЦИИ ПРЕВРАЩЕНИЯ *o*- И *m*-КСИЛОЛОВ

(Представлено членом-корреспондентом Академии Т. Г. Андроникашвили 21.3.1986)

Реакция изомеризации алкилбензолов состава C_8-C_9 в присутствии модифицированных кислотой клиноптилолит- и морденитсодержащих туфов сравнительно мало исследована. В работах [1—4] изучены изомерные превращения ксилолов в присутствии водородно-декатионированных форм клиноптилолит- и морденитсодержащих туфов, полученных кислотной обработкой в различных условиях.

В отличие от работ [2—4], в настоящей статье представлены результаты исследования катализитических превращений *o*- и *m*-ксилолов на водородно-декатионированных формах природных клиноптилолита и морденита, полученных через соответствующие аммониевые формы. Указанные формы получены методом ионного обмена с 1 н. раствором хлористого аммония в течение 1 часа трехкратно, с последующей промывкой и сушкой. Перевод в водородные и декатионированные формы проведен прокаливанием аммониевых цеолитов соответственно при 350 и 550°. Результаты химического анализа полученных после прокаливания форм клиноптилолита месторождения Хекордзула (НКлХ) и морденита месторождения Болниси (НМТ) в оксидной форме (масс. %) приводятся ниже:

НКлХ: SiO_2 —78,88; Al_2O_3 —12,86; Fe_2O_3 —1,19; CaO —2,35;

MgO —1,18; $\text{Na}_2\text{O} + \text{K}_2\text{O}$ —3,54; $\text{SiO}_2/\text{Al}_2\text{O}_3$ —10,4.

НМТ: SiO_2 —78,66; Al_2O_3 —13,40; Fe_2O_3 —1,01; CaO —2,99;

MgO —1,01; $\text{Na}_2\text{O} + \text{K}_2\text{O}$ —2,93; $\text{SiO}_2/\text{Al}_2\text{O}_3$ —10,0.

Исходные углеводороды — *o*- и *m*-ксилолы были хроматографически чистыми. Жидкие продукты катализа анализировались методом газо-жидкостной хроматографии на хроматографе ЛХМ-8МД, на колонке длиной 200 см, диаметром 0,2 см, заполненной 2,25 ДМОДА (диметилоктадециламмоний) вермикулита и 7,4% вазелинового масла на хроматоне N-AW зернением 0,1—0,125 мм. Температура колонки 82°, испарителя 150°, газ-носитель — гелий, детектор по теплопроводности.

Катализитические превращения проводились в проточной атмосферной установке, в интервале 350—600°C, при объемной скорости 0,6 час^{-1} , в течение 1 часа. Регенерация катализаторов осуществлялась выжиганием кокса в токе воздуха при 500—550° в течение 3—4 часов. Результаты эксперимента представлены в табл. 1, 2.

Из полученных экспериментальных данных следует, что НКлХ является более активным катализатором изомеризации *o*- и *m*-ксилолов, чем НМТ. Однаковая глубина превращения в случае НКлХ достигается при более низкой (на $\sim 100^\circ$) температуре. Кроме продуктов изомеризации, в присутствии НКлХ в значительном количестве образуются и продукты диспропорционирования метильных групп в виде толуола и триметиленбензолов — мезитилена и псевдокумола, вследствие чего селективность по изомеризации уменьшается (табл. 1).



Оптимальный выход продуктов изомеризации *m*-ксилола получен при 500° — 31,3% при селективности 63,3% и конверсии 49,4% (табл. 1). На НМТ такая же глубина превращения достигается при 600° и оптимальный выход равен 38,2% при селективности 77,8% (табл. 2).

Таблица 1
Результаты изомеризации *m*- и *o*-ксилолов на катализаторе НКлХ

Температура, °С	Бензол	Углеводородный состав жидкого катализата, масс. %						Выход на пропущенный углеводород, масс. %	Жидкий катализат	Продукты изомеризации	Селективность по изомерации, масс. %
		Толуол	<i>n</i> -Кси- лол	<i>m</i> -Кси- лол	<i>o</i> -Кси- лол	Мезити- лен	Псевдо- кумол				
Изомеризация <i>m</i> -ксилола											
350	—	0,6	8,4	85,7	5,3	—	—	16,2	97,8	13,4	82,7
400	—	1,6	8,6	77,3	12,5	—	—	24,7	97,4	20,6	83,4
450	0,9	3,8	16,0	66,7	10,4	2,2	—	36,0	95,9	25,3	70,3
500	1,1	5,0	17,0	55,3	17,2	1,5	2,9	49,4	91,5	31,3	63,3
550	1,7	6,1	17,3	52,0	17,8	1,8	3,3	53,8	88,8	31,2	58,0
600	3,0	8,5	16,7	47,3	18,0	2,6	3,9	58,6	87,5	30,4	51,8
Изомеризация <i>o</i> -ксилола											
350	—	—	—	5,3	94,7	—	—	7,2	98,0	5,2	72,2
400	—	1,4	1,3	8,2	89,1	—	—	13,1	97,5	9,3	71,0
450	—	4,8	4,0	25,1	65,8	0,3	—	36,2	97,0	28,2	77,9
500	—	6,8	8,0	27,5	52,0	0,8	4,9	51,6	93,1	33,1	64,1
550	—	11,2	11,9	33,4	37,4	1,1	5,0	66,3	90,0	40,8	61,5
600	0,8	13,6	10,1	32,0	36,0	1,8	5,7	67,9	89,2	37,6	55,4

При изомеризации *o*-ксилола на НКлХ оптимальный выход продуктов изомеризации — 40,8% при селективности 61,5% и общей конверсии 66,3% получен в условиях 550°, в присутствии НМТ — в коли-

Таблица 2
Результаты изомеризации *m*- и *o*-ксилолов на катализаторе НМТ

Температура, °С	Бензол	Углеводородный состав жидкого катализата, масс. %						Выход на пропущенный углеводород, масс. %	Жидкий катализат	Продукты изомеризации	Селективность по изомерации, масс. %
		Толуол	<i>n</i> -Кси- лол	<i>m</i> -Кси- лол	<i>o</i> -Кси- лол	Мезити- лен	Псевдо- кумол				
Изомеризация <i>m</i> -ксилола											
350	—	—	3,5	93,8	2,7	—	—	7,3	98,8	6,1	83,6
400	—	—	5,5	90,3	4,2	—	—	11,1	98,4	9,5	85,6
450	—	—	7,7	87,3	5,0	—	—	14,5	97,9	12,4	85,5
500	—	2,1	17,2	64,6	16,1	—	—	36,6	98,2	32,7	89,3
550	—	4,5	18,4	58,0	18,1	1,0	—	44,0	96,5	35,2	80,1
600	—	3,8	19,4	53,1	20,5	3,2	—	49,1	95,8	38,2	77,8
Изомеризация <i>o</i> -ксилола											
350	—	—	—	2,3	97,7	—	—	3,4	98,9	2,3	67,6
400	—	—	1,8	6,2	92,0	—	—	9,2	98,7	7,9	85,9
450	—	2,9	0,9	6,1	90,1	—	—	11,3	98,5	6,9	61,1
500	—	3,1	6,6	19,6	70,7	—	—	30,6	98,1	25,7	84,0
550	0,5	5,3	6,7	27,3	59,1	1,1	—	42,8	96,8	32,9	76,9
600	1,8	4,5	9,6	25,9	52,7	5,5	—	49,4	96,1	34,1	69,0

честве 34,1% при селективности 69,0% и общей конверсии 49,4% в условиях 600° (табл. 1, 2).

Если сравнить вышеупомянутые экспериментальные данные с полученными на водородно-декатионированных формах клиноптиолита и морденитсодержащих туфов, модифицированных 10% соляной кислотой — ДкКлХ и ДкМТ соответственно, можно сделать следующее заключение.

Водородно-декатионированная форма, полученная через аммонийную форму (НКлХ), является более активным, но менее селективным катализатором изомеризации *o*- и *m*-ксилолов, чем ДкКлХ [4]. В одинаковых температурных условиях конверсия значительно выше в случае НКлХ.

В присутствии кислотномодифицированного клиноптиолита реакция изомеризации протекает с селективностью 80,8—90,9%, без осложнения побочной реакцией диспропорционирования метильных групп и высоким выходом продуктов изомеризации [4].

В случае кислотномодифицированного морденитсодержащего туфа (ДкМТ) наблюдается такая же картина селективной изомеризации *o*- и *m*-ксилолов [2], но по сравнению с НМТ значительно выше как конверсия, так и выход продуктов изомеризации.

Более высокую активность НКлХ в реакции превращения *o*- и *m*-ксилолов по сравнению с катализаторами ДкКлХ, ДкМТ и НМТ можно объяснить его общей высокой кислотностью и очень высокой концентрацией сильнокислотных центров, удерживающих аммиак при 350° и более высокой температуре (табл. 3). Кислотные свойства указанных катализаторов изучены методом термодесорбции аммиака в Институте физико-органической химии АН БССР в лаборатории Ю. Е. Егиазарова.

Таблица 3
Кислотность модифицированных клиноптиолит- и морденитсодержащих туфов (ммоль/г)

Катализаторы	Интервал температур десорбции аммиака, °C				Общая кислотность
	100—250	250—350	350—450	450—550	
ДкКлХ	0,940	0,360	0,070	0,014	1,384
НКлХ	2,110	1,270	0,675	0,405	4,46
ДкМТ	0,571	0,274	0,148	0,046	1,039
НМТ	0,465	0,220	0,115	0,055	0,855

В связи с ростом сильной кислотности понижается температура для достижения определенной глубины превращения. По-видимому, этим объясняется и самая глубокая конверсия *o*- и *m*-ксилолов на НКлХ, сопровождающаяся диспропорционированием метильных групп.

Академия наук Грузинской ССР
Институт физической и
органической химии
им. П. Г. Меликишвили

(Поступило 21.3.1986)

ଓଡ଼ିଆ ଶବ୍ଦାଳ୍ପନ

ඩ. සුනායවත්ති, ම. පාසලුවත්ති

მოდიფიცირებულ კლინოპათილოლიტ- და მორდევინტეგილი
ტუცების კარალიზაციი აწილვობა ორთო- და მისა-ჩესლოლების
გარღვევის რეაციები

၁၇၈၀၅ ၂၂

PHYSICAL CHEMISTRY

E. M. BENASHVILI, O. S. BAIDOSHVILI

CATALYTIC ACTIVITY OF MODIFIED CLINOPTILOLITE- AND MORDENITE-CONTAINING TUFFS IN THE TRANSFORMATION REACTION OF ORTHO- AND METAXYLENES

Summary

A study has been made of isomerization reaction of ortho- and meta-xylanes in the presence of hydrogen-decationated forms of clinoptilolite- and mordenite-containing tuffs obtained from the corresponding ammonium forms. It is shown that, in contrast to the acid modified forms of the same zeolites, at 500-600°C xylene isomerization reaction is complicated by the side reaction of methyl group redistribution, which causes a decline in selectivity towards xylene isomerization.

ଲେଖକଙ୍କ ପ୍ରକାଶନ—ଲିଟେରେଚୁର୍ଯ୍ୟ—REFERENCES

1. J. Papp, E. Miklosy, E. Gzaran. Acta Phys. et Chem., Szeged, 24, № 1, p. 2. 1979.
 2. Е. М. Бенашвили, О. С. Бандошвили. Сообщения АН ГССР, 101, № 2, 1981.
 3. Е. М. Бенашвили, О. С. Бандошвили. А. с. № 1037941. БИ, № 32, 1983.
 4. Е. М. Бенашвили, О. С. Бандошвили. Изв. АН ГССР, сер. хим., т. 9, № 1, 1983.

ФИЗИЧЕСКАЯ ХИМИЯ

М. И. ГОЗАЛИШВИЛИ, З. Г. ДЗОЦЕНИДЗЕ, В. А. СОБОЛЕВ,
Т. В. ҚОҚОЧАШВИЛИ, Д. И. ПЕТВИАШВИЛИ

О МЕХАНИЗМЕ ГЕТЕРОГЕННОЙ РЕКОМБИНАЦИИ
НА ПОВЕРХНОСТИ АМОРФНОГО ОРТОФОСФАТА

(Представлено членом-корреспондентом Академии Г. В. Цинцадзе 5.5.1986)

Основной предпосылкой при рассмотрении механизма гетерогенной гибели активных центров реакций горения (H , O , CH_3) являются выведенные ранее [1], на основании данных о рекомбинации в кинетической области, интервалы значений эффективных коэффициентов гетерогенной гибели ($\gamma^{\text{эфф}}$), которые составляют:

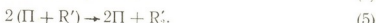
$$0,1 \leq \gamma_{\text{O}, \text{H}}^{\text{эфф}} \leq 0,5,$$
$$0,05 \leq \gamma_{\text{CH}_3}^{\text{эфф}} \leq 0,5. \quad (1)$$

По существу, условия (1) теоретически определяют требования к эффективным ингибиторам пламен метана и водорода. При этом важно разобраться в механизме тех стадий, которые вносят вклад в суммарный процесс гетерогенной гибели. Согласно [2—4], известны два механизма гибели активных центров на твердой поверхности:

механизм Ридила—Или, включающий адсорбцию атома или радикала (R') из газовой фазы на активный центр поверхности (Π), за которой следует непосредственно акт рекомбинации



механизм Ленгмюра—Хиншельвуда, предполагающий рекомбинацию двух адсорбированных атомов (радикалов) путем поверхностной миграции



С такими представлениями согласуются данные квантово-химических расчетов, в результате которых подтверждено, что при химическом ингибировании пламен твердыми частицами снижение скорости реакций обусловлено непосредственным захватом активных центров твердой поверхностью (стадия 2), вероятность которого, согласно [5], может существенно превышать вероятность рекомбинации между газофазными и адсорбированными атомами. В то же время энергетически выгодные реакции цепного процесса горения водорода, в которых частицы пламени (O , H , H_2 , OH) из объемной фазы взаимодействуют с партнерами, адсорбированными на твердой поверхности, свидетельствуют о том, что наличие адсорбционно-активной поверхности ингиби-



торов позволило бы усилить вклад стадий 3 и 5 в общий механизм гетерогенной гибели.

На этом основании предполагается, что одним из путей повышения ингибитирующей способности неорганических веществ является создание адсорбционно-активной поверхности частиц, не свойственной ионным кристаллам, но присущей высокодисперсным веществам с ковалентными связями. В этом случае увеличение эффективности возможно за счет адсорбции, а также свойственного гидроксилированной поверхности оксидов механизма поверхностной миграции протонов [6]. Такое предположение подтверждается работой [7], в которой установлена возможность прочной хемосорбции атомов Н на поверхности MgO при температуре горения.

Авторами настоящей статьи методами ЭПР и пределов воспламенения, описанными в [8], проведена оценка ингибитирующей способности высокодисперсных оксидов с гидроксилированной поверхностью, результаты чего рассмотрены в свете механизма гетерогенной гибели.

Моделью твердотельных ингибиторов с адсорбционно-активной поверхностью являются композиции на основе аморфных ортофосфатов металлов [9], обладающие величиной поверхности 270—300 м²/г, (по адсорбции метанола) и суммарным объемом пор 0,8—0,85 см³/г соответственно. Содержание солевых компонентов с ингибитирующими свойствами составляет 20—40 масс. %.

Ингибитирующая способность ортофосфатных композиций характеризуется довольно высокими значениями коэффициентов гетерогенной рекомбинации атомов кислорода (γ_0). Например, γ_0 на поверхности ортофосфата алюминия с включением 23 масс. % KCl составляет $2,01 \times 10^{-2}$ (при 339 К). Смещение нижнего предела воспламенения (P_1) в сторону более высоких значений, по сравнению с механической смесью менее активных компонентов, указывает на протекание рекомбинации в диффузационной области (рис. 1). Последнее предполагает

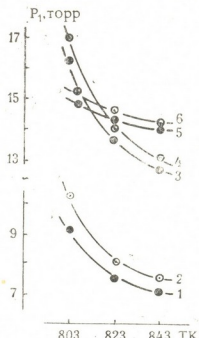


Рис. 1. Температурная зависимость нижних пределов воспламенения смесей $2\text{CO} + \text{O}_2 + 1\% \text{H}_2$ (1, 3, 5) и $2\text{H}_2 + \text{O}_2$ (2, 4, 6) в присутствии частиц ортофосфата меди с включением K_2SO_4 (1, 2) и $(\text{NH}_4)_2\text{SO}_4$ (3, 4), а также смеси алюмосиликата с диаммонийфосфатом (5, 6)

наличие значительного количества активных центров рекомбинации на поверхности частиц. В свою очередь, это согласуется с представления-

ми, высказанными на основании результатов квантово-химических исследований. В частности, структурные гидроксильные группы, обеспечивающие высокую реакционную способность поверхности частиц ортофосфатов (как показано в [9] на примере хемосорбции трихлорида фосфора и метилгидридихлорсилина), или иные адсорбционно-активные центры (напряженные связи, координационно-ненасыщенные атомы), образующиеся в результате термообработки, могут играть роль партнеров в реакциях рекомбинации, что повышает вклад стадий 3 и 5 в процессе гетерогенного обрыва реакций горения.

С практической точки зрения небезынтересно сопоставить ингибирующую способность (здесь — предельные концентрации W при подавлении горения метан-воздушных смесей) и значения γ_0 ($T \approx 300$ К) на поверхности частиц исследованных композиций:

Состав композиции	$\gamma_0 \times 10^3$	W , г/л
Ортофосфат:		
алюминия, с включением хлорида калия	2,00	0,024
меди, с включением сульфата аммония	0,35	0,052
алюминия, с включением сульфата и фосфатов аммония	0,20	0,095

Из приведенных данных очевидна определенная корреляция между W и γ_0 , наличие которой для ряда солей показано и в [10]. Следует при этом учитывать возможные различия в характере участия указанных композиций в процессах ингибирования ввиду их различного химического состава. Тем не менее, можно полагать, что адсорбционная способность поверхности частиц является причиной повышения эффективности процесса гетерогенной рекомбинации, хотя более тонкие механизмы последней могут быть установлены лишь с позиций электронной теории взаимодействия на поверхности твердого тела. Следует отметить, что значения γ_0 на поверхности индивидуальных солей и соответствующие величины P_1 существенно ниже [1].

Таким образом, на примере аморфных ортофосфатов металлов с адсорбционно-активной поверхностью показана роль адсорбционных факторов в процессах гетерогенной гибели активных центров реакций горения в дополнение к присущему неорганическим солям ударному механизму ингибирования.

Тбилисский государственный университет

(Поступило 30.5.1986)

ფიზიკური მიმა

ა. გორგაშვილი, ქ. ძოვინები, ვ. სობოლევი, თ. გოგოავალი, დ. ფიჭვიავალი

ამონული ორთოფოსფატის ზედაპირზე ჰეტეროგენული რეკომბინაციის მექანიზმის შესახებ

რეზიუმე

გამოკვლეულია აღსორბციულად ქტიური ზედაპირის მქონე მეტალთა ამორფული ორთოფოსფატების როლი წვის პროცესების მონაწილე ქტიური ცენტრების ჰეტეროგენულ რეკომბინაციაში. რეკომბინაციის ჩვეულებრივ „დარტყმით მექანიზმთან“ ერთად მოქმედებს აგრეთვე აღსორბციული ფაქტორებიც.

M. I. GOZALISHVILI, Z. G. DZOTSENIDZE, V. A. SOBOLEV,
 T. V. KOKOCHASHVILI, D. I. PETVIASHVILI

THE MECHANISM OF HETEROGENEOUS RECOMBINATION ON THE SURFACE OF AMORPHOUS ORTHOPHOSPHATE

С и м м а г у

The paper presents the role of amorphous orthophosphates of metals with adsorptive active surfaces in the process of heterogeneous recombination of active centres of combustion reactions.

It is shown that along with "percussion mechanism" recombination is also influenced by adsorption factors.

ЛІТЕРАТУРА — REFERENCES

1. З. Г. Дзоценидзе. Автореферат докт. дисс. Тбилиси, 1985.
2. G. Erlich. J. Chem. Phys., 31, № 4, 1959.
3. A. Gelb, S. K. Kim. J. Chem. Phys., 55, № 10, 1971.
4. О. В. Крылов, М. У. Кислюк, Б. Р. Шуб, А. А. Гезалов, Н. Д. Максимова, Ю. Н. Руфов. Кинетика и катализ, 13, вып. 3, 1972.
5. J. C. Greaves, J. W Linnnett. Trans. Faraday Soc., 54, p. 9, № 429, 1978.
6. С. И. Кольцов, В. Б. Алексовский. Журн. физ. химии, 42, 1968.
7. В. В. Азатян, Л. Б. Сорока, А. А. Шавард. Материалы II всесоюз. конф. «Нестационарные процессы в катализе», ч. I. Новосибирск, 1983.
8. Г. С. Безарашвили. Автореферат канд. дисс. Тбилиси, 1982.
9. В. А. Соболев, Е. М. Багмет, В. М. Чертов, С. В. Шабанова. ЖПХ, № 872—85 деп. 30.01.85 г.
10. А. Н. Баратов, Л. П. Вогман. Огнестущающие порошковые составы. М., 1982.

ФИЗИЧЕСКАЯ ХИМИЯ

Г. В. ЦИЦИШВИЛИ (академик АН ГССР), Л. К. КВАНТАЛИАНИ,
Д. С. ЧИПАШВИЛИ, З. В. МИКЕЛАШВИЛИ, М. Л. КАНТАРИЯ

ТЕРМИЧЕСКИЕ СВОЙСТВА ФИЛЛИПСИТА

Среди широко распространенных в земной коре природных цеолитов важное место занимает филлипсит, месторождение которого найдено и в нашей республике (Ахалцихе). Поэтому изучение указанного цеолита имеет определенное практическое значение.

Целью настоящей работы явилось исследование термических свойств природного филлипсита месторождения Ахалцихе (участок Чинубани) и повышение термостабильности указанного цеолита.

Термический анализ проводился на дериватографе марки ОД-102 (Венгрия). Данные термического анализа контролировались методами рентгенодифрактометрии и ИК-спектроскопии.

На кривой ДТА природного филлипсита отмечается несколько эндотермических эффектов при 140, 240 и 340°C (рис. 1). Сопоставле-

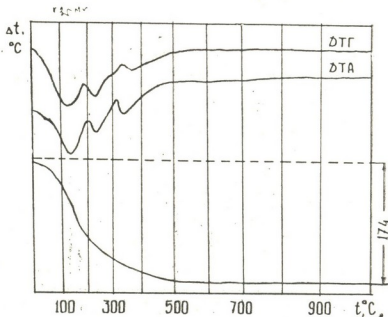


Рис. 1. Дериватограмма природного филлипсита

ние кривой ДТА с кривыми ТГ и ДТГ показывает, что эти эффекты обусловлены выделением воды из цеолита. Вода теряется в температурном интервале 50—380°C (скорость нагревания 10°/мин). Общая потеря воды, определенная термогравиметрически, составляет 17,4%. Существование на кривой ДТА филлипсита нескольких эндотермических эффектов указывает на то, что молекулы воды расположены на энергетически не равнозначных участках в структуре цеолита [1].

Известно, что количественное определение способности к регидратации цеолитов дает право судить о стабильности решетки в таких случаях, когда разрушение цеолитной кристаллической структуры не фиксируется на кривой ДТА в виде характерного экзотермического эффекта [2].

Для оценки возможностей практического использования цеолитов необходимо изучение дегидратации-регидратации, так как важные для



практического применения свойства проявляются лишь в дегидратированных состояниях. В данной работе изучены процессы дегидратации-регидратации для филлipsита в широком температурном интервале.

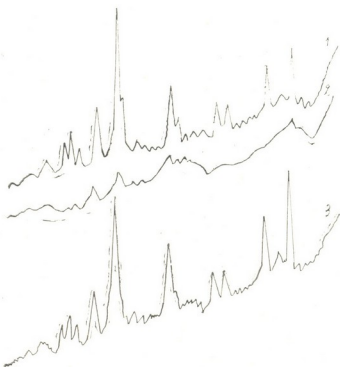


Рис. 2. Дифрактограммы филлipsитов: 1 — природный; 2 — природный, прокаленный при 400°C на воздухе; 3 — аммонийная форма филлipsита, прокаленная при 500°C в среде водяного пара

Методика нашего исследования заключалась в прокаливании на весах филлipsита до определенных температур и определении в каждом отдельном случае предельной сорбции паров воды цеолитом. Образцы нагревались до температур 200, 250, 300, 400, 500, 600°C. Длительность прокаливания устанавливалась экспериментально. Оптимальная длительность прокаливания — нагревание в течение 2 часов. Дегидратированный при соответствующей температуре образец помещался в экскатор ($P/P_s = 0,4$ при 25°C) с целью регидратации, после чего вновь проводился полный термический анализ. Согласно полученным нами данным, полная дегидратация филлipsита заканчивается при 250°C (2 часа). Обработанный таким образом филлipsит регидратируется до исходного гидратационного состояния. При этом, как показывает рентгенодифрактометрический анализ, цеолитная структура филлipsита полностью сохраняется. Нагревание филлipsита выше 300°C ведет к уменьшению регидратационной способности, что говорит об определенных деформациях в структуре. По данным рентгенодифрактометрии, после нагревания при 400°C структура природного филлipsита в основном разрушается (рис. 2). Резко уменьшается и регидратационная способность (4, 3 из 17,4%).

Таким образом, по данным термического анализа, практическое использование природного филлipsита ограничено в таких процессах, в которых для регенерации цеолита требуется температура выше 250—300°C, что хорошо согласуется с литературными данными [1].

С целью повышения термостабильности исследуемого филлipsита разработанным нами способом [3] была получена соответствующая аммонийная форма цеолита, которая была подвергнута термической обработке в атмосфере водяного пара. При такой обработке на стабилизацию цеолита влияет температура прокаливания [4]. Нами опре-

делялась оптимальная температура вышеуказанного процесса, для чего полученная аммонийная форма филлипсита прокаливалась при 200, 400, 500 и 600°C в течение 2 часов. После прокаливания образцы помещались в экскатор (при $P/P_s = 0,4$) и проверялась их регидратационная способность. Результаты измерений приведены в табл. 1. Параллельно снимались рентгенодифрактограммы и ИК-спектры указанных образцов (рис. 2 и 3).

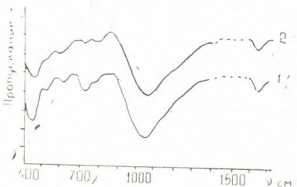


Рис. 3. ИК-спектры филлипситов: 1 — природный; 2 — аммонийная форма филлипсита, прокаленная при 500°C в среде водяного пара

По данным рентгенодифрактометрии и ИК-спектроскопии, аммонийные формы филлипсита, прокаленные при 300, 400 и 500°C, сохраняют кристаллическую структуру. Высока и регидратационная способность указанных образцов. Структура аммонийной формы филлипсита, прокаленной в атмосфере водяного пара при 600°C (2 часа), разрушается, резко падает и ее регидратационная способность. Исходя из приведенных результатов дальнейшие исследования проводились на образцах, прокаленных при 400 и 500°C ($\text{NH}_4\Phi_{400, 24}$ и $\text{NH}_4\Phi_{500, 24}$).

Таблица 1

Регидратационная способность модифицированных филлипситов, масс. %

$\text{NH}_4\Phi_{300, 24}$	$\text{NH}_4\Phi_{400, 24}$	$\text{NH}_4\Phi_{500, 24}$	$\text{NH}_4\Phi_{600, 24}$
16,8	16,5	15,5	7,8

Таблица 2

Регидратационная способность модифицированных филлипситов после термической обработки на воздухе

Образцы	Регидратационная способность после прокаливания до, °С, масс. %		
	400	500	600
$\text{NH}_4\Phi_{400, 24}$	13,9	11,7	5,5
$\text{NH}_4\Phi_{500, 24}$	15,0	12,9	5,8

Изучалась термическая стабильность вышеуказанных образцов. С этой целью указанные образцы прокаливались при 400, 500 и 600°C в течение 2 часов на воздухе. После прокаливания изучалась регидратационная способность при $P/P_s = 0,4$. Результаты эксперимента приведены в табл. 2. После прокаливания аммонийных форм филлипсита при 400 и 500°C в основном сохраняется их регидратационная способность, что указывает о сохранности кристаллической структуры изученных образцов. При этом, как видно из табл. 2, образец $\text{NH}_4\Phi_{500, 24}$

характеризуется лучшей регидратационной способностью $\text{NH}_4\Phi_{400}$. Понижение регидратационной способности исследованных образцов после прокаливания при 600°C указывает на деформацию кристаллической структуры.

Таким образом, после прокаливания аммонийной формы филлипсита при 500°C в течение 2 часов в среде водяного пара повышается ее термостабильность и обработанный вышеуказанным способом образец сохраняет кристаллическую структуру после прокаливания при 500°C как на воздухе, так и в среде водяного пара. Полученный результат может иметь практическое значение при использовании филлипсита в таких процессах, где цеолитные материалы подвергаются воздействию сравнительно высоких температур.

Академия наук Грузинской ССР

Институт физической и
органической химии
им. П. Г. Меликишвили

(Поступило 26.6.1986)

ვიზიტორი ქიმია

გ. ციციშვილი (საქ. სსრ მეცნ. ექიმების ექადემიკოსი), ლ. კვანტალიანი, დ. ჭიათურავი, ჭ. მიქელაშვილი, გ. ძალიარია

ვიზიტორის თერმული თვისტებები

რეზიუმე

შესწავლითი ახალციხის საბადოს ბუნებრივი ფილიპსიტის თერმული თვისტები. თერმული ანალიზი, ინფრა-წითელი სპექტროსკოპიისა და რენტგენოსტრუქტურული ანალიზის მეთოდებით ნაჩვენებია, რომ ბუნებრივი ფილიპსიტის მონიუმანი ფორმის გარკვეულ პირობებში ღამუშავებით შეიძლება გაიზარდოს აღნიშნული ცეოლითის თერმული სტაბილობა.

PHYSICAL CHEMISTRY

G. V. TSITSISHVILI, L. K. KVANTALIANI, D. S. CHIPASHVILI,
Z. V. MIKELASHVILI, M. L. KANTARIA

THERMAL PROPERTIES OF PHILLIPSITE

Summary

Thermal properties of natural phillipsite from the Akhaltsikhe deposit have been studied. Thermal analysis, infrared spectroscopy and X-ray structure analysis showed that treatment of the ammonium form of natural phillipsite under certain conditions leads to an increased thermal stability of the zeolite mentioned.

ლიტერატურა — REFERENCES

- Д. Б рек. Цеолитовые молекулярные сита. М., 1976.
- Т. В. Батишвили. Термографическое исследование цеолитов среднеэоценовых вулканогенных толщ Грузии. Тбилиси, 1972.
- Г. В. Цицишвили, Л. К. Кванталиани, Н. Г. Гиголашвили, Д. С. Чипашвили, З. В. Микелашвили. Авт. свид. СССР № 988765. Бюлл. изобр., № 3, 1983.
- Н. С. Козлов, И. И. Урбанович, М. Ф. Русак. Ультрастабильные цеолиты. Минск, 1979.

ХИМИЧЕСКАЯ ТЕХНОЛОГИЯ

В. Н. ГАПРИНДАШВИЛИ, Л. Д. ГОГИЧАДЗЕ, Т. Б. ДЖАНИМАНОВ,
Р. Д. ЧАГЕЛИШВИЛИ, М. Ш. ТАБАТАДЗЕ

ВСКРЫТИЕ ХАЛЬКОПИРИТНОГО КОНЦЕНТРАТА СУЛЬФАТОМ ЖЕЛЕЗА (III)

(Представлено членом-корреспондентом Академии Л. Н. Джапаридзе 1.4.1987)

Распространенные в природе так называемые «упорные руды», особенно те, которые содержат комплексные сульфиды меди и железа типа халькопирита, очень плохо поддаются непосредственному выщелачиванию и для гидрометаллургической переработки требуют предварительной пирометаллургической подготовки методом обжига [1].

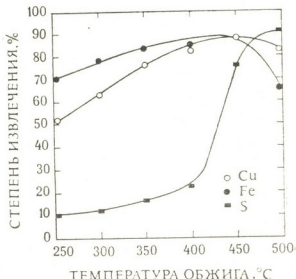
В настоящей работе предложено термическое вскрытие халькопиритного концентрата сульфатом железа (III) в инертной среде с последующим кислотным выщелачиванием огарка [2]. При вскрытии халькопирита протекает следующая реакция:



Возможность протекания указанной реакции была подтверждена термодинамическими расчетами [3], термогравиметрическими исследованиями [4] и рентгеноструктурным анализом.

Испытаниям подвергался халькопиритный концентрат следующего химического состава (в %): Cu—15,89; Fe—31,36; S_{общ}—35,20; SiO₂—12,69; Zn—0,45; SO₄²⁻—2,44. Обжиг шихты проводился в горизонтальной трубчатой печи с подачей азота. Обожженная масса подвергалась выщелачиванию раствором серной кислоты.

Рис. 1. Влияние температуры обжига халькопиритного концентрата и сульфата железа (III) на степень извлечения меди, железа и элементарной серы. Условия выщелачивания: огарок — 20 г, концентрация C_{H₂SO₄} = 10%, Ж:T = 10:1, продолжительность — 2 ч, температура — 100—106°



Максимальное вскрытие халькопирита достигается при обжиге шихты 450°; степень извлечения меди и железа составляет соответственно 87,9 и 85%. Повышение температуры выше 450° вызывает уменьшение перехода меди и железа в раствор, что должно быть связано с началом разложения их сульфатов. Извлечение серы резко повышается в интервале температур 400—450° (рис. 1).



Степень извлечения меди, железа и элементарной серы **увеличивается** симбатно с продолжительностью обжига, и при 5-часовом обжиге переход меди в раствор составляет 97,8%, а железа — 87,9%.

С повышением соотношения $\text{Fe}_2(\text{SO}_4)_3\text{CuFeS}_2$ до стехиометрического значения заметно растет степень извлечения меди, железа и элементарной серы. Дальнейшее увеличение количества сульфата железа (III) в смеси незначительно влияет на степень извлечения ценных компонентов (табл. 1).

Таблица 1
Влияние соотношения в шихте халькопиритного концентрата с сульфатом железа на степень извлечения меди, железа и элементарной серы

Навеска — 50 г, продолжительность обжига — 2 ч, температура — 450°, навеска выщелачивающего огарка — 20 г, концентрация $\text{C}_{\text{H}_2\text{SO}_4}=10\%$, $\text{Ж:Т}=10:1$, продолжительность — 2 ч, температура — 100—106°

Соотношение $\text{Fe}_2(\text{SO}_4)_3/\text{CuFeS}_2$	Степень извлечения, %		
	Cu	Fe	S
0,6	75,0	74,5	70,3
0,8	81,1	80,2	73,4
1,0	87,9	85,0	76,1
1,2	90,1	87,5	77,4
1,4	92,6	90,6	78,6
1,6	93,5	93,5	79,8

Следовательно, совместный обжиг халькопиритного концентрата и сульфата железа (III) в условиях: температура обжига — 450°; продолжительность — 2 ч; соотношение шихты $\text{Fe}_2(\text{SO}_4)_3/\text{CuFeS}_2=1/1$; влажность — 10%, обеспечивает максимальное вскрытие халькопиритного концентрата.

С целью достижения высокой степени извлечения меди и железа в работе проведены исследования для подбора оптимальных условий выщелачивания обожженной массы следующего состава (в %): Си — 5,9; Fe — 32,1; S — 21,2. Для оптимизации процесса были применены методы математического планирования эксперимента.

Реализован план типа: $N=2^5 \cdot 2$. Изучалось влияние пяти входных факторов на степень извлечения меди (Y_1) и железа (Y_2): ξ_1 — температура выщелачивания; ξ_2 — концентрация серной кислоты; ξ_3 — соотношение Ж:Т; ξ_4 — время выщелачивания; ξ_5 — скорость вращения мешалки. Условия планирования и результаты опытов приведены в табл. 2 в плане $X_4 = X_1X_3$; $X_5 = X_1X_2X_3$.

Для проверки воспроизводимости процесса и определения ошибки опыта в нулевой точке факторного пространства были проведены две серии параллельных опытов по два эксперимента в каждой (эксперименты 1, 2, 3, 4; табл. 2). Проверка с помощью критерия Кохрена показала, что процесс воспроизводим $G_{\text{Ca}}=0,79 < G_{\text{табл}}$. Среднеквадратичная ошибка эксперимента $S^2_{\text{Ca}}=2,3$.

После реализации матрицы были вычислены коэффициенты регрессии. Регрессионное уравнение имеет следующий вид:

$$Y_{\text{Ca}} = 62 + 13X_1 + 1,5X_2 + 3,5X_3 + 5,9X_4 - 1,2X_5.$$

Регрессионное уравнение показывает, что в исследованной области на эффективность степени извлечения меди благоприятное влияние оказывают увеличение первых четырех факторов. Для выяснения



Таблица 2

Матрица планирования и результаты экспериментов для оптимизации процесса выщелачивания огарка

Уровень факторов	Факторы							
	ξ_1	ξ_2	ξ_3	ξ_4	ξ_5			
Условия планирования эксперимента								
Основной уровень	60	10	10	2	400			
Интервал варьирования	40	5	5	1,5	200			
Верхний уровень	100	15	15	3,5	600			
Нижний уровень	20	5	5	0,5	200			
План и результаты экспериментов								
№ опыта	Кодированный уровень факторов							
	X_1	X_2	X_3	X_4	X_5	$Y_{\text{расч.}}$	Y_1	Y_2
1	60	10	10	2	400	68,5	82,7	
2	60	10	10	2	400	71,2	84,4	
3	60	10	10	2	400	68,9	85,3	
4	60	10	10	2	400	70,3	83,9	
5	+	+	+	+	+	85,1	98,6	
6	-	+	+	-	-	47,3	50,3	
7	+	-	+	+	-	83,8	80,3	
8	-	-	+	-	+	45,9	42,2	
9	+	+	-	-	-	70,3	76,2	
10	+	+	-	+	+	51,4	64,0	
11	+	-	-	-	+	60,8	44,9	
12	-	-	-	+	-	51,4	44,9	
Результаты движения вдоль линии крутового восхождения								
Коэффициенты регрессии								
b_t	13	1,5	3,5	5,9	1,2			
$b_t \lambda_t$	520	7,5	17,5	8,85	360			
Изменение отклика (λ'_t) на единичное изменение ξ_2 на 2								
$\lambda'_t = \Delta b_t \lambda_t$	67,6	0,97	2,27	1,15	46,8			
Округление	70	1	2	1	50			
Новый основной уровень	100	15	15	3,5	600	85,1	98,6	
№ опыта 13	100	16	17	4,5	600	79,4	80,1	98,0
— — 14	100	17	19	5,5	600	96,8	97,1	99,1

значимости регрессионных коэффициентов была вычислена $t \cdot S_b = 0,47$. Все регрессионные коэффициенты больше, чем t_{S_b} , что указывает на значимость этих коэффициентов. Наибольшее влияние оказывают температура, время выщелачивания и соотношение Ж:Т. Наименьшее влияние оказывают концентрация серной кислоты и скорость вращения мешалки.

Полученное уравнение регрессии было проверено на адекватность с помощью критерия Фишера. $F_{\text{выч}} = 5,4$, $F_{\text{табл}} = 19,2$, что указывает на адекватность процесса.

Реализация дробного факторного эксперимента позволила найти математическое описание процесса выщелачивания огарка смеси халькопиритного концентрата и сульфата железа (III), определить

количественное влияние каждого из исследованных факторов на степень извлечения меди и железа. Получив полное математическое описание процесса, можно максимизировать степень выщелачивания меди за счет увеличения времени выщелачивания, концентрация серной кислоты, соотношения Ж:T, температуры выщелачивания и замедления скорости вращения мешалки. Оптимизация была проведена при постоянстве последних двух факторов.

В табл. 2 приводятся результаты максимизации степени выщелачивания меди. За исходную точку крутого восхождения была принята точка факторного пространства, которому соответствует: $\xi_1 = 100^\circ$; $\xi_2 = 15\%$; $\xi_3 = 15:1$; $\xi_4 = 3,5$ часа; $\xi_5 = 600$ об/мин. В этой точке степень выщелачивания меди составляет 85,1%.

Результаты эксперимента и теоретически рассчитанные величины степени выщелачивания меди совпадают. В оптимуме степень выщелачивания меди составляет 97,1%, а железа — 99,1%.

Академия наук Грузинской ССР

Институт неорганической химии
и электрохимии

(Поступило 2.4.1987)

ЗАООШИО თექნოლოგია

3. გაფრინდაშვილი, ლ. გოგიჩაძე, თ. ჯანიმანი, მ. ჩაგელიშვილი,
ა. თაბათაძე

ტალკოპირიტის ჭოცვენტრატის რინის სულფატით (III) დაუღა

რეზიუმე

ქალკოპირიტის კონცენტრატისა და რკინის სულფატის ნარევი გამოვწვიო
ინერტულ არეში (ტემპერატურა — 450°; დრო — 2 სთ; შეფარდება $\text{Fe}_2(\text{SO}_4)_3$
 $/\text{CuFeS}_2 = 1/1$) და ნამწვი გამოვტურეთ 15% H_2SO_4 -ით (ტემპერატურა —
100—160°; დრო — 5,5 სთ., Ж:T = 1:20). სპილენის ამოლების ხარისხია 96—
98%, რკინისა — 97—99%, გოგირდისა — 76—80%.

CHEMICAL TECHNOLOGY

V. N. GAPRINDASHVILI, L. D. GOGICHADZE, T. B. JANIMANOV,
R. D. CHAGELISHVILI, M. Sh. TABATADZE

CHALCOPYRITE CONCENTRATE BREAK-DOWN BY IRON (III) SULPHATE

Summary

Chalcopyrite concentrate and iron (III) sulphate mixture was roasted in the inert atmosphere ($t=450^\circ$, duration—2 h, relationship $\text{Fe}_2(\text{SO}_4)_3/\text{CuFeS}_2 = 1/1$). The cinder was leached by 15% sulphuric acid solution ($t=100—160^\circ$, duration=5, 5 h, L:S=1:20). The extraction degree of copper constitutes 96—98%, iron—97-99%, sulphur—76-80%.

ლიტერატურა — REFERENCES

1. А. В. Осина, Ю. С. Пресс. Цветные металлы, № 3, 1978, 25.
2. В. Н. Гапринашвили, Т. Б. Джаниманов и др. Авт. свид. № 1301858, 1987.
3. В. Н. Гапринашвили, Т. Б. Джаниманов. Сообщения АН ГССР, 125, № 3, 1987, 561—564.
4. В. Н. Гапринашвили, Т. Б. Джаниманов, Л. Д. Гогичадзе, Р. Д. Чагелишвили. Сообщения АН ГССР, 127, № 2, 1987, 285—288.

ХИМИЧЕСКАЯ ТЕХНОЛОГИЯ

А. И. ДАЛАКИШВИЛИ

ОБ ОБРАЗОВАНИИ СФЕРОЛИТОВ В СИЛИКАТНОМ СТЕКЛЕ

(Представлено академиком Р. И. Агладзе 26.4.1986)

Из литературы известно о морфологии, условии образования и механизме роста сферолитов в силикатных стеклах [1]. В процессе выпадения сферолитов решающее значение имеет предкристаллизационный тепловой режим стекломассы [2, 3].

Для образования ядра кристалла необходимо присутствие восьми или более молекул, находящихся близко друг к другу и имеющих одинаковую ориентацию и скорость [3]. Величина такого зародыша близка к 20 Å. Это значит, что на ребре кристалла укладывается приблизительно 10 атомов, а число атомов, входящих в состав зародыша первичного кристаллика, не превышает нескольких сотен [1, 4, 5].

После превращения предзародышевых групп в устойчивые ядра кристаллизации наступает процесс их роста. Необходимые для роста атомы диффундируют из расплава к стенкам ядра, отрываясь от своих соседей, и вступают в новые связи с кристаллами в тех точках, которые указывает им структура [6].

Исследуемое стекло нами было сварено с использованием лавового агломерата месторождения Оками Ахалцихского района Грузинской ССР, который имеет следующий химический состав (масс. %): SiO_2 53,08; Al_2O_3 18,9; Fe_2O_3 9,46; CaO 7,62; MgO 4,65; R_2O 5,09; SO_3 0,15; п.п. 0,25.

Лавовый агломерат — это силикатный сырьевой материал, впервые используемый нами в практике стекловарения. Он является продуктом вулканического извержения. Порода пористая, петрографический состав породы базальтовый и андезито-базальтовый. Основную массу породы составляет вулканическое стекло с вкрапленниками мелких призм плагиоклаза (в основном андезина и андезин-лабрадора) и единичных зерен оливина, местами с окислами железа.

Стекло было сварено в печке Боржомского стекольного завода в двухлитровых шамотных горшках. Печь обогревалась мазутом. Шихта загружалась в горшок после достижения температуры 800—850°C.

Оксиды	Сферолиты	Промежуточное стекло
SiO_2	76,50	77,34
Al_2O_3	3,40	3,51
Fe_2O_3	1,70	1,38
CaO	6,72	6,81
MgO	1,45	0,58
SO_3	0,19	0,01
R_2O	10,04	10,03
Mn_3O_4	—	0,30
Cr_2O_3	—	0,04

После завершения варки стекла при заданной температуре $1450 \pm 10^\circ\text{C}$ печь выключалась и стекло остыпало вместе с печью. На стекле появилась корка голубоватого оттенка толщиной 3—4 мм. Во всем объеме стекломассы образовались такого же цвета равномерно распределенные сферолиты диаметром 2—2,5 мм. Промежутки между сферолитами были заполнены светло-зеленым стеклом.

В таблице приведен химический состав сферолитов и промежуточного стекла.

Как видно из данных таблицы, сферолиты по химическому составу мало отличаются от стекла. В изломе они имеют фарфоровую структуру, в центре которой расположена звездочкообразная раковина.

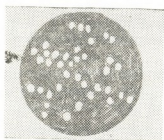


Рис. 1. Примерная схема распределения сферолитов в стекломассе

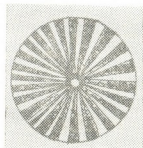


Рис. 2. Примерная схема строения сферолита в разрезе по центру

На рис. 1 приведен разрез образца с примерным распределением сферолитов в стекломассе (черное — промежуточное стекло).

По утверждению проф. Д. С. Белянкина, сферолиты, кроме кристаллов, содержат в себе «и остаточное стекло, не переработанное в кристаллические структуры».

На рис. 2 представлена примерная схема строения сферолита. Заштрихованная площадь соответствует кристаллической фазе, незаштрихованная — стекловидной. Микроскопический осмотр сферолитов в изломе показал взаимное прорастание кристаллической фазы со стекловидной, эти фазы неразделимы, что и придает сферолитам фарфоровидную структуру.

Рентгенографически установлено, что образованные в стекле сферолиты состоят в основном из девитрита $\text{Na}_2\text{O} \cdot 3\text{CaO} \cdot 6\text{SiO}_2$. В центре сферолитов обнаружены следы кристобалита и воластонита.

Образование в данном случае сферолитов, по-видимому, связано с тем, что включения, содержащиеся в лавовом агломерате, не успевают расплываться в высоковязкой стекломассе и выполняют роль дендритов. С целью избежания указанного явления шихта была подкорректирована перлитом Параванского месторождения, выполняющим роль плавня.

Закавказский региональный
научно-исследовательский институт
Госкомгидромета СССР

(Поступило 30.5.1986)

გიმუში თიბროლია

ა. დალაკიშვილი

სილიკატურ მინერალ სფეროლიტის ზარმოქმნის უსახელ

რეზიუმე

აღწერილია ქრისტალური წარმონაქმნების — სფეროლიტების 2,5—3 მმ გამოყოფის პირობები. სფეროლიტებს აქვთ ცისფერი შეფერილობა: ჩემტებ-

ნოსტრუქტურულად დაღვენილია, რომ ისინი შედგებიან ძირითადად დევიტრიტისაგან, რომლის ცენტრში წარმოქმნილია კრისტობალიტის და კოლასტონიტის ჩანასახები.

სფეროლიტების წარმოქმნა განპირობებულია იმით, რომ ჩანართები არ-სებულ ლავურ აგლომერატში ვერ ასწრებენ გალლობას მაღალი სიბლანტის მქონე მინის ლლობილში და ასრულებენ დენდრიტების როლს.

CHEMICAL TECHNOLOGY

A. I. DALAKISHVILI

ON THE FORMATION OF SPHERULITES IN SODA-LIME GLASS

Summary

Conditions of spherulite crystal fallout are described, the diameter of spherulites being 2.5—3 mm. The crystals under consideration are bluish in colour and have a porcelain structure. X-ray analysis shows that they consist mainly of devitrite, in the center of which traces of crystobalite and volastonite have been revealed.

Formation of spherulites results from the fact that inclusions contained in the lava sinter have no time to melt in highly viscous mass, and act as dendrites.

ლიტერატურა — ЛИТЕРАТУРА — REFERENCES

1. М. Г. Деген, Н. А. Торопов. Труды IV Всесоюзного совещания по стеклообразному состоянию. М.—Л., 1965.
2. З. Н. Шалимо, Н. Н. Ермоленко. Неорг. матер., т. 5, № 9, 1969.
3. В. Н. Филипович, А. М. Калинина. Неорг. матер., т. 7, № 10, 1971.
4. П. Д. Данков. Природа, № 12, 1933.
5. А. Н. Бетехти. Минералогия. М., 1950.

ХИМИЧЕСКАЯ ТЕХНОЛОГИЯ

П. Н. ДЖАПАРИДЗЕ, Б. Г. МАИСУРАДЗЕ, Н. В. ГАМКРЕЛИДЗЕ,
Н. В. КЕЛБАКИАНИ, Е. В. ОРЛИК, М. Г. КАПАНДЗЕ

НАГРЕВ УГЛЯ В ПЕРВОЙ СТУПЕНИ НЕПРЕРЫВНОГО КОКСОВАНИЯ ТВЕРДЫМ ТЕПЛОНОСИТЕЛЕМ С ПОСЛЕДУЮЩИМ ШИХТОВАНИЕМ ЕГО С СУЛЬФИТНОЙ БАРДОЙ

(Представлено академиком Ф. Н. Тавадзе 3.6.1986)

Важным решением разработки новой технологии производства кокса из газовых и слабоспекающихся углей явилось использование для их нагрева в первой ступени непрерывного коксования твердого теплоносителя — собственного формованного кокса, еще не подвергшегося тушению. Таким путем достигались значительная экономия тепла и рационализация технологического процесса [1, 2].

Особенность данной технологии — противоточное продвижение во вращающемся барабане-теплообменнике горячих коксовых формовок и угля. Перемешивание и разделение компонентов достигаются закрепленными на внутренней поверхности барабана лопастями. Нагретый уголь выступает с одного конца барабана-теплообменника, а кокс, подвергаясь в барабане сухому тушению, — с другого его конца.

Степень нагрева угля в таком процессе зависит от исходной температуры раскаленных формовок (теплоносителя), начальной температуры высушенного угля и скорости взаимного смешивания угля и теплоносителя в барабане. Нагрев угля в барабане-теплообменнике до температуры пластического состояния технологически неосуществим: размягченный уголок связывается с теплоносителем, залипает на его поверхности и нарушает процесс нормального разделения компонентов. В связи с этим приходится корректировать условия нагрева угля в барабане путем подбора соответствующих температурных условий, а именно, установления конечной температуры угля не более 350°C. Эта температура недостаточна для брикетирования образовавшейся массы. Она должна быть дрогрета до 400—410°C. Для этого в соответствии с одним из вариантов технологии был принят дополнительный нагрев угля газовым теплоносителем [2]. Уголь поступал в специальный приемник, а затем пневматическим путем направлялся в вертикальную трубу посредством нагретого до 600°C газового теплоносителя. Расчеты показали, что для нагрева 1 кг угля, имеющего температуру 350°C, требуется 3,5—4 нм³ газа.

Если на 1 кг угля для догрева используется 1,46 м³ газа, его физическое тепло (при калорийности газа 6050 дж/м³) составляет $(1,46 \cdot 0,35 \cdot 270) = 586$ кдж. Это количество физического тепла соответствует 270°C при выходе из генератора. Для нагрева угля используется газ при наличии у него температуры 540°C. В таком случае его физическое тепло составляет 1171 кдж.

Для нагрева 1 кг угля с 350 до 410°C необходимо количество тепла $(410-350) \cdot 0,35 = 117$ кдж. Такое же количество тепла должно быть сообщено 1 кг угля газом. Остаточное количество физического тепла составит $1171 - 117 = 1054$ кдж.

Для обеспечения сбалансированной подачи тепла на нагрев угля уголь догревается химическим теплом газа в размере 117 кдж. Такой



способ догрева угля до температуры его пластического состояния крайне нерационален, так как приходится иметь дело с энергетическими издержками на циркуляцию большого количества газа, составляющего 3 м³ на 1 кг угля. Унос угольной пыли в коммуникации также требует специальной чистки и создает определенные трудности. Кроме того, наличие циклонов для разделения угля и газа и их обслуживание, а также необходимость установки машины, формующей уголь, на высокую отметку (более 10 м) и вообще загромождение производства обременяющими коммуникациями делает его недостаточно эффективным в техно-экономическом отношении.

Если бы можно было осуществить сгорание весьма небольшого количества угля в самом барабанном теплообменнике атомарным синглетным (активным) кислородом, задача догрева угля на выходе из теплообменника была бы решена, но разработка соответствующих методов для осуществления экзотермии оказалась затруднительной и дорогой. Что касается частичного дожигания на выходе нагретого до 350°C угля обычным кислородом, то соответствующее сгорание угля начинается не раньше, чем его температура достигнет 400°C. Именно переход угля в пластическое состояние соответствует его возбуждение до интенсивного вступления в реакцию с кислородом. По этой причине использование обычного кислорода для догрева угля с 350 до 400°C оказывается недостижимым.

Проведенные в последующем исследования привели к выводу, что необходимая экзотермия для дополнительного нагрева угля на выходе его из теплообменника может быть достигнута с помощью реакций взаимодействия негашеной извести и углекислого газа:



Характеристика коксовых брикетов, полученных на основе сульфитной барды и извести

(конечная температура брикетирования 350 С, давление прессования 40 кг/см², конечная температура коксования 850 С)

Исследуемый материал	Технический анализ, %				Пористость, %	Индекс прочности по ИГИ, кг/дм ²
	W _a	A _c	V _r	S _{общ}		
Коксбрикеты на основе сульфитной барды (6%), полученные под давлением собственных летучих веществ	2,20	17,3	2,05	0,98	43,08	7,84
Те же без давления	2,60	17,2	1,92	0,90	44,80	6,63
Коксбрикеты на основе извести (7% CaO), полученные под давлением собственных летучих веществ ($P_{бр} = 200$ кг/см ²)	0,58	23,7	1,80	0,82	36,40	7,20
Те же без давления	0,55	23,9	1,65	0,62	36,80	6,70
Металлургический кокс РМЗ	1,70	18,04	0,71	0,82	49,20	7,90

Техническое и технологическое осуществление этой реакции оказалось, однако, не вполне достижимым. К тому же, ввод в коксовую массу CaCO₃ на известной стадии доменного процесса приводит к эндотермии, связанной с увеличением расхода кокса и, вообще, с ухудшением условий плавки металла [3].

С целью устранения необходимости брикетирования угля в пластическом состоянии уголь нагревался под давлением собственных летучих веществ и брикетировался при температуре предпластического состояния (350—390°C) [4].



Интересным решением, позволяющим получать термостойкие брикеты из нагретого до 350°C угля на выходе из барабана-теплообменника, является также смешивание его с сульфитной бардой, нагретой до 100—150°C и брикетирование под давлением 20—50 кг/см². Содержание в шихте сухой сульфитной барды может составлять 5—8%. Полученные при этом формовки достаточно прочны и терпят перегрузки для поступления их в прокалочную печь. При коксовании этих формовок как под давлением собственных летучих веществ, так и без давления можно получить металлургический кокс и кокс для ферросплавных печей. Таким образом достигается переработка на металлургический кокс газовых и слабоспекающихся углей типа ткибульских.

В нижеприведенной таблице даны показатели прочности кокса, полученного на основе сульфитной барды и известки как под давлением собственных летучих веществ, так и без давления.

Академия наук Грузинской ССР
Институт неорганической химии
и электрохимии

(Поступило 12.6.1986)

ମୋହନ୍ତି କୀର୍ତ୍ତିନାଥ

৫. ঝোঁপাখণ্ডে, ৬. পানসেরুবামি, ৭. শিল্পকলালয়ের পার্ক, ৮. শিল্পকলার পার্ক, ৯. পুরুষের পার্ক, ১০. মহিলার পার্ক

ମ୍ୟାରି ଟଙ୍ଗମହାତୀଳଙ୍କିଟ ନାଶକିଲେ ଧାର୍ଯ୍ୟକାରୀଙ୍କ ଶ୍ରୀପଦେତି ଆକର୍ଷଣସିଦ୍ଧିରେ
ପିଲାରେ ପ୍ରାଚୀର୍ଯ୍ୟକାରୀଙ୍କ ଜୀବ ବିଶେ ପ୍ରାପଣଗମନ କାରାବା ଶୈଳପାଠୀଙ୍କ ତଥାପିଟ

ՀՐԱՑՈՂ ՅԱ

უწევები დაკოქსვეს პროცესში აირადი თბომატარებლის ფინიცური სითბოს გამოყენებით პნევმომილებსა და ცელონგებში ნაგშირის დამტებითი გახურების არსებული მეთოდები ტექნიკურ-ეკონომიკური ოფალსაზრისით საკმაოდ არაეფურია.

სტატუში განხილულია საკითხის გაუმჯობესებული გადაწყვეტა, რომელიც მდგრადარობს 350°C -მდე განხურებული ნახშირის დაბრკეტებაში სულფიტური თუთქის დამატებით, რც საშუალებას იძლევა ამ გზით მიღებული თერმობრუნებულისაგან მიეღოთ დაყალბებული მეტალურგიული კაქსი.

CHEMICAL TECHNOLOGY

P. N. JAPARIDZE, B. G. MAISURADZE, N. V. GAMKRELIDZE, N. V. KELBAKIANI,
E. V. ORLIK, M. G. KAPANADZE

COAL HEATING AT THE FIRST STEP OF UNINTERRUPTED CARBONIZATION BY HEAT-TRANSFER AGENT FOLLOWED BY BLENDING WITH SULPHITE MALT-RESIDUE

Summary

The available methods of coal heating at the first step of uninterrupted carbonization by means of hard heat-transfer agent (formcoke), with additional coal heating by means of gas heat-transfer agent in pneumatic tubes and cyclones are not considered sufficiently effective neither in technical nor in economic aspects. The paper considers a more reasonable solution. At 350°C the heated coal is briquetted by blending with sulphite malt-residue, which makes it possible to obtain moulded metallurgical coke from thermobriquettes.

ლიტერატურა — ЛИТЕРАТУРА — REFERENCES

1. Авт. свид. № 255904, 22.08.69 г. Бюлл. № 30, 1978.
2. Авт. свид. № 373290. 21.12.1972 г. Бюлл. № 14, 1973.
3. Е. Ф. Вегман, Б. Н. Жеребин, А. Н. Покхвиснев, Ю. С. Юсфини. Металлургия чугуна. М., 1978, 285.
4. П. Н. Джапаридзе, И. Ш. Джиджайшвили, В. И. Адэс, Н. В. Гамкрелидзе. Сообщения АН ГССР. 72, № 2, 1973, 383—385.

ФИЗИЧЕСКАЯ ГЕОГРАФИЯ

З. К. ТИНТИЛОЗОВ, В. Д. РЕЗВАН, В. Н. ДУБЛЯНСКИЙ,
А. Б. КЛИМЧУК

СПЕЛЕОЛОГИЧЕСКИЕ И ГИДРОЛОГИЧЕСКИЕ ОСОБЕННОСТИ БЗЫБСКОГО МАССИВА

(Представлено членом-корреспондентом Академии В. Ш. Джакишвили 27.2.1987)

Бзыбский карстовый массив входит в состав Горно-Колхидской спелеологической области Большого Кавказа¹. Его слагают нижнемеловые (валанжин-барремские) и верхнеюрские (лузитан-титонские) известняки мощностью до 2000 м, которые залегают на вулканогенной толще байоса (нижний водоупорный горизонт), вскрытой в долинах Бзыби и Аапсты, а на южной периферии перекрываются некарстующимися отложениями альб-сеномана и палеогена (средний и верхний водоупорные горизонты). Тектонический план массива довольно прост: северная его часть представляет собой асимметричную синклинальную структуру, а южная, отделенная от нее Чипширским сбросом, — моноклиналь [1]. На юге массива располагается крупнейший источник Кавказа Мчишта (средний расход 9,5 м³/с, максимальный — 197 м³/с.). Он дренирует значительную часть массива, причем величину его топографического водосбора разные исследователи оценивают в 22,4 [2, 3] — 37,7 км² [4]. Реальные гидрогеологические связи карстовых источников массива с конкретными питающими водосборами до последнего времени не исследовались.

В 1970—1980 гг. на Бзыбском массиве были начаты активные спелеологические исследования. Спелеологи и спелеотуристы Томска, Красноярска, Москвы, Тбилиси, Симферополя и ряда других городов страны обнаружили и исследовали свыше 400 карстовых полостей. Часть из них тяготеет к бассейну Бзыби (рис. 1, № 1—3), часть располагается в области питания источника Мчишта (№ 4—12). Ни в одной из этих полостей значительные водоточки пока не обнаружены. В восточной части массива крупных полостей значительно меньше (рис. 1, № 13—16).

Особое место среди карстовых полостей Бзыбского массива занимает Снежная—Меженного. Это самая глубокая в СССР (и вторая в мире) пещерная система, имеющая значительную протяженность (19 км), колоссальные объемы (1,7 млн. м³), мощный подземный водоток (расход в межень 0,5 м³/с, в паводок до 25 м³/с), богатый набор различных пещерных отложений [5, 6 и др.].

До последнего времени место разгрузки подземного водотока Снежной экспериментом не было установлено, хотя, основываясь на общих геолого-геоморфологических и гидроспелеологических особенностях Бзыбского массива, один из авторов данной работы, предполагал, что Снежная и Мчишта являются частями единой — Мчиштинской гидрогеологической системы ([7], стр. 24, 25). Новейшие индикаторные опыты убедительно подтвердили такое представление. Так, в июле 1973 г. спелеоэкспедиция Москвы, Свердловска и Томска запустила в водоток Снежной 3 кг флюоресцина, но ни во дном из пяти пунктов наблюдений на р. Дзбажа краситель зафиксирован не был.

¹ Общая площадь этого массива 550 км², высшая точка г. Дзыдра 2623 м.

В июле 1974 г. Всесоюзная спелеоэкспедиция и спелеоотряд Института минеральных ресурсов запустили в шахте Снежная 18 кг флюоресцента. Эксперименту помешал паводок. Ловушки на рр. Хипста, Дохварты и Дзбажа были сорваны, а в одной ловушке на р. Аапста обнаружены следы красителя. Результаты опыта рассматриваются как предварительные [3]. В 1980—1981 гг. московскими спелеотуристами и отрядом Симферопольского госуниверситета в аллювии и в левом борту долины р. Хипста были обнаружены мощные выходы воды (рис. 1). Это послужило основанием для третьего индикаторного опыта. При этом учитывалась возможность выхода красителя как в долинах Хипсты и Аапсты [3], так и в источнике Мчишта [7, 8]. В постановке

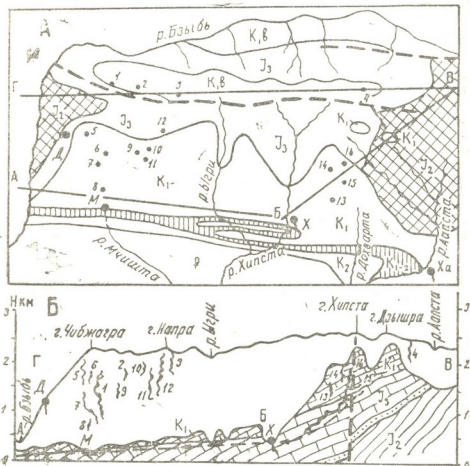


Рис. 1. План (А) и разрезы по линиям А—Б—В и Г—В (Б) Бзыбского массива. Карстовые полости: 1—В. Пантиухина, 2—Багьянская, 3—Графский провал, 4—Алексинского, 5—Ноктиори, 6—Весенняя, 7—Пионерская, 8—Белорусская, 9—Изабелла, 10—Студеническая, 11—Форельная, 12—Напра, 13—Каньон, 14—Сувенир, 15—Снежная-Меженного, 16—Вулкан. Основные источники: Д—Джирхва; М—Мчишта; Х—Хипста; Ха—Хабю. Пунктиром показаны направления движения красителя

эксперимента участвовали сотрудники Института географии им. Ва-хушти (З. К. Тинтилозов), Адлерской комплексной лаборатории ПНИИС Госстроя СССР (В. Д. Резван), Симферопольского госуниверситета (В. Н. Дублянский), Института геологических наук АН УССР (А. Б. Климчук). Осуществили его спелеотуристы Ленинграда и Усть-Каменогорска под руководством В. Д. Резвана. Ловушки были установлены на источниках р. Хипста (2 пункта наблюдений), в бассейне р. Аапста (2 пункта наблюдений на реке, 1 — в пещере — источнике Хабю) и на источнике Мчишта. На Мчиште съем ловушек осуществлялся ежедневно (с 10.8.1986 по 10.9.1986 г.), а в остальных пунктах — однократно (через 2—15 дней). Обработка ловушек произ-

водилась в лаборатории ОП ИГН АН УССР на флюориметре ЛФМ-72.

Особенностью проведения индикаторного опыта 1986 г. явилась глубокая межень. Расход Мчишта уменьшился до 1,5 м³/с, источник на р. Хипста стал работать как поглотитель (оказался эставеллой), а выходы воды в борту долины сместились ниже по течению. Исходя из сложившейся ситуации опыт был проведен в двух модификациях: 12.8.1986 г. 0,5 кг родамина были запущены в понор на р. Хипста, а 20.8.1986 г. 8 кг уранина — в поток шахты Снежная на глубине 700 м от поверхности. Методика запуска была обычной [9].

Родамин зафиксирован в ловушках на источнике Мчишта трижды: 18.8 (25 мг/м³), 22.8 (45 мг/м³) и 26.8 (35 мг/м³). Уранин обнаружен в источнике на р. Хипста 25 и 26.8 (визуально) и 25.8 (ловушкой, 25 мг/м³), а также в источнике Мчишта 29.8—1.9 (140, 300 и 35 мг/м³) и 6.9 (75 мг/м³). В остальных пунктах наблюдений краситель не зафиксирован. Результаты экспериментов сведены в таблицу.

Результаты проведения индикаторного опыта на Бзыбском массиве

Место запуска красителя	Абсолютная отметка, м	Расстояние между пунктами запуска и фиксации, км		Время прохождения красителя, сутки		Средняя скорость движения воды, км/сутки	
		по прямой	с коэффициентом извилистости*	Родамин	Уранин	Родамин	Уранин
Шахта Снежная	1250	—	—	—	—	—	—
Поглотитель и источник на р. Хипста	320	5,6	10,0	5 6	5 6	—	2,0 1,7
Источник				5	9	3,0	3,1
Мчишта	70	14,0	18,2	10 14	10 14	1,8 1,3	2,8** 1,3

* Для участка Снежная-Хипста по фактической извилистости системы (1,8), для участка Хипста-Мчишта — по средней для Альпийской складчатой области (1,3 [3]).

** Расчет сделан для полного расстояния от шахты Снежная до источника Мчишта (28,2 км).

Проведенный эксперимент убедительно доказал, что западная и восточная части Бзыбского массива представляют собой единую гидрогеологическую систему с промежуточной зоной разгрузки в долине р. Хипста. Прохождение уранина из шахты Снежная в источник Мчишта плотным «пакетом» (концентрация красителя 140—300 мг/м³) свидетельствует о существовании хорошо проработанных подрусловых карстовых каналов под долинами рр. Хипста и Йгры. Средняя скорость прохождения красителя на верхнем участке (уклон 0,093) оказалась меньше (1,8 км/сутки), чем на нижнем (уклон 0,014, 2,2 км/сутки). Вероятно, это объясняется задержкой при прохождении глыбовых навалов и мощной толщи водных механических отложений в системе Снежной [5, 6].

Полученные материалы свидетельствуют о невозможности точно оконтурить подземный водосбор источника Мчишта. В межень и паво-



док он может менять конфигурацию и площадь как за счет подтока воды из северной части массива [10], так и за счет «подключения» разных зон поглощения в долине р. Хипста.

Академия наук Грузинской ССР
Институт географии
им. Вахушти

Симферопольский государственный
университет

(Поступило 27.2.1987)

შეტყოფული გაობრაუნი

ჭ. ტიტილიშვილი, ვ. რეზვანი, ვ. დუბლიანსკი, ა. კლიმчуკი

გვივის მასივის ჰელეოლოგიური და ჰიდროლოგიური
თავისებურებანი

რეზოუ გვ

ინდიკატორული მეთოდებით პირველად დადასტურდა მზიფის მასივზე, კარსტულ უფსერულ „თოვლიანში“ გამდინარე ნეკადის კავშირი ამავე მასივის მდ. ხიფითას და მჭიშთას ვოკლუზებთან — მჭიშთას საკმაოდ ვრცელი ჰიდროგეოლოგიური და მრვიმური სისტემის ასრებობა. შეღებილი ნაკადების დღე-ღმური საშუალო სიჩქარე 1,8—2,2 კმ შეადგენს.

PHYSICAL GEOGRAPHY

Z. K. TINTILOZOV, V. D. REZVAN, V. N. DUBLYANSKY, A. B. KLIMCHUK

SPELEOLOGICAL AND HYDROLOGICAL PECULIARITIES OF THE BZYBI MASSIF

Summary

Relationship between the flowing stream and vaucluses of the rivers of Khipsta and Mchishta has been identified for the first time by the groundwater tracing method in the karst cave of "Snezhnaya-Mezhennogo" of the Bzybi massif. Thus, the existence of a rather prolonged hydrogeological system of Mchishta is substantiated. The mean daily rate of coloured subterranean streams amounts to 1,8-2,2 km.

ლიტერატურა — REFERENCES

1. Т. З. Кикнадзе. Геология, гидрогеология и активность известнякового карста. Тбилиси, 1979.
2. Г. Н. Гигинейшвили, Д. Д. Табидзе. Сообщения АН ГССР, 60, № 1, 1970.
3. В. Н. Дублянский, Т. З. Кикнадзе. Гидрогеология карста Альпийской складчатой области юга СССР. М., 1984.
4. Ресурсы поверхностных вод СССР, т. 9. Закавказье и Дагестан, вып. I, Западное Закавказье. Л., 1974.
5. Г. В. Людковский, Б. Р. Мавлюдов, А. И. Морозов, Т. А. Немченко, Д. А. Усиков. ДАН СССР, 259, № 2, 1981.
6. Б. Р. Мавлюдов, А. И. Морозов. Сб. «Пещеры», вып. 19. Пермь, 1984.
7. З. К. Титилозов. Сб. «Проблемы спелеологии Грузии». Тбилиси, 1985.
8. З. К. Титилозов. Карстовые пещеры Грузии. Тбилиси, 1976.
9. Сб. «Проблемы изучения карстовых полостей гор южных областей СССР». Ташкент, 1983.
10. Г. Н. Гигинейшвили. Карстовые воды Большого Кавказа и основные проблемы гидрологии карста. Тбилиси, 1979.

ГИДРОЛОГИЯ

Н. Г. МАЧАВАРИАНИ, Л. Т. ИНАСАРИДЗЕ

СТОК ВЗВЕШЕННЫХ НАНОСОВ РЕК КОЛХИДСКОЙ НИЗМЕННОСТИ И ЕГО ВНУТРИГОДОВОЕ РАСПРЕДЕЛЕНИЕ

(Представлено членом-корреспондентом Академии И. М. Буачидзе 23.2.1987)

Изучен сток взвешенных наносов рек, непосредственно протекающих по Колхидской низменности, а также использованы сведения о других реках, примыкающих к данной территории (всего 35 поста).

Ряды наблюдений над твердым стоком рек коротки и прямой способ определения средних многолетних величин пока невозможен. С целью удлинения рядов наблюдений наиболее приемлемым оказался способ корреляции средних многолетних значений расходов воды и наносов.

Высокими значениями стока взвешенных наносов характеризуются бассейны крупных транзитных рек (Кодори—960 тыс. т/год, Рioni — 5 500 тыс. т/год, Цхенисцкали — 1300 тыс. т/год, Чорохи — 9400 тыс. т/год). Средние и малые реки характеризуются низкими значениями стока взвешенных наносов (Техури — 194 тыс. т/год, р. Натанеби — 34,5 тыс. т/год, Кинтриши — 16 тыс. т/год и др.).

На Колхидской низменности выделяются три зоны мутности:

$$\rho = 80 \text{ г/м}^3, \rho = 80-200 \text{ г/м}^3 \text{ и } \rho = 200-500 \text{ г/м}^3.$$

К I зоне относятся реки южной части Колхидской низменности, а также территория между рр. Ингури и Кодори. Бассейны рек южной части (Кинтриши, Чаквисцкали, Абаносцкали, Дехва, Бжужа) сложены в основном вулканогенно-осадочными породами — туфобрекчиями, туфопесчаниками и покровами базальтов и андезитов среднего эоценена. Осадочные третичные породы занимают подчиненное положение и представлены известняковыми песчаниками и алевролитами. Характерно значительное развитие элювиальных образований, представленных «Батумским латеритом», развитым до а. в. 200—400 м и зеброидным элювием. Мощность элювия 20—30 м. Несмотря на большое распространение круtyх склонов, осипи, оползни, обвалы и др. процессы, способствующие пополнению русла наносами, не получают большого развития. Оползневые явления в основном развиты в толще делювия и не имеют большого значения для поставки в русла рек крупнообломочного материала [1]. Р. Кодори протекает в вулканогенно-осадочных породах байоса, в известняках и мергелях мела и терригенных отложений палеоген-неогена. Гидрографическая сеть представлена большим количеством небольших водотоков с постоянным дебитом. В устьях рек встречаются небольшие участки с заболоченными аллювиальными почвами. Слоны покрыты бурной растительностью.

Ко II зоне ($\rho=80-200$ г/м³) относятся средние транзитные реки Колхидской низменности (рр. Супса, Натанеби, Техури, Хоби). Горная часть бассейнов рр. Супса и Натанеби сложена грубообломочными и массивными андезитовыми покровами, которые местами прерваны интрузиями (сиениты и габбро). Предгорная зона выполнена олигоцен-миоценовыми молассами, представленными глинами, песчаниками, рыхлыми конгломератами, песками, частично—известняками и мергелями. Широкое распространение имеют в предгорьях четвертичные галечники, слагающие речные террасы. В нижнем течении р. Супса встречаются древние морские галечники. Низменная причерноморская полоса сложена песчано-глинистой толщей новочерноморской террасы. Для бассейнов рек характерны пологие склоны, густой растительный покров, что препятствует интенсивному смещению материала, даже на крутых склонах. Встречаются мелкие осыпи.

К III зоне относятся транзитные реки, которые своими нижними участками вклиниваются на территорию Колхидской низменности и

Внутригодовое распределение стока взвешенных наносов
(в % от годового) по сезонам

Река, пункт	Весна	Лето	Осень	Зима	За год, тыс. т
Кодори—близ устья	32,1	50,9	13,6	3,4	962
Галидзга—с. Хухуна	42,5	29,8	18,7	9,0	13,2
Ингури—с. Дарчели	25,1	63,5	9,10	2,30	2700
Ингури—Анаклия	19,4	71,7	7,20	1,70	1910
Бол. Эрисцикали—с. Речхоухири	20,6	45,8	17,9	15,7	50,1
Магана—близ устья	11,3	65,8	19,0	3,90	79,0
Олори—близ устья	16,7	29,7	42,0	11,6	13,0
Джуми—Кирови	11,3	52,2	21,7	14,8	114
Рioni—г. Кутаиси	46,8	33,9	12,7	6,60	3700
Рioni—с. Сакочакидзе	39,5	31,8	14,4	14,3	5500
Рioni—г. Поти (юж. рук.)	23,8	33,9	23,9	18,4	2110
Рioni—г. Поти (сев. рук.)	37,4	29,7	14,7	18,2	4010
Хоби—с. Кулеви	21,3	36,8	18,7	23,2	150
Техури—с. Нокалакеви	35,7	33,1	18,8	12,4	195
Цхенисцикали—с. Хиди	42,4	39,0	12,0	6,60	1330
Губазеули—с. Хидистави	43,2	17,8	25,7	13,3	84,8
Супса—г. Чохатаури	34,9	17,8	25,3	22,0	39,7
Супса—с. Хидмагала	31,1	18,6	27,2	23,1	178
Натанеби—с. Натанеби	31,4	20,9	28,3	19,4	91,4
Кинтриши—с. Қобулети	28,2	17,0	35,0	19,8	16,7
Дехва—с. Қобулети	17,2	20,1	31,1	31,6	3,20
Чаквисцикали—с. Хала	16,9	22,8	43,3	17,0	12,0
Абаносцикали—с. Махинджаури	11,4	19,5	56,4	12,7	0,57
Бахвисцикали—с. Уканави	32,0	23,5	36,7	7,80	5,36
Чорохи—с. Эрге	56,5	30,7	8,30	4,50	9400
Аджарисцикали—с. Қеда	64,2	11,3	15,1	9,40	397

выносят большое количество наносов (рр. Ингур, Риони, Цхенисцкали, Чорохи), а также рр. Магана, Джуми, Эрисцкали.

Исследование внутригодового распределения стока взвешенных наносов выполнено по календарным сезонам и месяцам, а также по фазово-однородным периодам. Расчеты произведены по многолетним данным наблюдений, а также за характерные годы.

Малые реки Колхидской низменности характеризуются круглогодичным паводочным режимом.

Для внутригодового распределения стока взвешенных наносов крупных рек характерен вынос основной массы наносов в течение весенне-летнего половодья (приблизительно 80% годового количества наносов). Внутригодовое распределение наносов по средним рекам центральной части Колхиды более равномерно, наибольшее количество наносов выносится весной и осенью. По средним рекам южной части низменности основная масса наносов транспортируется в осенне-зимнее время (табл. 1).

Академия наук Грузинской ССР

Институт географии
им. Вахушти Багратиони

(Поступило 27.2.1987)

ნიუკოლებია

ნ. მაჭავარიანი, ლ. ინასარიძე

გოლეთის დაბლობის მდინარეების მყარი ჩამონაფენი და მისი შედებულები განაწილება

რეზიუმე

დაქვირვების რიგების დასაგრძელებლად ყველაზე მისაღებია წყლისა და მყარი ჩამონადენის საშუალო მრავალწლიური ხარჯების კორელაციის მეთოდი.

კოლხეთის დაბლობზე გამოყოფილია სიმღვრივის სამი ზონა $\rho = 80 \text{ gr/m}^3$, $\rho = 80-200 \text{ gr/m}^3$ და $\rho = 200-500 \text{ gr/m}^3$.

მყარი ჩამონადენის შედებულები განაწილება შესწავლილია კალენდარული სეზონებისა და ოვებებისათვის, აგრეთვე ერთგვაროვანი ფაზების პერიოდებისათვის (წყალდიდობა, წყალმოვარდნა, წყალმცირობა).

HYDROLOGY

N. G. MACHAVARIAN, L. T. INASARIDZE

THE SOLID RUN-OFF OF THE KOLKHETI LOWLAND RIVERS AND ITS ANNUAL DISTRIBUTION

Summary

The method of correlating the normal annual discharge of water and solid run-off is the most useful one for the extension of observation series. Three zones of silt charge are distinguished, with $\rho=80 \text{ gr/m}^3$, $\rho=80-200 \text{ gr/m}^3$ and $\rho=200-500 \text{ gr/m}^3$.



The annual distribution of solid run-off is studied for calendar seasons and months as well as for periods of similar phases (flood, high and low water).

ლიტერატურა — REFERENCES

- i. Н. И. Маккавеев и др. Определение баланса твердого стока бассейна рек Черноморского побережья Грузии и методы его увеличения. М., 1966.

ГЕОЛОГИЯ

Н. Ш. САЛУКВАДЗЕ, Е. А. ЦАГАРЕЛИ, Т. Т. ГАВТАДЗЕ

НОВЫЕ ДАННЫЕ О ВЕРХНЕМ ЭОЦЕНЕ И ОЛИГОЦЕНЕ
БАССЕЙНА р. ЭРИСЦКАЛИ

(Представлено академиком А. Л. Цагарели 5.3.1986)

В последнее время на совещаниях и в публикациях часто обсуждаются вопросы о границе между эоценом и олигоценом и о зональной стратиграфии пограничных отложений этих отделов палеогеновой системы. Многими геологами ставятся под сомнение самостоятельность и принадлежность латдорфского яруса Западной Европы. Некоторые исследователи сомневаются также в корреляционной ценности бентосных ископаемых организмов, в том числе мелких фораминифер. В связи с этим нужно отметить, что нередко разрезы верхнего эоцена и нижнего олигоцена Юга СССР содержат именно бентосную микрофауну. По ним здесь выделяются зоны *Bolivina antegressa* (верхняя часть верхнего эоцена), *Pararotalia canui*, *Lenticulina herrmannii* и другие (низы олигоцена). Судя по всему, бентосные органические остатки могут иметь определенное биостратиграфическое значение. На наш взгляд, следует уделить больше внимания соотношениям зон по этим организмам с зонами по планктону. Последние, как известно, характеризуются хорошими миграционными свойствами. Они, безусловно, играют важную роль в корреляции палеогеновых разрезов на значительные расстояния.

В верхнеэоценовых и олигоценовых отложениях Грузинской глыбы выделяются литостратиграфические подразделения, весьма близко стоящие по составу к таковым Северного Кавказа. В этих подразделениях удалось установить зоны по планкtonным фораминиферам и нанопланктону, которые, как мы увидим ниже, обнаруживают большое сходство по набору видов с одновозрастными зонами Северного Кавказа. По-видимому, можно говорить о существовании сходных условий осадкообразования и обитания фауны в морских водоемах, развитых по обе стороны Большого Кавказа в позднеэоценовое и олигоценовое времена.

В нижней части верхнего эоцена на грузинской территории Закавказского межгорного прогиба залегает эгриссская свита — коричневые и серые мергели с *Lyrolepis caucasica* (аналог кумской свиты рр. Кубани, Хеу и др.). Почти во всех разрезах на них без каких-либо следов перерыва налегают зеленовато-серые и светло-серые мергели и глинистые мергели аргветской свиты, которые приравниваются к белоглинской свите. Стратиграфически выше аргветской свиты Грузинской глыбы, так же как и белоглинской свите Северного Кавказа, развиты карбонатные глины хадумской свиты (майкопская серия).

Породы указанных выше свит хорошо обнажены и палеонтологически охарактеризованы в западной части Одишской подзоны Грузинской глыбы между рр. Окораны (правый приток р. Эрисцкали) и Олори. Новые исследования показали, что на отмеченном участке Грузинской глыбы в пограничных отложениях эоцена и олигоцена вместе с бентосными окаменелостями встречается и планктон. В нижней, большей по мощности части аргветской свиты содержатся: *Globigerapsis* 37, „*Thiotheta*“, ф. 127, № 3, 1987



tropicalis Blow et Bann., G. index (Finl.), Globigerina gortanii Bors. G. corpulenta Subb., G. galavisi Berm., G. tripartita Koch., G. ouchitaensis Howe et Wall., G. angiporoides Horn., G. triloculinoides (Plum.), Globorotalia centralis Cusht. et Berm., G. cergoazulensis cocoaensis Cusht. Комплекс перечисленных планктонных фораминифер выделяется как зона Globigeropsis tropicalis. Она, очевидно, соответствует зоне Globigeropsis tropicalis и крупных глобигерин Северного Кавказа, точнее примерно той части белоглинской свиты разрезов рр. Хей и Кубань, где присутствуют представители глобигерапсисов [1]. В верхней, значительно меньшей по мощности части аргветской свиты обнаружены: Globorotalia centralis Cusht., et Berm., Globigerina tripartita Koch., G. gortanii Bors., G. corpulenta Subb., G. officinalis Subb., G. galavisi Berm., G. tapuriensis Bann. et Blow, G. prasaepis Blcw, G. ampliapertura Bolli, G. ouchitaensis Howe et Wall., G. pseudoampliapertura Blow et Bann., G. bulloides Orb. Состав мелких фораминифер характерен для зоны Globorotalia centralis. Отложения этой зоны скорее всего параллелизуются с самой верхней частью белоглинской свиты по рр. Кубань и Хей, которую относят к кровле эоцен [1]. В верхних слоях аргветской свиты находятся также многочисленные бентосные фораминиферы, ассоциацию которых выделяют как зону Bolivina antegressa. Заметим, что, по нашим наблюдениям, нижняя граница зоны Bolivina antegressa, по-видимому, проходит ниже той же границы зоны Globorotalia centralis.

На исследованной территории в карбонатных глинах хадумской свиты определены: Globigerina tapuriensis Bann. et Blcw, G. pseudoampliapertura Bann. et Blow, G. prasaepis Blcw, G. officinalis Subb., G. ampliapertura Bolli, G. galavisi Berm., G. ouchitaensis Howe et Wall., G. tripartita Koch., Globorotalia opima nana Bolli, G. permicra Bann. et Blcw. Породы, содержащие эту фауну, относятся к зоне Globigerina tapuriensis нижнего олигоцена. По палеонтологическому характеру и положению в разрезе эта зона легко коррелируется с одноименной зоной Северного Кавказа [1].

В нижней части аргветской свиты по наннопланктуону устанавливается зона Chiasmolithus oamiguensis. Интервал зоны определяется от появления индекс-вида до появления Istmolithus recurvus Def. В средней части аргветской свиты выделяется зона Istmolithus recurvus. Нижняя граница зоны устанавливается по появлению индекс-вида. Верхняя же граница проводится по появлению Sphenolithus pseudoradians Braml. Состав зоны несущество отличается от состава нижележащей зоны. Здесь отсутствуют Chiasmolithus grandis (Braml. et Sull.), Discoaster binodus Mart. Вышележащие отложения рассматриваемой свиты содержат комплекс наннопланктона зоны Sphenolithus pseudoradians. Верхняя граница зоны отбивается по исчезновению Discoaster sa ipanensis Braml. et Ried. Для зоны характерны Clausicoccus subdistichus (Roth et Hay), Beticulofenestra callida Perch., Discoaster cf. aufacus. Названные зоны по наннопланктуону аргветской свиты Грузии параллелизуются с подзонами зоны Discoaster barbadensis белоглинской свиты Северного Кавказа [1].

В глинах хадумской свиты устанавливается зона Clausicoccus subdistichus. Нижняя граница зоны проводится по исчезновению Discoaster sa ipanensis Braml. et Riedel. У этой границы значительно сокращается количество представителей наннопланктона. Совместно с некоторыми ви-

дами нижележащей зоны здесь встречаются единичные экземпляры *Spено-литус* cf. *predistansus* Braml. et Wilc., *Pontosphaera pectinata* Braml. et Sull., *Pemma stradnerii* Chan., *Discoaster fangi* ornatus и переотложенные верхнемеловые и нижнепалеогеновые виды. Не исключено, что к последним относится и присутствующий здесь *Discoaster barbadiensis* Tan Sin Hok. Надо отметить, что в изученных нами разрезах нижняя граница зоны *Clausicoccus subdisticus* точно не совпадает с подошвой хадумской свиты. Она проходит несколько ниже кровли аргветской свиты (на 0,4—0,6 м). На Северном Кавказе эту зону устанавливают также в нижней части майкопской серии и относят к нижнему олигоцену [1, 2].

Академия наук Грузинской ССР
Геологический институт
им. А. И. Джанелидзе

(Поступило 6.3.1986)

ЗАПИСЬ ОБРАЗОВАНИЯ

Б. ШАЛУКВАДЗЕ, Е. САГАРЕЛИ, Т. ГАВТАДЗЕ

БАКАЛЛАУРЕАТСКАЯ РАБОТА ПО ГЕОЛОГИИ
ЗАЩИЩЕННАЯ В 1986 ГОДУ
ПОДКИДОЧНОСТЬЮ УЧЕБНОГО КОМПЛЕКСА

Резюме

В верхнем эоцене и нижнем олигоцене бассейна р. Эрисцкали выделены следующие зоны для планктонных фораминифер: *Globigerapsis tropicalis*, *Globorotalia centralis* (верхний эоцен) и *Globigerina tapuriensis* (нижний олигоцен), а также для нанопланктона: *Chiasmolithus oamoriensis* (верхний эоцен) и *Clausicoccus subdistichus* (нижний олигоцен).

GEOLOGY

N. Sh. SALUKVADZE, E. A. TSAGARELI, T. T. GAVTADZE

NEW DATA ON THE UPPER EOCENE AND LOWER OLIGOCENE OF THE ERISTSQALI BASIN

Summary

According to the planktonic foraminifers of the Upper Eocene deposits the following zones are distinguished: *Globigerapsin tropicalis*, *Globorotalia centralis* (Upper Eocene) and *Globigerina tapuriensis* (Lower Oligocene). At the same time according to the nannoplankton the following zones are distinguished: *Chiasmolithus oamoriensis* (Upper Eocene) and *Clausicoccus subdistichus* (Lower Oligocene).

ЛITERATURA — REFERENCES

1. Б. А. Крашенинников, Н. Г. Музылев. Вопросы микропалеонтологии, вып. 18, 1975.
2. Н. Г. Музылев. Стратиграфия палеогена Юга СССР по нанопланктону. М., 1980.

ГЕОЛОГИЯ

А. И. МАХАРАДЗЕ

О МАРГАНЦЕНОСНЫХ ОТЛОЖЕНИЯХ ХРЕНТСКОЙ ВОЗВЫШЕННОСТИ

(Представлено академиком Г. А. Твалчрелидзе 18.4.1986)

Хрентская возвышенность представляет собой антиклинальное поднятие широтного простирания [1]. Сложена она порfirитовой свитой байоса, на которой сохранились отдельные изолированные выходы марганценосных отложений. В них, аналогично Чиатурскому месторождению, выделяются подрудные, рудные и надрудные образования. Первые из них, за исключением самой верхней части (пачка гравелитов), мы относим к позднему эоцену, вторые — к раннему олигоцену, а трети — к среднему олигоцену-раннему миоцену [2]. На основании детального изучения геологического строения и литологических особенностей этих отложений нами установлена приуроченность их к грабенам широтного простирания. Они имеют максимальную ширину 2,0 км при длине несколько десятков километров. Одна из таких структур — Кверети-Перевская, расположенная на южном крыле в близсводовой части возвышенности, простирается более чем на 65 км. Часто грабены имеют сложное строение и ограничены с обеих сторон несколькими разрывами, а также пересечены многочисленными поперечными разломами, придающими им ступенчатое строение. Марганценосные отложения обнаруживаются лишь в наиболее опущенных сегментах, тогда как в приподнятых они размыты. В центральных частях грабенов эти образования имеют малые углы падения, в краевых — крутые, а местами даже поставлены «на голову», что придает грабенам синклинальную форму.

В порfirитовой свите разрывные нарушения фиксируются по крутым углам падения пород, зонам дробления и гидротермального изменения, выраженного цеолитизацией, селадонитизацией, аргиллизацией и окварцеванием.

В марганценосных отложениях Хрентской возвышенности оруденение имеет различную интенсивность, причем порой верхние горизонты рудоносных пород отсутствуют. Наиболее полный их разрез изучен на участке Кверетского рудопроявления в западной части возвышенности в верховых р. Кверетула — правого притока р. Чихура. Выход марганценосных отложений с востока на запад здесь достигает 0,7 км при ширине 0,2 км. С севера и юга они ограничены разломами, вдоль которых породы порfirитовой свиты байоса возвышаются над марганценосными на 200 и более метров. С востока и запада рудные образования срезаны поперечными нарушениями. Последние имеются и в средней части рудопроявления, где порfirитовая свита разделяет его на восточный и западный участки.

В нижней части порfirитовой свиты байоса развиты туфы среднего состава, которые выше сменяются кислыми пелитовыми туфами. На них залегают аркозовые песчаники и конгломераты верхнего байоса, а на участке Кверетского рудопроявления, где их мощность 10—15 м, — пестроцветные отложения верхней юры. Последние в окрестностях с. Теделети содержат келловейскую фауну [3]. Начинаются они гравелитами, выше сменяющимися песчаниками. Мощность гра-



велитов — 3 м, песчаников — 10 м. Еще выше следует пересланьи глин, алевролитов, песчаников, гравелитов и конгломератов. Верхнеюрские терригенные образования имеют аркозовый состав.

На отложениях верхней юры несогласно залегают подрудные образования, начинающиеся пачкой гравелитов и мелкогалечных конгломератов (мощность 1,5—2 м). Выше следуют рыхлые песчаники со слабовыраженной слоистостью с редкими линзами гравелитов (мощность 20 м). По минеральному составу они относятся к аркозово-кварцевому типу, содержат 60—80% кварца, 20% полевых шпатов (кислые плагиоклазы, ортоклаз, редко микроклин) и до 10% обломков пород. В составе этих песчаников, в отличие от подстилающих верхнеюрских образований, отмечается повышенное содержание обломков основной массы средних эфузивов, средних плагиоклазов и кислых туфов. В нижней части песчаников цементирующая масса имеет каолинитовый и каолинит-гидрослюдистый состав с примесью монтмориллонита, редко галлуазита и метагаллуазита. Снизу вверх количество монтмориллонита возрастает и он играет одну из ведущих ролей. В этих отложениях не содержится фауна.

Песчаники перекрываются пачкой гравелитов мощностью 0,5—1 м, относимой нами к базальным образованиям олигоцена [2]. Они содержат фауну крабов олигоценового возраста [3]. Гравелиты имеют кварц-аркозовый состав (кварц — 55—65%, полевые шпаты — 30—40%). В них, по сравнению с подстилающими песчаниками верхнего эоцена, существенную роль играют неизмененные решетчатый микроклин, обломки гранитондов и оглинившиеся кислые туфы. Имеются также обломки кислых плагиоклазов, а отчасти средних порfirитовых пород.

Над гравелитами залегает пачка карбонатных марганцевых руд мощностью 0,5—1 м, переслаивающиеся с песчаниками и алевролитами кварц-аркозового состава. В ней, по сравнению с подстилающими гравелитами, содержание средних плагиоклазов и обломков порfirитов возрастает.

Надрудные образования начинаются 1,5—2-метровой пачкой алевролитов, которые через алевритовые глины (мощность 5—7 м) постепенно переходят в алевритистые глины майкопской фации (мощность 40—45 м). Глины монтмориллонит-гидрослюдистого состава иногда имеют примесь каолинита. В средней части толщи на 20-м метре от ее подошвы выделяется пачка опоковидных и опалистых глин мощностью 1,5 м. Начиная с этой пачки вышележащую часть майкопских глин по аналогии с Чиатурским месторождением марганца мы относим к раннему миоцену.

Анализ изложенного фактического материала позволяет выяснить некоторые вопросы палеогеографии и истории развития Хреитской возвышенности. Эта структура в позднем эоцене была вовлечена в восходящие движения, вызванные пиренейской фазой складчатости. Под влиянием растяжения произошло ее дробление. Возникли в основном продольные разломы, нарушившие не только сводовую, но и краевые части возвышенности на ее границах с соседними тектоническими зонами. Воздымание отдельных блоков происходило с различной интенсивностью. Некоторые из них при общем фоне воздымания испытывали относительное погружение. В результате этого в позднем эоцене море полностью не покидало Хреитскую возвышенность, а сохранилось в грабенах, разобщавших ее на отдельные цепи островов широтного профиля. На последних обнажились аркозовые образования верхней юры и верхнего байоса. Породы порfirитовой свиты байоса имели незначительные выходы на поверхности, поскольку продукты их разрушения в отложениях верхнего эоцена встречаются в виде единичных зерен.



Марганценосные отложения на Хреитской возвышенности нигде не подстилаются меловыми образованиями и не содержат продуктов их разрушения. Поэтому следует допустить, что меловые отложения во время формирования верхнеэоценовых осадков на Хреитской возвышенности отсутствовали. Отличие терригенных отложений верхнего эоцена от верхнеюрских обусловлено активным химическим выветриванием в позднем эоцене. Оно было спровоцировано медленным воздыманием в начале пиренской фазы складчатости и субтропическим климатом, существовавшим в это время на всей территории Грузии [4]. В коре выветривания полевые шпаты аркозовых песчаников подверглись интенсивному разрушению, в результате чего образовались кварцевые песчаники с каолинитовым и каолинит-гидрослюдистым цементом. Воздымание достигло максимума перед олигоценовой трансгрессией. К этому времени отмечается похолодание климата, ставшего сухим [4]. Такие условия способствовали усилению физического выветривания. Суша подверглась интенсивной денудации, вследствие чего сформировались кварц-аркозовые базальные образования олигоцена. К этому же времени происходило просачивание марганценосных растворов в грабеновые водоемы, которые в силу своей замкнутости служили ловушками рудного вещества. Постепенный переход базальных гравелитов кверху в майкопские глины и увеличение содержания продуктов разрушения порfirитовой свиты байоса указывают на интенсивную денудацию питающего субстрата, при котором проходили его пенепелизация и обнажение все большей площади пород порfirитовой свиты.

В предсреднемиоценовое время в результате штирийской фазы складчатости воздымание Хреитской возвышенности возобновилось. Оно, как и в предыдущей фазе складчатости, было дифференциальным и происходило в основном по существовавшим разломам. Грабены, зародившиеся при пиренской фазе складчатости, развивались в последующее время и в них сохранились марганценосные отложения.

К среднемиоценовому времени верхнеюрские образования в северной части возвышенности в основном были размыты. Полное их удаление с Хреитской возвышенности произошло позднее. Они сохранились лишь в грабенах под марганценосными отложениями.

Особенности геологического развития и палеогеографии Хреитской возвышенности в позднеэоцен-раннемиоценовое время, выявленные на основании изучения геологического строения и литологии марганценосных образований, имеют большое значение при составлении геологогенетической модели для гидротермально-осадочных марганцевых месторождений Чиатурского типа.

Кавказский институт
минерального сырья
им. А. А. Твалчелидзе

(Поступило 30.4.1986)

გვოლობის

პ. მაჩარაძე

ხრიოთის აგალლების მანგანუმიანი ნალექების შესახებ

რეზიუმე

დადგენილია, რომ ხრეითის ამაღლების მანგანუმიანი ნალექები ლითოლო-გიური თავისებურებებით არ განსხვავდება ჭიათურის საბადოს ანალოგიური ქანებისაგან. ისინი შემორჩენილია გრაბენებში, რომლებიც გვიანი ეოცენის დროს ჩაისახა და განვითარებას განიცდიდა შემდგომ ეპოქებში.

A. I. MAKHARADZE

ON MANGANESE-BEARING DEPOSITS OF THE KHREITI UPLAND

Summary

It has been established that manganese-bearing deposits of the Khreiti upland do not differ from the Chiatura deposits in their lithological properties. They are preserved in grabens which appeared in the Late Eocene and developed in the following epochs.

ЛІТЕРАТУРА — REFERENCES

1. П. Д. Гамкрелидзе. Путеводитель экскурсии по маршруту Тбилиси—Боржоми—Кутаиси—Батуми. Тбилиси, 1963.
2. А. И. Махарадзе. Сообщения АН ГССР, 126, № 3, 1987.
3. А. Г. Лалиев. Майкопская серия Грузии. М., 1964.
4. Н. М. Страхов, Л. Е. Штеренберг, В. В. Калиненко, З. С. Тихомирова. Геохимия осадочного марганцевого процесса. М., 1968.

ПАЛЕОНТОЛОГИЯ

В. И. ГОЦАДЗЕ

РАСПРЕДЕЛЕНИЕ ДИНОЦИСТ В СРЕДНЕЙ ЧАСТИ МАЙКОПСКОЙ СЕРИИ СЕВЕРО-ЗАПАДНОГО КАВКАЗА

(Представлено академиком А. Л. Цагарели 12.4.1986)

Верхнепалеогеновые и нижнемиоценовые отложения Юга СССР представлены майкопской серией, в средней части которой проходит граница олигоцена с миоценом. До настоящего времени проблема границы не решена удовлетворительно из-за отсутствия остатков организмов в некарбонатных и слабоизвестковистых породах майкопа.

Среднемайкопские отложения на территории Северо-Западного Кавказа широко развиты и представлены (снизу вверх) алкунско-септариевой, зеленчукской, караджалгинской и ольгинской свитами. Алкунско-септариевая, зеленчукская и караджалгинская свиты объединены в кавказский региоярус [1]. Остается невыясненным вопрос о стратиграфическом соотношении кавказского региояруса с одновозрастными отложениями Крымско-Кавказской области. По некоторым данным [1], с кавказским региоярусом сопоставляются горностаевская свита Причерноморья, уплисцихские слои Восточной Грузии, карагинская свита Мангышлака, т. е. по положению в разрезе он аналогичен аквитанскому ярусу Франции и верхам эгерского региояруса Западного Паратетиса. А. С. Андреева-Григорович [2] на основании изучения диноцист в майкопской толще Северного Ставрополья относит кавказский региоярус к позднему олигоцену.

За последние годы диноцисты, являющиеся остатками перидинеевых водорослей — планктонных, главным образом морских организмов, широко используются для зонального деления и корреляции палеогеновых отложений [2]. Их преимущество в том, что они встречаются и в некарбонатных породах, где другие планктонные органические остатки, как правило, отсутствуют.

Перидинеевые водоросли изучались нами из разрезов по рр. Кубань, Белая, Большой и Малый Зеленчук, а также по кернам из скважин № 48, 17 Губской ГСП (1983 г.) впервые. Препараты изготовлены в палинологической лаборатории Института палеобиологии им. Л. Ш. Давиташвили. Водоросли изучались и фотографировались под биологическим микроскопом «Иенамед».

В изученных переходных слоях олигоцена и миоцена майкопской серии Северо-Западного Кавказа установлено пять характеризуемых ниже комплексов диноцист. Необходимо отметить, что существенных различий между видовыми составами комплексов ископаемых перидиней из синхронных пачек изученных разрезов не наблюдалось. Большинство остатков водорослей имело хорошую сохранность.

Первый, самый богатый комплекс выявлен в отложениях алкунско-септариевой свиты, представленной темно-серыми буроватыми глинами с септариевыми конкрециями (мощность свиты 50—60 м).

Для него характерно обилие перидиней рода *Deflandrea*, а именно: *Deflandrea phosphoritica* phosphoritica Cookson et Eisenack, *D. phosphoritica australis* Cookson et Eisenack, *D. oebisfeldensis* Alberti, *D. speciosa* Alberti,



D. andromensis Vozzhenikova. Здесь также присутствуют: *Wetzelia gochtii* Eisenack, *W. symmetrica* Weiler, *Ascodinium pontis-mariae* Deflandre, *Pterospermopsis barbara*e Gorka, *Hystrichosphaera cornuta* Gerlach, *H. ramosa* Eisenack, *Cordosphaeridium inodes gracilis* Klumpp et Eisenack, *Cumatiosphaera punctifera* Deflandre et Cookson, *Homotryblium* sp., *Tytthodiscus* sp.

Этот комплекс можно сопоставить с комплексом асканийских слоев Причерноморской впадины [3], относящихся к нижней части верхнего олигоцена.

Второй комплекс выделен на основании изучения перидиней зеленчукской свиты, которая сложена буровато-серыми неизвестковистыми глинами с прослойями алевролитов и песчаников, мощность и количество которых увеличиваются в западном направлении (мощность свиты 80—100 м). Общее количество видов этого комплекса остается примерно таким же, но количество перидиней рода *Deflandrea* уменьшается, появляются новые виды.

Здесь присутствуют: *Deflandrea phosphoritica phosphoritica* Cookson et Eisenack, *D. phosphoritica australis* Cookson, *D. spinulosa* Alberti, *Wetzelia gochtii* Eisenack, *W. symmetrica* Weiler, *Cordosphaeridium inodes gracilis* Klumpp et Eisenack, *Cumatiosphaera punctifera* Deflandre et Cookson, *Histrichosphaera ramosa* Eisenack, *Cyclonephelium pastielsi* Deflandre, *Rhomboodium* sp., *Pterospermopsis* sp., *Tytthodiscus* sp.

Третий комплекс перидиней характеризует нижнюю часть караджалгинской свиты. Она согласно залегает на зеленчукской (мощность до 140 м), представлена темно-серыми тонкослоистыми алевритистыми глинами. В караджалгинской свите определены: *Deflandrea granulosa* Cookson et Eisenack, *D. phosphoritica phosphoritica* Cookson et Eisenack, *D. speciosa* Alberti, *D. oebisfeldensis* Alberti, *D. sp. A*, *D. sp. B*, *Wetzelia symmetrica* Weiler, *Cordosphaeridium inodes gracilis* Klumpp et Eisenack, *Aptedinium conjunctum* Eisenack et Cookson, *Tanyosphaeridium ellipticum* Cookson, *Homotrublium* sp., *Thalassiphora* sp., *Tytthodiscus* sp. Основной фон составляют представители рода *Deflandrea*.

Этот комплекс, по-видимому, соответствует ассоциации горностаевских слоев Причерноморской впадины, хотя для отложений Северного Кавказа характерно почти полное отсутствие рода *Rhomboodium*.

Четвертый комплекс, очень обедненный, характеризует верхи караджалгинской свиты. Кроме единичных представителей рода *Deflandrea*: *Deflandrea phosphoritica* Eisenack, *D. granulosa* Cookson et Eisenack, *D. speciosa* Alberti, ископаемых перидиней не обнаружено.

Этот комплекс коррелируется с комплексом чернобаевских слоев Причерноморской впадины, относящихся к нижнему миоцену [3].

Пятый комплекс обнаружен в отложениях ольгинской свиты, представленной неизвестковистыми темно-серыми с коричневым оттенком глинами с включениями ярозита и прослойями более рыхлых темно-серых алевротов (мощность до 200 м). Этот комплексведен как в количественном, так и в качественном отношении. Здесь присутствует несколько видов перидиней: *Gonyaulacusta orthoceras* Sarjeant, *Baticospaera comta* Drugg., *Tanyosphaeridium ellipticum* Cookson, *Emslandia* sp., *Impletosphaeridium* sp.

Эта ассоциация имеет типичный миоценовый облик [4].

Из вышесказанного четко видны тесная связь первых трех комплексов, содержащих значительное количество таксонов и их отличие от последних двух. Большинство ископаемых перидиней алкунской,

зеленчукской и караджалгинской свит несомненно близки палеогеновым ассоциациям [4] и принадлежат к каватным цистам. По существующему мнению [4], большинство перидинеевых водорослей, образующих цисты каватного типа, вымирают в конце палеогена и встречаются в виде единичных экземпляров только в самых низах миоцена.

Таким образом, установленные комплексы диноцист в переходных олигоцен-миоценовых отложениях изученных разрезов Северо-Западного Кавказа можно отнести к двум группам — палеогеновой и неогеновой, резко отличающимся качественно и количественно. Многочисленные палеогеновые ассоциации (алкунско-караджалгинские) насчитывают более 20 видов перидиней и содержат, наряду с каватными, и хоратные цисты. Неогеновые же ассоциации (верхние караджалгинской и ольгинская свиты) очень обеднены (5—6 видов) и представлены в основном хоратными цистами, полностью исчезают роды *Deltlandrea* и *Wetzelieilla*, а единичные представители рода *Rhombo-dinium*, столь многочисленного в олигоцене, встречены только в верхах караджалгинской свиты. Такое резкое изменение состава ископаемых перидиней происходит в средней части караджалгинской свиты, где, вероятно, и можно предположить границы олигоцена и миоцена на основании эволюционного развития перидинеевых водорослей. Вышеизложенное согласуется с мнением предыдущих исследователей [2] о позднеолигоценовом возрасте Кавказского регионаряса.

Кавказский институт
минерального сырья
им. А. А. Твалчелидзе

(Поступило 25.4.1986)

პალეონთოლოგია

ვ. გოთაძე

ტრდილო-დასავლეთ კავკასიის გაიკობის სერიის უშა ნაზილში
დინოცისტების განაწილება

რეზიუმე

ოლიგოცენ-მიოცენის სასაზღვრო ნალექებში გამოყოფილია პერიდინეული წყლომცენარების ხუთი კომპლექსი. მათი ანალიზი დასტურებს მონაცემებს კავკასიის ჩრდილო-აღმოსავანულის გვიანოლიგოცენური ასკებს შესახებ და შეიძლება ვივარიულობის რომ პალეოცენ-ნეოცენის საზღვარი მოთავსებულია ყარაჯალგის წყების შუა ნაწილში.

PALAEONTOLOGY

V. I. GOTSADZE

DISTRIBUTION OF DINOCYSTS IN THE MIDDLE MAIKOPIAN SERIES OF THE NORTH-WESTERN CAUCASUS

Summary

Five complexes of peridinal algae have been identified in the Oligocene-Miocene boundary sediments. Their analysis supports the view on the Late Oligocene age of the Caucasian regional stage and makes it possible to place the Paleogene-Neogene boundary in the middle part of the Karajalga suite.

ლიტერატურა — REFERENCES

1. А. С. Андреева-Григорович. Палеонтол. сб. (Львов), № 17, 1980, 74—78.
2. Т. Ф. Возженикова. Ископаемые перидиней юрских, меловых и палеогеновых отложений СССР. М., 1967.
3. А. С. Григорович, А. А. Весслов. Труды III Междунар. палинол. конф. М., 1973, 60—62.
4. Л. А. Невесская, И. А. Гончарова, Л. Б. Ильина, И. П. Парамонова, С. В. Попов, А. К. Богданович, Л. К. Габуния, М. Б. Носовский. Сов. геол., № 9, 1984, 37—49.

ПАЛЕОНТОЛОГИЯ

З. М. ЛЕБАНИДЗЕ

НОВЫЙ РОД ETALLONIOPSIS (HEXACORALLIA) ИЗ
ВЕРХНЕОКСФОРДСКИХ ОТЛОЖЕНИЙ ЗАПАДНОЙ ГРУЗИИ

(Представлено академиком А. Л. Цагарели 2.9.1986)

В северо-западной, приморской части Западной Грузии, на северном склоне хребта Тебе-баш, близ вершины Камерин-депа, обнажаются конгломераты мощностью 80—100 м, датированные Н. С. Бендукидзе по кораллам верхним оксфордом [1]. В 1978 г. нами в конгломератах собрана богатая коралловая фауна, в которой особого внимания заслуживает одна колония. Ее не удалось идентифицировать с известными формами. На основании изучения этой колонии выделяется новый род *Etalloniopsis* gen. nov. Ниже даются его диагноз и описание.



Рис. 1. *Etalloniopsis georgica* sp. nov.—продольное сечение (Х5),
видна крупнопористая стенка

Подотряд Eupsammiina Alloiteau, 1952

Семейство Acroporidae Verrill, 1901

Род *Etalloniopsis* gen. nov.

Название рода дано по сходству с родом *Etallonia* Roniewicz, 1966.

Типовой вид—*Etalloniopsis georgica*, sp. nov. Западная Абхазия, хребет Тебе-баш, верхнеоксфордские конгломераты.

Диагноз. Массивная, тамнастериоидная колония, септы—компактные бисептальные пластинки. На краях кораллов имеются синантикулы. Стенка—синаптикуло-септотека с крупными порами. В редких случаях имеется ребристая перитека. Эндотека отсутствует.

Видовой состав—типовид.

Сравнение и замечания. Выделенный род близок к *Etallonnia* Roniewicz, 1966 и *Paretallonnia* Sikharulidze, 1972. Общими признаками для них являются компактные септы, синаптикулы, расположенные лишь на периферии чашек, стенка крупнопористая, перитекаrudиментарная, почкование внеочашечное, иногда дирекциосентальное. В отличие от выделенного нами рода, для *Etallonnia* Roniewicz и *Paretallonnia* Sikharulidze характерны субплоконидные колонии (хотя Турншек отмечает церионидную связь кораллитов у польских экземпляров рода *Etallonnia* [2]), синаптикулотека и хорошо развитая эндотека, а для *Paretallonnia* — мощный грифелевидный регулярный столбик [3], наличием которого он и отличается от рода *Etallonnia* Roniewicz [4]. Описываемый род внешне очень схож с *Thamnoseris* Etallon, 1864, но отличается от него в основном отсутствием палиформной колумеллы, эндстеки и присутствием пористой стенки, а от другого сходного рода *Kobyastraea* Roniewicz, 1970 — наличием пористой стенки и ребристой перитеки, а также отсутствием эндотеки.

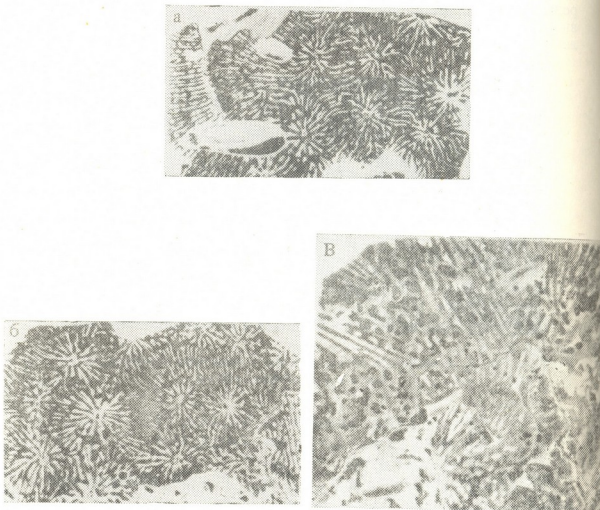


Рис. 2. *Etalloniopsis georgica* sp. nov. (голотип № 299): а-д—
поперечное сечение (Х4); в—продольное сечение (Х3); верхний
оксфорд, Западная Абхазия

Распространение: Западная Грузия, верхнеоксфордские конгломераты хребта Тене-баш.

*Etalloniopsis georgica*, sp. nov.

Рис. 1, 2

Название. Вид назван по местонахождению в Грузии.

Голотип. № 2/99. Хранится в музее ГИН АН ГССР.

Материал. Одна колония малых размеров. Три поперечных и два продольных шлифа.

Диагноз. Диаметр чашек — 2,6—6,2 мм, расстояние между центрами соседних чашек — 3,4—5,1 (5,8) мм, количество септ — 34, 37, 40, колумелла париетальная и грифелевидная, режеrudиментарная или вовсе отсутствует, стенка крупнопористая, синаптикуло-септотекальная, перитеха ребристая, порой она отсутствует.

Описание. Колония массивная, куполовидная, с тамнастерионидно расположенным субполигональными кораллитами. Хорошо различимо строение септального аппарата, септы I и II циклов одинаковых размеров и поэтому трудно отделяемые друг от друга. Септы довольно длинные, достигающие центра и с соединенными внутренними краями, создающими париетальную колумеллу. В некоторых кораллитах наблюдается небольшая, довольно тонкая, грифелевидная колумелла, созданная одной или несколькими септами I цикла. Септы III цикла игловидные и чуть короче, чем септы предыдущих циклов. Септы IV цикла еще короче, с заостренными внутренними концами. Их длина представляет почти 1/3 длины септ первых двух порядков. Этот цикл развит неполно. Синаптикулы в основном сконцентрированы по краям кораллитов, стенка синаптикуло-септотекальная, в редких случаях имеется ребристая перитеха. В ткани имеются крупные поры, характерные для родов *Etallonia* Roniewicz, 1966 и *Rage-tallonia* Sikharulidze, 1972. Размножение внечашечное, в отдельных случаях наблюдается и дирекциосептальное почкование.

Местонахождение. Верхнеоксфордские конгломераты северного склона хребта Тебе-баш в Северо-Западной Абхазии (Западная Грузия).

Академия наук Грузинской ССР

Геологический институт

им. А. И. Джанелидзе

(Поступило 11.9.1986)

საფეობო მონიტორინგი

ა. ლებანიძე

ახალი გვარი ETALLONIOPSIS (HEXACORALLIA) დასავლით

საქართველოს ველურასეზორდული ნალიკებიდან

6 გ ზ ე ვ ე

გამოყოფილია ახალი გვარი *Etalloniopsis*. აღწერილია ტიპური სახე *Etalloniopsis georgica* sp. nov.

PALAEOONTOLOGY

Z. M. LEBANIDZE

A NEW GENUS *ETALLONIOPSIS* (HEXACORALLIA) FROM THE
UPPER OXFORDIAN DEPOSITS OF WESTERN GEORGIA

Summary

A new genus *Etalloniopsis* has been established in the family *Acroporidae Verrill*. It is close to other genera of the mentioned family mainly

due to the absence of endotheca (*Acrophora* Oken), presence of styliform columella (*Paretallonia* Sikharulidze), pores and sinapticula (*Etallonia* Roniewicz, *Paretallonia* Sikharulidze). A typical species—*Etalloniopsis georgica*, sp. nov.-is described.

ლიტერატურა — REFERENCES

1. Г. С. Кикодзе, Н. С. Бендукидзе, Т. А. Пайчадзе, М. В. Карабадзе. Вопросы геологии северо-западной части Абхазии. Тбилиси, 1972, 75—83.
2. D. Tigrnšek. Ac. Sci. et art. Slovenica, XV, 6, Ljubljana, 1972, 20-81.
3. Г. Я. Сихарулидзе. Сообщения АН ГССР, 68, № 3, 1972, 641—644.
4. E. Roniewicz. Paleont. Polonica, 34, Warszawa-Krakow, 1976, 17-121.

ПЕТРОЛОГИЯ

М. КУРЦЕ, В. ЛЕМКЕ, Р. ВИНХОЛЬЦ

НЕКОТОРЫЕ ЗАМЕЧАНИЯ К ТЕРМИНУ «КВАРЦИТ»

(Представлено членом-корреспондентом Академии Г. М. Заридзе 11.4.1986)

Кварцитовые породы постоянно привлекают большое внимание геологов. Причиной этого является главным образом народнохозяйственный аспект использования этих пород в качестве строительного материала, сырья для кварца, источника ценных минералов и др. Кварцитовые горизонты, залегающие в метаморфических породах, используются также для расчленения осадочных толщ и корреляции разрезов. Однако мнения о том, какие породы следует называть кварцитами, расходятся.

В настоящее время часть авторов относит кварциты к метаморфическим породам [1—4], некоторые применяют это понятие и по отношению к диагенезированным песчаникам с кремниевым цементом. Большинство же исследователей кварцитами называют плотные зернистые породы различного генезиса, обладающие гранобластовой структурой и содержащие кварц в количестве не менее 70%. Часть исследователей считает, что в типичных кварцитах содержание кварца должно достигать 80 и более процентов [2, 5].

Среди кварцитов выделяют следующие генетические типы, возникшие: 1) в процессе метаморфизма обогащенных кварцем пород (кварцевые пески, силициты, кислые магматиты) при повышенных давлениях, 2) в условиях контактового метаморфизма путем рекристаллизации богатых кварцем пород, 3) под воздействием метаморфических процессов по мономинеральным кварцевым исходным породам, 4) в результате заполнения пор пьемитов мобилизованным кремнеземом.

Авторы статьи выделяют среди кварцитов метакварциты (с дальнейшими подразделениями) и диакварциты. Термин «метакварцит» давно используется в английской литературе и характеризует метаморфизованную кварцевую породу, образованную в результате вышеупомянутых процессов — типы 1—3. Добавление букв и цифр к названию «метакварцит» способствует более точному определению его генетического типа. Так, метакварцит по исходным магматическим породам можно обозначить буквой α , а по осадочным — β . Кварциты, образованные под воздействием повышенного давления из кварцевых песков или силицитов, обозначаются как метакварцит 1β . При этом в случае известного исходного материала не исключаются названия «метапьемиты», «метакремнистые сланцы» и др. С типом 1β тесно связаны пьемиты, процесс уплотнения которых в основном обусловлен растворением в условиях повышенного давления, — так 38. „მთამთა“, გ. 127, № 3, 1987



называемые друккварциты [6]. По твердости большинства этих квартитов занимают промежуточное положение между нормальными песчаниками, у которых раздробление происходит вдоль границ зерен, и кварцитами в вышеотмеченном понимании. Переходные по твердости типы часто называют кварцитовыми песчаниками. К такому пониманию присоединяются и авторы.

Кварциты могут образоваться также из разных магматитов, главным образом из риолитов и андезитов, метасоматическим путем во время пост vulkanicheskikh процессов [5]. В советской литературе подобные образования называются вторичными кварцитами, а согласно авторам статьи, они относятся к генетическому типу метакварцитов—3.

Для кварцитов, образовавшихся за счет окремнения, т. е. за счет диагенетического процесса заполнения порового пространства пясмытитов кремнеземом, предлагается термин «диакварцит», для соответствующих окремнелых (силифицированных) песчаников — «цементный кварцит» или «киткварцит» [6]. К этому типу относятся широко распространенные третичные кварциты.

В английской литературе часто встречается термин «ортокварцит» для кварцевых песчаников, включающих в той или иной степени уплотненный материал, однако употребление его может внести путаницу, так как под ортопородами подразумеваются метаморфиты, возникшие по магматитам. Кроме того, с термином «кварцит» связывается представление об очень твердой породе. Так же обстоит дело и с термином «паракварцит», не пользующимся в английской литературе широким распространением и представляющим собой синоним метакварцита. Термин «протокварцит» соответствует песчаникам с лабильными фрагментами пород (от 5 до 25%) — субграувакки, богатые кварцем [7].

Горная Академия
Секция геонаук
ГДР, Фрайберг

(Поступило 18.4.1986)

БИБЛИОГРАФИЯ

А. Ашербах, В. Шеффер, Р. Винхольц

Члены научного коллектива «Геология и геохимия магматических пород»

Л. Е. С. М. Г.

Здесь приведены результаты исследований, выполненных в Институте геологии и минералогии Академии наук ГДР. Работа выполнена в рамках научного коллектива «Геология и геохимия магматических пород», членами которого являются А. Ашербах, В. Шеффер, Р. Винхольц, а также другие сотрудники института.

M. KURZE, W. LEMKE, R. WINCHOLZ

SOME REMARKS ON THE TERM "QUARTZITE"

Summary

Petrographically all granular and, predominantly, granoblastic quartitic rocks whose grains are so firmly connected to each other that fracture takes place mainly along the grain contacts can be classified among quartzites. According to their genesis, several types of metaquartzites are distinguished.

ЛІТЕРАТУРА — REFERENCES

1. P. Niggli. Gesteine und Minerallagerstätten.- Basel: Birkhäuser, 1952.
2. W. Fritsch, H. Meixner, H. Weiseneder. Zur quantitativen Klassifikation der kristallinen Schiefer. 2. Mitteilung. N. Jb. Min., Mh., Stuttgart 1967, S. 364-376.
3. L. Pfeiffer, M. Kurze, G. Matthe. Einführung in die Petrologie. 2. Aufl. Berlin: Akademie-Verlag, 1985.
4. Петрографический словарь. М., 1981.
5. Г. М. Заридзе. Петрография магматических метаморфических пород. М., 1981.
6. H. Füchtbauer, G. Müller. Sedimente und Schimentgesteine. Stuttgart: E. Schweizerbart'sche Verlagsbuchhandlung, 1970.
7. F. J. Pettijohn. Classification of sandstones. J. Geol., Chicago 62, 1954, 8. 360-365.

МИНЕРАЛОГИЯ

Г. И. НАСИДЗЕ, Р. А. АХВЛЕДИАНИ

О ХОДЕ КРИСТАЛЛИЗАЦИИ ПИРОКСЕНОВ И АМФИБОЛОВ
ИЗ ВУЛКАНОГЕННЫХ ПОРОД АДЖАРО-ТРИАЛЕТИИ

(Представлено членом-корреспондентом Академии Н. И. Схиртладзе 24.1.1986)

Исследователи, изучающие вулканогенные породы, обычно имеют дело с суммарным продуктом интэртеллурической и эфузивной стадии кристаллизации расплава [1], где существенное влияние на формирование пород и минералов оказывает ход кристаллизации [2]. Изученные мономинеральные фракции пироксенов и амфиболов являются суммарным продуктом обеих стадий кристаллизации и отвечают минералам как основной массы, так и вкрапленникам.

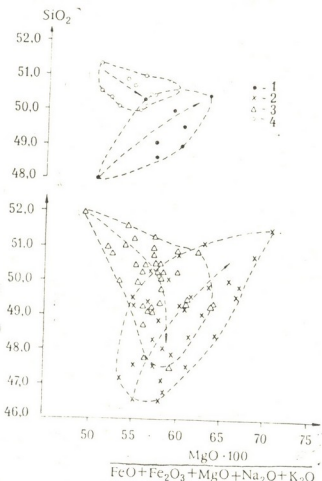


Рис. 1. Распределение содержания кремнезема в ходе кристаллизации базальтовых пород центральной части Аджаро-Триалетии (1—адигенская свита, 2—секущие жилы средненеоценовых брекчий, 3—лавовые покровы среднего зоцена, 4—палеоцен-нижненеоценовые силлы)

Ход кристаллизации минералов был прослежен на основании распределения содержания кремнезема и магнезиальности с коэффициентом затвердевания [2], выраженным отношением MgO к сумме окис-

лов железа, щелочей и магния (рис. 1, 2, 3), в ходе формирования базальтоидных пород Аджаро-Триалетии.

Анализ диаграммы (рис. 1) по пироксенам из центральной части региона показал, что для андезитов и андезитофаций известковой серии палеоцен-нижнеэоценового силла района с. Вашловани дифференциация состава авгитов по силиции происходит в узких пределах и с увеличением степени раскристаллизованности пород, выраженной в условных единицах, колеблется от 50 до 60%, причем отмечается тенденция падения кремнеземистости авгитов с увеличением степени затвердевания. Аналогичная тенденция наблюдается и для эндопсайдов лавовых фаций базальтов и андезитобазальтов субщелочной серии (Квабисхевская свита).

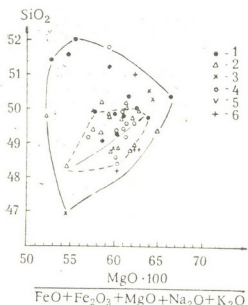


Рис. 2. Распределение содержания кремнезема в ходе кристаллизации базальтовых пород Аджарии и Гурии (1 — среднеэоценовые брекчи, 2 — лавовые покровы, 3 — секущие жилы, 4 — туфопесчаники, 5 — цемент среднеэоценовых брекций, 6 — интрузивы)

Иную картину кристаллизационной дифференциации, а вместе с ней распределения кремнезема дают диопсиды жильных образований субщелочной серии верхней туфобрекчийской части вулканогенной толщи среднего эоцена (двиская свита) и авгиты из трахибазальтов и трахиандезитов щелочной серии адигенской свиты. В них предел раскристаллизованности колеблется в более широких пределах (от 53 до 71%) и имеет место повышение содержания кремнезема в пироксенах с увеличением степени затвердевания.

С явлением различного хода кристаллизации связан ряд особенностей, выраженных, с одной стороны, более высокой щелочностью пород жильных образований среднего эоцена и особенно адигенской свиты, а с другой — присутствием в них амфиболов в парагенезисе с пироксеном, чего не наблюдается в силловых фациях палеоцена-нижнего эоцена и лавах среднего эоцена, по-видимому, из-за меньшей водонасыщенности последних.

На рис. 2 приведено распределение содержания кремнезема в ходе кристаллизации из суммарных выборок базальтовых пород вулканогенных комплексов Аджарии (сплошная линия) и Гурии (пунктирная линия) с учетом литологии пироксенсодержащих пород. Кристаллизация пироксенов из Гурии по сравнению с пироксенами из Аджарии, проходит в более узких пределах, и коэффициент затвердевания локализуется в интервале от 54 до 64% (в пироксенах из Аджарии от 52 до 67%) с небольшим разбросом содержания кремнезема. Прослеживается также тенденция хода кристаллизации, когда с увеличением степени затвердевания отмечается повышение содержания кремнезема, чего не обнаруживается в пироксенах Аджарии, хотя для некоторых

типов пород, например брекчий, оно фиксируется и выявляет противоположную тенденцию.

Весьма показательно распределение магнезиальности изученных пироксенов в процессе кристаллизации, которое имеет определенные закономерности их размещения в зависимости от состава пород и времени затвердевания (рис. 3).

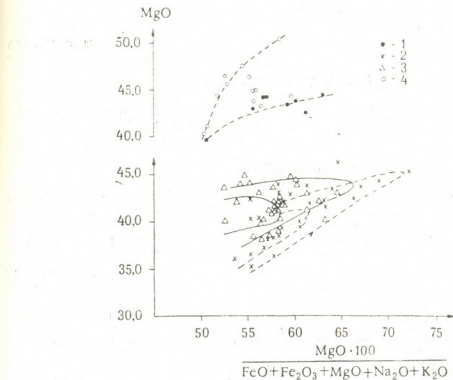


Рис. 3. Распределение магнезиальности в ходе кристаллизации базальтовых пород центральной части Аджаро-Триалетии (1 — адигенская свита, 2 — секущие жилы средненеоценовых брекчий, 3 — лавовые покровы среднего эоцена, 4 — палеоцен-нижнеэоценовые силлы)

Наиболее существенное, четко фиксируемое, типоморфное отличие заключается в том, что для пород палеоцена-нижнего эоцена характерно присутствие авгитов, обогащенных клиноэнстатитом, в ассоциации с ромбическим пироксеном, тогда как для адигенской свиты, для которой характерно повышенное значение окислительного потенциала, кристаллизуются относительно менее магнезиальные авгиты в ассоциации с роговой обманкой.

Для пироксенов из пород основной массы вулканогенов среднего эоцена наблюдаются два типа кристаллизации: первый — ромбический пироксен + эндопсид \rightarrow эндопсид — характерен для базальтового ряда пород; второй — ромбический пироксен + диопсид \rightarrow диопсид — отмечается в породах андезитового ряда. В обоих случаях с увеличением кристалличности вмещающих пород и уменьшением температуры и давления левая часть равновесия заменяется правой.

В отличие от пироксенов, амфиболы характеризуются более низким коэффициентом затвердевания, что указывает на более раннюю стадию их кристаллизации. Это явление свидетельствует о том, что образование водосодержащих минералов, в том числе и амфиболов, происходило в основном в интертектоническую — высокотемператур-

ную стадию кристаллизации расплава [1], а образование пироксенов продолжалось также в эффузивную — более низкотемпературную стадию кристаллизации.

Академия наук Грузинской ССР
Геологический институт
им. А. И. Джанелидзе

(Поступило 3.4.1986)

მინისტრი

გ. Насидзе, რ. Ахвледiani

აჭარა-თრიალეთის ვულკანოგენური კანიგის პიროქსენებისა და
ამფიბოლების კრისტალიზაციის შესახებ

რეზიუმე

მინერალებში კაუმიშისა და მაგნიუმიანობის კავშირი გამყარების კოეფიციენტთან საშუალებას გვაძლევს დავადგინოთ პიროქსენებისა და ამფიბოლების კრისტალიზაციის თავისებურებანი სხვადასხვა ტიპის ვულკანოგენურ ქანებში.

MINERALOGY

G. I. NASIDZE, R. A. AKHVLEDIANI

ON CRYSTALLIZATION OF RYXOGENES AND AMPHIBOLES
FROM THE ADJARO-TRIALETI VOLCANIC ROCKS

Summary

Relationship between silica content and magnesiality in minerals with their solidification ratio enables one to determine crystalline features of pyroxenes and amphiboles in various volcanic rocks.

ლიტერატურა — ЛИТЕРАТУРА — REFERENCES

1. А. С. Остроумова, И. Я. Центер, А. Г. Сысоев. ЗВМО, вторая серия, ч. 105, вып. 2, 1976.
2. Х. Кун. В кни: «Химия земной коры», т. 2. М., 1964.

МЕТАЛЛУРГИЯ

Р. А. ЦХАДАЯ, Д. И. БАГДАВАДЗЕ,
Г. Г. ГВЕЛЕСИАНИ (член-корреспондент АН ГССР)

ИССЛЕДОВАНИЕ ВЗАИМОДЕЙСТВИЯ В СИСТЕМЕ
Mn—Si—Ca—O—C

В настоящей работе изучена кинетика совместного восстановления смесей оксидов марганца, кремния и кальция углеродом на высокотемпературной установке с автоматической записью скорости процесса по методу, описанному в [1]. В качестве исходных материалов использованы: бой кварцевого стекла, оксиды марганца (Mn_2O_3 , полученный прокаливанием при 500—600°C перекиси марганца) и кальция квалификации ч.д.а., а также спектрально чистый графит. Последний во всех опытах брали в количествах, соответствующих полному восстановлению оксидов с образованием CO. В экспериментах использовали порошки реагентов крупностью <0,07 мм. Шихту (10—12 г) готовили путем длительного смешения реагентов, после чего ее брикетировали при давлении 150 кг/см².

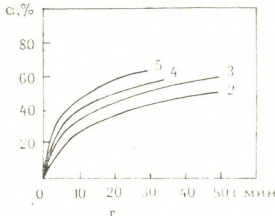
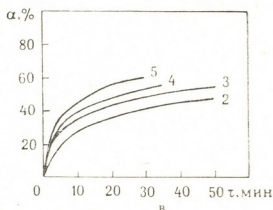
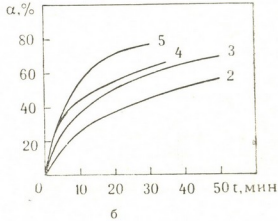
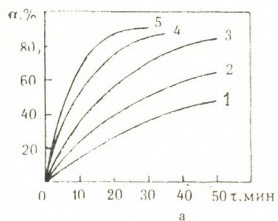


Рис. 1. Суммарные кинетические кривые совместного восстановления смеси оксидов MnO , SiO_2 и CaO графитом. Состав шихты — мол. отн. $MnO/SiO_2=2$ с добавкой CaO — 5 масс.-% (а); 10 масс.-% (б); 15 масс.-% (в); 20 масс.-% (г); 1—1450°C; 2—1500°C; 3—1550°C; 4—1600°C; 5—1650°C

Перед каждым опытом осуществляли восстановление Mn_2O_3 шихты до MnO при $\sim 1000^\circ\text{C}$.

При изучении особенностей этого процесса использованы шихтовые материалы восьми составов: мольное отношение $MnO/SiO_2=2$ и 1 с добавкой CaO — 5; 10; 15 и 20 масс. %.

На рис. 1 даны результаты опытов по восстановлению шихты мольного состава $MnO/SiO_2=2$ с разной добавкой CaO . Во всех случаях повышение температуры от 1500 до $1650^{\circ}C$ интенсифицирует протекание процесса. Эффект влияния температуры на кинетику и степень восстановления (а) наиболее наглядно демонстрируется при использовании шихты с добавкой 5 масс. % CaO , для которой процесс выше $1550^{\circ}C$ заканчивается практически за 30 мин. В случае использования больших количеств оксида кальция наблюдаются относительно низкие скорости восстановления, а для шихты с добавкой 20 масс. % CaO процесс после 30 мин практически затухает с низким значением α .

Аналогичная картина влияния температуры наблюдается и при восстановлении шихты мольного состава $MnO/SiO_2=1$. Отличие заключается в том, что, несмотря на невысокие начальные скорости процесса, конечный показатель восстановления для температур $>1550^{\circ}C$ выше, чем у шихты мольного состава $MnO/SiO_2=2$.

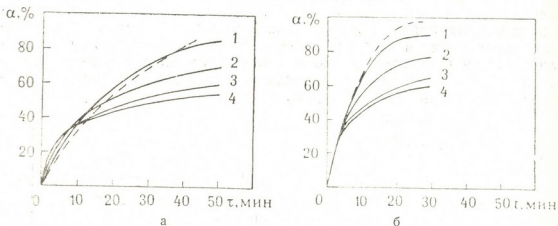


Рис. 2. Суммарные кинетические кривые совместного восстановления смеси оксидов MnO , SiO_2 и CaO графитом. Температура: $1550^{\circ}C$ (а); $1650^{\circ}C$ (б). 1—5 масс. % CaO ; 2—10 масс. % CaO ; 3—15 масс. % CaO ; 4—20 масс. % CaO . Состав шихты—мол. отн. $MnO/SiO_2=2$. —— без добавки CaO
— с добавкой CaO

На рис. 2 представлены результаты опытов по влиянию количества добавки CaO в шихту (мольное отношение $MnO/SiO_2=2$) на кинетику восстановления. При температуре $1550^{\circ}C$ его увеличение обуславливает повышение начальной скорости восстановления и соответственно снижение величины α . С ростом температуры эта закономерность проявляется в меньшей степени, однако конечные результаты опытов аналогичны наблюдаемым при более низких температурах.

Для всех исследуемых температур, за исключением $1650^{\circ}C$, начальная скорость восстановления двухкомпонентной шихты ($2MnO + SiO_2$) ниже таковой для смесей с добавкой CaO . Однако к концу процесса ее степень восстановления характеризуется более высокими показателями по сравнению с шихтой с CaO .

Полученные данные о влиянии добавок оксида кальция в шихту, очевидно, следует объяснить ослаблением в расплаве связи оксида марганца с кремнеземом за счет образования новых более устойчивых комплексов между CaO и SiO_2 . Это и обуславливает увеличение начальной скорости процесса (в основном за счет MnO), а в последующем его ухудшение из-за осложнения условий восстановления SiO_2 [2]. Эффект тем нагляднее, чем больше содержание оксида кальция в шихте и ниже температура процесса (из-за ослабления связей меж-

ду $\text{CaO} - \text{SiO}_2$ при высоких температурах). Вышесказанным и следует объяснить также низкие начальные и высокие конечные скорости восстановления двухкомпонентной шихты по сравнению с шихтой с CaO .

Наблюдаемая закономерность не воспроизводится при восстановлении шихты мольного состава $\text{MnO}/\text{SiO}_2 = 1$ с добавкой CaO из-за высокого содержания кремнезема.

Полученные сплавы при восстановлении шихт мольного состава $\text{MnO}/\text{SiO}_2 = 2$ и 1 с добавкой 10 масс.% CaO содержат соответственно: марганца — 78,0—72,7; кремния — 17,6—24,6; кальция — 0,7—0,7, углерода — 2,5—1,4.

Академия наук Грузинской ССР

Институт metallurgии

им. 50-летия СССР

(Поступило 28.2.1986)

მიზანი

რ. ცხადაია, გ. ბაგდავაძე, გ. გველიანი (საქ. სსრ მეცნ. აკადემიის წევრ-კორესონდენტი)

ურთიერთქმილების შესახლა $\text{Mn}-\text{Si}-\text{Ca}-\text{O}-\text{C}$ სისტემაში

რეზუმე

მაღალტემპერატურიან დანადგარზე პროცესის მსვლელობის დროს წონის დანაკარგის უწყვეტი ავტომატური ჩაწერით $1450-1650^{\circ}\text{C}$ ტემპერატურულ შუალედში შესწავლილია სხვადასხვა შედგენილობის $\text{MnO}-\text{SiO}_2-\text{CaO}$ ნარევის ნახშირბადით აღდგენის კინეტიკა.

METALLURGY

R. A. TSKHADAIA, D. I. BAGDAVADZE, G. G. GVELESIANI

INVESTIGATION OF INTERACTION IN $\text{Mn}-\text{Si}-\text{Ca}-\text{O}-\text{C}$ SYSTEMS

Summary

Kinetics of reduction processes of $\text{MnO}-\text{SiO}_2-\text{CaO}$ mixture by graphite has been investigated at different temperatures by the weight decrease method on a high temperature installation with continuous automatic recording. During the study 8 different compositions of charge were used, the mole ratio $\text{MnO}/\text{SiO}_2 = 2$ and 1 with additions of CaO -5, 10, 15 and 20 mass %. It has been established that a rise in temperature increases the rate of the process; for charges with $\text{MnO}/\text{SiO}_2 = 2$ an increase of CaO content steps up the initial rate of reduction process and, accordingly, decreases the degree of charge reduction; such dependence is not observed for charges with $\text{MnO}/\text{SiO}_2 = 1$.

ლიტერატურა — REFERENCES

- Г. Г. Гвелесиани, Д. И. Багдavadze, Р. А. Цхадая. Сб. «Совершенствование технологии производства марганцевых сплавов». Тбилиси, 1983, 72—84.
- Д. А. Кисин, А. Г. Ященко, Н. М. Москалева. Сб. «Марганец», 2 (61). Тбилиси, 1978, 42—57.

МЕТАЛЛУРГИЯ

З. У. ДЖАБУА, Т. О. ДАДИАНИ, Л. Н. ГЛУРДЖИДЗЕ,
Э. В. ДОКАДЗЕ, В. В. САНАДЗЕ

ПРИГОТОВЛЕНИЕ ТОНКИХ ПЛЕНОК МОНОАНТИМОНИДА САМАРИЯ

(Представлено членом-корреспондентом Академии Г. Г. Гвелесиани 9.4.1986)

Моноантимониды редкоземельных элементов считаются перспективными материалами для микроэлектроники [1, 2], и поэтому разработка технологии получения тонких пленок этих соединений является актуальной задачей.

В настоящей работе разработана технология приготовления тонких пленок моноантимонида самария методом вакуумного термического напыления из двух независимых источников на подложках из лейкосапфира, поликристаллического ситалла и монокристаллического кремния. В качестве исходных материалов использовались металлический самарий I сорта и сурьма марки Су 0000. Толщина приготовленных пленок составляла $0,2 \pm 1,3$ мкм. Фазовый состав и кристалличность проверялись рентгенодифрактометрическими исследованиями. Проведенные эксперименты показали, что на всех использованных материалах подложки образуются кристаллические пленки. Типичная дифрактограмма тонкой пленки SmSb представлена на рис. 1. Параметр решетки оказался равным $(6,27 \pm 0,01) \cdot 10^{-10}$ м, что

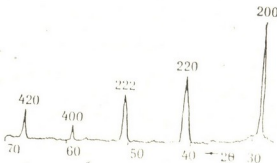


Рис. 1. Дифрактограмма тонкой пленки моноантимонида самария (толщина пленки $\sim 1,2$ мкм, материал подложки — ситалл, излучение CuK_{α})

хорошо согласуется с литературными данными для объемного кристалла [3]. Пребывание полученных пленок на воздухе в течение примерно 3—4 дней не приводит к появлению дополнительных линий на дифрактограмме, что, по-видимому, говорит об относительной устойчивости пленки на воздухе.

Для определения электрофизических параметров на приготовленные пленки методом вакуумного термического испарения были нанесены обычные двухслойные контактные площадки, состоящие из хро-



ма (нижний слой) и меди. Измерения эффекта Холла и удельного сопротивления проводились на постоянном токе при 300 К, а величина постоянного магнитного поля составляла $1,4 \cdot 10^6$ А/м.

Электросопротивление пленок при комнатной температуре $3 \cdot 10^{-6}$ Ом·м довольно хорошо согласуется с величиной ρ объемного материала [4]. Величина же постоянной Холла оказалась несколько меньше ($\sim 3 \cdot 10^{-10}$ м³/Кл), что меньше также значения, которое соответствует одному свободному носителю на атом самария. Мала и величина холловской подвижности $\sim 10^{-4}$ м²/В с. Видимо, следует предположить, что в пленках моноантимонида самария электропроводность обусловлена и электронами, и дырками. Поскольку в этом случае нельзя применять однозонное приближение, то трудно судить о величине концентрации свободных носителей в приготовленных пленках.

Можно также отметить, что значения электрофизических параметров пленок SmSb очень близки к результатам, полученным для этих величин пленок «золотой» фазы моносульфида самария, где, как известно, атом самария находится в состоянии промежуточной валентности.

Грузинский политехнический институт
им. В. И. Ленина

(Поступило 11.4.1986)

საქართველოს

ზ. ჯაბუა, თ. დადიანი, ლ. გლურჯიძე, ე. დოკაძე, ვ. სანაძე

საქართველოს მონაცემითი მინისტრის მიღების

რეზიუმე

დამუშავებულია SmSb თხელი ფირების მიღების ტექნოლოგია ვაკუუმურ-თერმული აორთქლების მეთოდით. 300 K-ზე თხელი ფირების კუთრი ელექტროწინაღობისა და ჰოლის კოეფიციენტის მნიშვნელობები შესაბამისად ტოლია $\sim 3 \cdot 10^{-6}$ მმ²/A და $\sim 3 \cdot 10^{-10}$ მ³/C.

METALLURGY

Z. U. JABUA, T. O. DADIANI, L. N. GLURJIDZE, E. V. DOKADZE,
V. V. SANADZE

PREPARATION OF THIN SAMARIUM MONOANTIMONIDE FILMS

Summary

Procedures and techniques have been developed for the preparation of thin SmSb films by the method of vacuum thermal deposition. Electrical resistance of prepared films amounts to $\sim 3 \cdot 10^{-6}$ Ohm·m and the Hall coefficient to $\sim 3 \cdot 10^{-10}$ m³/C at 300 K.



ЛІТОГРАФІЯ — ЛІТЕРАТУРА — REFERENCES

1. Г. В. Самсонов, М. Н. Абдузалимова. Сб. «Антимониды». Душанбе, 1977, 94—132.
2. Г. В. Самсонов, М. Н. Абдузалимова, О. Р. Бурнашев, Э. П. Григорьева. Сб. «Исследование свойств соединений РЗМ». Киев, 1975, 62—65.
3. Г. В. Самсонов, М. Н. Абдузалимова, Х. Шокиров, С. А. Пряхина. Изв. АН СССР, Неорг. мат., т. 10, № 11, 1974, 1951—1954.
4. М. Н. Абдузалимова, Ю. Б. Падерно, Л. А. Иванченко, Х. Шокиров. Сб. «Тугоплавкие соединения редкоземельных металлов». Новосибирск, 1978, 105—109.

МЕТАЛЛУРГИЯ

В. И. ЕРЕМЕНКО, Л. Е. ГУКАСЯН, Д. А. НОЗАДЗЕ

КОНЦЕНТРАЦИЯ ПРОДОЛЬНЫХ НАПРЯЖЕНИЙ ВОКРУГ
ХРУПКОГО РАЗРУШЕННОГО ВОЛОКНА КОМПОЗИЦИОННОГО
МАТЕРИАЛА С ПЛАСТИЧНОЙ МАТРИЦЕЙ

(Представлено членом-корреспондентом Академии Р. Ш. Адамия 14.5.1987)

Для изучения поля напряжений в волокнистом композиционном материале (ВКМ) вокруг разрушенного волокна в работе [1] впервые решена объемная задача упругости при продольном нагружении ВКМ. При этом рассмотрены только разрушенное волокно и окружающая его матрица. Однако для оценки прочности ВКМ необходимо также знать поле напряжений в волокнах, ближайших к разрушенному, и учитывать пластичность матрицы.

В настоящей работе предпринята попытка выявить поле продольных напряжений (ПН) в ближайших к разрушенному неразрушенных волокнах. Для этого методом конечных элементов решена объемная

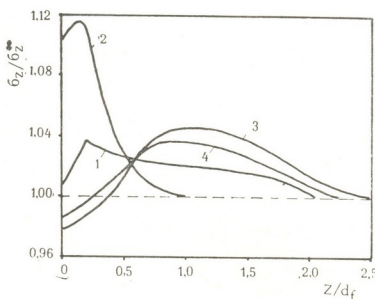


Рис. 1. Изменение продольных напряжений на поверхности неразрушенного волокна в продольном направлении: 1,3 — упруго-пластическое решение; 2,4 — упругое решение; 1,2 —

$$V_f = 0,67; 3,4 - V_f = 0,27$$

упруго-пластическая задача. Для повышения точности расчетов применено адаптируемое изменение сетки конечных элементов. ВКМ моделировался так же, как в работе [1], с той разницей, что два коаксиальных цилиндра, имитирующие разрушенное волокно и матрицу, заключены в третий коаксиальный цилиндр, имитирующий неразрушенные волокна. Место разрушения волокна трактовалось как диско-

образная трещина, не проникающая в матрицу. Принималось, что волокно деформируется только упруго, а кривая растяжения матрицы аппроксимировалась кусочно-линейной функцией. В области пластической деформации матрицы учитывалось изменение коэффициента Пуассона.

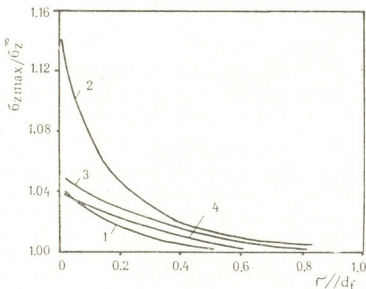


Рис. 2. Изменение максимальных продольных напряжений в неразрушенном волокне в радиальном направлении: 1,3—упруго-пластическое решение; 2,4—упругое решение; 1,2— $V_f = 0,67$; 3,4— $V_f = 0,67$

$$V_f = 0,67; 3,4—V_f = 0,67$$

На рис. 1 и 2 приведено распределение локальных ПН σ_z в волокне, ближайшем к разрушенному, для боралиминия со стандартной, мало упрочняемой и пластичной матрицей АД1. В расчетах принималось: модуль упругости волокна — 420000 МПа; коэффициент Пуассона волокна — 0,11 [2]; модуль упругости матрицы — 70000 МПа; коэффициент Пуассона матрицы в упругой области — 0,31. Предполагалось, что волокна нагружены

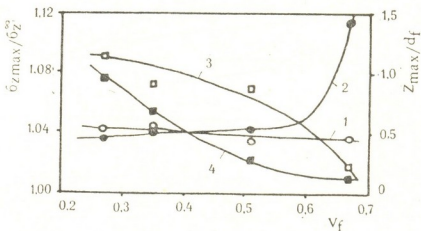


Рис. 3. Зависимость максимальных продольных напряжений в неразрушенном волокне и их продольной координаты от объемной доли волокон: 1,3—упруго-пластическое решение; 2,4—упругое решение; 1,2— σ_z ; 3,4— z_{\max}

$$2,4—\text{упругое решение}; 1,2—\sigma_z; 3,4—z_{\max}$$

ПН растяжения $\sigma_z^\infty = 1000$ МПа. Отметим, что увеличение σ_z^∞ в 2 раза привело к двукратному росту σ_z , что позволило представить изменение локальных ПН в безразмерных единицах σ_z/σ_z^∞ , характеризующих концен-

рацию продольных напряжений (КПН). По оси абсцисс отложены текущие координаты поля напряжений в продольном (z) и радиальном (r) направлениях в долях диаметра d_f волокна, начало координат — в точке пересечения плоскости трещины с образующей рассматриваемого волокна. Полученные графики показывают, что максимальные значения ПН $\sigma_{z_{\max}}$, как при упругом, так и при упруго-пластическом решении достигаются не в плоскости трещины, а на некотором расстоянии z_{\max} от нее, причем чем меньше объемная доля V_f волокна, тем больше z_{\max} , что более наглядно представлено на рис. 3. Наиболее нагруженной оказывается поверхность волокна (рис. 2), ближайшая к трещине ($r=0$). Сопоставление кривых 1 и 2 на рис. 3 показывает, что КПН слабо зависит от V_f как в упругом, так и в упруго-пластическом решении и приблизительно равна 1,04. Исключение составляют ВКМ с $V_f > 0,6$, для которых при упругом решении с увеличением V_f наблюдается резкий рост КПН. В связи с тем что прочность хрупких волокон зависит от их длины, важное значение приобретает протяженность z_c зоны КПН в продольном направлении. Приведенные на рис. 4 кривые показывают, что при упругом решении поставленной задачи z_c уменьшается с увеличением V_f , а при упруго-пластическом — z_c не зависит от V_f и равна двум диаметрам волокна.

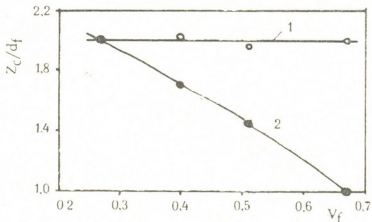


Рис. 4. Зависимость протяженности зоны концентрации продольных напряжений от объемной доли волокон: 1 — упруго-пластическое решение; 2 — упругое решение

Таким образом, в ВКМ с пластичной, слабо упрочняемой матрицей протяженность зоны и величина концентрации продольных напряжений в волокнах, окружающих разрушенное, не зависят от объемной доли волокон.

В сравнении с упругим решением учет пластической деформации матрицы приводит к снижению величины концентрации продольных напряжений в ВКМ с объемной долей волокон, превышающей 0,6, и возрастанию протяженности зоны концентрации продольных напряжений в ВКМ с объемной долей волокон, превышающей 0,25.

8. მრევინი, ლ. გუკასიანი, დ. ნოზაძე

პლასტიკური მატრიცის მქონე კომპოზიტურ მასალაში გყიფი
დარღვეული ბოჭკოს გარშემო გრძივი ძაბვების კონცენტრაცია

რეზიუმე

გრძივი ძაბვებით დატვირთულ ბორალუმინის ტიპის ბოჭკოვინ კომპოზიტ-ში სასრული ელემენტების მეთოდით ამოხსნილია მოცულობით დრეკადი და დრეკად-პლასტიკური ამოცანა. ანგარიში შესრულებულია კოაქტიულური ცი-ლინდრების მოდელზე, სადაც იმიტირებულია დარღვეული ბოჭკო, მისი გარე-მომცველი მატრიცის ფენა და უახლოეს დაურღვეველი ბოჭკოები. შესწავლი-ლია გრძივი ძაბვების ცვლილების ძირითადი კანონზომიერებანი, რომლებიც ახდენენ უმთავრეს გავლენას ბოჭკოვანი კომპოზიტის სიმტკიცეზე მატრიცის დრეკადი და დრეკად-პლასტიკური დეფორმაციებისას.

METALLURGY

V. I. EREMENKO, L. E. GUKASYAN, D. A. NOZADZE

CONCENTRATION OF LONGITUDINAL STRESSES AROUND
BRITTLE DESTRUCTED COMPOSITE MATERIAL FIBRE
WITH ELASTIC MATRIX

Summary

Volume elastic and elastic-plastic problems for fiber composites of bor-aluminium type loaded with longitudinal stresses have been solved by the method of finite elements. Calculation has been carried out on a coaxial cylinder model, simulating the destroyed fiber, matrix layer and the nearest undestroyed fibers. The main regularities of longitudinal stress changes affecting fiber composite strength have been studied at elastic and elastic-plastic matrix strain.

ЛІТЕРАТУРА — REFERENCES

1. W. L. Ko. J. Composite Materials, 1978, v. 12, N 1, p. 97—115.
2. А. Ф. Жигач, А. М. Цирлин. ЖВХО, т. 23, № 3, 1978, 264—272.

МАШИНОВЕДЕНИЕ

Р. Р. КОБИАШВИЛИ

МАТЕМАТИЧЕСКОЕ МОДЕЛИРОВАНИЕ НА ЦВМ ДИНАМИЧЕСКИ НЕУСТОЙЧИВОГО ПРОЦЕССА ПРОКАТКИ ПРИ БУКСОВАНИИ

(Представлено членом-корреспондентом Академии М. В. Хвингия 16.3.1987)

При использовании метода сдвоенной прокатки слитков, а также в случае перевода реверсивных прокатных станов на автоматическое управление возрастают потребность в надежной защите конструкции от пробуксовок. Для этого необходимо разработать эффективные средства обнаружения пробуксовок в начальной стадии их возникновения и последующей выдачи сигнала на быстро реагирующее устройство с целью предотвращения развития динамических нагрузок до опасных критических величин. Искомый параметр электромеханической системы должен удовлетворять следующим условиям: практически мгновенно реагировать на начало буксования валков; изменяться по величине при переходе к неустойчивому режиму работы стана; возможности вывода параметра регулирования работающего агрегата простейшими средствами.

Экспериментальный поиск такого параметра практически нереализуем, так как связан с возникновением аварийных ситуаций. Более приемлемым является поиск методов математического моделирования пробуксовок на ЦВМ.

Условие частичного буксования выполняется при

$$\gamma_1 > 0; \quad \gamma_2 \leq 0; \quad (1)$$

условию полного буксования соответствует

$$\gamma_1 \leq 0; \quad \gamma_2 < 0, \quad (2)$$

где γ_1, γ_2 — критические углы на верхнем и нижнем валках при прокатке в валках неравного диаметра [1].

С переходом от устойчивого режима прокатки на полное буксование валков момент технологического сопротивления претерпевает разрыв и определяется по формуле

$$M_i = f_{ckl} P_i R_i \quad (i=1, 2), \quad (3)$$

где f_{ckl} — коэффициент трения скольжения; P_i — усилие прокатки; R_i — радиус валка (индексом $i=1$ обозначены характеристики валка меньшего диаметра, индексом $i=2$ — большего диаметра).

Коэффициент трения скольжения получен в результате математической обработки экспериментальных кривых [2]; для участка падающей характеристики получена следующая зависимость коэффициента трения от скорости скольжения:

$$f_{ckl} = f_{ni} - \sum_{n=1}^7 a_n V_i^n. \quad (4)$$

Здесь f_n — коэффициент трения покоя; V_i — круговая скорость валка; a_n — постоянные коэффициенты; для стали 40 $a_1 = 0,3933443$, $a_2 = -0,288905$, $a_3 = -0,0586952$, $a_4 = 0,2120635$, $a_5 = -0,120022$, $a_6 = 0,0287659$, $a_7 = -0,0025256$. Расчетные значения f_{ckl} по формуле (4) отличаются от данных, полученных экспериментально, на 1—3% при

$$0 < V_i \leq 3 \text{ м/с.}$$

При устойчивости процесса прокатки момент инерции слитка определяется между валками равномерно. В условиях частичного буксования весь момент инерции присоединяется к верхнему валку, а при полном буксовании валков момент инерции слитка $J_0 = 0$.

Ввод полученных зависимостей (1)–(4) в математическую модель трёхмассовой электромеханической упругой системы главной линии обжимного прокатного стана типа 1000, движение которого описывается следующими дифференциальными уравнениями:

$$\begin{aligned} \frac{dJ}{dt} &= \frac{1}{L_y} [U(t) - R_y J - C_e \dot{\varphi}_{01}]; \\ \theta_1 \frac{d^2\varphi_{01}}{dt^2} &= M_D - M_{12} - M_{13} - q_{12}(\dot{\varphi}_{01} - \dot{\varphi}_1) - q_{13}(\dot{\varphi}_{01} - \dot{\varphi}_2); \\ (J_1 + \theta_2) \frac{d^2\varphi_1}{dt^2} &= M_{12} + q_{12}(\dot{\varphi}_{01} - \dot{\varphi}_1) - M_1; \\ (J_2 + \theta_3) \frac{d^2\varphi_2}{dt^2} &= M_{13} + q_{13}(\dot{\varphi}_{01} - \dot{\varphi}_2) - M_2, \end{aligned} \quad (5)$$

позволяет наряду с устойчивым режимом работы получить неустойчивый режим работы стана (в уравнениях обозначения стандартные и приводятся в [3]).

Разработана ФОРТРАН-программа для ЦВМ ЕС, описывающая холостой режим движения и реверс главной линии обжимного прокатного стана, переходный и стационарный устойчивые режимы прокатки, частичное и полное буксование валков. Условия буксования валков в программе представлены в виде отдельного блока, который подключается при определенных, заранее неизвестных параметрах системы (скорость валков, материал и состояние поверхности валков, материал и температура поверхностей прокатываемого металла, присутствие печной окалины на поверхности металла, величина обжатия, радиус валков и др.).

В программе предусмотрено условие устойчивого захвата слитка валками $f_n \geq \operatorname{tg} \left(\frac{\alpha_1 + \alpha_2}{2} \right)$; при $f_n < \operatorname{tg} \left(\frac{\alpha_1 + \alpha_2}{2} \right)$ захвата не происходит.

Результаты решения показывают, что в зависимости от температуры прокатываемого металла и состояния поверхности валков при обжатии $\Delta H = 70$ мм предельная скорость устойчивого захвата валков колеблется в пределах 20—30 об/мин.

На рис. 1 представлены характерные кривые, полученные на модели при обжатии прокатываемого металла $\Delta H = 70$ мм; M_{13} — колебания упругого момента нижнего шпинделя; P — усилие прокатки; $\frac{d\varphi_{01}}{dt}$, $\frac{d\varphi_2}{dt}$ — угловые скорости двигателя главного привода и нижнего валка; J — сила тока двигателя; $\frac{d^2\varphi_2}{dt^2}$ — угловое ускорение нижнего валка; U — напряжение цепи якоря двигателя. Результаты моделирования показывают, что при скорости

двигателя $\frac{d\varphi_{01}}{dt} = 5,4$ рад/с происходит переход от устойчивого режима прокатки к полному буксование валков, сопровождающийся падением силы тока двигателя главного привода. В главной линии стана возбуждаются автоколебания со значительными амплитудами. Упругие моменты проходят через нулевые значения, что приводит к раскрытию зазоров приводной линии, сопровождающееся ударами. На

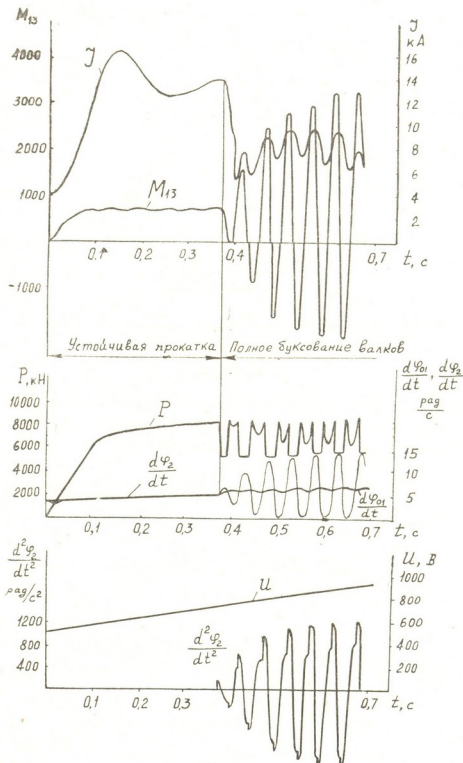


Рис. 1

осциллографме наряду с механическими колебаниями видны колебания силы тока двигателя, что свидетельствует о взаимном влиянии механической и электрической систем. Двигатель главного привода слабо реагирует на крутильные колебания, поскольку момент инер-

ции якоря составляет примерно 95% общего момента инерции электромеханической системы.

Процесс полного буксования сопровождается высокоамплитудными колебаниями упругих моментов, усилия прокатки, скорости и ускорений валков. Коэффициент трения покоя в зависимости от величины параметров системы изменяется в пределах $f_{ni} = 0,3 - 0,55$; коэффициент трения скольжения $f_{ck} = 0,07 - 0,25$.

Исследования показали, что наиболее подходящим параметром, отвечающим всем поставленным требованиям, является ускорение нижнего валка, которое можно использовать в качестве командного сигнала. В момент начала буксования возникающий скачкообразный сигнал ускорений валка поступает на блок управления двигателя. Двигатель реагирует на поступающий сигнал уменьшением оборотов, что приводит к увеличению коэффициента трения скольжения между валками и прокатываемым металлом, способствуя выводу стана из опасного режима.

Академия наук Грузинской ССР
 Институт механики машин

(Поступило 13.3.1987)

მართვა უსაფრთხოება

6. პოპილაცია

ციფრულ გამოტვლით მანქანაზე დინამიურად არამდგრადი ბლინვის პროცესის მათემატიკური მოდელირება ასრიალების დროს

რეზიუმე

შედგენილია მომჭიმავი საგლინავი დგანის მთავარი ხაზის ელექტრო-მექან-ტექნოლოგიური სისტემის მათემატიკურ მოდელი, გლინების სხმულებულების ასრიალების დაწყების პირობების გათვალისწინებით.

MACHINE BUILDING SCIENCE

R. R. KOBIASHVILI

MATHEMATICAL SIMULATION OF UNSTABLE MILLING PROCESS DYNAMICS AT SKIDDING ON DIGITAL COMPUTER

Summary

A mathematical model of the electro-mechanico-technological system of the pressing rolling-mill main line is constructed with regard for starting conditions of rollers skidding on metal.

ლიტერატურა — ЛИТЕРАТУРА — REFERENCES

1. В. Н. Выдрин. Динамика прокатных станов. Свердловск, 1960.
2. Ф. К. Иванченко, П. И. Полухин, М. А. Тылкин, В. И. Полухин. Динамика и прочность прокатного оборудования. М., 1970.
3. Р. Р. Кобиашвили. Сообщения АН ГССР, 127, № 2, 1987.

МАШИНОВЕДЕНИЕ

В. Г. ПРОЗОРОВ, В. С. БААКАШВИЛИ

МАТЕМАТИЧЕСКАЯ МОДЕЛЬ МЕХАНИЧЕСКОГО ПОВЕДЕНИЯ КОЛЛЕКТОРНЫХ КОМПОЗИЦИОННЫХ МАТЕРИАЛОВ

(Представлено академиком Д. С. Тавхелидзе 30.1.1986)

Вопросы исследования механических свойств многослойных композиционных материалов, применяемых в качестве электроизоляционных прокладок в коллекторах электрических машин, изучены в настоящее время недостаточно.

Имеющиеся литературные данные упругого поведения мikanитов и слюдопластов [1—5] противоречивы и недостаточно обоснованы экспериментально. Не исследовано влияние температуры на деформативные свойства коллекторных материалов, тогда как процесс формовки коллекторов производится по достаточно сложному температурному режиму. Данная статья посвящена экспериментальному исследованию механических свойств коллекторных композиционных материалов в интервале температур от 293 до 433°К и напряжений, достигающих значения 80 МПа.

Объектом исследования были образцы в форме параллелепипеда, набираемые из пластин мikanита марки КФП и КФШ и слюдопласти КИФП. Эти материалы представляют собой прессованный и калибранный по толщине листовой материал из щипанной слюды, склеенной лаком на основе полиэфирной смолы марки ТПФ-18 и шеллака. Толщина пластин составляла $1,15 \pm 0,4$ мм. Из пластин вырезали квадраты со стороной $25 \pm 0,2$ мм и набирали образцы в виде пакета из пяти пластин и четырех стальных прокладок с чистой поверхностью по высшему классу. Такой пакет обеспечивал имитацию рабочих условий и достаточную суммарную деформативность, необходимую для надежной регистрации процессов деформирования. Собранный таким образом пакет помещали между пуансонами универсальной машины УМЭ-10 ТМ и проводили испытания методом сжатия.

Регистрация деформаций осуществлялась при помощи съемного экстензометра, укрепленного на пуансонах машины. Точность измерений усилий и деформаций составляла $\pm 2\%$ от измеряемой величины.

Нагрев образцов осуществляли в термокамере машины с погрешностью регулирования температур $\pm 0,25\%$ от предела измерений.

Перед началом испытаний пакет образцов нагружали давлением 1 МПа для устранения зазоров между стальными и изоляционными пластинами. При последующем нагружении на диаграммном аппарате машины фиксировали зависимость деформации от величины действующего усилия. При расшифровке диаграмм из суммарной деформации вычитали деформацию стальных пластин, получая кривые $\sigma \sim e$ только для исследуемых материалов.

Программа испытаний изоляционных материалов включала три температуры (293, 373 и 433°К) и две скорости деформирования (0,5 и 50 мм/мин). Исследования показали, что изменения скорости деформирования на два десятичных порядка незначительно влияют на упругие свойства материалов. Так, например, при 433°К модуль упругости мikanита КФШ увеличивается на 8%, а деформация при

фиксированном уровне напряжений — 0,8%. Подобным откликом на скорость деформирования характеризуются и другие исследуемые материалы. Это позволяет заключить, что при построении математической модели изоляционных материалов скорость деформирования (в диапазоне квазистатических нагрузений) можно не учитывать.

Реологические свойства изоляционных материалов были изучены в режиме ползучести и при циклическом нагружении.

Эти опыты показали, что мikanиты и слюдопласти указанных выше марок характеризуются практически упругим поведением. Их гистерезисные кривые остаются неизменными в любом цикле нагружения, а деформация ползучести не проявляется сколь-нибудь существенным образом. Это объясняется тем, что объемная доля связующего материала не превышает 4–5%, а сам наполнитель является чисто упругим материалом.

Анализ полученных кривых сжатия изоляционных материалов дает возможность разделить кривую $\sigma \sim \varepsilon$ на два участка, характеризующихся различными углами наклона кривой или двумя модулями упругости (рис. 1). С повышением температуры модуль упругости на

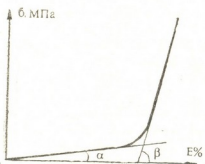


Рис. 1. Характерная кривая сжатия коллекторных композиционных материалов

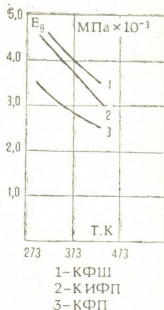


Рис. 2. Изменение модуля упругости на втором участке нагружения от температуры: 1—КФШ; 2—КИФП, 3—КФП

первом участке практически не изменяется, тогда как на втором влияние температуры существенно. Этот факт можно объяснить тем, что при малых нагрузках происходит уплотнение структуры материалов, в условиях которых не следует ожидать температурных влияний, поскольку в сопротивление не включаются силы межмолекулярного взаимодействия. При повышении уровня нагрузок сопротивление материалов определяется этими силами, которые существенно зависят от температуры. Изменение модуля упругости на втором участке в зависимости от температуры показано на рис. 2. Значение модуля упругости на первом участке составляет для материалов КФП, КФШ и КИФП соответственно 67, 33 и 83 МПа.

Анализ экспериментальных данных свидетельствует, что механическое поведение изоляционных материалов может быть описано четырехпараметрической степенной моделью вида

$$\sigma = A_0 \left(\frac{T_0}{T_i} \right)^k \varepsilon^{n_0} \left(\frac{T_0}{T_i} \right)^c, \quad (1)$$

где σ и ε — напряжения деформации; T_0 — температура приведения, выбранная произвольно (принято $T_0=293^{\circ}\text{K}$); T_i — температура испытаний, К; A_0 — параметр, учитывающий свойство материала, МПа; n_0 — константа, определяемая при температуре приведения; k , c — константы, значащие при температурах, отличных от температуры приведения.

Введение отношения двух параметров температур в показатель степени уравнения (1) упрощает процесс отыскания значений параметра A_0 и коэффициента n_0 , что при температурах приведения $T_t=T_0$ позволяет получить следующее упрощенное выражение:

$$\sigma = A_0 \varepsilon^{n_0}. \quad (2)$$

Отсюда параметр A_0 и коэффициент n_0 легко могут быть найдены по уточненному методу наименьших квадратов. Располагая кривыми сжатия при температурах 373 и 433°K , можно определить остальные параметры формулы (1).

Определение констант велось по специальной программе на ЭВМ ДВК-2. Значения полученных констант приведены в таблице, а сравнение расчета с экспериментом показано на рис. 3.

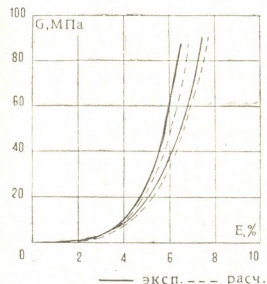


Рис. 3. Кривые сжатия миканита КФШ

Значение параметров математической модели композиционных материалов

Материал	A_0	n_0	T_i	k	c
КФП	$1,32354 \times 10^{-0.4}$	6,38019	373	-10,2767	1,16854
			433	-7,3517	0,899059
КФШ	$4,88311 \times 10^{-0.4}$	5,6387	373	-2,61553	0,490724
			433	-3,47021	0,577587
КИФП	$1,36122 \times 10^{-0.4}$	7,30221	433	-10,326	1,15437

Среднеквадратичная ошибка аппроксимации экспериментальных данных формулой (1) не превышает 25%.

Таким образом, построенная математическая модель механического поведения изоляционных материалов позволяет надежно прогнозировать связь между напряжениями и деформациями в условиях рабочих температур на различных стадиях изготовления коллекторов электрических машин.

Грузинский политехнический институт
им. В. И. Ленина

(Поступило 21.3.1986)

განკარგობოდისა

მ. პეტროვი, ვ. ბააკაშვილი

კოლექტორული კომპოზიციური გასაღების მეთანიკური გამოდიგი
მათემატიკური მოდელი

რეზიუმე

მოცემულია ელექტროსაიზოლაციი კომპოზიციურ მასალათა მექანიკური თვისებების ექსპერიმენტული განსაზღვრის მეთოდი სხვადასხვა ტემპერატურისა და სიჩქარის პირობებში დატვირთვებისას. ჩატარებულია ცდის მინაცემების ანალიზი და აღნიშნული კლასის მასალებისათვის აგებულია მექანიკური ქმედების მათემატიკური მოდელი.

სტანდარტული პროგრამით ეგმ-ზე განსაზღვრულია მათემატიკური მოდელის პარამეტრები.

MACHINE BUILDING SCIENCE

V. G. PROZOROV, V. S. BAAKASHVILI

MATHEMATICAL MODEL OF MECHANICAL BEHAVIOUR OF COLLECTOR COMPOSITE MATERIALS

Summary

Experimental methods for determining the mechanical properties of multilayer composite materials — micanites and micoplasts — under different temperature and velocity conditions of deformation and presented. Analysis of experimental data is made, and a mathematical model of mechanical behaviour for given materials is constructed. Parameters of the mathematical model are obtained by a standard computer program.

ლიტერატურა — REFERENCES

- Сб. «Коллекторы электрических машин». Под ред. В. Н. Красовского. М., 1979.
- В. Н. Красовский. Основы конструирования транспортных электрических машин. Л., 1970.
- А. Б. Иоффе. Тяговые электрические машины. М.—Л., 1951.
- А. Е. Алексеев. Конструкции электрических машин. М., 1958.
- Н. В. Виноградов. Производство электрических машин. М.—Л., 1961.

ГИДРОТЕХНИКА

Г. Е. კიკაჩევილი, А. М. ЗИЛЬБЕРШТЕИН

ТЕХНИКО-ЭКОНОМИЧЕСКИЙ РАСЧЕТ КОЛЬЦЕВЫХ ВОДОПРОВОДНЫХ СЕТЕЙ С УЧЕТОМ ОЧЕРЕДНОСТИ СТРОИТЕЛЬСТВА

(Представлено членом-корреспондентом Академии Г. Г. Сванидзе 27.12.1985)

В связи с увеличением численности населения, повышением степени благоустройства и развития промпредприятий происходит постоянное возрастание количества потребляемой воды. Рост водопотребления по времени равномерен, тогда как подача увеличенного количества воды осуществляется поэтапно, путем ввода в действие новых мощностей. Это обстоятельство вызывает необходимость расширения действующих сооружений на каждом последующем этапе. Поэтому те сооружения, расширение которых затруднительно, целесообразно водить на полную мощность, с учетом потребностей последующих этапов, а сооружения, параметры которых сравнительно легко менять, рентабельнее развивать поэтапно.

Поэтапное строительство должно осуществляться таким образом, чтобы параметры системы, удовлетворяя на каждом этапе техническим и гидравлическим требованиям, характеризовались минимальным значением приведенной стоимости за полный расчетный срок действия.

Нахождение правильного проектного решения, связанного с многоэтапностью развития системы, является важной экономической задачей, позволяющей значительно снизить приведенную стоимость.

В настоящей статье излагается метод оптимизации кольцевых водопроводных сетей с учетом очередности строительства, т. е. поэтапного их развития.

Предположим, что необходимо запроектировать кольцевую сеть на некоторый расчетный период T лет. Весь расчетный период разделим на расчетные этапы строительства, в начале каждого из которых предполагается вводить новые добавочные мощности. Режимы работы системы на каждом этапе, т. е. расчетные расходы участков сети и водопитателей, считаются заданными.

Введем следующие обозначения: g — порядковые номера этапов строительства ($g=1, 2, \dots, G$); i — порядковые номера участков сети ($i=1, 2, \dots, I$); D_i^g — множество значений тех стандартных диаметров, которые характеризуют участок i на этапе g (комбинация диаметров); u — порядковые номера источников питания сети ($u=1, 2, \dots, U$); H_u^g — напор, создаваемый источником питания u на этапе g .

В работе [1] выбор оптимального сечения участка сети происходит из числа допустимых, т. е. „возможных диаметров“. Применительно к рассматриваемой задаче предлагается вместо „возможных диаметров“ ввести систему „возможных совокупностей комбинаций диаметров“ D_i^g , $g=1, G$. Элементы совокупности комбинаций диаметров D_i^g для i -го участка характеризуют его развитие во времени, т. е. на каждом этапе $g=1, G$. Комбинации диаметров D_i^g формируются до решения задачи в зависимости от



возможного способа развития участка (параллельная прокладка новых линий или перекладка ранее проложенных). Обозначим через j номер „возможной совокупности комбинаций диаметров“ D_i^g , $g=1, G$, а множество номеров в системе для участка i —через J_i . Неизвестными, аналогично [1], считаются X_{ij} , т. е. части длины участка i , которые поэтапно характеризуются комбинациями диаметров D_i^g из совокупности с номером j .

Очевидно, что сумма длин X_{ij} , $j \in J_i$ должна быть равна длине участка l_i :

$$\sum_{j \in J_i} x_{ij} = l_i, \quad i=1, 2, \dots, I. \quad (1)$$

Потери напора на участке i на этапе g записутся как $\sum_{j \in J_i} A_{ij}^g x_{ij}$, где A_{ij}^g — потери напора на единицу длины участка при заданном расходе этапа g и комбинации диаметров D_i^g из совокупности с номером $j \in J_i$.

В работе [2] было предложено использовать оценку, позволяющую приближенно определять по начальному потокораспределению значение полных потерь напора в сети. Эта оценка потерь напора от источника u до узла r на этапе g имеет вид

$$\sum_{i=1}^I \kappa_i^{gur} \sum_{j \in J_i} A_{ij}^g x_{ij},$$

где κ_i^{gur} — коэффициенты, представляющие собой отношение числа направлений движения воды от источника u до узла r , проходящих через участок i на этапе g к общему числу направлений от источника u до узла r .

Источники питания $u=1, U$ должны обеспечить требуемый пьезометрический напор Π_r^g в диктующих узлах r^* , т. е.

$$H_u^g - \sum_{i=1}^I \kappa_i^{gur} \sum_{j \in J_i} A_{ij}^g x_{ij} \geq \Pi_r^g - z_u, \quad (2)$$

где z_u — геодезическая отметка источника u .

Приведенные затраты с учетом очередности строительства определяются как сумма капиталовложений и эксплуатационных издержек за весь расчетный период T . Разновременность затрат, производимых на отдельных этапах развития системы осуществляется приведением их к базисному году путем умножения на коэффициент $1/(1+E_n)^\tau$, где τ — число лет, отделяющих год осуществления затрат от начала базисного года, а E_n — величина для приведения разновременных затрат, равная 0,08.

Тогда критерий оптимальности принимает вид

$$F_{np} = \sum_{i=1}^I \sum_{j \in J_i} c_{ij} x_{ij} + \sum_{u=1}^U \sum_{g=1}^G \omega_u^g H_u^g, \quad (3)$$

где c_{ij} — приведенные затраты (строительные и эксплуатационные) на единицу длины участка i , характеризуемую комбинацией диаметров D_i^g , $g=1, G$ с номером $j \in J_i$; ω_u^g — приведенные затраты источника u на этапе g на подъем расчетного расхода на единицу высоты; H_u^g — искомый напор источника u на этапе g .



Таким образом, задача технико-экономического расчета кольцевой сети с учетом нескольких этапов строительства формулируется следующим образом: найти неизвестные x_{ij} и H_u^* , минимизирующие функцию (3) при условиях (1) и (2).

В этой модели могут быть также учтены всевозможные дополнительные ограничения, рассмотренные в [1].

Для решения поставленной задачи на ЭВМ составлена специальная программа, в которой использован стандартный алгоритм симплекс-метода.

Анализ результатов расчета реальных объектов позволяет утверждать, что предлагаемый метод снижает приведенные затраты по сравнению с другими методами на 5–10%.

ГПИ «Грузгипрокоммунстрой»

(Поступило 9.1.1986)

შედგინვება

გ. პირამიდავი, ა. ზილბერშტეინი

ფილატოვარაგაბის რეკლამური ქადაგის ტერიტორი-ეპონომიკური
განვითარება მაცხოვლობის რიგითობის გათვალისწინებით

რეზიუმე

ჩამოყალიბებულია წრფივი პროგრამირების მათემატიკური მოდელი წყალ-მომარევების რეკლამური ქსელების პარამეტრების ოპტიმიზაციისა მისი შენებლობის რიგითობის გათვალისწინებით. კონკრეტული ამოცანების მითხვების შედეგებით დაგენერირდა ეგზ-ს სპეციალური პროგრამა, სადაც გამოყენებულია სიმპლექსური მეთოდის ალგორითმი.

HYDRAULIC ENGINEERING

G. E. KIKACHEISHVILI, A. M. ZILBERSHTEIN

TECHNICAL AND ECONOMICAL CALCULATION OF CIRCULAR WATER-SUPPLY LINE WITH REGARD TO CONSTRUCTION ORDER

Summary

Linear mathematical model of circular water-supply line parameters optimization is derived.

Numerical method of the problem solution is suggested, and a special computer program for preparing the initial data is compiled using the simplex method algorithm.

ლიტერატურა — REFERENCES

- Г. Е. Кикачейшвили. Расчет оптимальных параметров систем подачи и распределения воды. Тбилиси, 1980.
- Г. Е. Кикачейшвили, А. М. Зильберштейн. Труды ГПИ им. В. И. Ленина, № 10 (242), 1981.

ЭЛЕКТРОТЕХНИКА

А. Н. АБУРДЖАНИЯ, Т. Г. МУСЕЛИАНИ, Н. С. НИКОЛАИШВИЛИ

УСЛОВИЯ РАВНОВЕСИЯ ДВОЙНОГО ТРАНСФОРМАТОРНОГО ИЗМЕРИТЕЛЬНОГО МОСТА

(Представлено членом-корреспондентом Академии З. Е. Круашвили 1.10.1986)

Система уравнений, описывающих электромагнитные явления двойного трансформаторного измерительного моста (ДТИМ, рис. 1) в процессе измерения, в комплексной форме выражается как

$$\dot{E} = (\underline{Z}_0 + \underline{Z}_{W3}) \dot{I} - j\omega L_{13} \dot{I}_1 - j\omega L_{23} \dot{I}_2,$$

$$0 = (\underline{Z}_1 + \underline{Z}_{W1} + \underline{Z}_{W5}) \dot{I}_1 + j\omega (L_{12} - L_{45}) \dot{I}_2 - j\omega L_{13} \dot{I} - j\omega L_{56} \dot{I}_6, \quad (1)$$

$$0 = (\underline{Z}_2 + \underline{Z}_{W2} + \underline{Z}_{W4}) \dot{I}_2 - j\omega (L_{12} - L_{45}) \dot{I}_1 - j\omega L_{23} \dot{I} - j\omega L_{46} \dot{I}_6,$$

$$0 = (\underline{Z}_r + \underline{Z}_{W6}) \dot{I}_6 + j\omega L_{46} \dot{I}_2 - j\omega L_{56} \dot{I}_1,$$

где

$$\underline{Z}_0 = R_0 + j\omega L_0; \quad \underline{Z}_1 = R_1 + j\omega L_1; \quad \underline{Z}_2 = R_2 + j\omega L_2; \quad \underline{Z}_{W1} = R_{W1} + j\omega L_{W1};$$

$$\underline{Z}_{W2} = R_{W2} + j\omega L_{W2}; \quad \underline{Z}_{W3} = R_{W3} + j\omega L_{W3}; \quad \underline{Z}_{W4} = R_{W4} + j\omega L_{W4};$$

$$\underline{Z}_{W5} = R_{W5} + j\omega L_{45}; \quad \underline{Z}_{W6} = R_{W6} + j\omega L_{W6}; \quad \underline{Z}_r = R_r + j\omega L_r$$

— комплексные сопротивления источника питания, измеряемое, эталонное, обмоток трансформаторов; \dot{I} , \dot{I}_1 , \dot{I}_2 , \dot{I}_6 — комплексные токи; \dot{E} — комплексная э. д. с.; ω — угловая частота источника питания.

В режиме равновесия, когда намагничивающие силы вычитающего трансформатора Тр-2 равны и направлены в противоположные стороны,

$$\dot{I}_1 W_5 = \dot{I}_2 W_4. \quad (2)$$

Из (1) с учетом (2) после соответствующих преобразований получаем выражение условия равновесия ДТИМ в следующем виде:

$$\frac{\underline{Z}_1 + \underline{Z}_{W1} + R_{W5} + j\omega L_{12}}{\underline{Z}_2 + \underline{Z}_{W2} + R_{W4} + j\omega L_{12}} \frac{\frac{W_5}{W_4}}{\frac{W_4}{W_5}} = \frac{W_1 W_5}{W_2 W_4}. \quad (3)$$

Из (3) видно, что отношение комплексных сопротивлений двух контуров, один из которых содержит \underline{Z}_1 измеряемое, а другой — \underline{Z}_2 эталонное сопротивление, выражается действительным числом. Это значит, что соответствующие треугольники сопротивлений (рис. 2) подобны, и из условия подобия находим

$$\frac{R_1 + R_{W1} + R_{W5}}{R_2 + R_{W2} + R_{W4}} = \frac{W_1 W_5}{W_2 W_4}, \quad (4)$$

$$\frac{\frac{L_1 + L_{W1} + L_{12}}{W_5} \frac{W_5}{W_4}}{\frac{L_2 + L_{W2} + L_{12}}{W_5} \frac{W_4}{W_5}} = \frac{W_1 W_5}{W_2 W_4}. \quad (5)$$

Полагая, что

$$\frac{\frac{L_{W1} + L_{12}}{W_5} \frac{W_5}{W_4}}{\frac{L_{W2} + L_{12}}{W_5} \frac{W_4}{W_5}} = \frac{W_1 W_5}{W_2 W_4}, \quad (6)$$

из (5) имеем

$$\frac{L_1}{L_2} = \frac{W_1 \cdot W_5}{W_2 \cdot W_4}. \quad (7)$$

Таким образом, условия равновесия ДТИМ при активно-индуктивном характере измеряемого и эталонного сопротивлений выражаются равенствами (4) и (7).

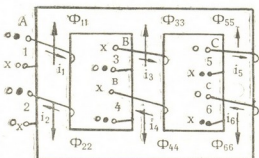


Рис. 1

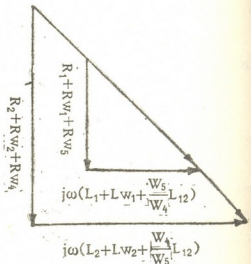


Рис. 2

Очевидно, при активно-емкостном характере сопротивлений равенство (7) заменяется следующим равенством:

$$\frac{C_2}{C_1} = \frac{W_1 W_5}{W_2 W_4}. \quad (8)$$

Равенством (7) выражается уникальное свойство трансформаторных измерительных мостов, построенных по принципу вычитания намагничивающих сил, заключающееся в том, что условия равновесия (4), (7), (8) не зависят от частоты источника питания и параметров магнитопроводов трансформаторов. Объясняется это тем, что треугольники сопротивлений контуров подобны друг другу, коэффициент отношения их соответствующих сторон равен отношению модулей измеряемого и эталонного сопротивлений, и, кроме того, в момент равновесия в магнитопроводе Тр-2 отсутствует магнитный поток. Параметрами магнитопроводов и частотой источника питания определяются чувствительность и точность измерения.

При помощи выходного трансформатора Тр-2 ДТИМ методом вулового разбаланса можно осуществить геометрическое сложение двух лежащих на одной линии намагничивающих сил. Следовательно, обязательное, но не достаточное условие уравновешивания рассматриваемого моста заключается в том, что векторы контурных токов \vec{I}_1 и \vec{I}_2 при $t=0$ должны лежать на одной линии комплексной плоскости. При этом, когда направления токов совпадают $I_1 \parallel I_2$, обмотки W_4 и W_5 включаются встречно и, наоборот, когда токи направлены встречно $\vec{I}_1 \parallel \vec{I}_2$, обмотки включаются согласно.

Направления токов \dot{I}_1 и \dot{I}_2 определяются контурными сопротивлениями $Z_1 + Z_{W1} + Z_{W5}$, $Z_2 + Z_{W2} + Z_{W4}$, так как действующие в контурах э. д. с. лежат на одной линии и направлены в одну сторону по отношению к одноименным зажимам. Исходя из этого измеряемое и эталонное сопротивления должны быть одинакового характера. Сравнение сопротивлений противоположного характера нулевым методом измерения с рассматриваемыми мостами в принципе невозможно, так как токи \dot{I}_1 и \dot{I}_2 при этом лежат не на одной линии. В этом заключается существенный недостаток ДТИМ по отношению к LC -мостам Максвелла [3, 2], который предназначен для измерения параметров катушки индуктивности при помощи R_0 — магазина сопротивлений и C_0 — магазина емкостей. Для решения такой задачи при помощи ДТИМ необходимо обмотки W_4 и W_5 включить согласно и одновременно выполнить дополнительные условия уравновешивания, которые выражаются, как

$$R_1 + R_{W1} + R_{W5} \ll \omega \left(L_1 + L_{W1} + \frac{W_5}{W_*} L_{12} \right), \quad (9)$$

$$R_2 + R_{W2} + R_{W4} - \omega \left(L_{W2} + \frac{W_4}{W_2} L_{12} \right) \ll \frac{1}{\omega C_s}. \quad (10)$$

Очевидно, в реальных условиях эти неравенства, зависящие от частоты источника питания, не всегда выполняются, в результате чего мост до конца не уравновешивается и поневоле приходится отка- заться от всех преимуществ нулевого метода измерения.

Грузинский политехнический институт им. В. И. Дениши

(Поступило 30.10.1986)

Digitized by srujanika@gmail.com

2. სამარტინოვა თ. მუნიციპალიტეტი 5. ლიკონია მუნიციპალიტეტი

ନିରମାଳି ତରକାରୀଙ୍କରମାତ୍ରମାତ୍ରରେ ଯାଏଗଲେ କିମ୍ବା କିମ୍ବା କିମ୍ବା କିମ୍ବା

၄၇

გამოყვანილია და განარღიშებულია ორმაგი ტრანსფორმატორული გამზომი ბრაილის წრინასწორობის პირობებში.

N. A. ABURJANIA, T. G. MUSELIANI, N. S. NIKOLAISHVILI

BALANCE CONDITIONS FOR DOUBLE TRANSFORMER BRIDGE

Summary

Balance conditions for double transformer bridges are derived and analysed.

ЛІТЕРАТУРА — REFERENCES

1. Трансформаторные измерительные мосты. Под ред. чл.-корр. АН СССР К. Б. Карапетсева. М., 1970, 12—51, 247—249.
2. К. А. Круг. Основы электротехники, т. I, Ученые об электричестве. М.—Л., 1931, 212—213.
3. Фейман, Лейтен. Сенас-Феймановские лекции по физике. Задачи и упражнения с ответами и решениями. М., 1978, 132—436.

ФИЗИОЛОГИЯ РАСТЕНИЙ

Н. А. МЕЛИКСЕТЯН

ПОРОГОВАЯ УСТОЙЧИВОСТЬ К ОБЕЗВОЖИВАНИЮ КАК ПОКАЗАТЕЛЬ АДАПТАЦИИ СЕВЕРОАМЕРИКАНСКИХ ОРЕХОВ В ТБИЛИССКОМ БОТАНИЧЕСКОМ САДУ

(Представлено академиком Г. А. Санадзе 1.10.1986)

Изучение процесса адаптации интродуцированных растений в условиях аридной зоны Восточной Грузии сводится главным образом к определению особенностей водообмена, засухо- и жароустойчивости.

Устойчивость растений к обезвоживанию традиционно определяется по способности протоплазмы выдерживать обезвоживание. Устойчивость к обезвоживанию в связи с внутренними, наследственными признаками растений впервые начал изучать Н. А. Максимов с сотрудниками [1]. Они показали, что под влиянием обезвоживания происходит изменение коллоидно-химических свойств перепонки, выражющееся в повышении проницаемости. В дальнейшем изучение роли клеточных мембран в процессе водообмена было продолжено в работах многих исследователей [2—7]. По мнению П. Кьюпера [8], сохранность мембран и восстановление мембранных структур после действия неблагоприятного фактора тесно связаны с синтезом белка, от уровня содержания которого зависят процессы репарации [9]. Установлено, что в процессе адаптации растений к неблагоприятным условиям и к засухе, в частности, имеет место повышение прочности мембран, обусловливающее неспецифическую реакцию — интенсивный обмен. При углублении действия неблагоприятного фактора некоторые из измененных свойств приводят к специфическому повышению способности выносить обезвоживание [8, 10]. Генетические свойства организма при этом играют роль контрольных регуляторов реакции [11, 12].

Исследовали 4 вида североамериканских орехов: серый (*J. cinerea* L.), черный (*J. nigra* L.), гиндса (*J. hindsii* Engl.), скальный (*J. rupestris* L.) и гречкий (*J. regia* L), уже давно адаптировавшийся к местным природно-климатическим условиям. Все исследуемые виды произрастают на территории Тбилисского ботанического сада и по возрасту приблизительно одинаковы — 25—30 лет. Все, за исключением *J. cinerea* L., растут и плодоносят хорошо. *J. cinerea* L. растет хорошо, но не плодоносит.

Определяли оводненность листьев гравитационным методом и проницаемость протоплазмы по выходу электролитов электролитическим методом.

В связи с целью настоящей работы изучали устойчивость исследуемых видов к обезвоживанию по схеме, предложенной Т. К. Горышиной и А. И. Самсоновой [13], для установления сублетального дефицита воды. Определяли содержание воды в свежесрезанных листьях после различных по длительности (часы) экспозиций подсушивания и после последующего восстановления тургора в условиях



влажных камерах. По той же схеме последовательности опыта получали данные о проницаемости протоплазмы. Исследования проводили в сезонной динамике. Повторность определений была 3—4-кратной.

Таблица 1
Оводненность листьев, свежесрезанных (1), после пороговой экспозиции подсушивания (2), после восстановления тургора (3), % к сырому весу

Растения	Вариант	Часы	Весна	Часы	Лето	Часы	Осень
<i>J. regia</i> L.	1		70,4 ± 0,59		64,83 ± 0,36		64,58 ± 0,78
	2	4	65,5 ± 0,38	4	52,93 ± 0,41	4	57,28 ± 0,56
	3		71,02 ± 0,54		67,5 ± 0,24		65,04 ± 0,21
<i>J. cinerae</i> L.	1		70,58 ± 0,38		56,88 ± 0,40		57,26 ± 0,43
	2	4	65,51 ± 0,39	2	52,93 ± 0,41	1	51,45 ± 0,59
	3		72,97 ± 0,21		59,76 ± 0,39		63,41 ± 0,46
<i>J. nigra</i> L.	1		68,39 ± 0,64		55,13 ± 0,47		54,04 ± 0,67
	2	4	63,80 ± 0,36	6	50,83 ± 0,31	6	48,32 ± 0,45
	3		70,76 ± 0,30		57,85 ± 0,28		54,04 ± 0,27
<i>J. hindsii</i> Engl.	1		69,35 ± 0,73		55,55 ± 0,53		56,0 ± 0,59
	2	4	62,9 ± 0,36	4	48,38 ± 0,34	2	45,0 ± 0,37
	3		69,65 ± 0,21		55,55 ± 0,53		56,0 ± 0,21
<i>J. rupestris</i> L.	1		74,0 ± 0,60		54,54 ± 0,40		57,42 ± 0,72
	2	4	67,50 ± 0,65	6	45,65 ± 0,31	4	52,22 ± 0,27
	3		76,18 ± 0,45		54,54 ± 0,40		57,42 ± 0,20

Как следует из приведенных данных (табл. 1, 2), пороговая устойчивость к обезвоживанию в условиях опыта обнаруживалась в различные по длительности экспозиции. Наиболее стабильным (за все время наблюдений одна и та же экспозиция) оказался *J. regia* L.

Таблица 2
Электропроводность ($\times 10^{-7}$) листьев, свежесрезанных (1), после пороговой экспозиции подсушивания (2), после восстановления тургора (3)

Растения	Вариант	Часы	Весна	Часы	Лето	Часы	Осень
<i>J. regia</i> L.	1		323 ± 3,31		405 ± 6,5		207 ± 3,2
	2	4	551 ± 3,1	4	766 ± 3,4	4	376 ± 4,3
	3		322 ± 6,4		405 ± 2,2		207 ± 3,6
<i>J. cinerea</i> L.	1		227 ± 3,5		322 ± 5,4		254 ± 3,6
	2	2	285 ± 5,0	2	465 ± 6,6	1	304 ± 30,4
	3		227 ± 3,0		322 ± 3,9		221 ± 4,5
<i>J. nigra</i> L.	1		234 ± 3,4		345 ± 5,5		227 ± 3,7
	2	4	234 ± 6,0	6	572 ± 4,0	6	342 ± 5,3
	3		234 ± 4,2		341 ± 3,4		225 ± 6,6
<i>J. hindsii</i> Engl.	1		298 ± 3,4		308 ± 4,6		204 ± 3,0
	2	4	464 ± 2,1	4	423 ± 7,5	2	315 ± 3,3
	3		265 ± 4,7		308 ± 3,9		204 ± 3,9
<i>J. rupestris</i> L.	1		323 ± 2,9		282 ± 5,3		233 ± 3,6
	2	4	391 ± 4,8	6	378 ± 6,3	4	303 ± 8,5
	3		323 ± 3,2		282 ± 5,0		233 ± 6,6

Для североамериканских видов изменение времени экспозиции в различные периоды вегетации было различным, что свидетельствует о нестабильном характере водообмена у данных видов. Порог обезвоживания для



J. cinerea L., наименее устойчивого к обезвоживанию вида, отмечали после наиболее коротких экспозиций подсушивания. Вид *J. cinerea* L., по литературным данным [14], сформировался во влажных районах приатлантических штатов Северной Америки, что, видимо, определило его малую устойчивость в условиях Тбилисского ботанического сада. *J. nigra* L. происходит из более южных штатов североамериканского континента, *J. hindsii* Engl и *J. rupestris* — из наиболее континентальных, засушливых районов Северной Америки, с более жесткими по сравнению с г. Тбилиси климатическими условиями [14].

В условиях этого опыта устойчивость на пороговом уровне, т. е. восстановливаемое обезвоживание, наибольших величин достигала в летнее время и для *J. hindsii* Engl. и *J. rupestris* L. Изменение (повышение) проницаемости у исследуемых видов на пороговом уровне в наибольших значениях было отмечено для *J. regia* L. и в наименьших для *J. hindsii* Engl. Следовательно, как видно из полученных данных, *J. nigra* L., *J. hindsii* Engl., *J. rupestris* L. в силу своих наследственных, генетических свойств выдерживали более длительные экспозиции подсушивания, т. е. стрессовый фактор большей силы.

Б. Ф. Альтергот [11] показал, что пороговая устойчивость — это состояние предельной оводненности тканей растения, когда действующий по отношению к нему фактор является «жестким», а устойчивость к нему — «структурной». Иначе говоря, на уровне порога обезвоживания начинается действие специфической реакции, самой показательной, как указывал П. А. Генкель [10], для характеристики адаптации растений.

В результате наших исследований можно заключить следующее: пороговая устойчивость у исследуемых видов является важным показателем адаптации интродуцированных растений; она существенно различается по своим значениям; отмечены сравнительная стабильность у *Y. regia* L. и большая выносливость у наиболее устойчивых из исследуемых видов.

Академия наук Грузинской ССР
Центральный ботанический сад

(Поступило 10.10.1986)

5 အော်ဂရီ-၁၆၀၂၆၀

გულაბი ზოგჯერ გამოიყენება როგორც ჩრდილოაშირიკული კულტების, აფარტაციის, გაჩვენების თგილისის გორծანიკურ გაღი.

၁၇၀၅

ნაჩვენებია, რომ ჩრდილოაშერიცული კაფლები, რომლებიც სახეობებად ჩამოყალიბდნენ ჩრდილო ამერიკის შედარებით სამხრეთ, კონტინენტურ ნა- წილში, ცდის პირობებში სტრესული ფაქტორის მოხსნისას ხასიათდებიან გაუ- წილდებიან და მდგრადი მოძრავი გამოყოლადო- წყლოებისადმი მდგრადი და ტურბორისა და პროტოპლაზმის გამოყოლადო- ბის აღდგენის მაღალი უნარით. აეტორის აზრით წყლის მოცუმული რეემიტი უნდა იყოს ასებული გარემო პირობებისადმი მათი ადაპტაციის ერთ-ერთი მაჩვინეობელი.

N. A. MELIKSETYAN

BORDER TOLERANCE TO DEHYDRATION AS INDICATOR OF
 AMERICAN WALNUTS ADAPTATION IN TBILISI
 BOTANICAL GARDEN

Summary

4 species of North American walnuts (*J. cinerea* L., *J. nigra* L., *J. hindsii* Engl., *J. rupestris* L.) as well as the English walnut (*J. regia* L.), have been investigated. It is shown that under experimental conditions following the removal of the stress factor North American walnuts (*J. hindsii* Engl., *J. rupestris* L.), which originated as species in the eastern continental areas of North America, are characterized by great resistability to dehydration, permeability of protoplasm, and ability to regain turgor.

ЛІТЕРАТУРА — REFERENCES

1. Н. А. Максимов. Избр. труды по засухоустойчивости и зимостойкости растений. М., 1952, 500—508.
2. Л. К. Гордон. Дыхание и водно-солевой обмен растительных тканей. М., 1976, 20—59.
3. Н. А. Сатарова. Сб. «Проблемы засухоустойчивости растений». М., 1978, 20—59.
4. Ф. Д. Самуилов. Сб. «Вопросы водного режима и состояния воды в растениях». Казань, 1981, 68—87.
5. Г. М. Белькович, Н. А. Гусев. Сб. «Водообмен и физиологические процессы растений». Казань, 1981, 10—17.
6. L. Glinca, G. Reinhold. Plant Physiol. 1972, v. 49, 602-606.
7. Y. G. Hancock. Canad. J. Bot., 1983, v. 61, 1307-1309.
8. P. J. Kuiper. Plant Physiol., 1972, v. 23, 157-174.
9. P. A. Henczel. Canad. J. Bot., 1970, № 12, 35-44.
10. П. А. Генкель. Физиология жаро- и засухоустойчивости растений. М., 1982, 278.
11. В. Ф. Альтергот, Н. А. Игнатьев. Сб. «Физиология устойчивости растений в континентальном климате». Новосибирск, 1976, 115—123.
12. А. Р. Титов, С. Н. Дроздов, С. П. Критенко, В. Р. Таланова. Физиол. раст., т. 30, 1983, 544—551.
13. Т. К. Горышнина, А. И. Самсонова. Бот. ж., т. 54, 1966, 67—77.
14. Деревья и кустарники СССР, т. 2. Под ред. Соколова С.Я., М.—Л., 1951, 221—264.

ФИЗИОЛОГИЯ ЧЕЛОВЕКА И ЖИВОТНЫХ

З. С. ХАНАЕВА, Э. С. МОНИАВА, И. А. ЦОМАПЯ, М. П. БУЦХРИКИДЗЕ

ИЗМЕНЕНИЯ ЭЛЕКТРИЧЕСКОЙ АКТИВНОСТИ КОРЫ
БОЛЬШИХ ПОЛУШАРИЙ ГОЛОВНОГО МОЗГА КОШКИ
ПОСЛЕ ЦЕРЕБРОВЕНТРИКУЛЯРНОГО ВВЕДЕНИЯ
ЛИЗИН-ВАЗОПРЕССИНА

(Представлено академиком В. М. Окуджава 7.12.1985)

Полученные за последнее десятилетие данные [1—7], свидетельствующие о важности для процессов ЦНС гипоталамо-гипофизарного гормона вазопрессина (которому долгое время приписывались исключительно периферические—антидиуретическое и вазоконстрикторное свойство), ставят вопрос о необходимости детального изучения характера и механизма центрального действия этого нейропептида.

В настоящем сообщении представлены результаты изучения изменений электрической активности первичных сенсорных (соматосенсорной, слуховой, зрительной) и ассоциативных (зона вокруг крестовидной борозды, средняя супрасильвиева извилина) областей коры при введении вазопрессина в желудочки мозга (в.ж.) — в боковой или в третий желудочек.

Опыты проводились на ненаркотизированных, обездвиженных тубарином кошках. Трахеотомия, вскрытие черепа, обнажение дорсальной поверхности полушарий производились под эфирным наркозом. Точки сдавливания и края операционной раны тщательно инфильтрировались 0,5% раствором новокaina через каждые 1,5—2 часа. Суммарная активность коры регистрировалась монополярно (индифферентный электрод в шейных мышцах или в лобной кости). Для вызова ЭКоГ реакции пробуждения использовалось частое электрическое раздражение кожи (через игольчатые подкожные электроды) или мезенцефалическое ретикулярной формации (МРФ) (через стереотаксически [9] вводимые стальные bipolarные электроды: диаметр 150—200 мк, межполюсное расстояние 0,5—1 мм). Введение вазопрессина (8-Lusine-Vasopressine «Koch-Light», England или «Serva», ERG) осуществлялось через специально имплантированную (стереотаксически [9] в желудочки мозга канюлю). Рабочие растворы (25—100 нг в 0,1 мл физиологического раствора) вазопрессина готовились ex tempore. Контролем служило введение равных объемов физиологического раствора. Для определения местонахождения кончика внутрижелудочковой канюли (и последующей ее идентификации на гистологических срезах мозга) по окончании каждого опыта через последнюю вводился краиль.

Как показали опыты, сразу после в.ж. инъекции малых (25—100 нг на весь вес кошки) доз вазопрессина наблюдается кратковременная (в среднем несколько секунд) десинхронизация, не отличающаяся от ЭКоГ активации при контрольных инъекциях физиологического раствора и любых легких сенсорных раздражениях (вхождение в кабину, прикосновение к животному). Вслед за этим может возникать иногда также кратковременный (несколько секунд) эпизод медленной активности большой амплитуды, что отмечается и при контрольных в.ж. введениях физиологического раствора и, видимо, отражает изменения внутрижелудочкового давления. Эти несистематические и значительно



варьирующие по выраженности ЭКоГ изменения на первой минуте после в.ж. инъекции не являются специфичными для эффектов вазопрессина.

Начиная со 2—3-й мин после в.ж. введения вазопрессина возникает спровоцированная им продолжительная (до 20 мин и более) десинхронизация корковой активности (рис. 1,Б). Степень этой вызванной вазопрессином десинхронизации варьирует от препарата к препарату (в зависимости от предшествующего фона), но во всех случаях

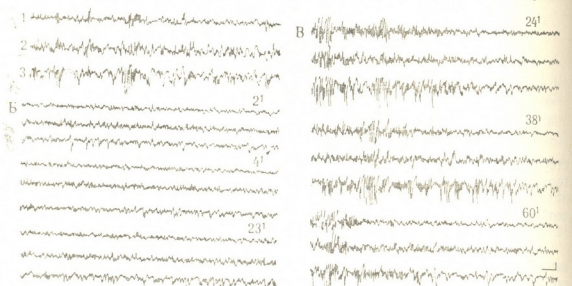


Рис. 1. Изменения электрической активности первичной соматосенсорной (1), слуховой (2) коры и переднего отдела средней супрасильвийской извилины (3) в связи с в. ж. введением вазопрессина (25 нг на кошку весом 3,5 кг в третий желудочек). А — до введения вазопрессина, Б, В — через 2, 4, 23, 24, 38, 60 мин после введения вазопрессина. Калибровка: 4 сек, 100 мкв. Здесь и на последующих рисунках: непаркотизированный, обездвиженный тубарином препарат; отклонение на верх — отрицательность

она может быть выявлена по заметному снижению порогов вызванной (электрокожным или МРФ раздражением) реакции ЭКоГ пробуждения (рис. 2).

Приблизительно с 20—30-й (рис. 1,В), реже с 13—15-й (рис. 3) мин после в.ж. введения вазопрессина начинается замедление ЭКоГ с характерным при этом возникновением более или менее выраженной в виде вспышек или коротких эпизодов ритмической (5—14/сек) активности. Амплитуда последних редко бывает такой значительной, как в том случае, когда они вызываются в.в. [8] введением вазопрессина. Восстановление близкой к фоновой активности наблюдается к 30—60-й мин после введения вазопрессина.

Таким образом, изменения ЭКоГ при в.ж. введении вазопрессина протекают в виде последовательных стадий: начальной длительной (до 20 и более мин) десинхронизации (в разной степени зависящей от предшествующего фона) и последующего периода замедления ЭКоГ с более или менее выраженным (по регулярности и амплитуде) вспышками ритмической 5—14/сек активности.

Как отмечалось выше, в ряде работ подчеркивается противоположность характера изменений электрической активности мозга при в.в. и в.ж. введении вазопрессина [7]: синхронизация при первом способе введения и десинхронизация при втором. Однако результаты наших опытов указывают скорее на разницу в продолжительности при одинаковой последовательности двух разных фаз спровоцируемых вазопрессином изменений электрической активности корковых структур. Как было показано, и при в.в. [8], и при в.ж. введении вазопрессина из-

менения ЭКоГ начинаются с десинхронизации (продолжительность ее около 1 мин при первом и около 20 мин при втором способе введения) с последующей фазой замедления активности. Одной из возможных причин этого может быть соотношение полупериода жизни вазопрессина в крови (2—3 мин) и в ликворе (в 20—30 раз больше), которое

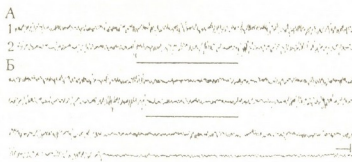


Рис. 2. Изменение порогов реакции ЭКоГ пробуждения, вызванной тетаническим раздражением (100 имп/сек, продолжительность импульса 0,5 мс, при напряжении 10 в) кожи контраполатеральной передней лапки в связи с введением в третий желудочек вазопрессина (50 нг на кошку весом 3,5 кг). Регистрируются: первичная соматосенсорная кора (1) и передний отдел средней супрасильвиевой извилины (2). А — до введения, Б — через 8 и 10 мин после введения вазопрессина. Горизонтальные линии внизу ЭКоГ — продолжительность электрокожного раздражения. Калибровка: 4 сек, 100 мкв

объясняется отсутствием в ликворе энзимов, разрушающих нейрогормон. Это предполагает возможность более длительного воздействия вводимого в ликвор вазопрессина (по сравнению с таковым при периферическом введении) на опосредующие его действие системы. С дру-

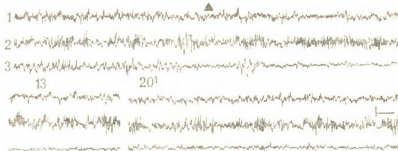


Рис. 3. Изменения электрической активности первичной соматосенсорной (1), слуховой (2) коры и переднего отдела средней супрасильвиевой извилины (3) до, сразу после (отмечено треугольником) и через 13 и 20 мин после введения вазопрессина (50 нг на кошку весом 2,5 кг) в боковой (ипсилатерально) желудочек. Калибровка: 2 сек, 200 мкв.

гой стороны, следует допустить, что реализация влияния вазопрессина на электрическую активность головного мозга при в.в. и в.ж. введении осуществляется через разные (наряду с общими) опосредующие структуры. Однако имеющиеся к настоящему времени данные недостаточны для окончательного решения вопроса о первичном месте и механизмах центрального действия вазопрессина. Исследование продолжается.

Академия наук Грузинской ССР

Институт физиологии

им. И. С. Бериташвили

(Поступило 27.12.1985)

ადამიანისა და ცხოველთა ფიზიოლოგია

ჭ. ხანაევა, მ. მონიავა, ვ. ცომაია, გ. ბუტშრიკიძე

ქართის თავის ტემის დიდი ნახევარსაცეროვანის ჩერქესის ელექტროლი
აქტივობის ცელილებანი ლიზინ-ვაზოპრესინის
ცენტროვენტრიკულური ზოგვანისას

რეზიუმე

დაუნარკოზებულ კურარიზებულ კატებში, მწვავე ცდის პირობებში ვა-
ზოპრესინის (8-Lysine-Vasopressine „Koch-Light“, England or „Serva“, FRG)
შეყვანა (25—100 ნგ ცენტროლის წონაზე) იწვევს პირველადი სენსორუ-
ლი (სომატიკული, სენსორული, სმენითი, მხედველობითი) და ასოციაციური (ჯა-
რედინი ღარის ირგვლივი ზონა და შუა სუპრასილვიური ხევული) უბნების
ელექტროკორტიკოგრამის ხანგრძლივ ცვლილებებს (30—60 წთ). ეს ცვლი-
ლებები მიმდინარეობენ თანმიმდევრულ სტადიებად: ქერქული აქტივობის სა-
წყისი ხანგრძლივი (დახლოებით 20 წთ) დესინქრონიზაცია და მისი შემდგომი
შენელების პერიოდი.

HUMAN AND ANIMAL PHYSIOLOGY

Z. S. KHANAEVA, E. S. MONIAVA, I. A. TSOMAYA, M. P. BUTSKHRIKIDZE

CHANGES OF THE CEREBRAL CORTEX ELECTRICAL ACTIVITY
IN CATS FOLLOWING CEREBROVENTRICULAR ADMINISTRATION
OF VASOPRESSIN

Summary

In acute experiments with unanesthetized immobilized with tubarine cats cerebroventricular (V_{11} or V_{111}) administration (25-100 ngr per weight of animal) of vasopressin (8-Lysine-Vasopressin, "Koch-Light", England or "Serva", FRG) brings about prolonged (30-60 min) changes in ECoG of both primary sensory (somatosensory, auditory, visual) and associative (peririctinate cortex, middle suprasylvian gyrus) areas. These changes occur as two consecutive stages: the initial long-term (20 min and more) desynchronization of cortical activity followed by its synchronization.

ლიტერატურა — REFERENCES

- H. Rigter *et al.* Physiology and Behavior, 13 (3), 1974, 381.
- D. de Wied *et al.* Brain Res., 85 (1), 1975, 152.
- D. de Wied. Pituitary peptides and adaptative behavior. In: "Pioneers in neuroendocrinology". Vol. 2, J. Meisters, B. Donovan, S. Mc. Cann (Eds). Plenum Press, New York—London, 1978.
- G. Kovacs *et al.* Brain Res., 172 (1), 1979, 73.
- H. Schulz *et al.* European J. Pharmacology, 57 (1), 1979, 185.
- T. Oliveros *et al.*, Lancet, 1, 1978, 42.
- H. Unger *et al.* 9-th Congress of Hungarian Society of Endocrinology, Publ. Akadémia Kiado, Budapest, 1979, 141.
- З. С. Ханаева, Э. С. Мониава. Сообщения АН ГССР, 106, № 1, 1982.
- H. Jasper, C. Ajmone-Marsan. A Stereotaxic Atlas of the Diencephalon of the Cat. Ottawa, 1954.

БИОФИЗИКА

М. Ш. МЕЛИКИШВИЛИ, Г. В. МИКАДЗЕ, Г. И. ПАВЛИASHVILI,
М. М. ЗААЛИШВИЛИ (член-корреспондент АН ГССР)

СУПЕРПРЕЦИПИТАЦИЯ И АДЕНОЗИНТРИФОСФАТАЗНАЯ АКТИВНОСТЬ ПРОТЕИН М-АКТОМИОЗИНОВОГО КОМПЛЕКСА

Взаимодействие миозина и актина, которое является основой мышечного сокращения, представляет собой сложный процесс, в котором участвует ряд белков. Исследование этих белков представляет интерес для понимания механизма сокращения. Определенное внимание заслуживает белок протеин M [1], существование которого выявлено вследствие изучения сократительных свойств пленочных нитей миозина Б гладкой и поперечнополосатых мышц [1—4]. Он усиливает и ускоряет сокращение пленочных нитей миозина Б и синтетического актомиозина. Изучены сократительный процесс пленочных нитей миозина Б и реконструированного актомиозина, физико-химические свойства реконструированного актомиозина и его компонентов в присутствии протеина M [4—6].

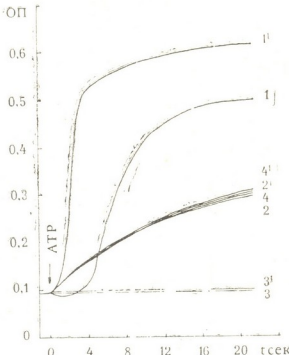


Рис. 1. Влияние протеина М на СПП актомиозина: 1—4-актомиозин (AM); 1'-4' протеин М-актомиозин; 1,1'— 10^{-4} М MgATP; 2,2'— 10^{-4} М ATP; 3,3'— 10^{-4} М ATP; 5·10⁻³ М ЭДТА; 4,4'— 10^{-4} М Mg ATP; 5·10⁻³ М ЭДТА; миозин/активин 3:1; AM/протеин М 10:1; АМ 1 мг/мл; 0,1 М KCl, 0,02 мМ трис-HCl; pH 7,5; T=18°C; на оси ординат—оптическая плотность (ОП), усл. ед.

С целью исследования механизма действия протеина М на актомиозиновый комплекс в данной работе изучено влияние протеина М на суперпреципитацию (СПП) и аденоzinтрифосфатазную (АТРазную) активность реконструированного актомиозина поперечнополосатой мышцы.

Миозин получали по методу Перри [7], актин — по методу Рисса и Янга [8], протеин М — модифицированным ранее описанным методом [9]. СПП и АТРазную активность измеряли одновременно в одной кювете. СПП регистрировали с помощью фотоколориметра ФЭКН-5, АТРазную активность прослеживали по образованию пратонов при помощи рН-метра 262, показания которого регистрировали самописцем КСП-4. Шкала самописца, регистрирующего образование

протонов, была откалибрована по неорганическому фосфору, содержание которого в реакционной смеси определяли по методу [10].

На рис. 1 приведены записи СПП актомиозина в отсутствии АТР и MgATP. Видно, что протеин M влияет на ход, особенно на скорость, СПП актомиозина (кр. I, I'). Под влиянием ЭДТА как в присутствии, так и в отсутствии протеина M СПП актомиозина не наблюдается (кр. 3,3'). Интересно, что влияние протеина M выражено, когда субстратом, расщепление которого приводит к сокращению, является не АТР (кр. 2,2'), а MgATP (кр. 1,1'). Однако в среде ЭДТА протеин M не влияет на СПП, происходящую под влиянием MgATP (кр. 4'). Эти факты указывают, что для проявления действия протеина M на СПП актомиозина нужны ионы магния. Исследование влияния ЭГТА на протеин M-актомиозиновую систему обнаружено, что ионы кальция не участвуют во взаимодействии протеина M с актомиозином.

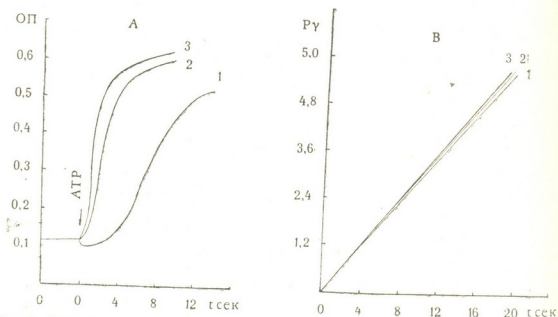


Рис. 2. СПП (А) и АТРазная активность (Б) протеин M-актомиозинового комплекса с разным содержанием протеина M: 1—AM; 2—AM+10% протеина M; 3—AM+20% протеина M. 10^{-4} М MgATF, миозин/актин 4:1. Остальные условия те же, что на рис. 1

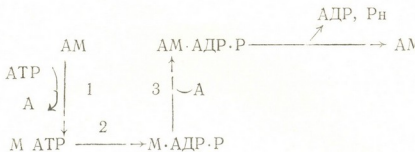
На рис. 2 представлены результаты исследования СПП (рис. 2, А) и АТРазной активности (рис. 2, Б) протеин M-актомиозинового комплекса при разных концентрациях протеина M. Как следует из рисунков, в присутствии протеина M СПП начинается моментально. Это особенно ярко выражено на записи СПП, отражающей влияние 20% протеина M (рис. 2, А). В присутствии 10% протеина M в системе скорость увеличивается в 4, а при 20% — в 8 раз, при этом АТРазная активность актомиозина остается нечувствительной к протеину M (она остается на постоянном уровне) (рис. 2, Б).

В предыдущих исследованиях нами показано, что протеин M не влияет на вязкость и коэффициент седиментации миозина, в то время как замедляет G—F-превращение и увеличивает коэффициент седиментации F актина [4, 6].

В присутствии протеина M синтезированный актомиозин обладает гораздо меньшей вязкостью и протеин M-актомиозиновый комплекс имеет меньший коэффициент седиментации по сравнению с актомиозином [4, 6]. Эти результаты указывают, что протеин M изменяет характер взаимодействия актина с миозином.

Результаты, полученные в [4, 6], а также в данной работе, дают основание для определенного вывода о механизме действия протеина M .

Рассмотрим общепринятую упрощенную схему реакции взаимодействия актомиозина с АТР [11, 12]:



где A — актин, M — миозин, $M \cdot ADP \cdot P$ — комплекс миозин-продукты гидролиза. Предполагается, что причиной СПП является контакт $M \cdot ADP \cdot P$ с актином на стадии 3. Скорость их рекомбинации лимитирует скорость СПП. Реакции СПП и АТРазы имеют общую ступень 3, и поэтому эти скорости могут изменяться одинаковым образом. Актин при рекомбинации с $M \cdot ADP \cdot P$ ускоряет отделение продуктов гидролиза АДР и P_i . Именно на этой стадии проявляется активирующее действие актина на АТРазную активность миозина. Интересно отметить, что F-актин измененной конформации, полученный путем длительной полимеризации актина при весьма низкой концентрации белка или путем удаления нуклеотида из G актина, повышает АТРазу миозина при низких ионных силах в 100 раз слабее по сравнению с нативным актином. Однако СПП актомиозина идет быстро и величина ее соответствует полноценному комплексу [13, 14]. Значит, актин измененной конформации дает с миозином комплекс с нормальной СПП, без увеличения, с обычной степенью Mg-АТРазной активности миозина.

Как указывалось выше, протеин M замедляет G—F-превращение актина с увеличением коэффициента седиментации актина, свидетельствующее в какой-то степени о модификации актина. Видимо, вследствие этой модификации актин рекомбинирует с $M \cdot ADP \cdot P$ с высокой скоростью по сравнению с нормальным актином, но с обычной степенью увеличивает скорость сбрасывания продуктов гидролиза. Это выражается в увеличении скорости СПП без изменения АТРазной активности.

Таким образом, в зависимости от конформации актина скорости СПП и АТРазы актомиозина обнаруживают разную взаимосвязь. На основе имеющихся данных действие протеина M на скорость сокращения актомиозина можно объяснить модифицирующим действием протеина M на актин, которое проявляется в способности актина с большей скоростью рекомбинировать с $M \cdot ADP \cdot P$.

Принимая во внимание, что в основе сократительного акта и СПП лежат, по-видимому, общие конформационные превращения, протеин M можно рассматривать как модуляторный белок, участвующий в регуляции сокращения.

Академия наук Грузинской ССР

Институт физиологии
им. И. С. Бериташвили

(Поступило 13.9.1985)

ა. ვილიძიშვილი, გ. მიქაელი, გ. პავლიაშვილი, გ. ჯავალიშვილი (საქ. სსრ
მეცნ. აკადემიის წევრ-კორესპონდენტი)

პროტეინ M-აქტომილიზინის კომპლექსის სუპერპრეციპიტაცია და
ადენოზინტრიფაციონულათაზე არტიცობა

რეზიუმე

მიღებული შედეგების საფუძვლზე გამოტანილია დასკვნა, რომ პროტეინი M-ის გავლენა აქტომილიზინის სუპერპრეციპიტაციის სისტრაფის გაზრდაზე შეიძლება აისხნას პროტეინი M-ის მამოდიფიცირებული გავლენით აქტივული რაც გამოიხატება აქტინის უნარში დიდი სისტრაფით შეუერთდეს მ. დფ. ფ. ქ.

BIOPHYSICS

M. Sh. MELIKISHVILI, G. V. MIKADZE, G. I. PAVLIASHVILI,
M. M. ZAALISHVILI

SUPERPRECIPITATION AND ATPASE ACTIVITY OF PROTEIN M-ACTOMYOSIN COMPLEX

Суммарный

Superprecipitation and ATPase activity of protein M-actomyosin complex have been studied by the technique of simultaneous recording of these processes. It is shown that under the influence of protein M the rate and degree of SPP increase. Under 10-20% the content of protein M SPP rate increases correspondingly 4—8-fold without change of ATPase activity. The action of M-protein is manifested in the presence of Mg ions, whereas Ca²⁺ does not take part in this process. It is concluded that the influence of protein M on SPP rate of actomyosin can be explained by the modifying influence of protein M on actin.

ლიტერატურა — REFERENCES

1. М. М. Заалишвили, Г. В. Микадзе, Т. Т. Сургуладзе. Сообщения АН ГССР, 34, № 1, 1966, 99.
2. Г. В. Микадзе. Сообщения АН ГССР, 31, № 2, 1963, 295.
3. Г. В. Микадзе. Автореферат канд. дисс. Тбилиси, 1963.
4. Г. В. Микадзе, Н. И. Гогиадзе, М. М. Заалишвили. Сб. «Структурные основы и регуляция биологической подвижности». М., 1980.
5. Г. В. Микадзе, Н. И. Гогиадзе, М. В. Карселадзе. Биофизика, 26, вып. 5, 1981, 923.
6. Г. В. Микадзе, В. Я. Фурман, Г. И. Гедеванишвили, М. Г. Струя, М. М. Заалишвили. I Всесоюзный съезд биофизиков (тез. докл.). М., 1982.
7. V. S. Reggur. In: Methods in Enzymology N. Y. Acad. Press. 2, 1955, 582.
8. M. K. Ress, M. Jang. J. Biol. Chem. 242, 1967, 4449.
9. Г. В. Микадзе, Н. И. Гогиадзе, М. М. Заалишвили. Изв. АН ГССР, сер. биол., 1, № 1, 1975, 104.
10. H. H. Taussky, E. Shorr. J. Biol. Chem. 202, 1953, 675.
11. R. W. Lynn. J. Theor. Biol. 49, N. 2, 1975, 425.
12. A. G. Weeds. Biochem. Soc. Trans., 5, N 5, 1977, 1274.
13. H. Nakamura, J. Tonomura. J. Biochem. 63, 1968, 279.
14. T. Tokima et al. J. Biochem. 61, 1967, 108.

БИОХИМИЯ

Г. В. ЦИЦИШВИЛИ (академик АН ГССР), О. Ю. ЗАРДАЛИШВИЛИ,
Т. Г. АНДРОНИКАШВИЛИ (член-корреспондент АН ГССР),
К. О. КИКОДЗЕ, И. Ш. ШАТИРИШВИЛИ

НЕКОТОРЫЕ БИОХИМИЧЕСКИЕ ПОКАЗАТЕЛИ ПЕРЦА, ВЫРАЩЕННОГО НА КЛИНОПТИЛОЛИТСОДЕРЖАЩЕЙ ПОЧВЕ

В ряде работ [1, 2] приведены данные о перспективности использования природных цеолитов, в основном клиноптилолитсодержащих туфов, в сельском хозяйстве, как пролонгаторов действия удобрений, средств повышения урожайности различных растений, главным образом на бедных почвах, и экономии минеральных удобрений, а также защиты окружающей среды от загрязнения. Имеются сведения, что внесение цеолитсодержащих горных пород в почву приводит к улучшению биохимических показателей растений [3—5].

Нами были проведены вегетационные опыты по изучению влияния цеолитовых добавок, внесенных в почву, на сахаристость и содержание аскорбиновой кислоты в такой с/х культуре, как перец, для которого характерно высокое содержание витамина С.

Вегетационные сосуды заполнялись почвой в количестве 7 кг.

Объектом исследования служил перец Болгарский-79. Использовались темно-коричневая почва Поничальской экспериментальной базы и черноземная почва Сартичальского опытного пункта Института почвоведения, агрономии и мелиорации им. М. Н. Сабашвили. В качестве цеолитов применялись клиноптилолитсодержащие породы месторождения Тедзами (ГССР); минеральные удобрения вносились из расчета $N_{0,15}P_{0,15}K_{0,12}$ г/кг почвы. Эксперимент выполнялся по следующей схеме в трех повторностях: I (абсолютный фон) — сосуд, заполненный чистой почвой; II — сосуд, заполненный почвой, содержащей минеральные удобрения NPK (контроль); III — контроль + 1 г цеолита/кг почвы; IV — контроль + 3 г цеолита/кг почвы; V — контроль + 5 г цеолита/кг почвы; VI — контроль + 7 г цеолита/кг почвы; VII — контроль + 10 г цеолита/кг почвы; VIII — абсолютный фон + 2 г цеолита/кг почвы; IX — абсолютный фон + 4 г цеолита/кг почвы; X — абсолютный фон + 6 г цеолита/кг почвы.

Рассада перца высажена 30.5.1984 г.

Отмечено полное отсутствие прорастания сорняков на образцах почвы, содержащих клиноптилолитовые породы.

Фенологические наблюдения показали, что внесение в почву клиноптилолита способствует росту длины стебля в среднем на 10—20%. Длина и диаметр плода увеличиваются на темно-коричневой почве соответственно на 28—45 и 21—51% в зависимости от количества внесенного в почву клиноптилолита. Количество плодов увеличивается на 8—53%, а средняя масса плода — на 7—31%.

В меньшей степени оказывается влияние клиноптилолита при его внесении в черноземную почву. Так, длина и диаметр плода увеличиваются только на 6—16 и 5—13%, средняя масса плода — на 5—23%, а количество плодов — на 6—41%.

Биохимические исследования проводились в период как технической (зеленый), так и физиологической (красный) зрелости перца. Результаты эксперимента сведены в таблицу. Из этой таблицы следует, что вегетационные опыты проводились в период как технической (зеленый), так и физиологической (красный) зрелости перца. Результаты эксперимента сведены в таблицу. Из этой таблицы следует,

Влияние клиноптиловидных туфов на продуктивность и биохимические показатели перца Болгарский-79

Схема опыта	Темно-коричневая почва								Черноземная почва							
	Общий вес пло-	Прибавка к среднему		Витамин С, мг/100 г сырого вещества		Сахар, %		Общий вес пло-	Прибавка к среднему		Витамин С, мг/100 г сырого вещества		Сахар, %			
		г/сосуд	%	Зеленый	Красный	Зеленый	Красный		г/сосуд	%	Зеленый	Красный	Зеленый	Красный	Зеленый	Красный
Абсолютный фон	300,5	—	—	68	196	4,2	7,2	379	—	—	40	190	4,9	7,9		
Контроль NPK	391,2	—	—	72	220	4,9	8,3	443,7	—	—	64	240	5,3	8,7		
Контроль + 1 г/ц	458,5	67,3	17	112	242	5,9	9,7	467,2	23,5	5	104	252	5,9	8,9		
Контроль + 3 г/ц	627,0	235,8	60	128	264	6,5	10,5	633,6	189,9	42	108	260	6,2	9,5		
Контроль + 5 г/ц	681,2	290,0	74,1	152	278	6,5	10,7	679,0	235,3	53	112	268	6,5	10,3		
Контроль + 7 г/ц	661,2	270,0	69	128	272	6,1	10,7	673,2	229,5	51,7	108	268	6,5	10,3		
Контроль + 10 г/ц	501,3	110,1	28	120	264	5,9	10,5	520,8	77,1	17	104	256	6,1	10,0		
Абсолютный фон + 2 г/ц	348,4	42,8	—	112	249	5,8	10,2	415,8	—	—	68	248	5,9	9,9		
Абсолютный фон + 4 г/ц	321,6	—	—	104	242	5,8	10,0	368,7	—	—	67	244	5,7	9,9		
Абсолютный фон + 6 г/ц	268,2	—	—	104	242	5,8	10,0	356,2	—	—	67	244	5,7	9,7		



ет, что внесение клиноптилолита на фоне минеральных удобрений способствует увеличению урожайности перца на темно-коричневой почве на 17—74,1% и на черноземной почве на 5—53%, а также оказывает значительное влияние на содержание витамина С в плодах и на их сахаристость.

Содержание витамина С в плодах перца колеблется в зеленых в пределах 68—152 мг/100 г сырого вещества, в красных — 196—278 мг/100 г сырого вещества на темно-коричневой почве, 40—112 и 190—268 мг/100 г сырого вещества на черноземной почве.

Внесение в почву только минеральных удобрений не способствует увеличению содержания витамина С в плодах перца как технической, так и физиологической зрелости. Ввиду того что внесение цеолита на абсолютном фоне вызывает рост содержания витамина С в плодах перца, можно высказать предположение, что именно цеолит вызывает этот положительный биохимический сдвиг.

Внесение цеолитов в почву приводит к повышению сахаристости плодов перца, причем это происходит как под влиянием минеральных удобрений, так и цеолитов, внесенных вместе с удобрениями. Эта прибавка увеличивается в зеленых плодах на 1,0—1,6%, в красных — на 1,4—2,4% при выращивании перца на темно-коричневой почве. Сахаристость же перца на черноземной почве соответственно увеличивается на 0,6—1,2 и 0,2—1,6%.

Таким образом, установлено, что внесение в почву клиноптилолита содержащего туфа способствует увеличению урожайности перца, а также значительному улучшению некоторых биохимических показателей. В особенности этот эффект проявляется на темно-коричневой почве.

Академия наук Грузинской ССР

Институт физической и
органической химии
им. П. Г. Меликишвили

(Поступило 26.6.1986)

Заключение

8. ცეოლიტი (საქ. სსრ მეცნ. აკადემიის აუდიტის დარღვეული), თ. ზარდალიშვილი, თ. აცყრონიკაშვილი (საქ. სსრ მეცნ. აკადემიის წევრ-კორესპონდენტი), ძ. ძირმაძე, ი. შათორიშვილი

კლინოპტილოლიტუმისგანველ ნიადაგში აღმოცენებული ფიჭაპის ზოგიერთი გიოგიშვილი გაჩვენდა

რეზიუმე

მოსაცვლიანობა საკონტროლოსთან შედარებით გაიზარდა რუხ-ყავისფერ ნიადაგზე 17—74,1%-ით, შეგმიწა ნიადაგზე 5—53%-ით. სევე გაიზარდა ზოგიერთი ბიოქიმიური მაჩვენებელი (ვიტამინი „C“, შაქრიანობა). ვიტამინ C შემცველობა „ბულგარული-79“ წიწავის ნაყოფში მერყეობს: მწვანეში 68—152 მგ/100 გ ნედლ ნივთიერებაზე, წითელში 196—278 მგ/100 გ ნედლ ნივთიერებაზე (ნიადაგი — რუხი ყავისფერი) და შესაბამისად 40—112 მგ/100 გ ნედლ ნივთიერებაზე, 190—268 მგ/100 გ ნედლ ნივთიერებაზე (ნიადაგი — შავი). რუხ ყავისფერ ნიადაგში შაქრიანობა გაიზარდა 1,0—1,6%-ით (მწვანე ნაყოფი) და 1,4—2,4%-ით (წითელი ნაყოფი). შეგმიწა ნიადაგში — 0,6—1,2%-ით (მწვანე ნაყოფი) და 0,2—1,6%-ით (წითელი ნაყოფი).

G. V. TSITSISHVILI, O. Yu. ZARDALISHVILI, T. G. ANDRONIKASHVILI,
 K. O. KIKODZE, I. Sh. SHATIRISHVILI

SOME BIOCHEMICAL INDICES OF PEPPER GROWN ON CLINOPTILOLITE-CONTAINING SOIL

Summary

The results of pot experiments on „Bulgarian—79“ pepper growing on dark-brown and black earth soil containing clinoptilolite-rich tuffs using mineral fertilizers have shown that there is an increase in the productivity of this crop by 17—74.1% as compared with the control grown on dark-brown soil, and by 5—53% as compared with the control grown on black earth soil. There is also an improvement of some biochemical indices (vitamin „C“, sugariness).

The content of vitamin „C“ in pepper grown on dark-brown soil amounts to 68—152mg/100g of raw material for green pepper, and 196—278mg/100 g of raw material for red pepper, whereas in the case of black earth soil it amounts to 40—112 mg/100g, and 190—268mg/100g, respectively.

Sugariness of pepper grown on dark-brown soil is increased by 1.0—1.6% (green pepper) and 1.4—2.4% (red pepper). Sugariness of pepper grown on black earth soil is increased, accordingly, by 0.6—1.2 and 0.2—1.6%.

ЛІТЕРАТУРА — REFERENCES

1. Г. В. Цицишвили. Природные цеолиты в сельском хозяйстве. Тбилиси, 1980.
2. Э. А. Архипов, М. М. Ташкузинев и др. Применение природных цеолитов в животноводстве и растениеводстве. Тбилиси, 1984.
3. Н. Ф. Челишев, Р. В. Челишева. Вестник с/х наук, № 2, 1978.
4. П. И. Читая, Г. А. Далакишвили, К. В. Джаяшия. Применение природных цеолитов в животноводстве и растениеводстве. Тбилиси, 1984.
5. С. М. Мамедова. Автореферат канд. дисс. Баку, 1984.

ЭНТОМОЛОГИЯ

Г. К. ГУГУШВИЛИ

РАЗДРАЖИМОСТЬ ANOPHELES MACULIPENNIS MEIG. В ОБРАБОТАННЫХ И НЕОБРАБОТАННЫХ ПОМЕЩЕНИЯХ ПОСЕЛКОВ ГРУЗИНСКОЙ ССР

(Представлено членом-корреспондентом Академии Б. Е. Курашили 20.6.1986)

Опыты были проведены в населенных пунктах гипермаляриогенной зоны [1] Колхидской низменности и амаляриогенной зоны Боржомского ущелья.

В Колхидской низменности (поселки Шавлидзе, Кахабери, Махвилури, Хевлаурский район, пос. Хуцубани, Кобулетский район, Аджарская АССР, Очамчирский и Гальский районы, Абхазская АССР) в борьбе с переносчиками малярии с 1952 г. регулярно применяются хлорорганические инсектициды.

В амаляриогенной зоне пос. Бакуриани, который расположен в Боржомском ущелье, не проводились противокомарийные мероприятия.

В вышеуказанных населенных пунктах при обследовании помещений (хлева, жилые помещения и др.) нами неоднократно было замечено, что комары избегают обработанных помещений и скопляются в необработанных помещениях. Наблюдается нарастание численности основного переносчика малярии в природных биотопах (кустарники, дупла деревьев, норы и берлоги диких животных, трубы, навесы и др.) и в необработанных скотских и жилых помещениях. Таким образом, увеличивается степень зоофильности и экзофильности. Такое поведение переносчика вызвано отпугивающим действием ДДТ.

Увеличение степени экзофильии и зоофилии заслуживает особого внимания, так как уменьшается контакт переносчика с инсектицидом, а также с человеком в помещениях, комары большей частью нападают под открытым небом. Борьба с переносчиками в природных условиях затрудняется.

В результате длительного применения хлорорганических препаратов против переносчиков малярии изменяется степень раздражимости комаров. Иногда понижается раздражимость у резистентных популяций по сравнению с чувствительными популяциями, а зачастую отмечается противоположная реакция или же бывает одинаковая реакция у резистентных и чувствительных популяций комаров *An. maculipennis*.

Поведенческая реакция переносчиков малярии имеет как эпидемиологическое, так и большое практическое значение. Уровень раздражимости резистентных популяций переносчика малярии всецело зависит от того, на какой фазе (личиночной или имагинальной) проходит отбор на резистентность комаров.

Степень раздражимости *An. maculipennis* определялась у популяций из 7 различных объектов республики.

Популяции комаров из Шавлидзе, Кахабери и Мхвилури (Аджария) были высоко устойчивы к ДДТ: LC_{50} превышала 5% ДДТ, а из Кобулетского района (Аджария) и из Очамчира и Гали (Абхазия) LC_{50} равнялась 3,75%. Что касается необработанного объекта Бакуриани (Боржомский район), то там LC_{50} составляла 2,3%.



Раздражимость самок *Ap. maculipennis* определялась по методике ВОЗ [2] и спецнаборами, полученными из ВОЗ.

Раздражимость *Ap. maculipennis* под действием ДДТ

Популяция комаров	Уровень чувствительности к ДДТ, %	Среднее число взлетов 5 комаров в течение 15 мин		Среднее время от начала контакта комаров с импрегнированной ДДТ бумагой до первого взлета с нее, мин	
		Опыт	Контроль	Опыт	Контроль
Аджарская АССР					
Хевлачачурский район					
пос. Шавлидзе	5,25	50,5	4,7	2,2	0
пос. Кахабери	5,25	73,2	9,4	1,2	0
пос. Махвилади	5,25	58,6	2,0	3,5	5,6
Кобулетский район					
пос. Хуцубани	3,75	55,1	5,3	3,1	5,5
Абхазская АССР					
Очамчирский район	3,75	187,6	2,5	2,0	5,0
Гальский район	3,3	127,5	4,5	3,5	6,4
Боржомский район					
пос. Бакуриани	2,3	133,6	24,6	2,4	6,0

Показателем раздражимости считалось время от начала контакта самок *Ap. maculipennis* с обработанной поверхностью до первого взлета с нее и число взлетов 5 самок в течение 15 мин с обработанной поверхности (фильтровальная бумага, импрегнированная 2% раствором ДДТ). В контроле самки контактировали с бумагой, импрегнированной растворителем. В опыт бралось по 5 самок на II—III стадии Sella. Опыты были проведены в 8 повторностях. Температура воздуха во время опытов колебалась от 24 до 29°, а относительная влажность составляла 75—85%.

Как видно из таблицы, первый взлет самок с фильтровальной бумаги, импрегнированной ДДТ, регистрировался через 1,2—3,5 мин после начала контакта. В течение 15 мин самки *Ap. maculipennis* взлетали от 50,5 до 127,5 раза (резистентная популяция комаров из Аджарской и Абхазской АССР). Более раздражительной была популяция самок *Ap. maculipennis* из пос. Очамчира, которые в течение 15 мин взлетали 187,6 раза. Хотя в этом поселке уровень чувствительности к ДДТ равнялся 3,75%, но самки были более раздражительными, чем в необработанном пос. Бакуриани. В этом случае зафиксирован взлет самок 133,6 раза. Полученные данные свидетельствуют о том, что резистентные комары (очамчирская популяция) не отличаются по раздражимости от чувствительных (Бакуриани). В других объектах резистентная популяция самок была гораздо менее раздражимой.

Результаты проведенных исследований подтверждают, что избегание обработанных поверхностей характерно как для резистентных, так и для чувствительных самок *Ap. maculipennis*. Вследствие такого поведения увеличивается степень экзофильности и повышается контакт переносчика с человеком под открытым небом.

Таким образом, нецелесообразно проводить борьбу против переносчиков малярии путем обработки помещений препаратами ДДТ.



Необходимой задачей является усиление борьбы против преимагинальных фаз комаров биологическим (рыбка гамбузия) и экологическим (санитарная гидротехника) методами.

Институт медицинской паразитологии
и тропической медицины
им. С. С. Вирсаладзе
МЗ ГССР

(Поступило 27.6.1986)

ენტომოლოგია

გ. გუგუშვილი

**ANOPHELES MACULIPENNIS-ის გაღიზიანებადობა დამუშავებულ და
დაუუფარავებელ ჟენოგრაფიი საქართველოს სსრ დაგენერაცია**

რეზიუმე

An. maculipennis-ის დღტ-ს პრეპარატებისადმი გაღიზიანებადობის დასადგნენად გაერთიანებული ერების ჯანდაცვის საერთაშორისო ორგანიზაციის მიერ მოწოდებული მეთოდის თანახმად ცდებისათვის შევარჩიეთ ორი ერთმანეთისაგან განსხვავებული ობიექტი: კოლექტის დაბლობის ჰიპერმალარიოგენური ზონა, სადაც 1952 წლიდან მალარიის გადამტანის წინააღმდეგ რეგულარულად იყენებენ ქლორორგანულ ინსექტიციდებს და დაუმუშავებელი ობიექტი — ბორჯომის ხეობაში დაბა ბაკურიანი.

მიღებული შედეგებით შეიძლება დაგასკვნათ, რომ შემდგომში კოლების წინააღმდეგ ბრძოლა დღტ-ს პრეპარატებით არ არის მიზანშეწონილი. უცილებულია იმავეს წინა ფაზების წინააღმდეგ ბრძოლის ბიოლოგიური (თევზი გამბუჭია) და ეკოლოგიური (სანიტარიული ჰიდროტექნიკა) მეთოდების გაძლიერება.

ENTOMOLOGY

G. K. GUGUSHVILI

IRRITABILITY OF ANOPHELES MACULIPENNIS MEIG. IN TREATED AND UNTREATED BUILDINGS IN THE GEORGIAN SSR

S u m m a r y

With a view to determining the irritability of *An. maculipennis* by DDT preparations, experiments in accordance with the methods recommended by the WHO were carried out in two different areas: in the highly malarious zone of the Colchis lowland, regularly treated against malaria vector by chlororganic insecticides since 1952, and in the untreated zone of Bakuriani.

An. maculipennis population proved to be highly resistant to DDT preparations in the Colchis lowland, with LC_{50} above 5% in Adjaria, and 3.75% in Abkhazia. In the untreated zone LC_{50} proved 2.3%. The experiments showed reduced irritability of *An. maculipennis* resistant

population by DDT preparations, the cases of high irritability being the populations in Ochamchire (resistant) and Bakuriani (untreated).

These results warrant the conclusion on the necessity to improve biological (gambusia) and ecological (sanitary hydraulic engineering) methods of controlling the preimago phases.

ლიტერატურა — REFERENCES

1. Т. Л. Бакрадзе. Особенности эпидемиологии малярии в процессе ее ликвидации в Грузинской ССР. Тбилиси, 1974.
2. Семнадцатый доклад комитета экспертов ВОЗ по инсектицидам. М., 1972.

მათემატიკა

ა. ხოჭიძა

სუბიექტის ზომადლინგვისტური ცნიბა და კვემდიბარის სიმანტიკური
ფუნქციები თანამედროვე ფრანგულ მნაში

(წარმოადგინა აკადემიკოსა შ. ძიძე 15.6.1986)

ენათმეცნიერების განვითარების თანამედროვე ეტაპზე აღინიშნება სუბი-
ექტის ცნების განსაზღვრების მრავალსპეციტურება, რაც ნათლად ჩანს იმ
ერთმანეთისაგან განსხვავებული დეფინიციებიდან, რომლებიც მოცემული აქვს
სხვადასხვა ლინგვისტს. აი, რას წერს სუბიექტის სტრუქტურული როლის შე-
სახებ მ. პოტაპოვი: „ქვემდებარის განსაზღვრება გრამატიკაში ჯერ კიდევ
არ არის უნიფიცირებული. ყველაზე უფრო ხშირად ქვემდებარე ღებულობს ან
ლოგიკურ-ფსიქოლოგიურ ინტერპრეტაციას „ის, რაზეც ლაპარაკია წინადადე-
ბაში“, ან სემანტიკურ ინტერპრეტაციას, როდესაც ქვემდებარე განისაზღვრე-
ბა როგორც შემასმენელში მოცემული ნიშან-თვისებების გამომხატველი, ან
კიდევ, უფრო დართო გაგებით — როგორც „პირი, ან საგანი, რომელიც ას-
ტულებს ან განიცდის მოქმედებას, ან კიდევ იმყოფება ამა თუ იმ მდგომარეო-
ბაში“ [1]. მაგრამ მთავარია აღინიშნოს, რომ ქვემდებარის ტრადიციული ცნე-
ბა ვერ პასუხობს მის რეალურ ფუნქციებს. ქვემდებარე (სინტაქსური სუბიექ-
ტი) მუდამ როდი გამოხატავს მოქმედ ან გარკვეულ მდგომარეობაში მყოფ სა-
განს (პირს). საქმე იმაშია, რომ წინადადებას (ფრაზას) უნარი შესწევს მოახ-
დინოს ამა თუ იმ სიტუაციის ან ხდომილების არა მრრო პირდაპირად, არამედ
იზომორფულად, ირიბად დასახელება (ნომინატი). აქედან გამომდინარე, შესა-
ძლებელი და უცილებელი ხდება კვლევა ვაწარმოონ არა მხოლოდ სინტაქსურ
(ფორმალურ), არამედ სემანტიკურ დონეზეც; შეუსაბამობა, რომელიც ხშირად
ვლინდება ქვემდებარის სინტაქსურ სტატუსა და მის სემანტიკურ ფუნქციებს
შორის, ჩვენ შევვიძლია გავიზიაროთ შემდეგი სამი თანამედროვე სინტაქსური
მოძღვრების გავთვალისწინებით:

ა) მოძღვრება წინადადების წევრთა ფუნქციისა და პოზიციის გამიჯვნის
შესახებ; ბ) მოძღვრება წინადადების ანალიზის შესახებ სხვადასხვა დონეზე;
გ) წინადადების ვერბოცენტრული კონცეფცია, ანუ კონცეფცია, რომლის მიხე-
დვით წინადადების სტრუქტურულ ცენტრს შენა წარმოადგენს.

სუბიექტის კვლევისადმი ასეთი მიღობა, სახელდობრ, ძიება იმისა, თუ რა
სემანტიკურ ფუნქციებს შეიძლება ასრულებდეს სინტაქსური სუბიექტი (ქვე-
მდებარე), საშუალებას იძლევა კორექტივი შევიტანოთ ფრანგული ენის სინ-
ტაქსის სწავლების მეთოდიკაში, რათა უფრო გააზრებული გავხადოთ ეს სწავ-
ლება, დავუახლოოვთ იგი თანამედროვე შეცნიერების დონეს.

პირველ რიგში აუცილებელად მიყენთოთ სინტაქსური პოზიციისა და
ფუნქციის ცნებათა არაიდენტურობაზე, მათ გამიჯვნაზე. ფუნქცია თანამედრო-
ვე ენათმეცნიერებაში განიხილება როგორც წინადადების წევრის შინაარსი,
ხოლო პოზიცია — როგორც მისი სინტაქსური ფორმა. „ფუნქცია და პოზი-
ცია — სინტაქსური ერთეულის ორი მხარეა, მისი შინაარსი და ფორმა, ორი
პარამეტრია, რომელიც ახსიათებს ერთსა და იმავე კომპონენტს სხვადასხვა
თვალსაზრისით“ — წერს ნ. მატევაზ ვა [2]. პოზიციისა და ფუნქციის ამ



გამიჯნის შესაბამისად თანამედროვე ლინგგისტიკაში წინადადების ანალიზი გულისხმობს შემდეგი სამი სტრუქტურის, სამი ლონის გამიჯვანას. ეს დონეებია: სემანტიკური (აზრობრივი), სინტაქსური (ფორმალური) და ლოგიკურ-კომუნიკაციური. ანალიზი სამივე დონის გათვალისწინებით ცხადყოფს, რომ ამ სამ დონეს შორის არსებობს გარკვეული პარალელიზმი. მაგალითად, წინადადებაში “Le garçon chante”, “Le garçon” ფუნქციონირებს როგორც სინტაქსური სუბიექტი (ქვემდებარე). ამასთან ერთად „le garçon“ წარმოადგენს სუბიექტს. აგრეთვე სემანტიკური და კომუნიკაციური თვალსაზრისით, მაგრამ ეს პარალელიზმი ჩაირჩა ირლევეა. აი, რას წერს ამის შესახებ ვ. გ. გ. კ. ი.: „სემანტიკური სუბიექტი სინტაქსურიდ შეიძლება გამოიხარის ქვემდებარით, დამატებით (პეტრე მოწყენილია), განსაზღვრებით (ცეტრეს ჩამოსვლა). კომუნიკაციური ერთეულები — ოემა და რემა — თავის მნიშვნელობა არ დაემთხვევს სინტაქსურ ერთეულებს არც პარალიგმატულ, არც სინტაქმატურ ასპექტებში. ერთი და იგრივ კომუნიკაციური ერთეულის რეალიზაცია შესაძლოა წინადადების სხვადასხვა წევრში, ან შეიძლება მოიცავს წინადადების რამდენიმე წევრი“ [3].

შინადაბეჭა აღგვენს ერთეულს, რომელიც ნომინაციურ ფუნქციას ასრულებს, ე. ი. ასახელებს ხდომილებას ან სიტუაციას მთლიანობაში. სინტაქსური აქტანტები (ქვემდებარე და დამატებები), მოცემული ზენის როგორც პიროვის ორგვლივ, ქმნიან გარევაულ კონფიგურაციას (სტრუქტურას). ეს კონფიგურაცია აქტანტთა ურთიერთშეცვლის გზით შეიძლება ისე შეიცვალოს, რომ გამონათქვამი შინაარსეულად იგივე დარჩეს. ასე, მაგალითად, ა) სინტაქსურმა (ფორმალურმა) ქვემდებარე შეიძლება აღნიშნოს მოქმედების მიზეზი, სუბსტრატია, რომელიც ხელს უწყობს ან ხელს უშლის პროცესის განხორციელებას: Sa figure épouvanta l'enfant (G. Flaubert, Madame Bovary, p. 122).

ბ) სინტენსურმა ქვეყნებარებული შეიძლება შეასრულოს დროის კონკრეტულზოგონია: L'hiver fut froid (G. Flaubert. Madame Bovary, p. 79)

გ) სინტაქსურისა ქვემდებარებ შეიძლება გამოხატოს ოჯალური აღვილის გაზ-
მოქა: Le monde était plein d'événements sanglants, absurdes... (F. Sagan.
Un peu de soleil dans l'eau froide. p. 10).

(۳) ფრანგულის სინტაქსურ ქვემდებარება რეალური ობიექტის ფრენტის შესრულებაც შეეძლოა: Des qu'un mot tout entier est prononcé, il n'existe plus (Salacrou. La terre est ronde. p. 51).

ე) სინტაქსურმა კვლებარებმ შეიძლება შეასრულოს რეალური ოდრებათის ფუნქცია: Il reçut pour sa fête une belle tête phrénologique (G. Flaubert. Madame Bovary. p. 116).

၁။ ဒေသပြည်တော်မူရန် အကျဉ်းချုပ်မှုပေးပို့ဆောင်ရွက်မှု လုပ်ငန်းများ

(ଶେଷକାଳୀଙ୍ଗ 20.6.1986)

М. У. ХОПЕРИЯ

ОБЩЕЛИНГВИСТИЧЕСКОЕ ПОНЯТИЕ СУБЪЕКТА И СЕМАНТИЧЕСКИЕ ФУНКЦИИ ПОДЛЕЖАЩЕГО В СОВРЕМЕННОМ ФРАНЦУЗСКОМ ЯЗЫКЕ

Резюме

В связи с проблемой синтаксического субъекта в статье исследуется соотношение между синтаксическим и семантическим уровнями предложения. Выделяются некоторые семантические функции синтаксического субъекта.

ЯЗЫКОЗНАНИЕ



M. V. KHOPERIA

LINGUISTIC NOTION OF SUBJECT AND SEMANTIC FUNCTIONS OF SYNTACTIC SUBJECT IN MODERN FRENCH

Summary

In connection with the problem of syntactic subject the paper deals with the relationship between the syntactic and the semantic levels of a sentence. Some semantic functions of the syntactic subject are described.

Лიтература — REFERENCES

1. М. Д. Потапова. Иностранные языки в школе. № 3, 1976.
2. Н. Н. Матвеева. Научные доклады высшей школы, № 4, 1975.
3. В. Г. Гак. Научные доклады высшей школы. Филол. науки, № 5, 1975.



მართვის მიზანი

რ. ჩხერიძე

კართულ ხალხურ სამშენებლო საქმისთან დაკავშირებული
ანთროპოლოგიური ლექციები

(წარმოადგინა ფედერაციული ლ. ლომითიძემ 25.6.1986)

უძველესი დროიდანაა ცნობილი ისეთი სახელწოდებები, რომლებიც საერთო ენის სხვადასხვა ყოფილი რეალის აღმნიშვნელია (ქალამინი, ჩექმა, ჩანგალი, სატყელი, ბალიში, ქუდი...) და რომლებიც სიტყვათა მნიშვნელობის მეტაფორული გადააზრების შედეგად ამა თუ იმ დარგის ტერმინებად ქცეულა [1].

როგორც ცნობილია, საზოგადოებრივი კოლექტივის მიერ ტერმინები იქმნება აზროვნების განვითარების გარკვეულ ეტაპზე. აზროვნების შედარებით აღრესული საფეხურის, კერძოდ კი მისი კონკრეტულ-ხატოვანი ფორმის გამოხსატველი უნდა იყოს სწორედ ხალხურ სამშენებლო ტერმინოლოგიაში ადამიანის სხეულის ნაწილთა სახელების მეტაფორული გადააზრებით მიღებული ე. წ. ანთროპომორფული ტერმინები იმ რიგისა, როგორიცაა შუბლი, წარბი, ქალა, მკლავი, ჭუსლი, თავი, ფეხი, კოჭი...⁽¹⁾.

საერთო ენის სიტყვათა ტერმინოლოგიზაციის დროს ჩვეულებრივი ხმარების ესა თუ ის სიტყვა სხვა ფუნქციურ დატვირთვას იღებს და სპეციალური დანახელებისათვის საჭირო აუცილებელ შინაარსს იძენს. ბუნებრივია, ფუნქციის შეცვლას თან მოჰყვება სინტაგმატური ცვლილებებიც. შდრ. მაგ., ერთი მხრივ, ანტომიტური ყური: ყური ეტეკინა, ყური აუწია, ყურის ანთება და, მეორე მხრივ, ყური რი როგორც სამშენებლო ტერმინი: სახლის ყური, ყური აივანი, ყურები ამოტეხა და სხვა.

ქართულ ხალხურ სამშენებლო ლექსიკაში სახელდების ზემოაღნიშნული პრინციპი საქამაო სისრულით გამოიყენება: თითქმის არ არის დარჩენილი სხეულის არც ერთი ნაწილის სახელი, რომელიც სამშენებლო ტერმინად არ იყოს გადააზრებული. მა რიგის ტერმინთა სიუხვე განსაკუთრებით თვალსაჩინოა სხვადასხვა დიალექტის მასალაზე შედგენილ სინონიმურ მწყრივებში, სადაც სინონიმთა დიდზე დიდ უმრავლესობას სწორედ ანთროპომორფული ტერმინები შეადგენს. ასე მაგალითიდან⁽²⁾:

ა) ონგამების გამოგონებამდე კარებს ცალ გვერდზე თავსა და ბოლოში უკეთდებოდა წამახული ქი მებლი, რომლებითაც იგი სპეციალურ ხერხებში ბრუნავდა. მათ სხვადასხვა დიალექტში განსხვავებული სხეულის ნაწილის სახელებით აღნიშვნავის: ფეხი (იმერ.) || კოჭი (ხევ.) || შუბლი (ქიზიკ. შდრ.: საბა, დ. ჩუბ.). || ყური მალი (ლეჩხ., ქვ. იმერ.).

ბ) რამდენიმე კოჭის ან ფიცრის ერთმანეთთან დასაკავშირებლად სათანადო ადგილის მოჭრილი ჭიდები მნიშვნელობით სხვადასხვა დიალექტში იხმა-

(1) ტერმინი „ანთროპომორფული“ ზემოთ აღნიშნული ტიპის სახელების მიმართ ნახმარი აქვს დ. ლომითიძე [2].

(2) ადგილის საცირის გამო წერილში დასახელებული მაგალითების წყაროები ასად არ გვეჩენა მითითებულია: ისინი სათანადო დიალექტოლოგიური ლექსიკონებიდანაა მოკრეფილი.

(3) ყური რა მალი კომპოზიტია: ყური მალი ყურის მალი, ე. ი. ყურის ძვალი [3]. შდრ.: „ყურის გარეშემო“ (საბა).



რება: ყელი (რაჭ., იმერ.) || ქბილი (ლეჩ., რაჭ.) || ყბა (კახ., ქიზიხ., ფშ., მთ., იმერ., რაჭ.) || ლაშ-უბა (ხევ.) || თვალი (აჭარ. — მივლინების ჰასალ.) || ენა (აჭარ. — მივლინების მასალ).

გ) ხის სახლის გარეთა ნასკიან კუთხეს სხვადასხვა დიალექტში ეწოდება: ღოჯა (იმერ., ღოჯე—გურ.; ღოჯია—აჭარ. შდრ. ქეგლ: ღოჯი= „ღიღი კბილი, ეშვი“ || გოჭური (გურ. — კომპოზიტია: კოჭური-ური).

იმის გამო, რომ ენობრივ კოლექტივში ცოცხალია ამ სიტყვათა პირდაპირი მნიშვნელობით ხმარებაც, ფაქტობრივად საქმე გვაქვს მეტაფორული ხმარების შედეგად გაჩენილ ომონიმებთან.

ჩვენს საანალიზო ლექსიკაში ანთროპომორფული ტერმინების სამი ჯგუფი გამოიყოფა, რომლებშიც სემანტიკური გადაზრების საფუძველს ქმნის: ა) ხან ან ალოგიური მდებარეობა (კარტინგრის თავი, აიგნის შუბლი, ფუხი), ბ) ხან გარე გნული მსგავსება (ღოჯა, კიჭკიჭა(1), გ) ხანაც — მსგავსი ფუნქცია (კოჭი, მუხური).

ცნობილია, რომ გადატანითი სიტყვამარებისას სიტყვის შინაგანი ფორმა ანუ მოტივაცია გამჭვირვალეა, მაგრამ „არ არის სავალდებულო, რომ მოტივაცია სიტყვას სულ თან სდევდეს. ენობრივი კოლექტივი მალე ივიწყებს ხოლმე სიტყვის... სემანტიკურ აღნაგობას“ [4]. ამისი შედეგი უნდა იყოს, რომ მაგალითად აჭარულში ღოჯე არა მარტო სახლის გარეთა კუთხეა, არამედ — კედელიც. აქ უკვე აღარ ეწევა ანგარიში ტერმინის სახელდების ამოსავალ მოტივს: ღოჯი=დიდი კბილი. აქ თითქოს სიტყვის თავდაპირველი მნიშვნელობა ერთგვარად გაბუნდოვანებულია. ახლომდებარე კონსტრუქციული ელემენტები-სათვის საერთო ტერმინის გმოყენების მსგავსი შემთხვევები არც თუ იშვიათია ხალხურ საშენებლო ლექსიკში.

ზოგჯერ სიტყვის თავდაპირველი მნიშვნელობის გაბუნდოვანება შესაძლოა ბერათა ფონეტიკური ცვლილებებით იყო გამოწვეული. ასე მაგ., იმერულში გავრცელებული კვაჭახური <კვაჭახური (—კოჭა კიური-რი) სიტყვის სახეცვლილი ფორმაა (შდრ. გურ. კოჭური).

გენედება ისეთი შემთხვევებიც, როდესაც სიტყვები ერთი შეხედვით მთლიანად დაცლილი ჩანს შინაგანი ფორმისაგან, მაგრამ საგანგებო ძიების შედეგად მანც ხერხდება მათი სემანტიკის ამოცნობა, კერძოდ კი მათი დაყაშირება ადამიანის სხეულის ნაწილთა სახელებთან. ამის ნიმუშად სიტყვა გოგი შეგვეძლო დაგვესახელებინა. ქართველ ხელოსანთა მეტყველებაში გოგი (იმერ., გოგა — ლეჩ.) ეწოდება ვერტიკალურად აღმართულ ბოძს, რომელიც სახურავის სათავეს იქცერს. ამ ტერმინზე მსჯელობისას ივ. ჯავახიშვილი აღნიშნავს: „საგულისხმოა, რომ საბას განმარტებით, „გოგი თითის გარე განინაშე ვარიაცია“, ე. ი. თითის გარე კიდურის ნაწილის სახელია. ცნობილია, რომ თითის ეს ნაწილი დანარჩენ ნაწევრებზე უფრო მომცროა და, საფიქრებელია, რომ სწორედ ამ მსგავსებაზეა დამყარებული გოგის... სახურავის ამ ნაწილის აღმნიშვნელ სახელად გამოყენებაც“ [7].

(1) კიური კიურა მიღებულია კიურ (= კბილი ბაქვის ენზე—ქეგლ) ფუძის რელაპლიკაცით და აღნიშნავს კარიზის ერთ-ერთ სახეობას, რომელსაც დაკბილული ფორმა აქვს (სიტყვა ჩაწერილია აჭარში).

(2) საანალიზოად მიუთითებენ იმის თაობაზე, რომ ამგვარი დაყოფისათვის ყოველთვის ზუსტი საფუძვლის გამოიხახა არ ხერხდება [2]. მიუხედავად ამისა, ზოგადი მანც დასაშენებად გვიჩვენება ასეთი ჯგუფების გამოყოფის შესაძლებლობა.

აქვე გვინდა აღენიშვილთ ისიც, რომ სპეციალურ ლიტერატურაში ზოგი ეტორი ფუნქციის შეცვლას არ მოიჩინებს მეტაფორად [5], ზოგი აეტორი კი პირიქით — ფუნქციის მიხედვით მსგავსებას მეტაფორის ერთ-ერთ საფუძლად თვლის [6].



შეიძლება არ იყოს გამოსარიცხი გოგის დაკავშირება ფეხთან აც(1). აღმოსავლეთ საქართველოს მთის დიალექტებში გოგა აღნიშნავს ფეხის გულს, კოჭს, ქუსლს (მნიშვნელობის შემდგომი განვითარებით კი უყველო წინდის ძირსაც). ას. ჭინჭარაულის ზეპირი ცნობით, იგივე გოგი (ფეხის მნიშვნელობით) შემონახული უნდა იყოს სიტყვაში საგოგავი (მთიული, მოხ.=აკვნის ფეხი, რაზედაც ის ორწევა). ამ თვალსაზრისს უჭერს ბარის ქიზიყურის მონაცემიც: იქ საგოგავი ნიშნავს ბარის სატერფულს, ბარის ტარში შეყრილ კოტას ფეხის დასაღველად, რომ კაცი ბარს დააწვეს. იგივე ძირი ჩანს ზმურ ფორმაშიც დაგოგავი (== „გოგვით, ნარნარით დადის, ლამაზად დადის“ — ქეგლ).

ამგვარად, გოგი ფეხის თითის ნაწევარსაც შესაძლებელია გულისხმობდეს. უფრო მეტიც, გოგი შეიძლება ორივე კიდურის თითის ნაწევარსაც კი აღნიშნავდეს (შდრ. კოჭი, რომელიც ძველ ქართულში ორივე კიდურის შეერთების ადგილს აღნიშნავდა [3]). როგორადაც უნდა იყოს, მთავარი ისაა, რომ გოგი თუმცა დღეს ანატომიური მნიშვნელობით აღარ გვხვდება, მაგრამ მისი დაკავშირება სამშენებლო ანთროპომორფული ჯგუფის ტერმინებთან მაინც შესაძლებელი ჩანს.

ჩვენს საანალიზო ლექსიკაში ისეთი არამოტივირებული ტერმინებიც გვხვდება, რომელთა ეტიმოლოგიზაცია ქართული ენის მონაცემების მიხედვით არ ხერხდება. მათ შესახებ ცალკე გვეკრება მსჯელობა, იღვნიშნავთ მხოლოდ, რომ ეს ის სიტყვებია, რომლებიც ქართულ სამშენებლო ლექსიკაში ანატომიურ სახელთა ზანკური ფორმით დამკაიდრებულა (ომბა || ომბა (იმერ.) = სახლის სახურავის ზედა ძელი, სათავე. შდრ. ანატომიური მნიშვნელობა — „ჭიბი“, „გული“; ბორკალი (აჭარ.) = სახლის საყრდენი ბოძი, საძირკველი. შდრ. ანატომიური მნიშვნელობა — „ბარკალი“, „ფეხი“).

საქართველოს სსრ მეცნიერებათ აყადებია
ენათმეცნიერების ინსტიტუტი

(შემოვიდა 26.6.1986)

ЯЗЫКОЗНАНИЕ

Р. Ч. ЧХЕНКЕЛИ

АНТРОПОМОРФНАЯ ЛЕКСИКА, ИСПОЛЬЗОВАННАЯ В ГРУЗИНСКОМ НАРОДНОМ ЗОДЧЕСКОМ ДЕЛЕ

Резюме

В грузинской народной зодческой лексике выделяется сравнительно большая группа т. н. атропоморфных терминов, образованных путем метаморфического переноса наименований с частей человеческого тела. Среди них основную часть составляют термины-омонимы: tavi “голова”, rexhi “нога”, šubli “люб”, çarbi “бровь”, kusli “пята” и др; встречаются также и немотивированные термины, которые этимологически восходят к анатомическим наименованиям (gogil||goga “нога”, borçılı “бедро”, otpa||otpri “пуп”, “сердце”).

(1) მთ შმეტეს, რომ საბას მიხედვით არ ჩანს, თუ რომელი კიდურის თითის ნაწევარია გვვით.

R. Ch. CHKHENKELI

ANTROPOMORPHIC LEXIS USED IN GEORGIAN FOLK DWELLING CONSTRUCTION

Summary

In the lexis of the Georgian folk dwelling construction there can be singled out a relatively large group of the so-called antropomorphic terms, formed through metaphoric extension of names from the parts of human body. The majority of them represent homonymic terms: *tavi* „head“, *pekhi* „leg“, *shibli* „forehead“, *carbi* „brow“, *kusli* „heel“, *kbili* „tooth“, etc. There are also some unmotivated terms which etymologically originate from anatomic terms (*gogi* || *goga* „leg“, *borkili* „thigh“, *ompa* || *ompe* „navel“, „heart“).

ლიტერატურა—ЛИТЕРАТУРА—REFERENCES

1. В. П. Даниленко. Русская терминология. М., 1977, 99.
2. Д. С. Лотте. Основы построения научно-технической терминологии. М., 1961, 50.
3. ლ. გელენიძე. ადამიანის ანატომია-ფიზიოლოგიასთან დაკავშირებული ლექსიკი ძარღულში. თბილისი, 1974, 51, 90.
4. ბ. ცოჩჩუა. ქართული ენის ლექსიკოლოგია. თბილისი, 1974, 120.
5. А. А. Реформатский. Введение в языкознание. М., 1967, 51—53.
6. Б. Н. Головин. Введение в языкознание. М., 1977, 81.
7. ივ. ჭავახიშვილი. მუნებლობის ხელოენება ძველ საქართველოში. თბილისი, 1946, 169.



ლიტერატურის ისტორია

ზ. გამსახურდია

„ვეფხისტურის“ სიმბოლური ონომატოლოგია

(წარმოადგინა აკადემიის წევრ-კორესპონდენტმა ს. ცაიშვილმა 22.1.1987)

საბოლოო ლიტერატურათმცოდნეობისათვის ღამახასიათებელი მეთოდოლოგიური თვალსაზრისით შუასაუკუნოებრივი რომანის პერსონაჟებს, მოვლენებსა და სიტუაციებს უწინარეს ყოვლისა სიმბოლური, ნიშნისმიერი ხასიათი აქვთ, ისინი მატარებელი არიან გარკვეული ფუნქციებისა (ზოგჯერ რამდენიმესი ერთად) მოელის სისტემაში. ამგარი რომანების გმირები წარმოადგენენ არა ცოცხალ, მთლიან ხასიათებს, ცხოვრებიდან აღებულ, არამედ მხატვრულ კონსტრუქციებს, რომელთა მეშვეობით ავტორი წყვეტს გარკვეულ მსოფლმხედველობრივ და ზნეობრივ პრობლემებს. აქედან გამომდინარე, როგორც დასავლური, ისე საბჭოური მედიევსტრიქის საერთო დასკნით, შუასაუკუნოებრივი რომანი რეალისტურია ფილოსოფიური რეალიზმის გავებით, რომელიც რეალობად სოველიდა ზოგად ცნებებს [1], რომელთა პერსონიფიკაციებიც მოცემულია პერსონაჟების, მხატვრული სახეების, მოვლენების სახით.

ექდან გმომდინარე, შუასაუკუნოებრივი რომანის ნიმუშებს ახასიათებთ სიმბოლური ონომასტიკონი, გმირის სახელის სემანტიკის განსაზღვრა ავტორის იდეურ-მსოფლმხედველობრივი და მხატვრული ჩანაფიქრიდან გამომდინარე (მსგავსი ტრადიცია მომდინარეობს ანტიკური მითოლოგიდან და ლიტერატურიდან), ან შერჩევა ტრადიციით არსებული სიმბოლური სახელებისა. შუასაუკუნეთა როგორც დასავლურ, ისე აღმოსავლურ ლიტერატურაში გავრცელებული გმირთა სახელების უმრავლესობა ალეგორიული ეტიმოლოგიზმის პრინციპებზე აგებული. ასე მაგალითად, სახელი „პერსევალ“ ნიშნავს „ველად გაჭრილს“ (ძვ. ფრანგ.), რაც მიუთითებს სულზე, მის ეტილურ, მზიურ ინციაციაზე (მზიური გმირის კონვენციური სახე). სახელი „ტრისტან“ დაკავშირებულია „მწუხარებასთან“ (tristesse), სახელი „პერცელაიდე“ ნიშნავს „გულისტიკივილს“ (გერ.), სახელი „ტუნდრი“ დაკავშირებულია ცოდნასთან (გერმ. kund—ცოდნა), სახელი „ფანიერ-ფიც“ ნიშნავს „შავ-თეთრ ვაქს“, მეტისს, რაც განასახიერებს სინთეზურ, დასავლურ-აღმოსავლურ კულტურას. სიბრძნეს, პარიფიალის მეუღლის სახელი „კონდივიდუატურ“ ნიშნავს „სიყვარულში მუდმივს“ და ა. შ. ამგარი სახელების მატარებელი გმირები როგორც ვოლფრამ ფონ ეშენბახის „პარციფალში“, ისე სხვა რაინდულ რომანებსა და პოემებში, სიბოლოურად განასახიერებენ გარკვეულ ფუნქციებსა და ცნებებს, რასაც შეესაბამება მათი სახელები.

მსგავსი კონსტრუქციების შექმნა საცნაურია აღმოსავლურ შუასაუკუნოებრივ პოემებშიც. ასე მაგალითად, ფირდოუსის „შაპ-ნამეს“ მთავარი გმირის, როსტენის სახელი წარმოადგენს ავესტური მირების შერწყმას: roada — ხატება, იერი, და tahma — მძლავრი, რაც შუადღის მზეს განასახიერებს, ხოლო მისი ძის ზომერის სახელი აგრეთვე კომპოზიტია და შედგება ორი ფუძისაგან suhr>sur — წითელი და ab — ელვარება, რაც ამომავალი მზის ატრიბუტია, ვინაიდან ზორაბი განსახიერებს დილის მზეს (ორივე გმირის არქეტის სოლარული მითოსის პერსონაჟებში ხედავენ). ნიზამი განჭვის „ლეილმაჭნუნია-42: „მომბე“, ტ. 127, № 3, 1987.



ნის“ მთავარი გმირის, ლეილის სახელი უკავშირდება *laylah-ს* (ლეილის დომინანტური სიტყვა), რაც მიუთითებს საღვთო ბეჭედზე, ღვთის მიუწვდომელ, შეუძეუნელელ ასპექტზე, ხოლო მაჯნუნი ნიშნავს „სიყვარულით შმაგს“. „ლეილს“ უკავშირდებენ აგრეთვე „ლილიტს“, რაც ქალური დემონური საწყისის სახელწოდებაა და გახვდება ბაბილონშიც.

“ვეფხისტყაოსნის გმირთა სახელების წარმოებაშიც შეინიშნება მსგავსი ალეგორიული ეტიმოლოგიზმი. სახელი „ტარიელ“ წარმოადგენს კომპოზიტს და ნაწარმოებია ორი ფუძიდან „ტარ“ და „ელ“. ტარ-ფუძიანი სახელები ძევლი მსოფლიოს სხვადასხვა ხალხის (განსაკუთრებით იაფრტურ და ინდოევროპულ) პანთეონებში ფიგურირებენ როგორც ოენიმები, საყრალური კოსმიური არსებების, კერძოდ, ამინდისა და ჰექა-ჰუნილის ღვთაებების აღმნიშვნელი (ტარ-ჰუ, ტარხონ, ტარა, ტარანი და ა. შ.). ორაბულ ენაში და კერძოდ, სუფისტურ ტერმინოლოგიაში „ტარიქ, ტარიქა“ ნიშნავს ინიციაციის გზას [2], ხოლო „ელ“ ბიძლიაში და საერთოდ სემიტურ სამყაროში გავრცელებული ერთ-ერთი საღმრთო სახელია. ამრიგად, „ტარიქ“-ისა და „ელ“-ის შერჩყმა გვაძლევს „საღვთო გზას“, ღვთაებრივი, ვარსკვლავეთისმიერი საწყისის პერსონიფიკაციას. ექვე უნდა დაესძინოთ, რომ ზემოხსენებულ ამინდისა და ჰექა-ჰუზილის უძველეს მცირებაზურ და მედიტერანულ ღვთაებას ვეფხისტყაოსნად გამოსახავდნენ საკულტო მღვიმების კედლებშე, როგორც ეს დასტურდება არქეოლოგიური გათხრებით [3]. ერთ-ერთი ამგვარი ღვთაების სახელი იაფრტურ და ინდოევროპულ პანთეონებში, როგორც ოვნიშნეთ, ტარ-ფუძიანია, ხოლო ქრისტიანულ ანგელოლოგიაში მისი ეკვივალენტი არის მთავარანგელოზი მიქაელ ააღვთო სიყვარულისა და რაინდობის პერსონიფიკაცია, ისევე როგორც „ვეფხისტყაოსნის“ გმირი ტარიელი. მასთან ტარიელი განასახიერებს პარველებმნილ ადამს, არქეტიპულ კაცს და ლოგოსს, რომელსაც ღვთაებრივი ფირმამენტუმ, ამყარო, მოსახს, როგორც ვეფხის ტყავი (რამდენადაც ბასილი ღილის „ფინილოგოსნის“ მიხედვით ვეფხი, პანთერა ჭრისტეს სიმბოლოა, „ვეფხისტყაოსნის“, „ვეფხის ტყავით მხსილი“ უზნებურად ემთხვევა ჰაგიოგრაფიული ქრისტეშემოსილის“ გავებას. ამავე დროს ვეფხის ტყავი ბიძლიური იოსების ამოსასაც უკავშირდება, რომელიც არის პრეფიგურაცია მესიისა ძველ აღმანი. ყოველივე ეს მიუთითებს იმაზე, რომ ტარიელის სახე მრავალ ფუნქციას ქეიცავს, ისევე როგორც სხვა მთავარ გმირთა სახეები. მაგრამ უნდა აღინიშნოს, იომ „ვეფხისტყაოსნის“ გმირთა შორის მხოლოდ ტარიელი და ნესტანი ატა-ებენ თე ო ფორულ, ე. ი. სამრთო სახელებს.

სახელი „ავთანდილ“ პროფ. იუსტ. პაულაძის გამოკვლევით, ნაწარმოებია არაბ. „ვატან უდ დინ“-იდან, რაც ნიშანებს „სარწმუნოების ბინას, კერას, სამშობლოს“, ხოლო ნიუანსიურად „სარწმუნოების ბურჯს, სიმტკიცეს“. ჩევნის თვალსაზრისით ეს გმირი პოემაში წარმოადგენს პერსონიფიკაციას რწმენისა, კერძოდ, ფილოსოფიური რწმენისა, რომლის პრინციპებიც არეკლილია ივან-დილის ანდერში, ლოცვაში, მნათობთადმი მიმართვებში და ა. შ. მასთან შემთხვევით როდია, რომ ავთანდილის მონის, შერქმდინის სახელიც სარწმუნეობას უყვაშირდება და ნიშანებს „სარწმუნოების სიმირცეს, დღემას, კრძალულებას“.

სარწმუნოების ცნებასთან არის დაკავშირებული აგრძელებული „ნურა-დინ ფრიდონ“, რაც სიტყვასიტყვით ნიშნავს „სარწმუნოების ნათელს, მესამე გველისმბრძოლს, ანუ თრაეტაონას (Feridun საშ. სპარს. Fretton ავესტ. Fraetaona ეტიმოლოგიურად უკავშირდება რიცხვ „საშს“, „მესამეს“ და წარმოადგენს სახელ ავესტის ერთ-ერთი გველისმბრძოლი გმირისას), ხოლო „ნურ“ სუფისტური ნათელის სახელწოდებაა [4]. ნურადინ ფრიდონის სამ-კვილრებელი, სიმბოლური ქვეყანა მულლაზანზარი, იუსტ. ბძულაძის დაზუსტე-



ბით „მულდანზარზარი“ (სპარს.), ანუ მურღანზარზარი ნიშნავს „ფრინველეთს“, „ფრინველთა ქვეყანას“, რაც სუფისტურ სიბოლოებაში სულიერ პლანს განასახიერებს, ინიციაციის ერთ-ერთ საფეხურს. ეს ტერმინია „ფრინველთა საკურბულო“ (არაბ. მანთიქ უთ თაირ), ფარიდულინ ათარის ამავე სახელში დოკუმენტში მოგვითხრობს მისტიური ფრინველის, სიმურღის ქებნაშე, რომელიც განასახიერებს ფრინველეთის ერთანინბას და თავად შედგება შრავალი ფრინველისაგან (მრავლობითობის ერთანინბა). ამასთან „ვეფხისტყაოსნის“ გმირის, ფრიდონის სახელი შემთხვევით როდი ემთხვევა „შაპ-ნამეს“ გმირის ფერიდუნის სახელს, რომლის სახეშიც აირეკლა უძველესი კოსმიური მითი მზის (მზიური გმირის) ბრძოლისა ღრუბელ-დრაკონთან [5]. რამდენადაც ჩვენ „ვეფხისტყაოსნის“ გმირთა სამეულს, ანუ „სამ ფერს“, კონკრენტონალური მზიური გმირის სხვადასხვა ასპექტს უუკავშირებთ, გასავებია ფუნქციათა მგვარი ნათესობა.

„ვეფხისტყაოსნის“ გმირი ქალების სახელებსაც სეთივე ალევორიული ეტიმოლოგიზმი უდევთ საფუძვლად. სახელი თინათინ დაკავშირებულია სარკის, სარკისეული ანარეკლის ეტიმოლოგიასთან (ლათ. *speculum*). პლატონისეული ანაგოგის, ანუ აღყანებითი თარგმანების შიხედვით, სარკე სიმბოლო გონებისა, ვინაიდან ინდივიდუალური ადამიანური გონება წარმოადგენს სარკეს ღვთაებრივი გონებისას, რაც ფრიად გავრცელებული სიმბოლო შეასაკუნეთა ლიტერატურაში [6]. თინათინი განასახიერბს სპეციულატურ ფილოსოფიას, გონებისმიერ ჭვრეტაშე დამყარებულს. ავთანდილის მიჯნურობა გონება-თინათინისადმი ალევორიულად ასახავს პლატონისეული ეპოპტური შობის პირველ ეტაპს, კერძოდ, სიყვარულს სულის გამოვლინებებისადმი გონებისმიერ ფორმებში, რაც სიბოლოზებულია სარკით. მინით, ხოლო ტარიელთან მევობრობა და მასთან ერთად ნესტანის ძიება შემდგომი ეტაპია ეპოპტური შობისა და ასახავს სიყვარულს წმინდა იდეისადმი, აბსოლუტური შევენიერებისა და სიკეთისადმი (ტარიელ — ნესტანის სფერო), რაც სიმბოლიზებულია იაგუნდით:

„ამან დღემნ დამავიწყა, გული ჩემი ვინ დაბნიდა,
დამიგდი სამსახური, იგი იქმნას, რაცა ვინდა,
იაგუნდი ეგრეცა სჭობს, ათასჯერმცა მინა მინდა,
უნ გეახლო სიკვდილამდე, ამის მეტი არა მინდა“.

ნესტანდარეგანის სახელი („ნესთ ანდარე ჭეპან“) ნ. მარისა და იუსტ. აბულაძის განმარტებით ნიშნავს სიტყვა სიტყვით: „არ არის ქვეყანად“ (სპარს.), რაც მიუთითებს ტრანსცენდენტულ ღვთაებაზე და წარმოადგენს სუფისტურ მისტიკაში გავრცელებულ საღმრთო სახელს. „ნესთ ანდარე ჭეპან“ საღმრთო სიბრძნის, სოფიას პერსონიფიკაციაა, შერთვის ობიექტია (მაგ. ნიზამის „ისკენდრენამეში“).

სახელი „ფატმან“ მომდინარეობს არაბულ-სუფისტური ტერმინიდან „ფაშატ“ (ცოდნა). არაბულ ენაში და აქედან სპარსულშიც სიტყვა „ფაშ“ (სემიტური ძირიდან ფაშ) ნიშნავს გაეგბას, მიხედრას, ცოდნას, აქედანვე „ფაშმატ“ და სსენებული ძირიდან ნაწარმოები სხვა სიტყვები [7]. „ფატმანი“ არაბულ-სუფისტური შესატყვისია „კუნდრისა“ (ცოდნა) და პოემაში განასახიერებს მიწიერ ფილოსოფიას. აქვე უნდა აღინიშნოს, რომ სოლომონის იგავთა წიგნში (2.17) მოხსენებული მედავი (ქმრის მოღალატე ქალი) ეკლესის მამათა ეგზეგეტიების მიხედვით წარმოადგენს მიწიერი, ამქვეყნიური ფილოსოფიის ალევორიდან [8].

„ვეფხისტყაოსნი“ ალუზიური, ენიგმატური პოემა-რომანია, მასში მითოპოეტური აზროვნება შერწყმულია შუასაკუნებრივ სიმბოლიზმთან, ალევორიზმთან. პოემაში გამოყენებულია სუფიშმის სიღუმოლ ხატოვანი ენისათვის დამახასიათებელი ტერმინები. რუსთველი სინკრეტულ მთლიანობში გვა-

ძლევს როგორც ანტიკური, ისე შუასაუკუნეობრივი ინიციაციური სიბრძნის „სუმმას“ მხატვრული პირობითობის, მხატვრული სინთეზის სახით, რის შედეგადაც მასში კვედებით ჰერეროგენულ იდეებს, სხვადასხვა ინციაციური სკოლისა და რელიგიურ-ფილოსოფიური მიმღინარეობისათვის დამახასათებელთ. ქრისტიანულ-ხეოპლატონური ფილოსოფია, არეოპაგიტული და სუფისტური სახისმეტყველება მისთვის ამოსავალი წერტილია.

საქართველოს სსრ მეცნიერებათა ფალმია
შოთა რუსთაველის სახ. ქართული ლიტერატურის
ისტორიის ინსტიტუტი

(შემოვიდა 29.1.1987)

ИСТОРИЯ ЛИТЕРАТУРЫ

З. К. ГАМСАХУРДИА

СИМВОЛИЧЕСКАЯ ОНОМАТОЛОГИЯ «ВИТЯЗЯ В БАРСОВОЙ ШКУРЕ»

Резюме

Имена персонажей «Витязя в барсовой шкуре» символически выражают определенные понятия и функции, персонификациями которых являются сами герои. Этимологический смысл этих имен определяется идеальным и художественным замыслом автора, сообразно традициям средневекового романа и эпоса, как запада, так и востока.

HISTORY OF LITERATURE

Z. K. GAMSAKHURDIA

THE SYMBOLIC ONOMATOLOGY OF “THE KNIGHT IN THE PANTHER’S SKIN”

Summary

The names of “The Knight in the Panther’s Skin” personages symbolize definite functions and conceptions, personifications of which are the characters themselves. Their etymological meaning is determined by the idea content of the poem and the author’s artistic purpose, in accordance with the traditions of the medieval romance and epic tales both of the East and West.

ლიტერატურა — ЛИТЕРАТУРА — REFERENCES

1. Е. М. Мелетинский. Средневековый роман. М., 1983, 7, 8.
2. Idries Shah. The Sufis, London, 1971, 397.
3. Т. В. Гамкрелидзе, В. В. Иванов. Индоевропейский язык и индоевропейцы. Тбилиси, 1984, 505, 506.
4. I. Chevalier. Le Soufisme, Paris, 1971.
5. Фирдоуси. Шах-Наме, т. I. М., 1957, 616.
6. I. Frappier. Histoires, mythes et symboles, Geneve, 1973, 149.
7. Idries Shah. The sufis, 178, 225, 369.
8. H. A. Wolfson. The Philosophy of the Church Fathers, Cambridge, Massachusetts, 1970. 24.

127-ი ტომის ავტორთა საძირგველი

- | | | |
|---------------------------|-----------------------|-----------------------|
| აბესაძე ო. 55, 280 | გაჩერილაძე ნ. 396 | თავაძე ფ. 331 |
| აბესაძე ო. 87 | გეგენავა გ. 403 | თალაკაძე ლ. 535 |
| აბურჯანია ა. 627 | გერასიმოვი ა. 520 | თარხნიშვილი ღ. 167 |
| აგამიროვი ვ. 48 | გველესიანი გ. 603 | თოფიშვილი ა. 51 |
| ადამია რ. 44, 272 | გვერდწოთლი ა. 520 | თოფიშვილი გ. 312 |
| ავალიშვილი ა. 390 | გვგაური რ. 80, 292 | თუთბერიძე ბ. 108 |
| ავთანდილაშვილი მ. 512 | გლოველი ო. 376 | |
| ალავიძე თ. 292 | გლურჯიძე ლ. 606 | |
| ალევეგა ლ. 364 | გობრინიძე თ. 103 | |
| ანდრინიკაშვილი თ. 91, 643 | გოგიშვილი თ. 292 | ივანიშვილი ა. 516 |
| არაძიძე გ. 356 | გოგიშვილიშვილი ვ. 359 | ინარძიძე ლ. 572 |
| არევლაძე ა. 147 | გოგიშვილი ლ. 288, 560 | იოსელიანი თ. 376 |
| ახალედიანი რ. 600 | გოგსაძე რ. 359 | იორდანიშვილი ზ. 528 |
| ახელედიანი შ. 365 | გოგუა ზ. 520 | ირემაძე ნ. 83, 87 |
| | გოლიძეშვილი გ. 516 | იულინი ს. 523 |
| | გონჯილაშვილი ნ. 119 | |
| | გოცაძე ვ. 320 | |
| | გუგუშვილი გ. 647 | |
| | გუჯარაძინი ლ. 612 | |
| ბაკაშვილი ვ. 620 | | გაებაძე გ. 55 |
| ბალოშვილი თ. 548 | | განგავა ვ. 405 |
| ბანძელაძე ბ. 44, 272 | | განდელაძე ნ. 22 |
| ბარიხინა გ. 416 | | გაპანძე ბ. 367 |
| ბატიაშვილი თ. 299 | | გაერავა ნ. 183 |
| ბატაძე ვ. 167 | | გაელიძე ნ. 516 |
| ბატლავაძე გ. 603 | | გარესელიძე რ. 531 |
| ბათოშვილი ვ. 331 | | გვანტალიან ლ. 556 |
| ბენაშვილი ვ. 96, 548 | | გვანტალიან რ. 112 |
| ბერძელიანი გ. 352 | | გვაჭარიძე გ. 371 |
| ბერცელიანი გ. 352 | | გვერნაძე გ. 259 |
| ბერმანი ს. 539 | | გვერნიძე გ. 416 |
| ბერძენიშვილი თ. 523 | | გვირიკაშვილი გ. 352 |
| ბოლტანისკი ვ. 471 | | გვირგაშვილი რ. 441 |
| ბოცაძე ვ. 587 | | გიკაჩევაშვილი გ. 623 |
| ბორიტ-რობასა ა. 299 | | გილიაშვილი ა. 188 |
| ბუთხეზი თ. 377 | | გილურაშვილი ნ. 405 |
| ბუთხეზი ს. 377 | | გირთაძე ა. 35 |
| ბუშმილი ლ. 55 | | გირიაკოვა ა. 83 |
| ბულგაროვა ვ. 132 | | გილურაძე ო. 147 |
| ბურაძე გ. 183 | | კლიმიშვილი ა. 572 |
| ბურუშლიძე ა. 512 | | კობიშვილი რ. 340, 616 |
| ბუცერიძე გ. 156, 636 | | კოგანი ლ. 296 |
| ბუჭიაშვილი გ. 195 | | კოენიძე თ. 539. |
| | | კოკიჩიშვილი თ. 551 |
| გაბელაა ა. 496 | ვარშტეინი ი. 502 | კორტავა ლ. 296 |
| გაბიძიანი ა. 119 | ვასნიოვა გ. 292 | კოსტევა ა. 128 |
| გავაშვილი ა. 307 | ვაშავაძე მ. 87 | კოუტინ-კორტავა ლ. 299 |
| გაბერიძინ ვ. 28 | ვინწოლცი რ. 594 | კურტცე გ. 594 |
| გამიახურდა ზ. 657 | | კუსალეიშვილი რ. 244 |
| გამყრელიძე ნ. 567 | ზალიშვილი გ. 396, 640 | |
| გაფრინდაშვილი ვ. 288, 560 | ზარდალიშვილი თ. 643 | |
| გაჩიავა ვ. 176 | ზილბერტეტეინი ა. 623 | |
| | ზოიძე ნ. 331 | |

ლალიძე რ. 83, 87, 539
ლალიძე ვ. 83, 535



ලුද්ධාන්තය ෂ. 591
ලුද්ධාන්තය ට. 205
ලුද්ධාන්තය ට. 594
ලුද්ධාන්තය ට. 356
ලුද්ධාන්තය ට. 147
ලුද්ධාන්තය ට. 399
ලුද්ධාන්තය ට. 424
ලුද්ධාන්තය ට. 331
ලුද්ධාන්තය ට. 87

මාසිඹානය ට. 567
මාන්දානය ට. 412
මාන්දානය ට. 119
මාන්දානය ට. 68
මාන්දානය ට. 116
මාන්දානය ට. 68
මාන්දානය ට. 575
මාන්දානය ට. 116
මාන්දානය ට. 315, 583
මාන්දානය ට. 376
මේලය ට. 399
මේලය ට. 296, 531
මේලය ට. 660
මේලය ට. 631
මේලය ට. 201
මේලය ට. 91
මේලය ට. 516
මේලය ට. 135
මේලය ට. 296, 640
මේලය ට. 128
මේලය ට. 556
මේලය ට. 75
මේලය ට. 60
මේලය ට. 156, 636
මේලය ට. 163, 384
මේලය ට. 427
මේලය ට. 343
මේලය ට. 437
මේලය ට. 627
මේලය ට. 328
මේලය ට. 412
මේලය ට. 172
මේලය ට. 412
මේලය ට. 124
මේලය ට. 531

නාගරිකය ට. 255
නාගරිකය ෂ. 128
නාගරිකය ෂ. 152
නාගරිකය ට. 600
නාගරිකය ට. 399
නීතුරු ට. 491
නීතුරු ට. 284
නීතුරු ට. 348
නීතුරු ට. 627
නීතුරු ට. 612

මංජානය ට. 31
මංජානය ට. 567
මංජානය ට. 143
මංජානය ට. 377
මංජානය ට. 403

පාඨමානය ට. 474
පාඨමානය ට. 640
පාඨමානය ට. 432
පාඨමානය ට. 91, 516
පෙරේරාය ට. 284
පෙරේරාය ට. 152, 416
පෙන්සිය ට. 135
පෙන්සිය ට. 328
පෙන්සිය ට. 336, 620

ශර්ඛානය ට. 132
ශර්ඛානය ට. 96

රාභ්‍යය ට. 531
රාභ්‍යය ට. 535
රූජාන් ට. 572
රූජාන් ට. 183
රූජාන් ට. 80
රූජාන් ට. 96
රූජාන් ට. 416

සාහ්‍රානය ට. 437
සාහ්‍රානය ට. 579
සාහ්‍රානය ට. 384
සාම්ජිය ට. 365
සාම්ජිය ට. 606
සාම්ජිය ට. 535
සාම්ජිය ට. 180
සාම්ජිය ට. 403
සාම්ජිය ට. 274
සාම්ජිය ට. 152
සාම්ජිය ට. 551
සාම්ජිය ට. 324
සාම්ජිය ට. 176
සාම්ජිය ට. 248

ඖංජාතාය ට. 399
ඖංජාතාය ට. 560
ඖංජාතාය ට. 320
ඖංජාතාය ට. 143
ඖංජාතාය ට. 416
ඖංජාතාය ට. 572
ඖංජාතාය ට. 523
ඖංජාතාය ට. 512
ඖංජාතාය ට. 396

ඖංජාතාය ට. 147
ඖංජාතාය ට. 280

ශ්‍රේෂ්ඨය ට. 159
ශ්‍රේෂ්ඨය ට. 296, 544

ශ්‍රේෂ්ඨය ට. 35
ශ්‍රේෂ්ඨය ට. 19
ශ්‍රේෂ්ඨය ට. 512
ශ්‍රේෂ්ඨය ට. 551
ශ්‍රේෂ්ඨය ට. 479
ශ්‍රේෂ්ඨය ට. 188
ශ්‍රේෂ්ඨය ට. 491
ශ්‍රේෂ්ඨය ට. 520

ශ්‍රේෂ්ඨය ට. 556
ශ්‍රේෂ්ඨය ට. 516
ශ්‍රේෂ්ඨය ට. 72
ශ්‍රේෂ්ඨය ට. 132
ශ්‍රේෂ්ඨය ට. 356
ශ්‍රේෂ්ඨය ට. 567
ශ්‍රේෂ්ඨය ට. 512
ශ්‍රේෂ්ඨය ට. 643
ශ්‍රේෂ්ඨය ට. 103

ශ්‍රේෂ්ඨය ට. 579
ශ්‍රේෂ්ඨය ට. 183
ශ්‍රේෂ්ඨය ට. 377

ශ්‍රේෂ්ඨය ට. 48
ශ්‍රේෂ්ඨය ට. 176
ශ්‍රේෂ්ඨය ට. 191

ශ්‍රේෂ්ඨය ට. 199
ශ්‍රේෂ්ඨය ට. 507
ශ්‍රේෂ්ඨය ට. 531, 643
ශ්‍රේෂ්ඨය ට. 482
ශ්‍රේෂ්ඨය ට. 163

හිංෝලය ට. 83
හිංෝලය ට. 288, 560
හිංෝලය ට. 512
හිංෝලය ට. 72
හිංෝලය ට. 64
හිංෝලය ට. 183
හිංෝලය ට. 119
හිංෝලය ට. 377
හිංෝලය ට. 653

ხილვაძე გ. 167	წულაია პ. 140	ხომებრივი რ. 499
წერძიანიშვილი ღ. 387		ხოფერია პ. 649
ცაგარელი ვ. 579	ჭავჭავაძე ღ. 539	ხულორდავა კ. 512
ცინცაძე გ. 60	ჭიათული ღ. 556	ხუსკივაძე გ. 474
ციცელიშვილი გ. 91, 556	ჭიჭიანიძე თ. 116	
ცოლაია ი. 156, 636	ჭუმბურიძე თ. 91, 299	ჯაბუა ზ. 606
ცხალია რ. 603		ჯავახიშვილი გ. 60
ძძიგური ა. 116	ხანავა ზ. 156, 636	ჯანიშვანოვი თ. 288, 560
ძელიაძე გ. 433	ხარაშიშვილი ა. 264, 488	ჯაფარიძე ღ. 64
ძოშენიძე ზ. 551	ხახაშვილი ა. 343	ჯაფარიძე პ. 567
	ხიშჩაშვილი გ. 468	ჯირანაშვილი ვ. 191
		ჯიბუტი ზ. 520
		ჯორგენიძე ა. 39, 267

УКАЗАТЕЛЬ АВТОРОВ 127-го ТОМА

Абесадзе И. Г. 85
 Абесадзе Т. Ш. 53, 277
 Абурджания А. Н. 625
 Авалишвили И. П. 389
 Автандилашвили М. В.
 509
 Агамиров В. А. 45
 Адамия Р. Ш. 41, 269
 Алавидзе Т. З. 289
 Алоева Л. М. 361
 Андроникашвили Т. Г.
 89, 641
 Арабидзе Г. О. 353
 Арвеладзе И. С. 145
 Ахвlediani P. A. 597
 Ахвlediani Ш. Н. 367

Баакашвили В. С. 617
 Багдадзе Д. И. 601
 Бадзашвили В. И. 329
 Бандишвили О. С. 545
 Бакрадзе М. А. 165
 Бандзеладзе Б. Р. 41,
 269
 Барыхина Г. А. 413
 Батнашвили Т. В. 297
 Бенашвили Е. М. 93,
 545
 Бенделiani Г. Дж. 349
 Бенделiani Дж. М. 349
 Бердзенишвили Т. Л.
 521
 Берман С. С. 537
 Болтянский В. В. 469
 Брито-Рохас А. 297
 Буджиашвили М. О.

193

Буишивили Л. Л. 53
 Булгаков В. П. 129
 Буркадзе Г. М. 181
 Бурчуладзе А. А. 509
 Бутухзи С. М. 380
 Бутухзи Т. Т. 380
 Бущрикидзе М. П. 153,
 633
 Вайнштейн Ю. Б. 501
 Васиев В. А. 289
 Вашакидзе М. Ш. 85
 Винхольц Р. 593

Габелая А. Г. 493
 Габисиани А. Г. 117
 Гавашели А. М. 305
 Гавтадзе Т. Т. 577
 Гальперин Г. А. 25
 Гамкрелидзе Н. В. 565
 Гамсахурдия З. К. 660
 Гаприндашвили В. Н.
 285, 557
 Гачава Э. Ш. 173
 Гачечиладзе Н. А. 393
 Гвелесиани Г. Г. 601
 Гвердцители И. Г. 517
 Гегениава Г. В. 401
 Герасимов А. Б. 517
 Гигаури Р. Д. 77, 289
 Гловели Т. Б. 373
 Глурджидзе Л. Н. 605
 Гобронидзе Т. И. 101
 Гогиашвили Т. М. 289
 Гогичадзе Л. Д. 285,

557

Гогуа З. Г. 517
 Годердзишвили Г. И.
 513
 Гозалишвили М. И. 549
 Гонджилашвили Н. Д.
 117
 Гоцадзе В. И. 317,
 585
 Гугушвили Г. К. 645
 Гудушаури О. Н. 181
 Гукасян Л. Е. 609
 Гурцкая Г. П. 380

Дадиани Т. О. 605
 Далакишвили А. И. 97,
 301, 561
 Дараселия Д. М. 61
 Двалишвили А. И. 537
 Джабуა З. У. 605
 Джавахишвили Дж. И.
 57
 Джаниманов Т. Б. 285,
 557
 Джапаридзе Д. Л. 61
 Джапаридзе П. Н. 565
 Джейранашвили В. Г.
 189
 Джигуби ზ. ვ. 517
 Джорбенадзе А. Н. 37,
 265
 ძვიდვილი ა. ა. 113
 ძვილაძე მ. ს. 435
 ძვილიძე ვ. გ. 549
 დიგონაძე რ. რ. 65
 დიკაძე ე. ვ. 605
 დილაშვილი კ. ა. 61
 დომუხოვსკი ვ. პ. 117



- Дублянский В. Н. 569
Думбадзе Н. В. 373
Дундуа В. Ю. 69
- Еременко В. И. 609
- Жгенти Ш. Ш. 93
Жордания И. С. 129
- Заалишвили М. М. 393,
637
- Зардзелишвили О. Ю.
641
- Зильберштейн А. М. 621
Зондзе Н. А. 329
- Иванишвили А. Н. 513
Инасаридзе Л. Т. 573
Иорданышвили З. А.
525
- Иоселiani Т. К. 373
Иремадзе Н. К. 81, 85
- Какабадзе Г. Л. 53
Канделаки Н. П. 21
Канкава В. Л. 406
Кантария М. Л. 553
Кантария Р. В. 513
Капанадзе М. Г. 565
Карумидзе Г. С. 69
Качарава Н. Н. 181
Качишвили К. И. 45
Кашакашвили Г. В.
129
- Квавадзе Э. В. 189
Квавадзе Э. Ш. 173
Кванталiani Л. К. 553
Кванталиани Р. И. 109
Квачантирадзе Э. П.
369
- Квериадзе Г. А. 257
Квинихидзе Г. С. 413
Квирикашвили Г. В.
349
- Квиташвили Р. Ш. 443
Кевшишвили Н. А. 353
Кекелидзе Н. П. 513
Келбакiani Н. В. 565
Кереселидзе Р. В. 529
Кигурadзе О. Д. 145
- Кикачешвили Г. Е.
621
- Кикодзе К. О. 641
Кикозашвили И. Л. 185
Кинцурашвили Н. Т.
406
- Кириакова А. В. 81
Кирикашвили Н. Е.
509
- Киртадзе А. П. 33
Климчук А. Б. 569
Кобиашвили Р. Р. 337,
613
- Ковзиридзе Т. А. 537
Коган Л. О. 293
Кокоашвили Т. В. 549
Кортава Л. М. 293
Костава А. А. 125
Коутин-Корреа Д. П.
297
- Круашвили З. Е. 45
Курце М. 593
Кутателадзе Г. Н. 101
Кухалейшвили Р. Э.
241
- Лагидзе Д. Р. 81, 533
Лагидзе Р. М. 81, 85,
537
- Лебанидзе З. М. 589
Лелашвили М. З. 207
Лемке В. 593
Лоладзе М. Ш. 353
Лолуа Д. Р. 145
Ломсадзе Б. А. 397
Лордкипанидзе Н. З.
421
- Луарсабишвили Н. Н.
329
- Лурсманашвили М. О.
85
- Майсурадзе Б. Г. 565
Манджавидзе М. В.
409
- Маргнев Б. Г. 117
Марсагишили Т. А. 65
Махарадзе А. И. 313,
581
- Мачаварини М. Н. 65
Мачаварини Н. Г. 573
Мачаварини Т. М. 113
Мачарашили С. В. 113
Мгалоблишвили Н. Р.
373
- Меладзе М. Г. 597
Меликадзе Л. Д. 293,
529, 541
- Меликишвили М. Ш.
637
- Меликстян Н. А. 629
Мелкадзе Э. Г. 204
Месарош А. 89
Микадзе Г. А. 297
Микадзе Г. В. 637
Микадзе З. К. 125
Микаутадзе М. М. 133
Микелашвили З. В. 553
Мирцхулава А. А. 513
Модебадзе М. Е. 73
Молдавский М. Л. 57
Монизава Э. С. 153, 633
Мосидзе Н. В. 161, 381
Моцонелидзе Н. С. 341
Мошиашвили С. А. 425
Мурванидзе Б. М. 439
Муселиани Т. Г. 625
Мусеридзе Н. К. 325
Мухселишвили Г. Д. 409
Мухселишвили Л. В.
409
- Мухселишвили Т. А.
169
- Мцариашвили Л. В.
121
- Мчедлишвили И. Д.
541
- Надирашвили Н. С.
253
- Накандзе Ш. Г. 125
Накашидзе И. А. 149
Насидзе Г. И. 597
Натрошили Т. Г. 397
Ниаури Ю. А. 489
Николаишвили М. С.
345
- Николайшвили М. М.
281
- Николайшвили Н. С.
625
- Нозадзе Д. А. 609
- Оманадзе Р. Ш. 29
Орджоникидзе Э. К.
401
- Орлик Е. В. 565
Орлов А. Н. 141
Ормоцадзе Л. Г. 380



- Пааташвили В. А. 473
 Павлиашвили Г. И. 637
 Павлова А. Н. 429
 Пагава С. В. 509
 Панцулай Г. Р. 33
 Папидзе И. В. 513
 Папп Я. 89
 Парджанадзе В. В. 17
 Перстая К. В. 281
 Петвиашвили Д. И. 549
 Петриашвили Г. Г. 149
 Петриашвили Л. И. 413
 Нилаури Н. Ш. 477
 Пинский М. А. 133
 Политова Ю. В. 325
 Прозоров В. Г. 333,
 617
 Путурдзе З. Ш. 489
 Пхакадзе М. Г. 517
- Размадзе Д. Б. 529
 Ревазишвили Т. Н. 533
 Резван В. Д. 569
 Ригвава С. А. 181
 Робакидзе А. Н. 77
 Рогава М. М. 93
 Ронинишвили Л. Г. 413
- Садрадзе В. Г. 439
 Салуквадзе Н. Ш. 577
 Самадашвили З. В. 381
 Самушиа М. Д. 367
 Санадзе В. В. 605
 Саникидзе Н. С. 533
 Сапаришвили Н. Ш.
 177
 Сеинишивили О. Н. 401
 Ситникова Е. Э. 273
 Сихарулидзе А. Ю. 149
 Соболев В. А. 549
 Судов Б. А. 321
- Суладзе Л. Ф. 173
 Сурманидзе Р. М. 245
- Табатадзе Л. Г. 397
 Табатадзе М. Ш. 557
 Табачиникова И. П. 317
 Тавадзе Ф. Н. 329
 Талаквадзе Л. Я. 533
 Талахадзе Г. С. 141
 Тархнишвили Д. Н. 165
 Татиашвили Д. Г. 417
 Тинтилизов З. К. 369
 Титиков В. И. 521
 Тогонидзе Г. И. 509
 Топчишвили А. Л. 49
 Топчишвили М. В. 309
 Торнашвили Т. Т. 393
 Точин В. А. 145
 Тугуши А. И. 277
 Тутберидзе Б. Д. 105
- Унгиадзе А. А. 157
 Ушараули Э. А. 293,
 541
- Фридман М. М. 185
- Ханаева З. С. 153, 633
 Харазишвили А. Б. 261,
 485
 Хаханашвили И. Г. 341
 Химшиашвили Г. Н.
 465
 Хомерики Р. Л. 497
 Хоперия М. У. 650
 Хулордава К. Г. 509
 Хускивадзе Г. А. 473
- Цагарели Е. А. 577
 Цинцадзе Н. Л. 57
 Цицишвили Г. В. 89,
 553, 641
 Цомайя И. А. 153, 633
 Цулава Г. Г. 137
 Цхадая Р. А. 601
- Чавчанидзе Д. Г. 537
 Чагелишвили Л. Г. 81
 Чагелишвили Р. Д. 285,
 557
 Чалаташвили Д. В. 509
 Чипашвили Д. С. 553
 Чихладзе Н. Б. 69
 Чихладзе О. А. 61
 Чихладзе Р. Т. 181
 Чичинадзе Т. Ч. 113
 Чубинидзе Т. А. 117
 Чумбуридзе Т. А. 89
 Чхартишвили А. Г. 380
 Чхенкели Р. Ч. 655
 Чхиквадзе В. М. 165
 Чхубинишвили Л. Г.
 385
- Шабуришвили Ш. К.
 197
 Шавгулидзе С. А. 505
 197
 Шанидзе М. Г. 505
 Шатакишвили Т. Н.
 529
 Шатиришвили И. Ш.
 525, 641
 Шевчук В. В. 481
 Шония Н. Б. 161
- Эприкашвили Г. П. 249
- Юфин С. А. 521

AUTHOR INDEX TO VOLUME 127

- Abesadze I. Sh. 87
 Abesadze T. Sh. 55, 280
 Aburjania N. A. 628
 Adamia R. Sh. 44, 272
 Agamirov V. A. 48
 Akhvlediani R. A. 600
 Akhvlediani Sh. N. 367
 Alavidze T. Z. 292
 Aloeva L. M. 364
 Andronikashvili T. G. 92,
 644
 Arabidze G. O. 356
 Arveladze I. S. 147
 Avalishvili I. P. 391
 Avtandilashvili M. V. 512
- Baakashvili V. S. 620
 Badzoshvili V. I. 332
 Bagdavadze D. I. 603
 Baidoshvili O. S. 548
 Bakradze M. A. 167
- Bandzeladze R. R. 44, 272
 Barykhina G. A. 416
 Batiashvili T. V. 299
 Benashvili E. M. 96, 548
 Bendeliani G. J. 352
 Bendeliani J. M. 352
 Berzenishvili T. L. 524
 Berman S. S. 540
 Boltyansky V. V. 472
 Brito-Rojas A. 299
 Buishvili L. L. 55

- Bujiashvili M. O. 195
 Bulgakov V. P. 132
 Burchuladze A. A. 512
 Burkadze G. M. 184
 Butkhuzi S. M. 380
 Butkhuzi T. T. 380
 Butskhrikidze M. P. 156, 636
- Chagelishvili L. G. 83
 Chagelishvili R. D. 288, 560
 Chalatashvili D. V. 512
 Chavchanidze D. G. 540
 Chichinadze T. Ch. 116
 Chikhladze N. V. 72
 Chikhladze O. A. 64
 Chikhladze R. T. 184
 Chipashvili D. S. 556
 Chkhartishvili A. G. 380
 Chkhenkeli R. Ch. 656
 Chkhikvadze V. M. 167
 Chkhubianishvili L. G. 388
 Chubinidze T. A. 120
 Chumburidze T. A. 92, 299
 Coutin-Correa D. P. 299
- Dadiani T. O. 606
 Dalakishvili A. I. 100, 304, 563
 Daraselia D. M. 64
 Dogonadze R. R. 68
 Dokadze E. V. 606
 Doliashvili K. A. 64
 Domukhovsky V. P. 120
 Dublyansky V. N. 572
 Dumbadze N. V. 376
 Dundua V. Yu. 72
 Dvalishvili A. I. 540
 Dzhanimanov T. B. 288
 Dzheiranashvili V. G. 192
 Dzidziguri A. A. 116
 Dzneladze M. S. 435
 Dzotsenidze Z. G. 552
- Eprikashvili G. P. 252
 Eremenko V. I. 612
 Fridman M. M. 612
- Gabelaya A. G. 496
 Gabisiani A. G. 120
 Gachava E. Sh. 176
 Gachechiladze N. A. 396
 Galperin G. A. 28
 Gamkrelidze N. V. 567
 Gamsakhurdia Z. K. 660
 Gaprindashvili V. N. 288, 560
 Gavasheli A. M. 307
 Gavtadze T. T. 579
 Gegenava G. V. 403
 Gerasimov A. B. 520
 Gigauri R. D. 80, 292
 Gloveli T. B. 376
 Glurjidze L. N. 606
 Gobronidze T. I. 104
 Goderdzishvili G. I. 516
 Gogiashvili T. M. 292
 Gogichadze L. D. 288, 560
 Gogichaishvili V. K. 360
 Gogua Z. G. 520
 Gogsadze R. Sh. 360
 Gonjilashvili N. D. 120
 Gotsadze V. I. 320, 587
 Gozalishvili M. I. 552
 Gudushauri O. N. 184
 Gugushvili G. K. 647
 Guksanyan L. E. 612
 Gurtskaya G. P. 380
 Gvelesiani G. G. 603
 Gverdtsiteli I. G. 520
- Inasaridze L. T. 575
 Iordanishvili Z. A. 528
 Ioseliani T. V. 376
 Iremadze N. K. 84, 87
 Ivanishvili A. N. 516
- Jabua Z. U. 606
 Janiyanov T. B. 560
 Japaridze D. L. 64
 Japaridze P. N. 567
 Javakhishvili J. I. 60
 Jibuti Z. V. 520
 Jorbenadze A. N. 39, 267
- Kacharava N. N. 184
 Kachiashvili G. I. 48
 Kakabadze G. L. 55
 Kandelaki N. F. 23
 Kenkava V. L. 407
 Kantaria M. L. 556
- Kantaria R. V. 516
 Kapanadze M. G. 567
 Karumidze G. S. 72
 Kashakashvili G. V. 132
 Kekelidze N. P. 516
 Kelbakiani N. V. 567
 Kereslidze R. V. 532
 Kevkhishvili N. A. 356
 Khakhanashvili I. G. 343
 Khanava Z. S. 156, 636
 Kharazishvili A. B. 264, 480
 Khimshiashvili G. N. 468
 Khomeriki R. L. 499
 Khoperia M. V. 651
 Khulordava K. P. 512
 Khuskivadze G. A. 475
 Kiguradze O. D. 147
 Kikacheishvili G. E. 623
 Kikodze K. O. 644
 Kikozaishvili I. L. 188
 Kintsurashvili N. T. 407
 Kirikashvili N. E. 512
 Kirtadze A. P. 35
 Kiryakova A. V. 83
 Klimchuk A. B. 572
 Kobiazhvili B. R. 340, 616
 Kogan L. O. 296
 Kokochashvili T. V. 552
 Kortava L. M. 296
 Kostava A. A. 128
 Kovziridze T. A. 540
 Kruashvili Z. E. 48
 Kukhaleishvili R. E. 244
 Kurze M. 595
 Kutateladze G. N. 104
 Kvachantiradze E. P. 371
 Kvantaliani L. K. 556
 Kvantaliani R. I. 112
 Kvavadze E. Sh. 176
 Kvavadze E. V. 195
 Kvernadze G. A. 259
 Kvinikhidze G. S. 416
 Kvirikashvili G. N. 352
 Kvitalashvili R. Sh. 443
- Lagidze J. R. 83, 536
 Lagidze R. M. 83, 87, 540
 Lebanidze Z. M. 591
 Lelashvili M. Z. 207
 Lemke W. 595
 Loladze M. Sh. 356
 Lolua D. G. 147
 Lomsadze B. A. 399
 Lortkipanidze N. Z. 424

- Luarsabishvili N. N. 332
 Lursmanashvili M. O. 87
 Macharashvili S. V. 116
 Machavariani M. N. 68
 Machavariani N. G. 575
 Machavariani T. M. 116
 Maisuradze B. G. 567
 Makharadze A. I. 316,
 584
 Manjgaladze M. V. 412
 Margiev B. G. 120
 Marsagishvili T. A. 68
 Mchedlishvili I. J. 544
 Meladze M. G. 399
 Melikadze L. D. 296,
 532, 544
 Melikishvili M. Sh. 640
 Meliksetyan N. A. 632
 Meikadze E. G. 204
 Mesarosh A. 92
 Mgaloblishvili N. R. 376
 Mikadze G. A. 299
 Mikadze G. V. 640
 Mikadze Z. K. 128
 Mikautadze M. M. 136
 Mikelashvili Z. V. 556
 Mirtskhulava A. A. 516
 Modebadze M. E. 76
 Moldavsky M. L. 60
 Moniava E. S. 156, 636
 Moshiashvili S. A. 427
 Mosidze N. V. 164, 304
 Motsonelidze N. S. 343
 Mtsariashvili L. V. 124
 Murvanidze B. M. 439
 Museliani T. G. 628
 Museridze N. K. 328
 Muskhelishvili G. D. 412
 Muskhelishvili L. V. 112
 Muskhelishvili T. A. 172
 Nadirashvili N. S. 251
 Nakaidze Sh. G. 128
 Nakashidze I. A. 152
 Nasidze G. I. 600
 Natroshvili T. G. 399
 Niauri Yu. A. 491
 Nikolaishvili M. M. 284
 Nikolaishvili M. S. 348
 Nozadze D. A. 612
 Omanadze R. Sh. 32
 Orjonikidze E. K. 403
 Orlik E. V. 567
 Orlov A. N. 144
 Ormotsadze L. G. 386
 Paatashvili V. A. 475
 Pagava S. V. 512
 Pantsulaia G. R. 35
 Papidze I. V. 516
 Papp J. 92
 Parjanadze V. V. 19
 Pavliashvili G. I. 640
 Pavlova A. N. 432
 Pertaya K. V. 284
 Petriashvili G. G. 152
 Petriashvili L. I. 416
 Petviashvili D. I. 552
 Pilauri N. Sh. 480
 Pinsky M. A. 136
 Phakadze M. G. 520
 Poliova Yu. V. 328
 Prozorov V. G. 340, 620
 Puturidze Z. Sh. 491
 Razmadze D. B. 532
 Revazishvili T. N. 536
 Rezvan V. D. 572
 Rigvava S. A. 184
 Robakidze A. N. 80
 Rogava M. M. 96
 Roinishvili L. G. 416
 Sadradze V. G. 439
 Salukvadze N. Sh. 579
 Samadashvili Z. S. 384
 Samushia M. D. 367
 Sanadze V. V. 606
 Sanikidze N. S. 536
 Saparishvili N. Sh. 180
 Seinishvili O. N. 403
 Shaburishvili Sh. K. 199
 Shanidze M. G. 508
 Shatakishvili T. N. 532
 Shatirishvili I. Sh. 528,
 644
 Shavgulidze S. A. 508
 Shevchik V. V. 482
 Shonia N. B. 164
 Sikharulidze A. J. 152
 Sitnikova E. E. 275
 Sobolev V. A. 552
 Sudov B. A. 324
 Suladze L. F. 176
 Surmanidze R. M. 248
 Tabachnikova I. P. 320
 Tabatadze L. G. 399
 Tabatadze M. Sh. 560
 Talakvadze G. S. 144
 Talakvadze L. I. 536
 Tarkhnishvili D. N. 167
 Tatishvili D. G. 419
 Tavadze F. N. 332
 Tintilozov Z. K. 572
 Titkov V. I. 524
 Tochin V. A. 147
 Togonidze G. I. 512
 Topchiashvili A. L. 51
 Topchiashvili M. V. 312
 Toriashvili T. T. 396
 Tsagareli E. A. 579
 Tsintsadze N. L. 60
 Tsitsishvili G. V. 92,
 556, 644
 Tskhadaia R. A. 603
 Tsomaya I. A. 156, 636
 Tsulaia G. G. 140
 Tugushi A. I. 280
 Tuberidze B. D. 108
 Ungiadze A. A. 159
 Usharauli E. A. 296, 544
 Vashakidze M. Sh. 87
 Vasnev V. A. 292
 Weinstein Yu. V. 503
 Wincholz R. 595
 Zaalishvili M. M. 396,
 640
 Zardalishvili O. U. 644
 Zhordania I. S. 132
 Zilbershtein A. M. 623
 Zoidze N. N. 332
 Yufin S. A. 524



10. დამოწმებული ლტერატურა უნდა დაიგეპლოს ცალკე ფურცელში. საქიროა დაცული იქნება ასეთი თანმიმდევრობა: ატორის ინიციალები, გვარი. თუ დამოწმებულია სუურსლო შრომა, უკნევნოთ უზრანლის შემოკლებული სახელწოდება, ტრმი, ნომრი, გამოცემის წელი. თუ დამოწმებულია წიგნი, აუცილებელია უკნევნოთ მისი სრული სახელწოდება, გამოცემის ადგილი და წელი. თუ ატორი საქიროდ მიიჩნევს, ბოლოს შეუძლია გვირდების სურერა-ცია უკნევნოს. დამოწმებული ლტერატურული უნდა დალაგდეს არა ანაბარური წესით, არამედ დამოწმების თანმიმდევრობით. ლტერატურის მისამართულად ტექსტი უკნევნები კვადრატულ ფრინილებში ნაწევნები უნდა იყოს შესაბამისი ნომრი დამოწმებულ შრომისა. არ შეიძლება დამოწმებული ლტერატურის ნუსხაში შეკიტონოთ ისეთი შრომის, რომელიც ტექსტში მითითებული არ არის. ასევე არ შეიძლება გამოუკვეყნებელი შრომის დამოწმება. დამოწმებული ლტერატურის ბოლოს აღტორმა უნდა მოაწეროს ხელი, ანიშნოს სად მუშაობს და რა თანამდებობაში, უკნევნოს თავის ზუსტ მისამართ და ტელეფონის ნომერი.

11. „მოაბეში“ გამოქვეყნდული ჟურნალის მოკლე შენარჩის იტეპლება რევიურა-ტულ უზრუნალში. ამტუმ აკრორმა წერილთან ერთად აუცილებლად უნდა წარმოადგინოს მისი რაოდირაგი რუსულ ენაში (ორ ასაკ).

13. ავტორს უფასოდ ეძლევა თავისი წერილის 25 ამონაბეჭდი

(დამტკიცებულია საქართველოს სსრ მეცნიერებათა აკადემიის პრეზიდიუმის მიერ 10.10.1968; შეტანილია კლიმატურგიური 6.2.1969)

ରେଡାଯ୍‌ପ୍ରିସ୍ ମିସାମାରତି: ଟବିଲୋକ 60, କୁର୍ରିଥିନ୍ଦ୍ରାସ ଫ୍ଲେଟ୍ ନଂ 19; ଟଙ୍କେ 37-22-16, 37-86-42,
37-85-61

საფოსტო ინდექსი 380060

ხელმოწერის პირობები: ერთი წლით 22 მან. 80 კაბ.

К СВЕДЕНИЮ АВТОРОВ

1. В журнале «Сообщения АН ГССР» публикуются статьи академиков, членов-корреспондентов, научных работников системы Академии и других ученых, содержащие еще не опубликованные новые значительные результаты исследований. Печатаются статьи лишь из тех областей науки, номенклатурный список которых утвержден Президиумом АН ГССР.

2. В «Сообщениях» не могут публиковаться полемические статьи, а также статьи обзорного или описательного характера по систематике животных, растений и т. п., если в них не представлены особенно интересные научные результаты.

3. Статьи академиков и членов-корреспондентов АН ГССР принимаются непосредственно в редакции «Сообщений», статьи же других авторов представляются академиком или членом-корреспондентом АН ГССР. Как правило, академик или член-корреспондент может представить для опубликования в «Сообщениях» не более 12 статей разных авторов (только по своей специальности) в течение года, т. е. по одной статье в каждый номер, собственные статьи — без ограничения, а с соавторами — не более трех. В исключительных случаях, когда академик или член-корреспондент требует представления более 12 статей, вопрос решает главный редактор. Статьи, поступившие без представления, передаются редакцией академику или члену-корреспонденту для представления. Один и тот же автор (за исключением академиков и членов-корреспондентов) может опубликовать в «Сообщениях» не более трех статей (независимо от того, с соавторами она или нет) в течение года.

4. Статья обязательно должна иметь направление из научного учреждения, где проведена работа автора, на имя редакции «Сообщений АН ГССР».

5. Статья должна быть представлена автором в двух экземплярах, в готовом для печати виде, на грузинском или на русском языке, по желанию автора. К ней должны быть приложены резюме — к грузинскому тексту на русском языке, а к русскому на грузинском, а также краткое резюме на английском языке. Объем статьи, включая иллюстрации, резюме и список цитированной литературы, приводимой в конце статьи, не должен превышать четырех страниц журнала (8000 типографских знаков), или шести стандартных страниц машинописного текста, отпечатанного через два интервала (статьи же с формулами — пяти страниц). Представление статьи по частям (для опубликования в разных номерах) не допускается. Редакция принимает от автора в месяц только одну статью.

6. Представление академика или члена-корреспондента на имя редакции должно быть написано на отдельном листе с указанием даты представления. В нем необходимо указать: новое, что содержится в статье, научную ценность результатов, насколько статья отвечает требованиям пункта 1 настоящего положения.

7. Статья не должна быть перегружена введением, обзором, таблицами, иллюстрациями и цитированной литературой. Основное место в ней должно быть отведено результатам собственных исследований. Если по ходу изложения в статье сформулированы выводы, не следует повторять их в конце статьи.

8. Статья оформляется следующим образом: вверху страницы в середине пишутся инициалы и фамилия автора, затем — название статьи; справа вверху представляющий статью указывает, к какой области науки относится она. В конце основного текста статьи с левой стороны автор указывает полное название и местонахождение учреждения, где выполнена данная работа.

9. Иллюстрации и чертежи должны быть представлены в двух экземплярах в конверте; чертежи должны быть выполнены черной тушью на кальке. Надписи на чертежах должны быть исполнены каллиграфически в таких размерах, чтобы даже в случае уменьшения они оставались отчетливыми. Подрисуночные подписи, сделанные на языке основного текста, должны быть представлены на отдельном листе. Не следует приклеивать фото и чертежи к листам оригинала. На полях оригинала автор отмечает карандашом, в каком месте должна быть помещена та или



ная иллюстрация. Не должны представляться таблицы, которые не могут уместиться на одной странице журнала. Формулы должны быть четко вписаны ~~чернилами~~ в оба экземпляра текста; под греческими буквами проводится одна черта красным карандашом, под прописными — две черты черным карандашом снизу, над строчными — также две черты черным карандашом сверху. Карапандашом должны быть обведены полукругом индексы и показатели степени. Резюме представляются на отдельных листах. В статье не должно быть исправлений и дополнений карандашом или чернилами.

10. Список цитированной литературы должен быть отпечатан на отдельном листе в следующем порядке. Вначале пишутся инициалы, а затем — фамилия автора. Если цитирована журнальная работа, указываются сокращенное название журнала, том, номер, год издания. Если автор считает необходимым, он может в конце указать и соответствующие страницы. Список цитированной литературы приводится не по алфавиту, а в порядке цитирования в статье. При ссылке на литературу в тексте или в сносках номер цитируемой работы помещается в квадратные скобки. Не допускается вносить в список цитированной литературы работы, не упомянутые в тексте. Не допускается также цитирование неопубликованных работ. В конце статьи, после списка цитированной литературы, автор должен подписаться и указать место работы, занимаемую должность, точный домашний адрес и номер телефона.

11. Краткое содержание всех опубликованных в «Сообщениях» статей печатается в реферативных журналах. Поэтому автор обязан представить вместе со статьей ее реферат на русском языке (в двух экземплярах).

12. Автору направляется корректура статьи в сверстанием виде на строго ограниченный срок (не более двух дней). В случае невозврата корректуры к сроку редакция вправе приостановить печатание статьи или печатать ее без визы автора.

13. Автору выдается бесплатно 25 оттисков статьи.

(Утверждено Президиумом Академии наук Грузинской ССР 10.10.1968; внесены изменения 6.2.1969)

Адрес редакции: Тбилиси 60, ул. Кутузова, 19, телефоны: 37-22-16, 37-86-42,
37-85-61

Почтовый индекс 380060

Условия подписки: на год — 22 руб. 80 коп.



6303/179

ՅԱԼԵՐ 1 ՑԱԲ. 90 ՃԱԶ.
ЦЕНА 1 РУБ. 90 КОП.